



การปรับปรุงสมบัติการนำไฟฟ้าของพอลิไพร์โอลเพื่อประยุกต์ใช้เป็นตัวตรวจสอบก้าช

โดย
นางสาวนันทนิคย์ พ่วงเล็ก

วิทยานิพนธ์นี้เป็นส่วนหนึ่งของการศึกษาตามหลักสูตรปริญญาวิศวกรรมศาสตรมหาบัณฑิต
สาขาวิชาวิทยาการและวิศวกรรมพอลิเมอร์
ภาควิชาวิทยาการและวิศวกรรมวัสดุ
บัณฑิตวิทยาลัย มหาวิทยาลัยศิลปากร
ปีการศึกษา 2552
ลิขสิทธิ์ของบัณฑิตวิทยาลัย มหาวิทยาลัยศิลปากร

การปรับปรุงสมบัติการนำไฟฟ้าของพอดีไฟร์โรลเพื่อประยุกต์ใช้เป็นตัวตรวจสอบก้าช

โดย
นางสาวนันทนิศย์ พ่วงเล็ก

วิทยานิพนธ์นี้เป็นส่วนหนึ่งของการศึกษาตามหลักสูตรปริญญาวิศวกรรมศาสตรมหาบัณฑิต
สาขาวิชาวิทยาการและวิศวกรรมพอลิเมอร์
ภาควิชาวิทยาการและวิศวกรรมวัสดุ
บัณฑิตวิทยาลัย มหาวิทยาลัยศิลปากร
ปีการศึกษา 2552
ลิขสิทธิ์ของบัณฑิตวิทยาลัย มหาวิทยาลัยศิลปากร

**IMPROVEMENT OF ELECTRICAL CONDUCTIVITY OF POLYPYRROLE FOR GAS
SENSOR APPLICATION**

By

Nuntanid Puanglek

**A Thesis Submitted in Partial Fulfillment of the Requirements for the Degree
MASTER OF ENGINEERING
Department of Materials Science and Engineering
Graduate School
SILPAKORN UNIVERSITY
2009**

บัณฑิตวิทยาลัย มหาวิทยาลัยศิลปากร อนุมัติให้วิทยานิพนธ์เรื่อง “ การปรับปรุงสมบัติการนำไฟฟ้าของพลังไพร์โรลเพื่อประยุกต์ใช้เป็นตัวตรวจสอบก้าช ” เสนอโดย นางสาวนันทนิษฐ์ พ่วงเล็ก เป็นส่วนหนึ่งของการศึกษาตามหลักสูตรปริญญาวิศวกรรมศาสตรมหาบัณฑิต สาขาวิชาวิทยาการและวิศวกรรมพลีเมอร์

.....
(รองศาสตราจารย์ ดร.ศิริชัย ชินะตั้งกุร)

คณบดีบัณฑิตวิทยาลัย
วันที่เดือน พ.ศ.

อาจารย์ที่ปรึกษาวิทยานิพนธ์

1. อาจารย์ ดร.อำนาจ สิทธิ์ตระกูล
2. อาจารย์ ดร.วันชัย เลิศวิจิตรจรัส

คณะกรรมการตรวจสอบวิทยานิพนธ์

..... ประธานกรรมการ

(ผู้ช่วยศาสตราจารย์ ดร. ณัฐกาญจน์ วงศ์ศรีพันธ์)

...../...../.....

..... กรรมการ

(อาจารย์ ดร.สุมนมาลย์ เนียมกลาง)

...../...../.....

..... กรรมการ

(อาจารย์ ดร.อำนาจ สิทธิ์ตระกูล)

...../...../.....

..... กรรมการ

(อาจารย์ ดร.วันชัย เลิศวิจิตรจรัส)

...../...../.....

51402222 : สาขาวิชาวิทยาการและวิศวกรรมพอลิเมอร์

คำสำคัญ : พอลิเมอร์นำไฟฟ้า/พอลิไพร์โรล/การตรวจสอบกําช

นันทนิตย์ พ่วงเล็ก : การปรับปรุงสมบัติการนำไฟฟ้าของพอลิไพร์โรลเพื่อประยุกต์ใช้เป็นตัวตรวจสอบกําช. อาจารย์ที่ปรึกษาวิทยานิพนธ์ : อ.ดร.อำนาจ สิทธัตถะภูล และ อ.ดร.วันชัย เลิศวิจิตรจรัส. 153 หน้า.

งานวิจัยนี้มีวัตถุประสงค์เพื่อสังเคราะห์และศึกษาสมบัติการนำไฟฟ้าของพอลิไพร์โรล และอนุพันธ์พอลิไพร์โรลสามชนิด ได้แก่ พอลิไพร์โรล (PPy) อนุพันธ์พอลิไพร์โรลที่มีหมู่แทนที่ ณ ตำแหน่งที่สามเป็นหมู่кар์บอนิล (3-PPy) อนุพันธ์พอลิไพร์โรลที่มีหมู่แทนที่ ณ ตำแหน่งที่สามเป็นหมู่ออกซิเม (3-PPy oxime) และเฟอร์โรซินคาร์บอฟิล็อกซิเดตพอลิไพร์โรล (3-PPy oxime FCC) และได้ทำการศึกษาอิทธิพลขนาดแอนิโอดอนของสารกระตุ้นพาหะนำประจุ 3 ชนิด ได้แก่ ลิเทียมฟลูออไรด์ (LiF) ลิเทียมเบอร์คลอเรต (LiClO_4) และโซเดียมไดเดคคลิเบนเซนซัลฟอนิกแอซิด (DBSA) ต่อสมบัติการนำไฟฟ้าของพอลิเมอร์ภายใต้บรรยายกาศกําชในโครงเจน พบว่าพอลิเมอร์ที่ผ่านการกระตุ้นพาหะนำประจุด้วย LiF สามารถนำไฟฟ้าได้ดีที่สุด เมื่อจากแอนิโอดอนฟลูออไรด์ (F⁻) มีขนาดเล็กที่สุด (1.33 Å) ในบรรดาสารกระตุ้นพาหะนำประจุทั้งสามชนิด สามารถเคลื่อนที่เข้าไปเสถียรประจุบวกบนโครงสร้างพอลิเมอร์ได้รวดเร็ว ดังนั้น ค่าสภาพการนำไฟฟ้าจำเพาะของพอลิเมอร์ที่ผ่านการกระตุ้นพาหะด้วย LiF สูงที่สุด ต่างจากนี้ได้นำพอลิเมอร์สามชนิด ได้แก่ PPy 3-PPy oxime และ 3-PPy oxime FCC ไปทดสอบการนำไฟฟ้าจะผ่านไอระเหยเมทานอลและไօระเหยไดเอทิลเอทอර์ จากการทดสอบพบว่าปัจจัยที่ส่งผลต่อสมบัติการนำไฟฟ้าและความว่องไวในการตรวจสอบกําชของพอลิเมอร์ดังกล่าวขึ้นกับโครงสร้างของพอลิเมอร์ โครงสร้างไօระเหยที่ใช้ทดสอบ และความเข้มข้น ไօระเหยที่ใช้ทดสอบ กล่าวคือ พอลิเมอร์ที่มีหมู่ไห้อิเล็กตรอน ได้ดีจะนำไฟฟ้าได้ดี ส่วนพอลิเมอร์ที่มีช่องว่างระหว่างโมเลกุลใหญ่จะมีระยะเวลาในการตอบสนองต่อกําชเร็ว ไօระเหยทดสอบที่มีความเป็นกรดสูงและมีโมเลกุลขนาดเล็ก เช่น เมทานอล จะช่วยทำให้การนำไฟฟ้าของพอลิเมอร์เพิ่มมากขึ้น ในขณะที่ความเข้มข้น ไօระเหยที่มีปริมาณมากจะช่วยให้นำไฟฟ้าได้ดีขึ้น อีกทั้งระยะเวลาในการตอบสนองเร็วขึ้น ผลของการศึกษาแสดงให้เห็นว่าอนุพันธ์พอลิไพร์โรลที่ผ่านการปรับปรุงโครงสร้างแล้วสามารถนำมาใช้ตรวจสอบไօระเหยได้

ภาควิชาวิทยาการและวิศวกรรมวัสดุ บัณฑิตวิทยาลัย มหาวิทยาลัยศิลปากร ปีการศึกษา 2552

ลายมือชื่อนักศึกษา.....

ลายมือชื่ออาจารย์ที่ปรึกษาวิทยานิพนธ์ 1. 2.

51402222 : MAJOR : POLYMER SCIENCE AND ENGINEERING

KEY WORDS : CONDUCTIVE POLYMERS/POLYPYRROLE/GAS SENSOR

NUNTANID PUANGLEK : IMPROVEMENT OF ELECTRICAL CONDUCTIVITY OF POLYPYRROLE FOR GAS SENSOR APPLICATION. THESIS ADVISORS : AMNARD SITTATTRAKUL, Ph.D., AND WANCHAI LERDWIJITJARUD, Ph.D. 153 pp.

The purpose of this research is to synthesize and study the effect of structure of polypyrrole and its derivatives, such as polypyrrole (PPy), 3-derivatized polypyrrole (3-PPy), 3-derivatized polypyrrole oxime (3-PPy oxime) and ferrocenecarboxylated polypyrrole (3-PPy oxime FCC). In this work, lithium fluoride (LiF), lithium perchlorate (LiClO_4) and p-dodecylbenzene sulfonic acid (DBSA) were used as dopants and the molar ratio of pyrrole and its derivatives to dopants were 1:1. The lithium fluoride doped polymers showed the highest electrical conductivity of all the doped polymers due to its smallest size of F^- anion (1.33 Å) which could be transported easily through the polymer matrix to stabilize the positive charges occurred on polymer chains. These polymers were then tested for their electrical conductivities while passing methanol and diethyl ether vapors. It is found that the factors that affected the electrical conductivity and sensitivity of the polymers when exposed to tested vapors were polymer structure, vapor structure and concentration of tested vapors. However, polymers with electron donating group will have good electrical conductivity while polymers having larger free volume will have faster response time. Organic molecular vapor with more polar group and smaller size will also assist the high electrical conductivity of polymers but larger vapor concentration will give faster response time. However, each polymers with more polar group will give slower recovery time. The result of the investigation indicates that 3-derivatized polypyrrole can be used as gas sensor.

Department of Materials Science and Engineering Graduate School, Silpakorn University Academic Year 2009

Student's signature

Thesis Advisors' signature 1. 2.

กิตติกรรมประกาศ

วิทยานิพนธ์ฉบับนี้เป็นงานวิจัยที่เกี่ยวข้องกับการสังเคราะห์และทดสอบสมบัติการนำไฟฟ้าของโพลิไพร์โรลและอนุพันธ์ การที่งานวิจัยนี้สำเร็จลุล่วงได้ก็เนื่องมาจากการได้รับความช่วยเหลือจากบุคคลหลายท่าน โดยเฉพาะอย่างยิ่งอาจารย์ ดร.อanhaj สิทธัตระกูล ผู้เป็นที่ปรึกษาหลักของงานวิจัยในครั้งนี้ ที่เคยให้คำแนะนำและให้แนวทางการแก้ปัญหาในyanที่การทำงานวิจัยติดขัด อีกทั้งสอนให้รู้จักการวางแผนในการทำงานจนทำให้งานวิจัยสามารถบรรลุเป้าหมายตามเวลาที่กำหนด ตลอดจนการสนับสนุนงบประมาณในการจัดหาอุปกรณ์ต่างๆ เพื่อใช้ในการสร้างเครื่องวัดค่าการนำไฟฟ้าไว้ใช้ทดลองงานวิจัย จึงขอขอบพระคุณอาจารย์ไว้เป็นอย่างสูง ขอบคุณอาจารย์ ดร.วันชัย เลิศวิจิตรรัตน์ อาจารย์ที่ปรึกษาร่วมสำหรับคำแนะนำต่างๆ และ รศ.ดร.อนุวัฒน์ ศิริวัฒน์ สำหรับความอนุเคราะห์เครื่องมือวัดสมบัติทางไฟฟ้าของโพลิเมอร์ในระยะเริ่มต้นของงานวิจัย ขอบคุณอาจารย์ ดร.สุรชัย นิมิตรวัฒน์ และพี่วิรัญญา สุทัศนวิชานนະ ภาควิชาเคมี คณะวิทยาศาสตร์ ที่ช่วยเหลือในการเตรียมสารและวิเคราะห์ผล $^1\text{H-NMR}$ ขอบคุณ รศ. กำชัย ตรีชัยรัศมี ภาควิชาฟิสิกส์ คณะวิทยาศาสตร์ สำหรับคำปรึกษาในการทดสอบสมบัติทางไฟฟ้า ขอบคุณพี่พินิจ เลียนระลึก นักวิทยาศาสตร์ประจำภาควิชาที่ช่วยจัดหาเครื่องมือและสารเคมีทุกอย่าง ขอบคุณภาควิชาวิทยาการและวิศวกรรมวัสดุ คณะวิศวกรรมศาสตร์ มหาวิทยาลัยศิลปากร และศูนย์ความเป็นเลิศแห่งชาติต้านปีโตรเลียม ปีโตรเคมี และวัสดุขั้นสูงวิทยาลัยปีโตรเลียมและปีโตรเคมี จุฬาลงกรณ์มหาวิทยาลัย สำหรับเงินทุนการศึกษา ทุนสนับสนุนงานวิจัย และทุนการนำเสนอผลงานในงาน PACCON 2010 ณ ประเทศไทย ขอบคุณพี่โกสินทร์ หาชัววี ซึ่งแม้จะรู้จักกันในช่วงเวลาสั้นๆ แต่พึ่งได้ให้คำแนะนำ และแนวทางการทำงานวิจัยที่ใช้อ้างอิงทดลองงานวิจัยนี้ ขอบใจน้องไตรสิกข์ ศรีสายยันห์ สำหรับความช่วยเหลือในการเขียนโปรแกรม ทำให้พี่สามารถทำงานได้อย่างง่ายดายมากขึ้น ขอบคุณพี่ธนรุ๊วัฒน์ กุญชอม ที่เคยเป็นกำลังใจและคอยช่วยเหลืออยู่ช่วงๆ กันตลอดมา สุดท้ายนี้ขอกราบขอบพระคุณทุกๆ กำลังใจจากครอบครัว โดยเฉพาะอย่างยิ่งคุณแม่ ที่ให้ทั้งชีวิต โอกาสทางการศึกษา และเป็นแรงผลักดันที่สำคัญที่สุด ทำให้หนูสามารถบรรลุเป้าหมายทางการศึกษาและการทำงานวิจัย ณ ที่แห่งนี้อย่างสมบูรณ์

สารบัญ	หน้า
บทคัดย่อภาษาไทย	๑
บทคัดย่อภาษาอังกฤษ	๒
กิตติกรรมประกาศ	๓
สารบัญตาราง	๔
สารบัญภาพประกอบ	๕
บทที่	
1 บทนำ	1
ความเป็นมาและความสำคัญของปัจจุบัน	1
วัตถุประสงค์ของงานวิจัย	6
แนวคิดของงานวิจัย	6
ขอบเขตงานวิจัย	7
ประโยชน์ที่คาดว่าจะได้รับ	8
2 เอกสารและงานวิจัยที่เกี่ยวข้อง	9
การนำไฟฟ้าของวัสดุ.....	9
การแบ่งประเภทการนำไฟฟ้าของวัสดุ.....	9
สภาพการนำไฟฟ้าของวัสดุ (Conductivity, σ).....	13
พอลิเมอร์นำไฟฟ้า.....	16
π -Conjugated Linear polymers.....	16
Narrow Band-Gap Polymers.....	17
π -Conjugated Linear Oligomers.....	17
Non-conjugated Polymers Containing Pendant π -Electron Systems.....	18
โครงสร้างและกลไกการนำไฟฟ้าของพอลิเมอร์นำไฟฟ้า.....	19
แนวคิดอุปกรณ์ตรวจสอบแก๊สหรืออนุภาคเล็กท่อนิกส์.....	24
การประยุกต์ใช้พอลิเมอร์ในการตรวจสอบแก๊ส.....	25
กลไกการตรวจสอบแก๊สด้วยพอลิเมอร์นำไฟฟ้า.....	27

บทที่		หน้า
	พอลิไพร์โรลและอนุพันธ์.....	29
	การประยุกต์ใช้งานพอลิไพร์โรลในอุปกรณ์ตรวจสอบก้าชหรือจูง อิเล็กทรอนิกส์.....	31
	การนำไฟฟ้าของโมเลกุลที่โครงสร้างมีหมู่ฟังก์ชัน Ferrocene.....	36
3	วิธีดำเนินงานวิจัย	38
	สารเคมีที่ใช้ในการทดลอง.....	38
	อุปกรณ์ที่ใช้ในการทดลอง	39
	เครื่องมือที่ใช้ในการวิเคราะห์.....	41
	วิธีการดำเนินงานวิจัย.....	41
	การเตรียมพอลิเมอร์ตัวรองรับ.....	41
	การสังเคราะห์อนุพันธ์ไพร์โรลที่มีหมู่แทนที่ ณ ตำแหน่งที่ 3 (3-Py).....	41
	การเตรียมอนุพันธ์พอลิไพร์โรล (3-PPy).....	43
	การเตรียมอนุพันธ์พอลิไพร์โรลที่มีหมู่แทนที่ ณ ตำแหน่งที่ 3 เป็นหมู่ ออกซิเม (3-PPy oxime).....	44
	การทำอสเตรอร์ริฟิเกชันพอลิเมอร์ตัวรองรับด้วยเกลือโซเดียม เฟอร์ไบรชีนคาร์บอนอะซิเดต.....	44
	การสังเคราะห์พอลิไพร์โรล (PPy).....	45
	การกระตุ้นให้เกิดพาหะพาประจุ (Doping).....	46
	การพิสูจน์เอกลักษณ์ของพอลิเมอร์.....	46
	การทดสอบสมบัติทางความร้อนของพอลิเมอร์ตัวรองรับ.....	46
	การทดสอบค่าการนำไฟฟ้าและความว่องไวต่อก้าชตัวอย่างของ พอลิเมอร์.....	47
	การเตรียมชิ้นงานทดสอบ.....	47
	การควบคุมความเข้มข้นของไออตัวอย่าง.....	48
	การหา Linear ohmic regime.....	52
	การทดสอบและคำนวณหารือยกความว่องไวต่อไอ ระหว่างสารตัวอย่าง.....	53

บทที่	หน้า	
การหาเวลาที่ใช้ในการตอบสนองต่อไอและเวลาที่ใช้ใน		
การคืนตัวกลับ.....		54
4	ผลการทดลองและวิจารณ์ผลการทดลอง	55
	การพิสูจน์เอกลักษณ์ด้วยเทคนิค FT-IR และ $^1\text{H-NMR}$	55
	การพิสูจน์เอกลักษณ์พอลิเมอร์ตัวรองรับซึ่งเป็นอนุพันธ์พอลิไพร์โรล (3-PPy).....	55
	การสังเคราะห์อนุพันธ์ไพร์โรลที่มีหมู่แทนที่ ณ ตำแหน่ง 3 (3-Py).....	55
	การเตรียมอนุพันธ์พอลิไพร์โรล; 3-(3-Bromopropionyl) polypyrrole หรือ 3-PPy.....	62
	การเตรียมอนุพันธ์พอลิไพร์โรลที่มีหมู่แทนที่ตำแหน่งที่ 3 เป็นหมู่ออก ชีน (3-PPy oxime).....	67
	การพิสูจน์เอกลักษณ์พอลิเมอร์ตัวรองรับที่ผ่านการทำเอสเตอร์ฟิล์ค ชันด้วยเกลือโซเดียมเฟอร์โรซีนคาร์บอนซิเลตด้วยเทคนิค FT-IR และ $^1\text{H-NMR}$	67
	การพิสูจน์เอกลักษณ์เกลือโซเดียมเฟอร์โรซีนคาร์บอนซิ เลต (Na-FCC) ด้วยเทคนิค FT-IR.....	70
	การทำเอสเตอร์ฟิล์คชันของ 3-PPy oxime.....	72
	การพิสูจน์เอกลักษณ์พอลิไพร์โรลด้วยเทคนิค FT-IR และ $^1\text{H-NMR}$	75
	การพิสูจน์เอกลักษณ์อนุพันธ์พอลิไพร์โรลที่มีหมู่แทนที่ ณ ตำแหน่งที่ 3 ภายหลังการทำทดสอบกับไอะระเหยเมทานอลด้วยเทคนิค FT-IR	79
	การทำทดสอบสมบัติทางความร้อนของพอลิเมอร์ตัวรองรับ.....	81
	การทำทดสอบหาอุณหภูมิการถลายตัวของพอลิเมอร์ตัวรองรับด้วย เทคนิค TGA.....	81
	การทำทดสอบหาอุณหภูมิ glass transition ของพอลิเมอร์ตัวรองรับ ด้วยเทคนิค DSC.....	83

บทที่	หน้า
การทดสอบวัดค่าการนำไฟฟ้าและความว่องไวต่อไออกซิเจนสารตัวอย่างของพอลิเมอร์.....	85
การหา linear ohmic regime.....	85
การตรวจสอบหา linear ohmic regime ภายใต้บรรยากาศของก๊าซในโตรเจนที่อุณหภูมิ 28 °C.....	85
การตรวจสอบหา linear ohmic regime ภายใต้บรรยากาศของไออกซิเจนที่อุณหภูมิ 28 °C.....	86
การทดสอบและคำนวณหาค่าสภาพการนำไฟฟ้าจำเพาะของพอลิเมอร์ภายใต้บรรยากาศก๊าซในโตรเจน.....	87
การทดสอบและคำนวณหาร้อยละความว่องไวต่อไออกซิเจนสารตัวอย่าง.....	91
การทดสอบพฤติกรรมการตอบสนองเมื่อความเข้มข้นไออกซิเจนสารตัวอย่างคงที่.....	91
ค่ากระแสไฟฟ้าในบรรยากาศของก๊าซในโตรเจน ($I_{N_2, \text{before}}$) ก่อนการป้อนไออกซิเจนสารตัวอย่าง.....	92
ค่ากระแสไฟฟ้าในบรรยากาศไออกซิเจนสารตัวอย่าง (I_{gas}).....	92
ค่ากระแสไฟฟ้าในบรรยากาศก๊าซในโตรเจน ($I_{N_2, \text{after}}$) ภายหลังการป้อนไออกซิเจนสารตัวอย่าง	94
การศึกษาพฤติกรรมการตอบสนองต่อไออกซิเจนสารตัวอย่างของพอลิเมอร์เมื่อความเข้มข้นไออกซิเจนสารตัวอย่างเปลี่ยนแปลง.....	100
ค่ากระแสไฟฟ้าในบรรยากาศของก๊าซในโตรเจน ($I_{N_2, \text{before}}$) ก่อนการป้อนไออกซิเจนสารตัวอย่าง.....	100

บทที่	หน้า
ค่ากระเสไฟฟ้าในบรรยายการไอระเหยสาร	
ตัวอย่าง (I_{gas})	101
ค่ากระเสไฟฟ้าในบรรยายการก๊าซในไตรเจน	
($I_{\text{N}_2,\text{after}}$) ภายหลังการป้อนไอระเหยสาร	
ตัวอย่าง	102
การศึกษาพฤติกรรมการตอบสนองต่อไอระเหยสาร	
ตัวอย่างของพอลิเมอร์เมื่อความเข้มข้นไอระเหยสาร	
ตัวอย่างเปลี่ยนแปลงอย่างต่อเนื่อง.....	108
ค่ากระเสไฟฟ้าในบรรยายการของก๊าซ	
ในไตรเจน ($I_{\text{N}_2,\text{before}}$) ก่อนการป้อนไอ	
ระเหยสารตัวอย่าง.....	108
ค่ากระเสไฟฟ้าในบรรยายการไอระเหยสาร	
ตัวอย่าง (I_{gas})	109
ค่ากระเสไฟฟ้าในบรรยายการก๊าซในไตรเจน	
($I_{\text{N}_2,\text{after}}$) ภายหลังการป้อนไอระเหยสาร	
ตัวอย่าง	109
ร้อยละการตอบสนองต่อไอระเหยสารตัวอย่าง (%S).....	114
ร้อยละการตอบสนองต่อไอระเหยสารตัวอย่าง	
ของพอลิเมอร์เมื่อความเข้มข้นคงที่.....	114
ร้อยละการตอบสนองต่อไอระเหยสารตัวอย่าง	
ที่ความเข้มข้นก๊าซเปลี่ยนแปลง.....	119
ระยะเวลาที่ใช้ในการตอบสนองต่อก๊าซของพอลิเมอร์	
(T_{res}).....	128
ระยะเวลาที่ใช้ในการคืนตัวกลับของพอลิเมอร์ (T_{rec}).....	133
5 สรุปผลการทดลอง	138
สรุปผลการวิจัย	138
ข้อเสนอแนะ	139
บรรณานุกรม	141

บทที่	หน้า
ภาคผนวก	144
ภาคผนวก ก	145
ภาคผนวก ข	148
ภาคผนวก ค.....	150
ประวัติผู้วิจัย	153

สารบัญตาราง

ตารางที่		หน้า
1	ตัวอย่างมลพิษอากาศกับอุตสาหกรรมที่เกี่ยวข้อง [3].....	3
2	สาร VOCs บางชนิดที่มีผลกระทบต่อระบบเนื้อเยื่อ และเป็นอันตรายต่อสุขภาพ [4].....	4
3	สภาพการนำไฟฟ้าของวัสดุบางชนิดที่อุณหภูมิห้อง [18]	14
4	โครงสร้างและค่าสภาพการนำไฟฟ้าจำเพาะของพอลิเมอร์นำไฟฟ้าที่ผ่านการกระตุนพาหะนำประจุแล้ว [20].....	23
5	พอลิเมอร์นำไฟฟ้าที่ใช้ในการตรวจสอบก้าช [24].....	25
6	พอลิเมอร์นำไฟฟ้าที่ใช้ในการตรวจสอบก้าช (ต่อ) [24].....	26
7	การประยุกต์ใช้งานพอลิไพร์โรลเป็นตัวตรวจสอบก้าช [27].....	31
8	การประยุกต์ใช้งานพอลิไพร์โรลเป็นตัวตรวจสอบก้าช (ต่อ) [27].....	32
9	อุณหภูมิการถ่ายด้วยของพอลิเมอร์ตัวรองรับ.....	82
10	อุณหภูมิ glass transition (T_g) ของพอลิเมอร์ตัวรองรับ.....	84
11	ข้อมูลการวัดค่ากระแสไฟฟ้าในบรรยากาศของก้าช ในโตรเจนของพอลิเมอร์แต่ละชนิดในการทดสอบหาค่าการนำไฟฟ้าจำเพาะ (Specific electrical conductivity, σ_{N_2}).....	87
12	ข้อมูลการวัดค่ากระแสไฟฟ้าในบรรยากาศของก้าช ในโตรเจนของพอลิเมอร์แต่ละชนิดในการทดสอบหาค่าการนำไฟฟ้าจำเพาะ (Specific electrical conductivity, σ_{N_2}) (ต่อ).....	88
13	ข้อมูลการวัดค่ากระแสไฟฟ้าในบรรยากาศของก้าช ในโตรเจนก่อน ขณะผ่านไอระเหยสารตัวอย่างและหลังผ่านไอระเหยของพอลิเมอร์แต่ละชนิดในการทดสอบกับไอระเหยเมทานอลความเข้มข้นคงที่ที่ 500 ppm	95
14	ข้อมูลค่าสภาพการนำไฟฟ้าจำเพาะในบรรยากาศของก้าช ในโตรเจนก่อน ขณะผ่านไอระเหยสารตัวอย่างและหลังผ่านไอระเหยของพอลิเมอร์แต่ละชนิดในการทดสอบกับไอระเหยเมทานอลความเข้มข้นคงที่ที่ 500 ppm	96

ตารางที่	หน้า
15 ข้อมูลการวัดค่ากราฟฟ้าในบรรยากาศของก๊าซในโตรเจนก่อน ขณะผ่านไอระเหย ตัวอย่างและหลังผ่านไอระเหยของพอลิเมอร์แต่ละชนิดในการทดสอบกับไอระเหยไดเอทิลอีเทอร์ความเข้มข้นคงที่ที่ 500 ppm.....	97
16 ข้อมูลค่าสภาพการนำไฟฟ้าจำเพาะในบรรยากาศของก๊าซในโตรเจนก่อน ขณะผ่านไอระเหยตัวอย่างและหลังผ่านไอระเหยของพอลิเมอร์แต่ละชนิดในการทดสอบกับไอระเหยไดเอทิลอีเทอร์ความเข้มข้นคงที่ที่ 500 ppm.....	98
17 ข้อมูลการวัดค่ากราฟฟ้าในบรรยากาศของก๊าซในโตรเจนก่อน ขณะการผ่านไอระเหยสารตัวอย่างและหลังผ่านไอระเหยสารตัวอย่างของพอลิเมอร์ 3-PPy oxime ใน การทดสอบกับไอเมทานอลที่ความเข้มข้นไอระเหยเปลี่ยนแปลง.....	103
18 ข้อมูลค่าสภาพการนำไฟฟ้าจำเพาะในบรรยากาศของก๊าซในโตรเจนก่อน ขณะการผ่านไอระเหยสารตัวอย่างและหลังผ่านไอระเหยสารตัวอย่างของพอลิเมอร์ 3-PPy oxime ใน การทดสอบกับไอระเหยเมทานอลที่ความเข้มข้นไอระเหยเปลี่ยนแปลง.....	104
19 ข้อมูลการวัดค่ากราฟฟ้าในบรรยากาศของก๊าซในโตรเจนก่อน ขณะการผ่านไอระเหยสารตัวอย่างและหลังผ่านไอระเหยสารตัวอย่างของพอลิเมอร์ 3-PPy oxime ใน การทดสอบกับไอระเหยไดเอทิลอีเทอร์ที่ความเข้มข้นไอระเหยเปลี่ยนแปลง.....	105
20 ข้อมูลค่าสภาพการนำไฟฟ้าจำเพาะในบรรยากาศของก๊าซในโตรเจนก่อน ขณะการผ่านไอระเหยสารตัวอย่างและหลังผ่านไอระเหยสารตัวอย่างของพอลิเมอร์ 3-PPy oxime ใน การทดสอบกับไอไดเอทิลอีเทอร์ที่ความเข้มข้นไอระเหยเปลี่ยนแปลง.....	106
21 ข้อมูลค่ากราฟฟ้าในบรรยากาศของตัวอย่างของพอลิเมอร์แต่ละชนิดในการทดสอบไอเมทานอลความเข้มข้นเปลี่ยนแปลงอย่างต่อเนื่อง.....	111
22 ข้อมูลค่ากราฟฟ้าในบรรยากาศของตัวอย่างของพอลิเมอร์แต่ละชนิดในการทดสอบไอไดเอทิลอีเทอร์ความเข้มข้นเปลี่ยนแปลงอย่างต่อเนื่อง.....	112
23 ข้อมูลร้อยละการตอบสนองของพอลิเมอร์แต่ละชนิดในการทดสอบกับไอระเหยสารตัวอย่างความเข้มข้น 500 ppm.....	116

ตารางที่		หน้า
24	ข้อมูลร้อยละการตอบสนองบรรยายกาศของไอระเหยสารตัวอย่างของพอลิเมอร์ 3-PPy oxime ในการทดสอบกับไอระเหยสารตัวอย่างความเข้มข้นค่าต่าง ๆ	120
25	ข้อมูลค่าสภาพการนำไฟฟ้าจำเพาะของพอลิเมอร์แต่ละชนิดในการทดสอบกับไอระเหยสารตัวอย่างความเข้มข้นเปลี่ยนแปลงต่อเนื่องจาก 500 ppm 250 ppm และ 125 ppm ตามลำดับ.....	123
26	ข้อมูลค่าสภาพการนำไฟฟ้าจำเพาะของพอลิเมอร์แต่ละชนิดในการทดสอบกับไอไดอิทิลอีเทอร์ความเข้มข้นเปลี่ยนแปลงต่อเนื่องจาก 500 ppm 250 ppm และ 125 ppm ตามลำดับ.....	124
27	ข้อมูลร้อยละการตอบสนองของพอลิเมอร์ในการทดสอบกับไอระเหยสารตัวอย่างความเข้มข้นเปลี่ยนแปลงต่อเนื่องจาก 500 ppm 250 ppm และ 125 ppm ตามลำดับ.....	125
28	ข้อมูลเวลาในการตอบสนองต่อไอระเหยสารตัวอย่างของพอลิเมอร์แต่ละชนิดในการทดสอบกับไอระเหยสารตัวอย่างความเข้มข้นคงที่ 500 ppm.....	129
29	ข้อมูลเวลาในการตอบสนองในบรรยายกาศของไอระเหยสารตัวอย่างของพอลิเมอร์ 3-PPy oxime ใน การทดสอบกับไอระเหยสารตัวอย่างความเข้มข้นค่าต่าง ๆ.....	130
30	ข้อมูลเวลาในการคืนตัวกลับต่อไอระเหยสารตัวอย่างของพอลิเมอร์แต่ละชนิดในการทดสอบกับไอระเหยสารตัวอย่างความเข้มข้นคงที่ 500 ppm.....	134
31	ข้อมูลเวลาในการคืนตัวในบรรยายกาศของไอระเหยสารตัวอย่างของพอลิเมอร์ 3-PPy oxime ใน การทดสอบกับไอระเหยสารตัวอย่างความเข้มข้นต่าง ๆ...	135

สารบัญภาพประกอบ

ภาพที่	หน้า
1 ปริมาณสารประกอบไฮโดรคาร์บอนในบรรณาการศบริเวณกรุงเทพมหานคร [2]...	2
2 ปริมาณสาร Carbonyl compounds ในบรรณาการศบริเวณกรุงเทพมหานคร [2].....	2
3 ประจุลบเคลื่อนที่แบบไม่มีพิษทางแบบสูง ทำให้ไม่มีกระแสสุทธิ.....	9
4 แสดงกระแสของประจุไฟฟ้าเมื่อมีสนามไฟฟ้า.....	10
5 โครงสร้างอะตอมชิลิกอนบริสุทธิ์ [16].....	10
6 โครงสร้างอะตอมชิลิกอนที่ถูกเจือปนด้วยอะตอมฟอฟอรัส [16].....	11
7 โครงสร้างอะตอมชิลิกอนที่ถูกเจือปนด้วยอะตอมไบرون [16].....	12
8 การกระโดดขั้นชั้นพลังงานของวัสดุชนิดต่างๆ [17].....	12
9 แสดงพฤติกรรมสภาพการนำไฟฟ้าของพอลิเมอร์นำไฟฟ้าและโลหะเป็นฟังก์ชัน กับอุณหภูมิ.....	15
10 ตัวอย่างพอลิเมอร์ที่มีโครงสร้างแบบ π -Conjugated linear polymers.....	16
11 ตัวอย่างพอลิเมอร์ที่มีโครงสร้างแบบ Narrow Band-Gap Polymers.....	17
12 แสดงโครงสร้าง ไอโอลิโกราฟอีฟิน.....	17
13 ตัวอย่างพอลิเมอร์ที่มีโครงสร้างแบบ Non-conjugated Polymers Containing Pendant π -Electron Systems.....	18
14 การซ่อนเหลี่ยมของ Orbital ในระบบ Conjugation.....	19
15 ระดับพลังงานของ Neutral chain, Polaron และ Bipolaron ของพอลิไพร์โรล.....	20
16 (a-b) การเกิด Radical cation หรือ polaron โดยการหลุดออกของอิเล็กตรอนจาก คาร์บอน โนมเลกุล Polyacetylene (c-e) การเคลื่อนย้ายตำแหน่ง polaron.....	20
17 เปรียบเทียบสมบัติทางไฟฟ้าของพอลิเมอร์กับวัสดุชนิดอื่นๆ [17].....	21
18 ผลของการกระตุ้นให้เกิดพาหะพาประจุของ Polyacetylene [19].....	21
19 การกระตุ้นให้เกิดพาหะพาประจุของ Polyacetylene ด้วยสารกระตุ้นพาหะนำ ประจุชนิดต่างๆ.....	22
20 ค่าสภาพการนำไฟฟ้าจำเพาะและเปอร์เซ็นต์ผลผลิตของพอลิไพร์โรลที่แต่ละ อัตราส่วนมอนомнอร์กับตัวอักษรซีไดซ์.....	23

ภาคที่		หน้า
21	การวัดค่าความต้านทานเริ่มต้น (R_a).....	27
22	การวัดค่าความต้านทานภายหลังการสัมผัสก๊าซ (R_g).....	28
23	การเกิด Physical และ Chemical Absorption ของ โอมเลกุลก๊าซบนผิวของพอลิไพร์โรล.....	29
24	แบบจำลองโครงสร้างสามมิติไพร์โรล.....	29
25	โครงสร้างพอลิไพร์โรล.....	29
26	สภาพการนำไฟฟ้าจำเพาะของ Polypyrrole ที่ผ่านการกระตุ้นด้วยไอโอดีน.....	30
27	แสดงอันตรักษริยาระหว่าง โอมเลกุลก๊าซคาร์บอนอนอนออกไซด์ที่มีค่อ (a) Polypyrrole (b) Polypyrrole ที่มีการเจือปนด้วยอะตอนเมฟอร์โรเซิน.....	33
28	(a) Polypyrrole, (b) Poly-N-alkylpyrrole, (c) Poly-3-alkylpyrrole.....	34
29	แสดงปฏิกิริยาการเตรียม <i>N-p-Toluenesulfonylpyrrole</i>	34
30	(a) Poly (2-(3-pyrrole) propylamine), (b) Poly (2-(3-pyrrole) ethanol).....	35
31	(a) 3-pyrryl)ethane, (b) (3-pyrryl)butane, (c) (3-pyrryl)hexane, (d) (3-pyrryl)dodecane.....	35
32	Poly(vinyl ferrocene) ในรูปของ Reduced state และ Oxidized state ที่ทำหน้าที่เป็น host ให้กับ ClO_4^- ที่เป็น counterion.....	36
33	อุปกรณ์วางแผนชีนงานเพื่อทดสอบหาสมบัติการนำไฟฟ้า.....	47
34	การวางแผนชีนงานเพื่อทดสอบหาสมบัติการนำไฟฟ้า.....	47
35	แผนผังแสดงอุปกรณ์การควบคุมก๊าซและการวัดค่าการนำไฟฟ้า.....	51
36	เครื่องมือควบคุมความเข้มข้นของ ไอตัวอย่างและวัดค่าการนำไฟฟ้า.....	52
37	โครงสร้างทางเคมีของ (a) ไพร์โรล, (b) <i>p-Toluenesulfonyl chloride</i> และ (C) <i>N-p-Toluenesulfonylpyrrole</i>	55
38	FT-IR Spectrum ของ <i>p-Toluenesulfonyl chloride</i> และ <i>N-p-Toluenesulfonylpyrrole</i>	56
39	$^1\text{H-NMR}$ Spectrum ของ pyrrole ใน CDCl_3 ,.....	57
40	$^1\text{H-NMR}$ Spectrum ของ <i>N-p-Toluenesulfonylpyrrole</i> ใน CDCl_3 ,.....	58
41	โครงสร้างทางเคมีของ 3-bromopropionyl chloride และ 3-derivatized pyrrole precursor.....	58

ภาคที่		หน้า
42	FT-IR Spectrum ของ <i>p</i> -Toluenesulfonyl chloride, <i>N-p</i> -Toluenesulfonylpyrrole และ 3-derivatized pyrrole precursor.....	59
43	¹ H-NMR Spectrum ของ 3-derivatized pyrrole precursors ใน CDCl ₃	60
44	โครงสร้างทางเคมีของ 3-Py.....	61
45	FT-IR Spectrum ของ 3-derivatized pyrrole precursor และ 3-Py.....	61
46	¹ H-NMR Spectrum ของ 3-Py ใน CDCl ₃	62
47	โครงสร้างทางเคมีของ 3-PPy.....	63
48	ปฏิกิริยาการเกิดพอลิเมอร์ระหว่างของ 3-PPy.....	65
49	FT-IR Spectrum ของ 3-Py และ 3-PPy.....	66
50	¹ H-NMR Spectrum ของ 3-PPy ใน DMSO-d ₆	67
51	โครงสร้างทางเคมีของ 3-PPy oxime.....	67
52	ปฏิกิริยาการเกิดหมู่ออกซิเมของ 3-PPy.....	68
53	FT-IR Spectrum ของ 3-PPy และ 3-PPy oxime.....	69
54	¹ H-NMR Spectrum ของ 3-PPy oxime ใน DMSO-d ₆	69
55	โครงสร้างทางเคมีของเกลือโซเดียมเฟอร์โรซีนคาร์บอคซิเลต (Na-FCC).....	70
56	ปฏิกิริยาการเตรียมเกลือโซเดียมเฟอร์โรซีนคาร์บอคซิเลต.....	70
57	FT-IR Spectrum ของ FCC (สังเคราะห์) และ Na-FCC.....	71
58	¹ H-NMR Spectrum ของ Na-FCC ใน CDCl ₃	72
59	โครงสร้างทางเคมีของ 3-PPy oxime FCC.....	72
60	ปฏิกิริยาเอกสารริฟิเคลชันของ 3-PPy oxime FCC ด้วยเกลือโซเดียมเฟอร์โรซีน คาร์บอคซิเลต.....	73
61	FT-IR Spectrum ของ 3-PPy, 3-PPy oxime และ 3-PPy oxime FCC.....	74
62	¹ H-NMR Spectrum ของ 3-PPy oxime FCC ใน DMSO-d ₆	75
63	โครงสร้างพอลิไพร์โรล.....	75
64	ปฏิกิริยาพอลิเมอร์ระหว่างของพอลิไพร์โรล.....	77
65	FT-IR Spectrum ของ 3-PPy และ PPY.....	78
66	¹ H-NMR Spectrum ของ PPY ใน DMSO-d ₆	78
67	FT-IR Spectrum ของอนุพันธ์พอลิไพร์โรลภายหลังทดสอบกับไฮราเซทร.....	79

ภาคที่		หน้า
68	FT-IR Spectrum subtract ของอนุพันธ์โพลิไพร์โรลภายในหลังการทดสอบกับไออกซ์เจน	80
69	TGA thermogram เปรียบเทียบอุณหภูมิการสลายตัวของโพลิเมอร์ตัวรองรับ.....	82
70	DSC thermogram เปรียบเทียบอุณหภูมิ glass transition (T_g) ของโพลิเมอร์ตัวรองรับ.....	84
71	ค่ากระแสไฟฟ้า (I) ในสเกลลือกที่ความต่างศักย์ไฟฟ้าค่าต่าง ๆ ของโพลิเมอร์ใน การทดสอบหา linear ohmic regime ภายใต้บรรยายกาศของก๊าซในโตรเจน..	85
72	ความสัมพันธ์ระหว่างค่ากระแสไฟฟ้า (I) กับค่าความต่างศักย์ (V) ในการทดสอบ หา linear ohmic regime ภายใต้บรรยายกาศของไออกซ์เจน.....	86
73	ค่าสภาพการนำไฟฟ้าจำเพาะของโพลิเมอร์ที่ผ่านการกรองตู้น้ำทางด้วยสารกรองตู้น ชnid ต่างๆ จากการทดลองซ้ำสามรอบเฉลี่ย (σ_{N_2}).....	89
74	ค่าสภาพการนำไฟฟ้าจำเพาะของโพลิเมอร์ชนิดต่างๆ ที่ผ่านการกรองตู้น้ำทางและ ไม่ผ่านการกรองตู้น้ำทางด้วยคลีทีลมฟลูออยด์จากการทดลองซ้ำสามรอบ (σ_{N_2}).....	90
75	ค่ากระแสไฟฟ้าที่จุดสมดุลของโพลิเมอร์ในบรรยายกาศของไออกซ์เจนสารตัวอย่าง ความเข้มข้นคงที่ที่ 500 ppm.....	99
76	ค่ากระแสไฟฟ้าที่จุดสมดุลของ 3-PPy oxime ในบรรยายกาศของไออกซ์เจนสาร ตัวอย่างความเข้มข้นต่างๆ.....	107
77	ค่ากระแสไฟฟ้าที่จุดสมดุลของโพลิเมอร์ในบรรยายกาศของไออกซ์เจนสารตัวอย่าง ความเข้มข้นเปลี่ยนแปลงอย่างต่อเนื่อง (เฉลี่ยจากการทดสอบซ้ำสอง ครั้ง).....	113
78	ค่าสภาพการนำไฟฟ้าของโพลิเมอร์ ที่จุดสมดุลในบรรยายกาศของไออกซ์เจนสาร ตัวอย่างความเข้มข้นคงที่ที่ 500 ppm.....	117
79	ค่าร้อยละการตอบสนองของโพลิเมอร์ที่จุดสมดุลในบรรยายกาศของไออกซ์เจนสาร ตัวอย่างความเข้มข้นคงที่ที่ 500 ppm.....	118
80	ค่าสภาพการนำไฟฟ้าของโพลิเมอร์ 3-PPy oxime ที่จุดสมดุลในบรรยายกาศของไออกซ์ เจนสารตัวอย่างความเข้มข้นค่าต่างๆ.....	121

ภาคที่		หน้า
81	ค่าร้อยละการตอบสนองของพอลิเมอร์ 3-PPy oxime ที่จุดสมดุลในบรรยายกาศของ ไօระเหยสารตัวอย่างความเข้มข้นค่าต่างๆ	122
82	ค่าสภาพการนำไฟฟ้าของพอลิเมอร์ที่จุดสมดุลในบรรยายกาศของไօระเหยสาร ตัวอย่างความเข้มข้นเปลี่ยนแปลงอย่างต่อเนื่อง.....	126
83	ค่าร้อยละการตอบสนองของพอลิเมอร์ที่จุดสมดุลในบรรยายกาศของไօระเหยสาร ตัวอย่างความเข้มข้นที่มีการเปลี่ยนแปลงอย่างต่อเนื่อง.....	127
84	ระยะเวลาในตอบสนองของพอลิเมอร์ที่จุดสมดุลในบรรยายกาศของไօระเหยสาร ตัวอย่างความเข้มข้นคงที่ที่ 500 ppm.....	131
85	ระยะเวลาในตอบสนองของพอลิเมอร์ 3-PPy oxime ที่จุดสมดุลในบรรยายกาศของ ไօระเหยสารตัวอย่างความเข้มข้นเปลี่ยนแปลง.....	132
86	ระยะเวลาในการคืนตัวกลับของพอลิเมอร์ที่จุดสมดุลในบรรยายกาศของไօระเหย สารตัวอย่างความเข้มข้นคงที่ที่ 500 ppm.....	136
87	ระยะเวลาในการคืนตัวกลับของพอลิเมอร์ 3-PPy oxime ที่จุดสมดุลในบรรยายกาศ ของไօระเหยสารตัวอย่างความเข้มข้นต่างๆ	137

บทที่ 1

บทนำ

1.1 ความเป็นมาและความสำคัญของปัญหา

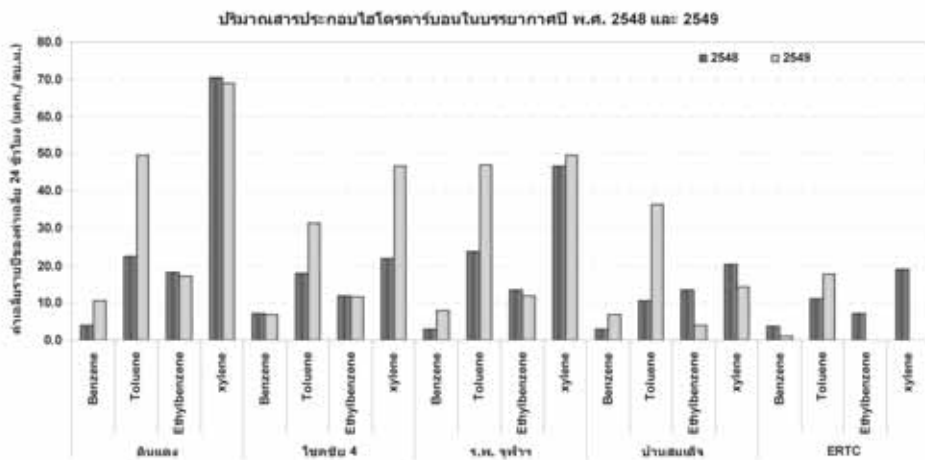
ผลจากการขยายตัวทางเศรษฐกิจอย่างรวดเร็วของประเทศไทย ทำให้มีโรงงานใหม่เกิดขึ้นมากน้อย รวมถึงความต้องการในการขนส่งและการเดินทางที่มากขึ้น ล่าสุดให้มีการระบายน้ำมลพิษจากโรงงาน และท่อไอเสียรดบนต์ในสัดส่วนที่เพิ่มมากขึ้น จากสาเหตุดังกล่าวทำให้เกิดปัญหาด้านสิ่งแวดล้อม โดยเฉพาะอย่างยิ่งมลพิษทางด้านอากาศ

มลพิษทางอากาศ [1] เป็นภาวะอากาศที่มีสารเจือปนอยู่ในปริมาณที่สูงกว่าระดับปกติเป็นเวลากัน pains ที่จะทำให้เกิดอันตรายแก่นุษย์ สัตว์ พืช หรือทรัพย์สินต่าง ๆ

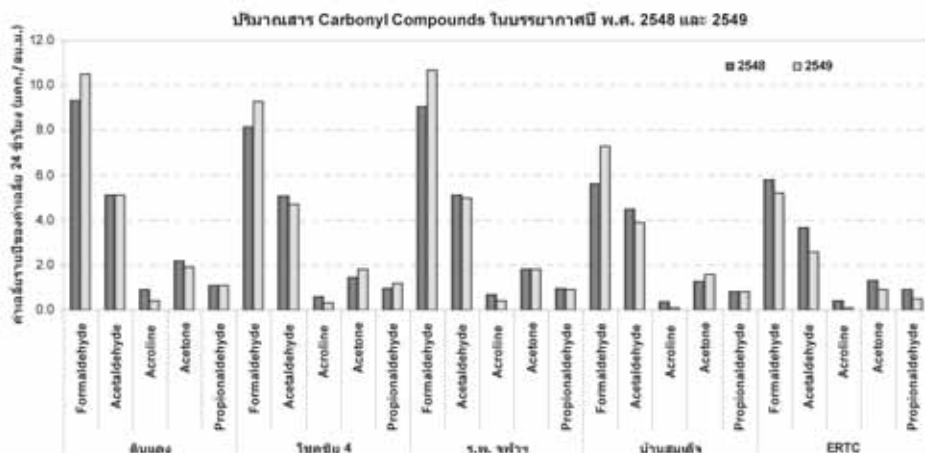
แหล่งกำเนิดมลพิษทางอากาศที่สำคัญของประเทศไทย แบ่งเป็น 2 กลุ่มใหญ่ ๆ ดังนี้

- ยานพาหนะ
- โรงงานอุตสาหกรรม

ยานพาหนะก่อให้เกิดปัญหามลพิษทางอากาศจำกัดเฉพาะในเขตชุมชนขนาดใหญ่ เช่น กรุงเทพมหานครและปริมณฑล ดังนั้นบริเวณที่ใกล้ถนนที่มีการจราจรติดขัด จะมีปัญหามลพิษทางอากาศที่รุนแรงกว่า ในบริเวณที่มีการจราจรคล่องตัว สารมลพิษที่ระบาดเข้าสู่บรรยายกาศที่เกิดจากกิจกรรมทางเศรษฐกิจ ได้แก่ ก๊าซคาร์บอนมอนอกไซด์ ก๊าซออกไซด์ของไนโตรเจน สารประกอบไฮโดรคาร์บอน ฝุ่นละอองขนาดเล็กกว่า 10 ไมครอน สารตะกั่วและก๊าซซัคเพอร์ไกօอกไซด์ ดังแสดงในภาพที่ 1 และ 2 [2]



ภาพที่ 1 ปริมาณสารประกอบไฮโดรคาร์บอนในบรรยากาศบริเวณกรุงเทพมหานคร [2]



ภาพที่ 2 ปริมาณสาร Carbonyl compounds ในบรรยากาศบริเวณกรุงเทพมหานคร [2]

มลพิษทางอากาศจากแหล่งกำเนิดอุตสาหกรรม เป็นผลจากการเผาไหม้เชื้อเพลิงและกระบวนการผลิตซึ่งเป็นสาเหตุสำคัญที่ก่อให้เกิดผลกระทบต่อกุญแจอากาศในบรรยากาศและยังส่งผลกระทบต่อสุขภาพอนามัยของประชาชนในชุมชนโดยทั่วไป จากรายงานสถานการณ์คุณภาพสิ่งแวดล้อม พ.ศ. 2540 สำนักนโยบายและสิ่งแวดล้อม กรมโรงงานอุตสาหกรรม ได้สรุปชนิดของมลพิษอากาศกับประเภทอุตสาหกรรม แสดงในตารางที่ 1 ดังนี้

ตารางที่ 1 ตัวอย่างมลพิษอากาศกับอุตสาหกรรมที่เกี่ยวข้อง [3]

ประเภทอุตสาหกรรม	สารมลพิษอากาศ
อุตสาหกรรมปั๊ย อุตสาหกรรมเคมีร่วมกัน	ไฮโดรเจนฟลูออไรด์ : HF
โรงกลั่นน้ำมัน อุตสาหกรรมก๊าซแอมโมเนีย อุตสาหกรรมผลิตเยื่อกระดาษ	ไฮโดรเจนชัลไฟฟ์ : H ₂ S
โรงกลุ่งโลหะ อุตสาหกรรมเคมี	เซเลเนียม ไดออกไซด์ : SeO ₂
อุตสาหกรรมโซเดียมฟิฟ กระบวนการผลิตพลาสติก	ไฮโดรเจนคลอไรด์ : HCl
การผลิตกรดดินประสิว	ไนโตรเจนไดออกไซด์ : NO ₂
การผลิตกรดกำมะถัน	ซัลฟอร์ไดออกไซด์ : SO ₂
อุตสาหกรรมย้อมสี	ฟอสเจน (PHOSGENE) : COCl ₂
อุตสาหกรรมผลิตปั๊ย การชุบโลหะ	แอมโมเนีย : NH ₃
อุตสาหกรรมผลิตหลังค้าไฟเบอร์	สไตรีน : C ₆ H ₅ CHCH ₂
การผลิตคาร์บอนไดออกไซด์	คาร์บอนไดซัลไฟฟ์ : CS ₂
การผลิตฟอร์เมลิน หนัง ยางสังเคราะห์ การผลิตวานิช	ฟอร์มาลดีไฮด์ : HCHO
โรงกลั่นน้ำมัน การผลิตฟอร์เมลิน ตัวทำละลายอินทรีย์	เบนซีน : C ₆ H ₆
การผลิตเมทานอล การผลิตฟอร์เมลิน อุตสาหกรรมสี	เมทานอล : CH ₃ OH
อุตสาหกรรมก๊าซ การกลุ่งโลหะ	คาร์บอนมอนอกไซด์ : CO
อุตสาหกรรมสี ยางสังเคราะห์	ฟีโนล : C ₆ H ₅ OH
อุตสาหกรรมยา สารเคมี	Pyridine : C ₅ H ₅ N
อุตสาหกรรมปิโตรเลียม อุตสาหกรรมเกสัชกรรม	Mercaptan : C ₂ H ₅ SH

จากข้อมูลในตารางที่ 2 แสดงถึงความสัมพันธ์ระหว่างประเภทอุตสาหกรรมกับก๊าซพิษ และ/หรือ ไอระเหยจากสารประกอบอินทรีย์ (VOCs) ที่เกิดขึ้นระหว่างกระบวนการผลิตในอุตสาหกรรม ซึ่งมีความเป็นพิษต่อร่างกายมนุษย์หากได้รับเข้าไปเกินกว่าปริมาณที่กำหนดไว้

ตารางที่ 2 สาร VOCs บางชนิดที่มีผลกระแทบต่อระบบเนื้อเยื่อ และเป็นอันตรายต่อสุขภาพ [4]

สาร VOCs	เนื้อเยื่อที่ถูกทำลายโดยสาร VOCs	ผลร้ายต่อสุขภาพ
Benzene	Hemopoietic system, red blood cell, nerve	ทำลายไขกระดูก เม็ดเลือดแดงแตก โรคโลหิตจาง และอาการหรือโรคทางประสาทส่วนกลาง
Carbon tetrachloride (CCl_4)	Liver, CNS	ตับเสื่อม ตับแข็ง
Chloroform ($CHCl_3$)	Liver, Kidney, heart muscle, eyes, skin	ตับเสื่อม ตับแข็ง ไตเสื่อม หัวใจเต้นผิดปกติ การแสบระคายเคืองของตา และ ผิวน้ำ
Dichlorobenzene (DCM)	Liver, kidney, blood, skin, eyes, upper respiratory tract	ฤทธิ์แสบ-ระคายเคือง ปอดบวม กดประสาทส่วนกลาง อาจหมดสติและตายได้
Ethyl alcohol	Liver, CNS nerve, placenta	ตับเสื่อม ตับแข็ง เร่งการเกิดมะเร็งตับ มีฤทธิ์กดประสาท ทำให้การกินที่คลอดพิการ
Ethyl benzene, n-Hexane	Eyes, CNS nerve, nasal cavity nerve	ทำให้ระคายเคือง แสบตา แสบจมูก กดประสาทส่วนกลาง ทำให้ปวดหัว งุนงง และอาจหมดสติได้
Methanol	Liver, CNS nerve	ตับเสื่อม มีฤทธิ์กดประสาท ทำให้ตาบอด
Toluene	CNS nerve	มีผลต่อระบบประสาทส่วนกลาง
Trichlorobenzene	Liver ,Kidney	ตับแข็ง ตับเสื่อม ไตเสื่อม
1,1, 1-Trichloroethane	Liver, Nerve, Kidney	มีฤทธิ์กดประสาท ส่วนกลาง ทำให้ชัก หมดสติ และอาจตายได้
Xylene	Skin, nerve	ระคายเคืองผิวน้ำ

ด้วยเหตุนี้ จึงได้มีการศึกษาค้นคว้าเพื่อพัฒนาอุปกรณ์ตรวจสอบก้าชที่ได้จากการประกอบอินทรีย์ เช่น แอลกอฮอล์ อีเทอร์ เอสเทอร์ และสารประกอบไฮโดรคาร์บอนอื่นๆ โดยการตรวจสอบชนิดและปริมาณของก้าชต่างๆ ที่เกิดขึ้นเพื่อควบคุมให้อยู่ในปริมาณที่เหมาะสมด้วยอุปกรณ์ที่เรียกว่า “จมูกอิเล็กทรอนิกส์” [5] ที่อาศัยหลักการเดียวกันกับการรับกลิ่นของมนุษย์ ซึ่งสามารถผลิตขึ้นได้จากวัสดุหลายชนิด เช่น โลหะออกไซด์ [6] และ พอลิเมอร์นำไฟฟ้า [7,8] โดยเฉพาะอย่างยิ่ง พอลิเมอร์นำไฟฟ้านี้มีข้อได้เปรียบตรงที่มีน้ำหนักเบา สามารถขึ้นรูปได้ง่าย และมีราคาถูก ได้เมื่นกวิจัยหลายท่านที่ทำการศึกษาค้นคว้าเกี่ยวกับวัสดุดังกล่าวมาโดยมากเพื่อนำมาประยุกต์ใช้เป็นจมูกอิเล็กทรอนิกส์ หรืออุปกรณ์ตรวจสอบแก๊ส โดยพอลิเมอร์นำไฟฟ้าที่นิยมนำมาประยุกต์ใช้งาน ได้แก่ พอลิไพร์โรล, พอลิอะนิลิน และพอลิไนโตรฟีน เป็นต้น [9] นอกจากนี้ยังมีการใช้ระบบพอลิเมอร์ผสมเพื่อรวมข้อดีของพอลิเมอร์หรือวัสดุอื่นที่นำมาร่วมกันอีกด้วย [10] ลิ่งหนึ่งที่เหมือนกันของพอลิเมอร์เหล่านี้ คือ หลักการทำงานพื้นฐานที่ต้องมีระบบคอนจูเกต เพื่อให้อิเล็กตรอนที่เป็นพาหะในการนำไฟฟ้าสามารถเคลื่อนที่ได้ในโครงสร้างโมเลกุลของพอลิเมอร์ด้วย [11,12]

อย่างไรก็ตาม การทำให้พอลิเมอร์นำไฟฟ้าได้นั้น ไม่จำเป็นต้องมีระบบคอนจูเกตอยู่ในโครงสร้างโมเลกุลเสมอไป เช่น เฟอร์โรซิโนพอลิเมอร์ซึ่งเป็นพอลิเมอร์ที่มีโครงสร้างของสายโซ่หลักเป็นchain เมื่อทำการปรับปรุงโดยเพิ่มหมู่ฟังก์ชันของเฟอร์โรซิโนที่เป็นไอออนของเหล็กเข้าไป และสามารถนำไฟฟ้าได้เมื่อนำไปต่อเข้ากับแหล่งกำเนิดความต่างศักย์ โดยหลักการนำไฟฟ้าของเฟอร์โรซิโนพอลิเมอร์อาศัยการเคลื่อนที่แบบกระโดดข้ามของอิเล็กตรอนจากไอออนของเหล็กตัวหนึ่งไปสู่อีktัวหนึ่งซึ่งอยู่ข้างเคียง โภสินทร์ หาชะวี [12] ได้สังเคราะห์เฟอร์โรซิโนการบอชีเมทชิลเลเตตพอลิเมอร์ และศึกษาพฤติกรรมการตอบสนองของเฟอร์โรซิโนการบอชีเมทชิลเลเตตพอลิเมอร์เมื่อออยู่ภายใต้บรรยายกาศไอเมทานอล และอะซิโตน จากการศึกษา พบว่าเฟอร์โรซิโนการบอชีเมทชิลเลเตตพอลิเมอร์ที่มีโครงสร้างอ่อนตัวและมีช่องว่างระหว่างโมเลกุลของพอลิเมอร์มาก จะแสดงค่าการนำไฟฟ้าสูงกว่าเฟอร์โรซิโนการบอชีเมทชิลเลเตตพอลิเมอร์ที่มีโครงสร้างแข็งที่อ่อน และมีช่องว่างระหว่างโมเลกุลน้อย สำหรับพอลิไพร์โรล เป็นพอลิเมอร์นำไฟฟ้าระบบคอนจูเกตชนิดหนึ่งที่จัดอยู่ในประเภทพอลิเมอร์ที่มีโครงสร้างแบบ rigid-rod พอลิไพร์โรลที่สังเคราะห์ขึ้นโดยกระบวนการทางเคมีทั่วๆ ไปนั้น ไม่สามารถละลายได้ในตัวทำละลายใดๆ เนื่องจากแรงกระทำระหว่างสายโซ่พอลิเมอร์ที่มีค่ามาก ทำให้พอลิไพร์โรลมีช่องว่างระหว่างโมเลกุลพอลิเมอร์น้อย ทำให้ร้อยละความว่องไวของพอลิไพร์โรลมีค่าไม่สูงนัก [13]

งานวิจัยนี้จึงมุ่งเน้นที่จะสังเคราะห์และพิสูจน์เอกสารลักษณ์ของพอลิไพร์โรลและอนุพันธ์พอลิไพร์โรล เพื่อปรับปรุงสมบัติการนำไฟฟ้าพลิไพร์โรล ศึกษาอิทธิพลของหมู่ฟังก์ชันและชนิดของสารกระตุนพาหะนำประจุ รวมถึงทดสอบการวัดค่าการนำไฟฟ้าเมื่อออยู่ในบรรยากาศของก๊าซตัวอย่าง และนำมาคำนวณหาค่าร้อยละการตอบสนองต่อ ก๊าซตัวอย่างนั้น เพื่อนำพอลิเมอร์ดังกล่าวมาประยุกต์ใช้เป็นอุปกรณ์ตรวจจับก๊าซต่อไป

1.2 วัตถุประสงค์ของงานวิจัย

1.2.1 เพื่อสังเคราะห์และพิสูจน์เอกสารลักษณ์ของพอลิไพร์โรลและอนุพันธ์พอลิไพร์โรลชนิดต่างๆ ที่สังเคราะห์ขึ้น และการนำไฟฟ้าของสารต่างๆ ดังกล่าว

1.2.2 เพื่อศึกษาอิทธิพลของสารกระตุนพาหะนำประจุที่มีขนาดของแอนไอออนที่แตกต่างกัน ในแบ่งของการนำไฟฟ้าของพอลิไพร์โรลและอนุพันธ์

1.2.3 เพื่อศึกษาอิทธิพลของก๊าชนิดต่างๆ และโครงสร้างของพอลิไพร์โรลและอนุพันธ์พอลิไพร์โรลที่มีต่อสมบัติทางไฟฟ้าของพอลิเมอร์ชนิดต่างๆ ที่สังเคราะห์ขึ้นเมื่อออยู่ภายใต้บรรยากาศของก๊าชนั้น ๆ

1.3 แนวคิดงานวิจัย

พอลิไพร์โรลเป็นพอลิเมอร์นำไฟฟ้าระบบคอนจูเกตชนิดหนึ่งที่ได้รับความสนใจอย่างมากเนื่องจากพอลิไพร์โรลนั้นสามารถสังเคราะห์ได้ง่ายโดยผ่านปฏิกิริยาเคมีหรือปฏิกิริยาไฟฟ้าเคมีรวมถึงมีความเสถียรต่อสภาพแวดล้อม แต่จากการศึกษาพบว่า พอลิไพร์โรลมีโครงสร้างแข็งทื่อและมีช่องว่างระหว่างโมเลกุลพอลิเมอร์น้อย ซึ่งมีผลต่อระยะเวลาที่ใช้ในการตอบสนองต่อ ก๊าซและระยะเวลาที่ใช้ในการคืนตัวกลับ งานวิจัยนี้มีจุดมุ่งหมายเพื่อเพิ่มความสามารถในการนำไฟฟ้าของพอลิไพร์โรล โดยการปรับปรุงหมู่ฟังก์ชัน ณ ตำแหน่งที่ 3 เป็นหมู่ไห้อิเล็กตรอน และเพิ่มโครงสร้างเฟอร์โรซีนเข้าไปที่หมู่ข้างเคียง โดยการเพิ่มหมู่ฟังก์ชันเข้าไป ณ ตำแหน่งที่ 3 จะทำให้พอลิเมอร์ที่ได้มีโครงสร้างที่อ่อนตัวและมีช่องว่างระหว่างโมเลกุลมากขึ้น ซึ่งช่วยปรับปรุงระยะเวลาที่ใช้ในการตอบสนองต่อ ก๊าซและระยะเวลาที่ใช้ในการคืนตัวกลับของพอลิไพร์โรลเดิมขึ้น อีกทั้งการเพิ่มหมู่เฟอร์โรซีนเข้าไปในโครงสร้างโมเลกุลพอลิไพร์โรลยังช่วยปรับปรุงสมบัติการนำไฟฟ้า เนื่องจากการนำไฟฟ้าจะเกิดขึ้นได้ใน 2 กลไก ทั้งทางระบบคอนจูเกตที่อยู่ในโมเลกุลพอลิไพร์โรล และการกระโดดข้ามของอิเล็กตรอนจากไอออนของเหล็กจากเฟอร์โรซีนหมู่หนึ่งไปสู่อีก

หมู่ที่อยู่ข้างเคียง โดยจากหลักการดังกล่าวจะเน้นย่องทำให้สามารถนำมาใช้ประโยชน์ในการตรวจจับก้าชได้ เนื่องจากก้าชแต่ละชนิดจะทำให้ความสามารถในการเคลื่อนที่ของอิเล็กตรอนได้แตกต่างกัน ซึ่งขึ้นอยู่กับความสามารถในการซึมผ่านได้ของก้าชและความสามารถในการทำให้อ่อนตัวก็ขึ้น ก้าชที่มีผลต่อความสามารถในการเคลื่อนที่ของอิเล็กตรอนทำให้ค่าการนำไฟฟ้าของพอลิเมอร์แต่ละชนิดไม่เท่ากันด้วย

1.4 ขอบเขตของงานวิจัย

งานวิจัยนี้จะทำการสังเคราะห์ พิสูจน์เอกสารก้าช และศึกษาอิทธิพลของโครงสร้างของอนุพันธุ์พอลิไพร์โรล อิทธิพลของของสารกระตุ้นพาหะนำประจุ และชนิดของก้าชที่มีผลต่อสมบัติ การนำไฟฟ้าของพอลิเมอร์ ดังต่อไปนี้

1.4.1 พอลิเมอร์ที่ทำการสังเคราะห์และศึกษามี 4 ชนิด ได้แก่

1.4.1.1 พอลิไพร์โรล

1.4.1.2 พอลิไพร์โรลที่มีหมู่แทนที่ ณ ตำแหน่งที่ 3 เป็นหมู่คาร์บอนิล

1.4.1.3 พอลิไพร์โรลที่มีหมู่แทนที่ ณ ตำแหน่งที่ 3 เป็นหมู่ออกซิม

1.4.1.3 เฟอร์โรซีนิคาร์บอซีเลตพอลิไพร์โรลที่มีหมู่แทนที่ ณ ตำแหน่งที่ 3 เป็นหมู่ออกซิม

1.4.2 ก้าชตัวอย่างที่ใช้ในการทดสอบมี 2 ชนิด ได้แก่

1.4.2.1 ไօระเหยของเมทานอล ความเข้มข้นเท่ากับ 500 250 และ 125 ppm ที่อุณหภูมิ 28 °C โดยใช้ก้าชในโตรเจนเป็นตัวควบคุมความเข้มข้น ในระบบปิด

1.4.2.2 ไօระเหยของไดเอทิลเอทอრ ความเข้มข้นเท่ากับ 500 250 และ 125 ppm ที่อุณหภูมิ 28 °C โดยใช้ก้าชในโตรเจนเป็นตัวควบคุมความเข้มข้น ในระบบปิด

1.5 ขั้นตอนการดำเนินงานวิจัย

1.5.1 ศึกษาและเก็บรวบรวมข้อมูลงานวิจัยที่เกี่ยวข้อง

1.5.2 ออกแบบวิธีการทดลอง และวางแผนการทดลอง

1.5.3 จัดหาอุปกรณ์และสารเคมี

1.5.4 ดำเนินงานวิจัย

1.5.4.1 สังเคราะห์ผลลัมภ์สำหรับไฟฟ้า

1.5.4.2 ทดสอบสมบัติการนำไฟฟ้า

1.5.5 วิเคราะห์ผลงานวิจัยที่ได้

1.5.6 สรุปผลงานวิจัย

1.5.7 รายงานผลงานวิจัย

1.6 ผลที่คาดว่าจะได้รับ

1.6.1 สามารถสังเคราะห์ผลลัมภ์ไฟฟ้าและอนุพันธ์ของผลลัมภ์ไฟฟ้าที่สามารถนำมาใช้ในการตรวจสอบก้าช์ได้

1.6.2 ได้ข้อมูลอิทธิพลของโครงสร้างผลลัมภ์ไฟฟ้าและอนุพันธ์ของผลลัมภ์ไฟฟ้าที่มีต่อสมบัติทางไฟฟ้า

1.6.3 ได้ข้อมูลอิทธิพลของไอระเหยที่มีต่อสมบัติทางไฟฟ้าของผลลัมภ์ไฟฟ้าและอนุพันธ์ของผลลัมภ์ไฟฟ้า

บทที่ 2

เอกสารและงานวิจัยที่เกี่ยวข้อง

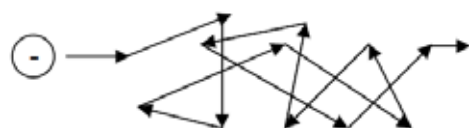
2.1 การนำไฟฟ้าของวัสดุ

กระแสไฟฟ้าเกิดจากการเคลื่อนที่ของประจุไฟฟ้า ซึ่งประจุไฟฟ้าสามารถเคลื่อนที่ได้ในตัวกลางหลายชนิด เรียกตัวกลางที่มีสมบัติยอมให้ประจุไฟฟ้าเคลื่อนที่ผ่านได้ว่า ตัวนำไฟฟ้า ขณะที่มีกระแสไฟฟ้าในตัวนำ แสดงว่ามีการนำไฟฟ้า ตัวพาประจุในวัสดุได้แก่ อิเล็กตรอน เช่น ในวัสดุจำพวกโลหะ โพซิทีฟโฮล (positive holes) เช่น ในวัสดุกึ่งตัวนำ (semiconductor materials) และอนุนูลด์ที่มีประจุ (ions) เช่น ในวัสดุเซรามิก

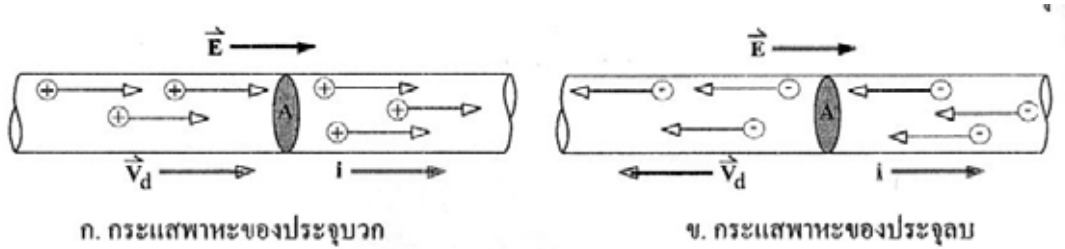
2.1.1 การแบ่งประเภทการนำไฟฟ้าของวัสดุ

วัสดุนำไฟฟ้า สามารถแบ่งออกได้เป็นสองประเภทตามชนิดของตัวพาประจุ [14] ได้แก่

สารตัวนำไฟฟ้า (Conductor) โลหะทุกชนิดเป็นตัวนำไฟฟ้าที่ดี เนื่องจากมีอิเล็กตรอนอิสระ (Free electron) โดยอิเล็กตรอนเหล่านี้จะเคลื่อนที่โดยเสรีไม่เป็นระเบียบ ไม่มีทิศทางแน่นอน เรียกการเคลื่อนที่แบบนี้ว่า การเคลื่อนที่แบบบราวัน (Brownian motion) ดังนั้น ความเร็วเฉลี่ยของอิเล็กตรอนอิสระทุกตัวจึงเป็นศูนย์ แต่เมื่อทำให้ปลายทิ้งสองของแท่งโลหะมีความต่างศักย์ไฟฟ้า เช่น ต่อไวกัมแหล่งกำเนิดไฟฟ้าจะทำให้เกิดสนามไฟฟ้าภายในแท่งโลหะ แรงจากสนามไฟฟ้าจะทำให้อิเล็กตรอนอิสระเคลื่อนที่อย่างเป็นระเบียบ โดยมีความเร็วเฉลี่ยไม่เป็นศูนย์ เรียกว่าความเร็วโลຍเลื่อน (drift velocity) จึงมีกระแสไฟฟ้าในแท่งโลหะ [15]



ภาพที่ 3 ประจุลบเคลื่อนที่แบบไม่มีทิศทางแบบสุ่ม ทำให้ไม่มีกระแสสุทธิ



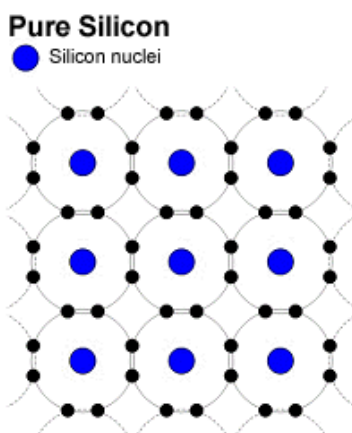
ภาพที่ 4 แสดงกระแสของประจุไฟฟ้าเมื่อมีสนามไฟฟ้า

สารกึ่งตัวนำไฟฟ้า (Semiconductor) คือสารที่มีคุณสมบัติอยู่ระหว่างตัวนำกับ导体 วัสดุส่วนมากในกลุ่มนี้เป็นของแข็งประเภทที่อะตอมของธาตุยึดเกาะตัวแบบพันธะโค瓦เลนท์ (covalent bond) และประเภทพันธะไอโอนิก (ionic bond) ตามปกติวัสดุพวกนี้ไม่นำไฟฟ้า เพราะอิเล็กตรอนในวาเลนส์แบนด์ไม่สามารถไหลได้ง่าย ทั้งนี้เนื่องจากมีพลังงานไม่เพียงพอ แต่ถ้าเพิ่มพลังงานให้กับอิเล็กตรอน เช่น การให้ความร้อน ฉายแสง หรือการให้ความต่างศักย์ไฟฟ้า อิเล็กตรอนก็สามารถเคลื่อนที่ได้และทำให้วัสดุนั้นกลายเป็นตัวนำไฟฟ้า

ชนิดของสารกึ่งตัวนำไฟฟ้า

1. สารกึ่งตัวนำเนื้อแท้ (Intrinsic semiconductor)

ในสภาพที่เย็น สารกึ่งตัวนำเนื้อแท้จะไม่มีอิเล็กตรอนอิสระเลย หรือพันธะระหว่างอะตอมไม่แตกจากกัน แต่เมื่ออุณหภูมิเพิ่มขึ้นทำให้พันธะแตก มีอิเล็กตรอนอิสระและโอลอิสระเกิดขึ้นเป็นคู่ ๆ สารกึ่งตัวนำบริสุทธิ์จะมีคู่อิเล็กตรอนอิสระและโอลอิสระที่สามารถเคลื่อนที่ไปในเนื้อสารได้ เมื่อคู่_icomapจะเกิดการรวมกันขึ้น สารกึ่งตัวนำที่รู้จักกันดี คือ ซิลิโคน และ เยอร์มาเนียม เรียกสารเหล่านี้ว่า สารเตตระเวลน์



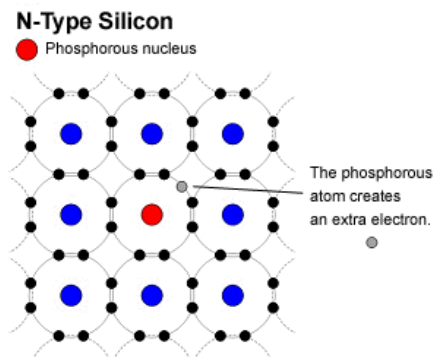
ภาพที่ 5 โครงสร้างอะตอมซิลิโคนบริสุทธิ์ [16]

2. สารกึ่งตัวนำกระแสไฟฟ้าดัดแปลง (Extrinsic semiconductor)

สารกึ่งตัวนำซิลิคอนหรือเยอรมานีียมบอร์ฟัลวูติเมี่ยนถูกใส่สารอื่นเจือปนลงไปจะทำให้เปลี่ยนเป็นสารกึ่งตัวนำดัดแปลง หรือสารกึ่งตัวนำเอ็กซ์ทรินซิก มี 2 แบบคือแบบเอ็นกับแบบพี

1. สารกึ่งตัวนำแบบเอ็น (N-Type)

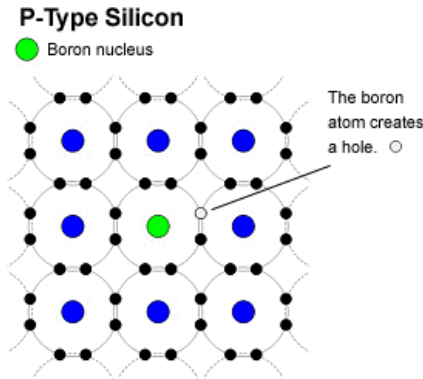
สารกึ่งตัวนำบอร์ฟัลวูติเมี่ยนเจือปนด้วยสารที่มีเวเลนซ์อะเล็กตรอน 5 ตัว หรือสารเพนตัวเวเลนซ์ จะมีอะเล็กตรอน 4 ตัวของสารเจือปนสร้างพันธะกับอะเล็กตรอนของสารกึ่งตัวนำ ทำให้มีอะเล็กตรอนอิสระเกิดขึ้น 1 ตัว เคลื่อนที่อยู่ในสารกึ่งตัวนำดัดแปลงนี้ การที่มีอะเล็กตรอนอิสระอยู่ จึงมีการเรียกสารกึ่งตัวนำดัดแปลงนี้ว่า แบบเอ็น (Negative type) สารที่นำมาเจือปนประเภทนี้เป็นธาตุในหมู่ 5A เช่น อาเซนิค ฟอสฟอรัส และแอนติโมน



ภาพที่ 6 โครงสร้างอะตอมซิลิคอนที่ถูกเจือปนด้วยอะตอมฟอสฟอรัส [16]

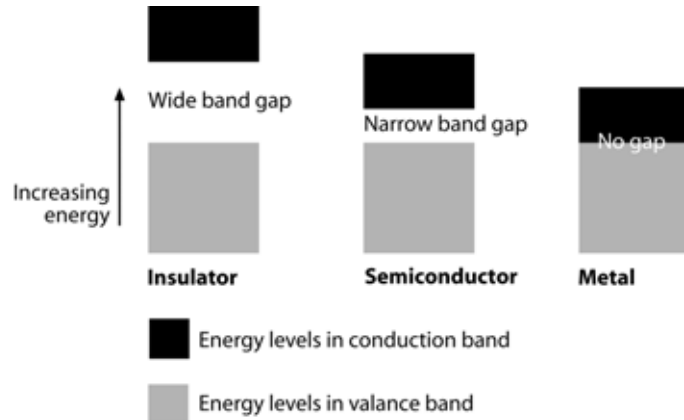
2. สารกึ่งตัวนำแบบพี (P-Type)

สารกึ่งตัวนำบอร์ฟัลวูติเมี่ยนเจือปนด้วยสารที่มีเวเลนซ์อะเล็กตรอน 3 ตัว หรือสารไตรเวเลนซ์ จะมีอะเล็กตรอนเพียง 3 ตัวของสารเจือปนสร้างพันธะกับอะเล็กตรอนของสารกึ่งตัวนำทำให้ขาดอะเล็กตรอนไป 1 ตัว สำหรับสร้างพันธะกับสารกึ่งตัวนำเกิดเป็นโอลขึ้นในสารกึ่งตัวนำดัดแปลงนี้ การที่มีโอลอิสระในเนื้อสาร ทำให้มีการเรียกสารกึ่งตัวนำดัดแปลงนี้ว่า แบบพี (Positive type) สารที่นำมาเจือปนประเภทนี้เป็นธาตุในหมู่ 3A ได้แก่ ออกซิเนียม แกลเลียม และไนโตรอน



ภาพที่ 7 โครงสร้างอะตอมซิลิคอนที่ถูกเจือปนด้วยอะตอมบอรอน [16]

สารที่เป็น绝缘 (Insulator) วัสดุจำพวก绝缘ไฟฟ้ามีชื่อเรียกอีกอย่างว่า วัสดุไดอิเล็กทริก (dielectric material) หรือจะเรียกสั้นๆ ว่า ไดอิเล็กทริก (dielectric) ดังนั้นไม่ว่าจะให้พลังงานไฟฟ้า ความร้อน หรือ แสง แก่ อิเล็กตรอน อิเล็กตรอนก็ยังไม่สามารถเข้ามาอยู่ในแคนตัวนำไฟฟ้าได้ ดังนั้นจึงมีคุณสมบัติเป็น绝缘ทางไฟฟ้า



ภาพที่ 8 การกราฟโดยดูขั้นตอนพลังงานของวัสดุชนิดต่างๆ [17]

2.1.2 สภาพการนำไฟฟ้าของวัสดุ (Conductivity, σ)

ตามกฎของโอห์ม (Ohm's Law) กระแสไฟฟ้า (I) จะเป็นปฏิภาคโดยตรงกับความต่างศักย์ทางไฟฟ้า (V) ที่ใส่เข้าไป แต่จะเป็นปฏิภาคส่วนกลับกับความต้านทาน (R) ของตัวนำไฟฟ้า ดังสมการที่ (1)

$$I = \frac{V}{R} \quad (1)$$

ความต้านทานไฟฟ้าของตัวนำไฟฟ้า จะเป็นปฏิภาคโดยตรงกับความยาวของตัวนำไฟฟ้า (l) และเป็นปฏิภาคส่วนกลับกับพื้นที่หน้าตัดของตัวนำไฟฟ้า (A) ดังสมการที่ (2)

$$R = \frac{\rho l}{A} \quad (2)$$

โดยที่ ρ คือ สภาพการต้านทานไฟฟ้า (Electrical resistivity) ซึ่งมีค่าคงที่สำหรับวัสดุแต่ละชนิดที่อุณหภูมิหนึ่งๆ

ส่วนค่าสภาพการนำไฟฟ้า (Electrical conductivity, σ) จะเป็นปฏิภาคส่วนกลับกับค่าสภาพความต้านทานไฟฟ้า ดังนี้

$$\sigma = \frac{1}{\rho} \quad (3)$$

หน่วยของค่าสภาพการนำไฟฟ้าในหน่วย SI จะเรียกว่า Siemens (S) เมื่อทำการเปรียบเทียบสภาพการนำไฟฟ้าของวัสดุต่างๆ เป็นดังตารางที่ 3

กฎของโอห์ม สามารถเขียนได้ในรูปของความหนาแน่นกระแส (Current density, J หน่วย A/m^2) ดังนี้

$$J = \frac{E}{\rho} = \sigma E \quad (4)$$

โดยที่ E คือ สนามไฟฟ้า (Electric field) มีหน่วย คือ V/m ซึ่งทั้ง J และ E เป็นปริมาณเวกเตอร์ ที่ไม่ขึ้นกับรูปร่างลักษณะของตัวนำไฟฟ้า

ตารางที่ 3 สภาพการนำไฟฟ้าของวัสดุบางชนิดที่อุณหภูมิห้อง [18]

ชนิดวัสดุ	สาร	สภาพการนำไฟฟ้า (S)
สารที่เป็นตัวนำไฟฟ้า	เงิน	6.3×10^7
	ทองแดง	5.8×10^7
	ทอง	4.2×10^7
	อลูมิเนียม	3.4×10^7
	แกรไฟต์	1×10^5
สารที่ก่อตัวนำไฟฟ้า	เจอร์เมเนียม	2.2
	ซิลิคอน	4.3×10^{-4}
สารที่เป็นอนุวนไฟฟ้า	พอลิเอทธิลีน	1×10^{-14}
	พอลิสไตรีน	1×10^{-14}
	เพชร	1×10^{-14}

ที่อุณหภูมิห้อง นิวเคลียสที่มีประจุบวกนั้นจะเกิดการสั่น ในขณะที่อิเล็กตรอนของตัวนำไฟฟ้านั้นสามารถเคลื่อนที่ได้อย่างไม่เป็นระเบียบ เมื่อให้สนามไฟฟ้าจากภายนอกเข้าไป อิเล็กตรอนจะถูกเร่งให้เคลื่อนที่ด้วยความเร็วค่าหนึ่งในทิศทางตรงข้ามกับสนามไฟฟ้าที่ใส่เข้าไป ซึ่งอาจพุ่งชนนิวเคลียสได้ทำให้มีความเร็วลดลง ดังนั้น ความเร็วโดยเฉลี่ยของอิเล็กตรอน หรือที่เรียกว่า ความเร็วโดยเฉลี่ย (v_d) นั้น จะเป็นปฏิกิริยาโดยตรงกับสนามไฟฟ้าที่ให้ ดังนี้

$$v_d = \mu E \quad (5)$$

เมื่อ μ คือ สภาพเคลื่อนที่ได้ของอิเล็กตรอน มีหน่วยเป็น $m^2/(V \cdot s)$

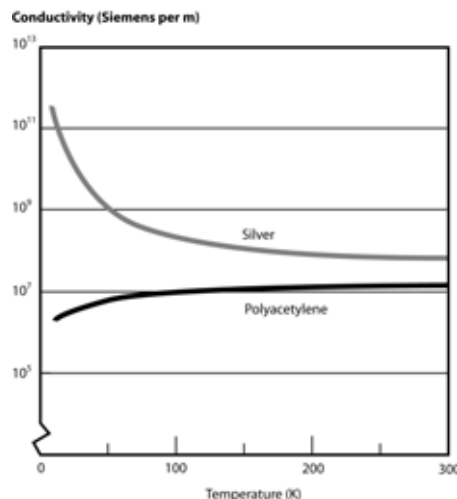
อัตราเร็วในการเคลื่อนที่ของประจุต่อหนึ่งหน่วยพื้นที่ จะขึ้นอยู่กับจำนวนอิเล็กตรอนในหนึ่งหน่วยปริมาตร ค่าประจุของอิเล็กตรอน ($e = -1.60 \times 10^{-19} C$) และความเร็วโดยเฉลี่ยของอิเล็กตรอน (v_d) ดังนั้น ความหนาแน่นของกระแส (J) จึงมีค่าดังนี้

$$J = nev_d \quad (6)$$

นั่นคือ สภาพการนำไฟฟ้าของวัสดุจะเป็นปฎิภาค โดยตรงกับจำนวนอิเล็กตรอนดังนี้

$$\sigma = \frac{nev_d}{E} = ne\mu \quad (7)$$

ดังนั้น จำนวนอิเล็กตรอนที่สามารถเคลื่อนที่ได้นั้น จึงเป็นปัจจัยสำคัญในการนำไฟฟ้าของวัสดุ



ภาพที่ 9 แสดงพฤติกรรมค่าการนำไฟฟ้าของพอลิเมอร์นำไฟฟ้าและโลหะเป็นฟังก์ชันกับอุณหภูมิ

ในกรณีของตัวนำไฟฟ้านี้ การเพิ่มขึ้นของอุณหภูมิจะทำให้การชนกันของอิเล็กตรอนกับนิวเคลียสมีมากขึ้น ทำให้ความเร็วในการเคลื่อนที่ของอิเล็กตรอนลดลง สภาพการนำไฟฟ้าของตัวนำไฟฟ้าจึงลดลงเมื่อเพิ่มอุณหภูมิ

ส่วนกรณีของสารกึ่งตัวนำนี้ เนื่องจากอิเล็กตรอนจะถูกกระตุ้นให้สามารถข้ามชั้นของ Energy band gap, E_g ได้ต้องอาศัยพลังงานความร้อน โดยที่จำนวนอิเล็กตรอนดังกล่าวจะเป็นปฎิภาค โดยตรงกับอุณหภูมิ ดังนี้

$$n \propto e^{-E_g/kT} \quad (8)$$

นั่นคือ สภาพการนำไฟฟ้าของวัสดุจำพวกสารกึ่งตัวนำจึงเป็นปฏิกักษากับอุณหภูมิ ดังนี้

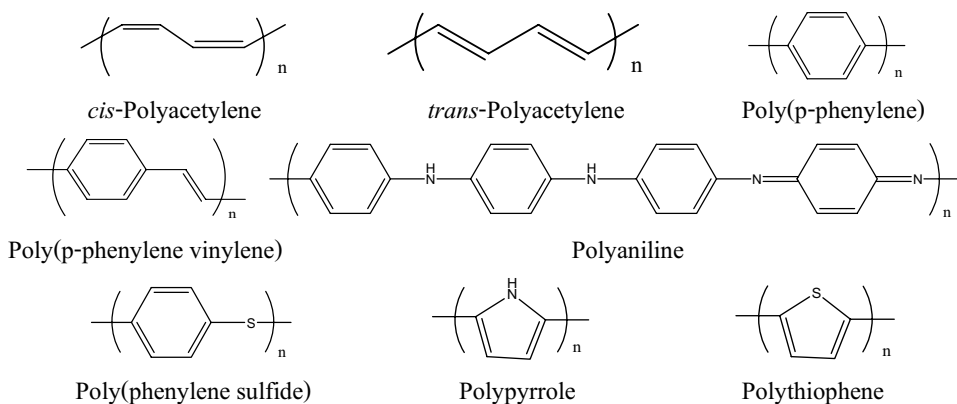
$$\sigma = \sigma_0 e^{-E_g/kT} \quad (9)$$

2.2 พอลิเมอร์นำไฟฟ้า

ในปี ก.ศ. 2000 The Royal Swedish Academy of Sciences ได้มอบรางวัล Nobel Prize ในสาขาเคมีให้กับนักวิทยาศาสตร์ 3 ท่าน [17,18] คือ ศาสตราจารย์ Alan J. Heeger แห่งมหาวิทยาลัย California ประเทศสหรัฐอเมริกา ศาสตราจารย์ Alan G. MacDiarmid แห่งมหาวิทยาลัย Pennsylvania ประเทศสหรัฐอเมริกา และศาสตราจารย์ Hideki Shirakawa แห่งมหาวิทยาลัย Tsukuba ประเทศญี่ปุ่น ในเรื่องการค้นคว้าและพัฒนาพอลิเมอร์นำไฟฟ้า ซึ่งเป็นจุดเริ่มต้นให้ นักวิทยาศาสตร์หลายคนท่านได้เข้ามาสนใจในวัสดุดังกล่าวจำนวนมากขึ้น และอาจนำไปประยุกต์ใช้งานในลักษณะที่หลากหลาย พอลิเมอร์นำไฟฟ้า สามารถแบ่งได้เป็น 4 กลุ่ม [19] ดังนี้

2.2.1 π -Conjugated Linear polymers

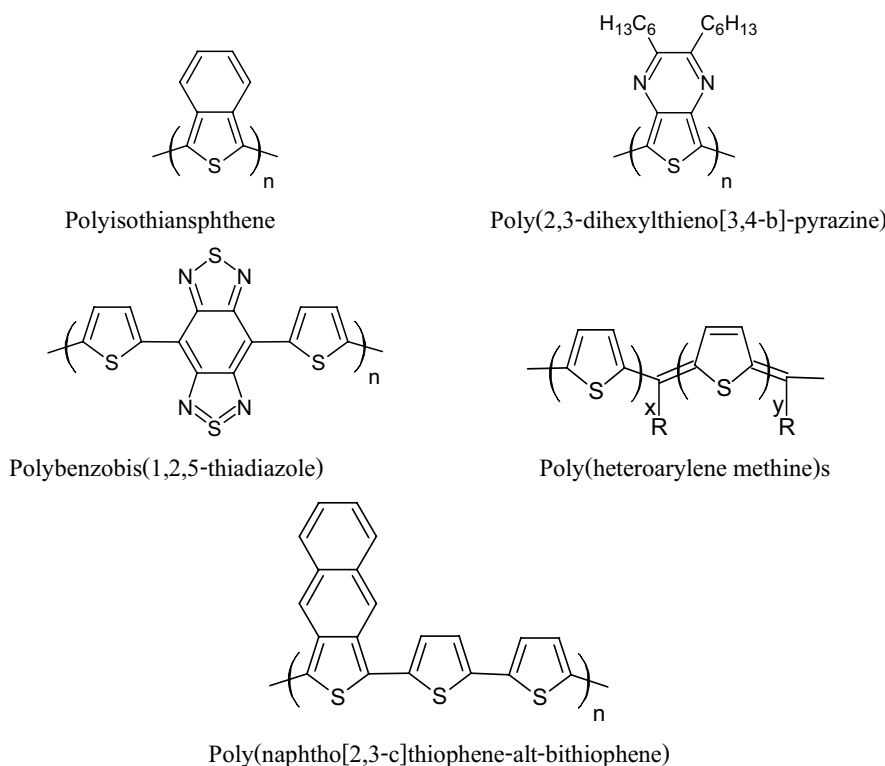
ในระบบพอลิเมอร์นำไฟฟ้าพอลิเมอร์ที่มีโครงสร้างโซ่อิงแบบ π คอนจูเกต เช่น พอลิอะเซทิลีน พอลิพาราฟินิลีน พอลิฟินิลีนชัลไฟด์ พอลิไพร์โรล พอลิไธโอดีน และ พอลิอะนิลีน จัดว่าเป็นพอลิเมอร์ที่มีความน่าสนใจอย่างยิ่ง เนื่องจากเมื่อพอลิเมอร์ชนิดนี้ได้ผ่านกระบวนการกระดูนให้เกิดพาหะนำประจุแล้วจะมีความสามารถในการนำไฟฟ้าสูง



ภาพที่ 10 ตัวอย่างพอลิเมอร์ที่มีโครงสร้างแบบ π -Conjugated linear polymers

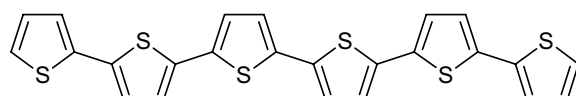
2.2.2 Narrow Band-Gap Polymers

ในการออกแบบและสังเคราะห์พอลิเมอร์นำไฟฟ้าในกลุ่มนี้ จุดมุ่งหมายเพื่อให้ได้พอลิเมอร์นำไฟฟ้าที่มีค่าແฉบพลังงานแคนบ จนกระทั่งมีสมบัติเป็นสารประเภทกึ่งตัวนำไฟฟ้าเนื้อแท้หรืออินทรินซิก ซึ่งสามารถนำไฟฟ้าได้โดยไม่ต้องผ่านกระบวนการกระตุ้นให้เกิดพาหะนำไฟฟ้า ตัวอย่างของพอลิเมอร์นำไฟฟ้าในกลุ่มนี้ แสดงดังภาพที่ 11



ภาพที่ 11 ตัวอย่างพอลิเมอร์ที่มีโครงสร้างแบบ Narrow Band-Gap Polymers

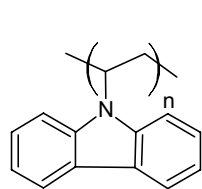
2.2.3 π -Conjugated Linear Oligomers พอลิเมอร์นำไฟฟ้าในกลุ่มนี้ เช่น โอลิโกรีโนลีน โอลิโกราฟฟิน และ โอลิโกร์โรล



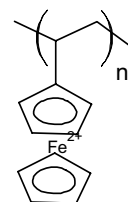
ภาพที่ 12 แสดงโครงสร้างโอลิโกราฟฟิน

2.2.4 Non-conjugated Polymers Containing Pendant π -Electron Systems

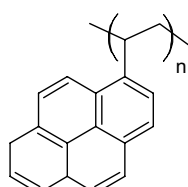
พอลิเมอร์นำไฟฟ้าในกลุ่มนี้มีโครงสร้างของพอลิเมอร์หลักมีส่วนบัดเป็นวนวน โดยที่มีหมู่ข้างเคียง เป็นระบบคอนจูเกต ซึ่งการนำไฟฟ้าของพอลิเมอร์ในกลุ่มนี้อาศัยการกระตุนให้เกิดพาราประจุ ที่หมู่ข้างเคียง ตัวอย่างของพอลิเมอร์นำไฟฟ้าในกลุ่มนี้ แสดงดังภาพที่ 13



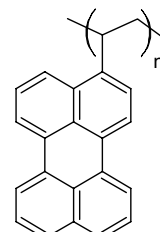
Poly(N-vinylcarbazole)



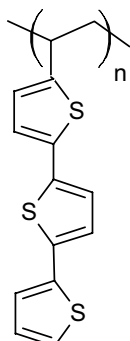
Poly(vinylferrocene)



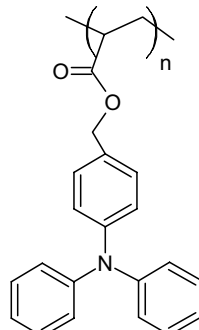
Poly(1-vinylpyrene)



Poly(3-vinylpyrylene)



Poly(5-vinyl2,2':5',2''-terthiophene)

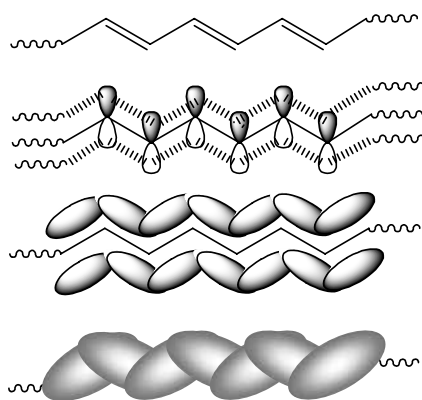


Poly[4-(diphenylamino)phenylmethyl methacrylate]

ภาพที่ 13 ตัวอย่างพอลิเมอร์ที่มีโครงสร้างแบบ Non-conjugated Polymers Containing Pendant π -Electron Systems

2.3 โครงสร้างและกลไกการนำไฟฟ้าของพอลิเมอร์นำไฟฟ้า

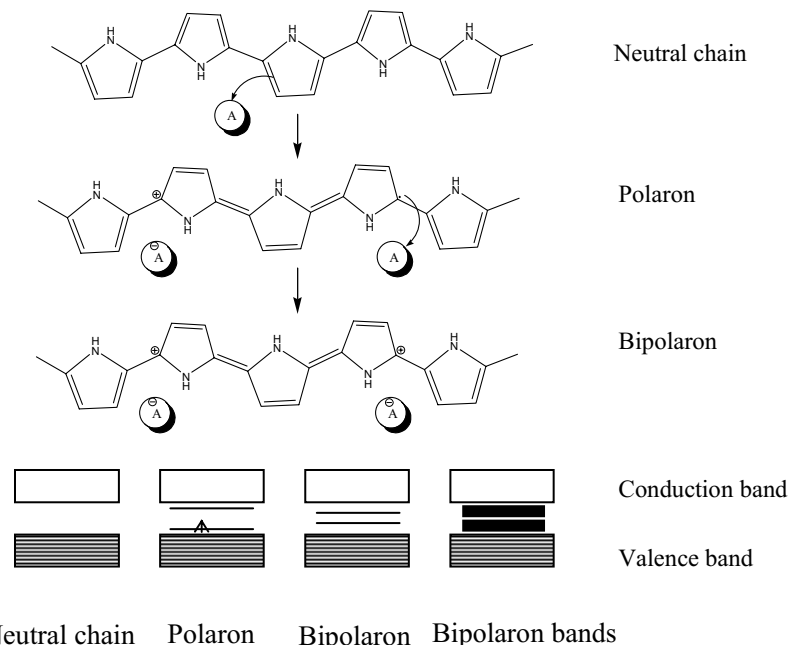
พอลิเมอร์นำไฟฟ้าจะมีระบบ π -Conjugation อยู่ในโครงสร้างโมเลกุล กล่าวคือ มีการซ้อนเหลื่อมกันของ p -Orbital ของแต่ละอะตอมส่งผลทำให้เกิดการ Delocalization ของ Electron ได้



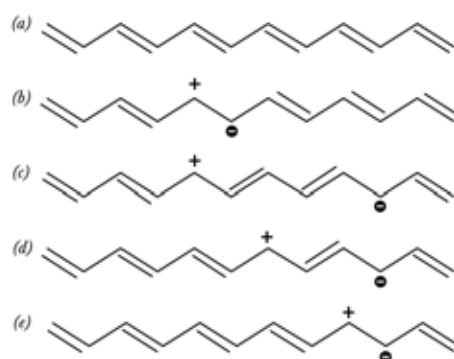
ภาพที่ 14 การซ้อนเหลื่อมของ Orbital ในระบบ Conjugation

การนำไฟฟ้าของพอลิเมอร์นำไฟฟ้านั้นสามารถอธิบายได้ดังนี้ เมื่อพอลิเมอร์นำไฟฟ้าได้รับการกระตุ้นให้เกิดพาหะนำไฟฟ้า (Doping) โดยการทำให้อิเล็กตรอนหลุดออกไปจากโครงสร้างโมเลกุล จะทำให้เกิดระดับพลังงาน (Electronic state) ใหม่ขึ้นมา ระหว่างระดับชั้นพลังงานสูงสุดที่บรรจุอิเล็กตรอน (Highest occupied molecular orbital, HOMO) หรือระดับชั้นพลังงาน Valence band กับระดับชั้นพลังงานต่ำสุดที่ไม่บรรจุอิเล็กตรอน (Lowest unoccupied molecular orbital, LUMO) หรือระดับชั้นพลังงาน Conduction band และโครงสร้างโมเลกุลของพอลิเมอร์นำไฟฟ้ามีการเปลี่ยนแปลงไป เกิดเป็น Hole หรือ Radical cation ที่เรียกว่า Polarons และ Bipolarons ขึ้น ทำหน้าที่เป็นตัวถ่ายเทประจุในโมเลกุล J.L. Bredas และ G.B. Street [20] ได้อธิบายว่า Polarons (เป็นศัพท์ที่ใช้ทางฟิสิกส์) คือ บางส่วนของโมเลกุลที่เกิดการ Delocalization ขึ้นได้ เนื่องจากมีประจุและ Radical อยู่ด้วยกัน บางครั้งจึงถูกเรียกว่า Radical cation หรือ Radical anion (Spin=1/2) และ Bipolarons คือ บางส่วนของโมเลกุลที่ประกอบไปด้วยประจุ 2 ตำแหน่งอยู่ด้วยกัน (Spin=0) หากทำการ Doping ในปริมาณน้อยจะทำให้ได้ Polarons สูง แต่หากเพิ่มปริมาณการ Doping ให้สูงขึ้น จะทำให้เกิดเป็น Bipolarons ขึ้น ซึ่งทั้ง Polarons และ Bipolarons 这些都是由 Delocalization ของ Electron ที่พ่อประจุไปคลอด

ความยาวของสายโซ่ไม่เดกุลของพอลิเมอร์ โดยที่ Bipolarons นี้จะมีระดับพลังงานในช่วง Band gap ที่แหน่งกว่า ทำให้อิเล็กตรอนสามารถเคลื่อนที่ได้ง่ายกว่า Polaron

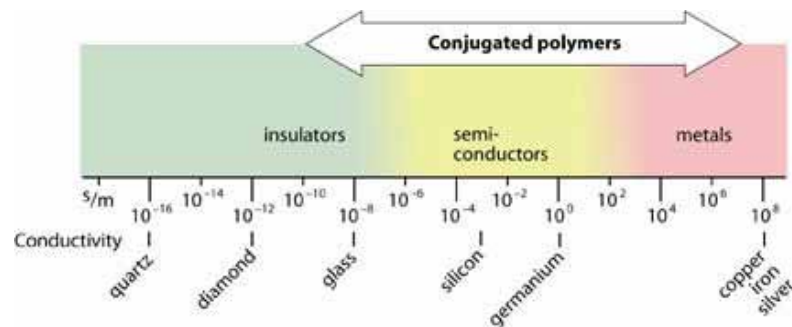


ภาพที่ 15 ระดับพลังงานของ Neutral chain, Polaron และ Bipolaron ของพอลิไพร์โรล



ภาพที่ 16 (a-b) การเกิด Radical cation หรือ polaron โดยการหลุดออกของอิเล็กตรอนจากคาร์บอนไมเดกุล Polyacetylene (c-e) การเคลื่อนย้ายตำแหน่ง polaron

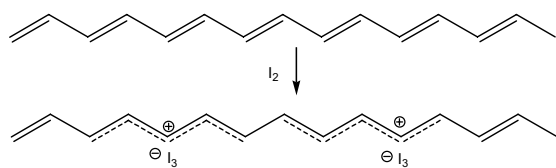
เมื่อทำการเปรียบเทียบสมบัติการนำไฟฟ้าของพอลิเมอร์กับวัสดุชนิดอื่นๆ พบว่า พอลิเมอร์นี้สามารถเป็นได้ทั้งอนุภาณ์ สารกึ่งตัวนำ และตัวนำไฟฟ้าที่ได้ขึ้นอยู่กับโครงสร้าง และปริมาณ การ Doping



ภาพที่ 17 เปรียบเทียบสมบัติทางไฟฟ้าของพอลิเมอร์กับวัสดุชนิดอื่นๆ [17]

การกระตุ้นให้เกิดพาหะพาประจุ (Doping)

เป็นกระบวนการที่สามารถเปลี่ยนพอลิเมอร์จากเดิมที่เป็นอนุภาณ์ เช่น Polyacetylene ที่มีค่าสภาพการนำไฟฟ้าจำเพาะเพียง 0.1 S/cm ให้กลายเป็นตัวนำไฟฟ้าได้ โดยการเกิดเป็นสารประกอบชิ้งช่องที่สามารถส่งผ่านประจุได้ ทำให้เกิดเป็นตัวนำไฟฟ้าได้ดังภาพที่ 18



ภาพที่ 18 ผลของการกระตุ้นให้เกิดพาหะพาประจุของ Polyacetylene [19]

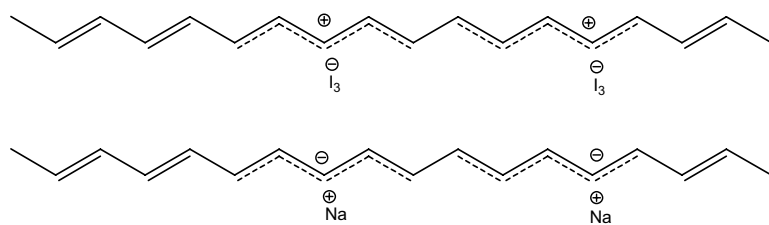
ในการกระตุ้นให้เกิดพาหะพาประจุได้นั้น สามารถก่อให้เกิดเป็นสารตัวนำไฟฟ้าได้ทั้งแบบชนิด P-type และ N-type ขึ้นอยู่กับชนิดของสารกระตุ้นพาหะนำประจุ ที่ใช้ ดังนี้

1. Electron-accepting species

ก่อให้เกิดสารตัวนำไฟฟ้าแบบ P-type ด้วยการเกิดปฏิกิริยา Oxidation กับ ไมเลกุลของพอลิเมอร์ สารกระตุ้นพาหะนำประจุ ในกลุ่มนี้ได้แก่ I_2 , AsF_5 , $FeCl_3$, H_2SO_4 , $HClO_4$

2. Electron-donating species

ก่อให้เกิดสารตัวนำไฟฟ้าแบบ N-type ด้วยการเกิดปฏิกิริยา Reduction กับ ไมเลกุลของพอลิเมอร์ สารกระตุ้นพาหะนำประจุ ในกลุ่มนี้ได้แก่ Sodium หรือ Potassium



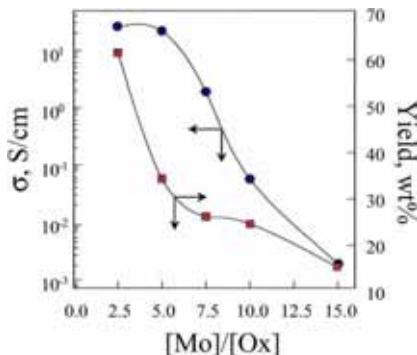
ภาพที่ 19 การกระตุ้นให้เกิดพาหะพาประจุของ Polyacetylene ด้วยสารกระตุ้นพาหะนำประจุชนิดต่างๆ

ไมเลกุลของพอลิเมอร์ที่ผ่านการ Doping แล้ว จะมีประจุบวก (หรือลบ) เกิดขึ้นบนสายโซ่ไมเลกุลหลัก โดยมีสารกระตุ้นพาหะนำประจุ ซึ่งมีประจุตรงข้ามกับไมเลกุลพอลิเมอร์ ทำหน้าที่เป็น Counterion ช่วยเพิ่มความเสถียรให้กับโครงสร้าง เช่น Na^+ , K^+ , I_3^- , I_5^- , AsF_6^- , $FeCl_4^-$ พอลิเมอร์สามารถเปลี่ยนสภาพตัวเองจากสภาพที่สามารถนำไฟฟ้าได้ เมื่อผ่านการ Doping กลับไปสู่สภาพที่เป็นอนุวน ได้เมื่อผ่านการ Undoping โดยการให้ความต่างศักย์ไฟฟ้าจากภายนอกเข้าไปคล้ายกับการชาร์ตแบตเตอรี่แบบชาร์ตไฟได้ พอลิเมอร์นำไฟฟ้าเมื่อผ่านการ Doping แล้วจะมีค่าสภาพการนำไฟฟ้าเพิ่มขึ้นดังตัวอย่าง ตารางที่ 4

ตารางที่ 4 โครงสร้างและค่าสภาพการนำไฟฟ้าจำเพาะของพอลิเมอร์นำไฟฟ้าที่ผ่านการกรองตื้น พาหะนำประจุแล้ว [20]

พอลิเมอร์	โครงสร้าง	วิธีการ Doping	สภาพการนำไฟฟ้า จำเพาะ(S/cm)
Polypyrrole		Electrochemical	600
Polyacetylene		Electrochemical, Chemical (AsF5, I2, Li, K)	500-1.5 x 105
Poly(<i>p</i> -phenylene)		Chemical (AsF5, I2, Li, K)	500
Polythiophene		Electrochemical	100
Poly(phenyl-quinoline)		Electrochemical, Chemical (Sodium naphthalide)	50
Poly(phenylene sulfide)		Chemical (AsF5)	1

นอกจากนี้ อัตราส่วนระหว่างมอนอเมอร์ต่อปริมาณตัวออกซิไดซ์ที่ใช้ในกระบวนการสังเคราะห์พอลิเมอร์นำไฟฟ้า มีผลต่อค่าสภาพการนำไฟฟ้าจำเพาะและเปอร์เซ็นต์ผลได้ของพอลิเมอร์ที่สังเคราะห์ได้ [21]



ภาพที่ 20 ค่าสภาพการนำไฟฟ้าจำเพาะและร้อยละผลผลิตของพอลิไพร์โรลที่แต่ละอัตราส่วน
มอนอเมอร์กับตัวออกซิไดซ์

2.4 แนวคิดอุปกรณ์ตรวจสอบก้าชหรือจมูกอิเล็กทรอนิกส์

เมื่อต้นเดือนตุลาคม ค.ศ. 2004 คณะกรรมการรางวัลโนเบล ได้มีมติตัดสินมอบรางวัลโนเบลสาขาสรีรวิทยาและการแพทย์แก่ Richard Axel กับ Linda B. Buck ในฐานะที่บุกเบิกงานวิจัยทางด้านกลไกการรับรู้กลิ่นของมนุษย์และสัตว์เลี้ยงลูกด้วยนม ซึ่งแสดงไว้ในผลงานตีพิมพ์ร่วมกัน เมื่อ ค.ศ. 1991 ที่ทำให้นับตั้งแต่นั้นเป็นต้นมา การค้นคว้าวิจัยในศาสตร์ของการรับรู้กลิ่นระดับโมเลกุลก็ได้อีกกำเนิดขึ้น

อุปกรณ์ตรวจสอบก้าชหรือที่เรียกว่า “จมูกอิเล็กทรอนิกส์” (Electronic Nose) [5] นั้น ได้แนวคิดมาจาก การเลียนแบบระบบการรับกลิ่นของมนุษย์ เมื่อมีกลิ่นผ่านเข้าไปในโพรงจมูก ไปสัมผัสกับ Olfactory Epithelium ซึ่งเป็นบริเวณด้านบนของโพรงจมูก มีพื้นที่ประมาณ 5 cm^2 ที่มี Olfactory Neurons สามารถแยกแยะกลิ่นได้มากถึง $10^3\text{-}10^7$ ชนิด ทำหน้าที่ผลิตกระแสไฟฟ้าส่งไปยังสมองเพื่อการรับรู้ ในทำนองเดียวกัน “จมูกอิเล็กทรอนิกส์” ได้อาศัยหลักการดังกล่าว โดยจะมีตัวตรวจสอบที่ว่องไวกับก้าชแต่ละชนิด ทำให้สามารถตรวจสอบก้าชที่แตกต่างกันได้ ข้อดีของจมูกอิเล็กทรอนิกส์ที่เหนือกว่าจมูกมนุษย์ คือ สามารถตรวจสอบก้าชได้ที่ความเข้มข้นต่ำกว่าของมนุษย์จะสัมผัสได้ และสามารถตรวจสอบก้าชที่ไม่มีกลิ่นได้อีกด้วย ปัจจุบันตัวตรวจสอบก้าชในเชิงการค้าได้ผลิตขึ้นมาในหลาย ๆ รูปแบบ [5] ดังนี้

1. Metal Oxide Sensors (MOS)

เป็นอุปกรณ์ตรวจสอบก้าชที่เตรียมได้จากการเคลือบแผ่นฟิล์มของโลหะออกไซด์ (เช่น SnO_2 , TiO_2 , ZnO , ZnO_2) ลงบนพื้นผิวของอะลูมินา การใช้งานจะทำที่อุณหภูมิ $200\text{-}500^\circ\text{C}$ ดังนั้นจึงมีอุปกรณ์ให้ความร้อนคิดอยู่ด้วย เมื่อออกซิเจนในอากาศมาทำปฏิกิริยากับพื้นผิวของโลหะออกไซด์แล้ว ทำการวัดค่าความต้านทานทางไฟฟ้าเป็นค่าความต้านทานไฟฟ้าเริ่มต้น

2. Thickness-Shear Mode (TSM)

เป็นอุปกรณ์ที่ประกอบด้วย Piezoelectric Quartz Crystal ที่ติดอยู่บนอิเล็กโทรดเคลือบทับด้วยวัสดุที่มีความว่องไวต่อ ก้าช การคุณซับก้าชลงบนวัสดุดังกล่าวเนี้จะทำให้เพิ่มน้ำหนักของอุปกรณ์ ส่งผลทำให้ความถี่ในการสั่นสะเทือนเปลี่ยนแปลงไป อุปกรณ์ตรวจสอบก้าชในกลุ่มนี้ได้แก่ Quartz Crystal Microbalance (QCM), Bulk Acoustic Wave (BAW), และ Surface Acoustic Wave (SAW) โดยวัสดุที่ใช้ในการเคลือบนั้นมีหลายชนิด เช่น พอลิเมอร์นำไฟฟ้าสารชีวโมเลกุล หรือโลหะ

3. Mass Detection Sensors (MS)

ใช้หลักการของ Mass Spectroscopy ตรวจวัดอัตราส่วนระหว่างมวลต่อประจุ (m/z) เป็นตัวตรวจวัด ซึ่งมีข้อดี คือ เป็นวิธีการที่รู้จักกันดี มีความเสถียรและว่องไว และสามารถใช้ร่วมกับเทคนิคอื่นได้ เช่น เทคนิค GC-MS

4. Conductive Polymer (CP)

พอลิเมอร์นำไฟฟ้า ซึ่งสังเคราะห์ได้จากสารจำพวก Aromatic หรือ Heteroaromatic (เช่น Polypyrrole, Polyaniline, Polythiophene) เคลือบอยู่บนขั้วอิเล็กโทรด 2 อัน ซึ่งเมื่อเกิดอันตรายริยา กับก้าชตัวอย่างแล้ว ค่าการนำไฟฟ้าของตัวตรวจสอบก้าชนี้จะเปลี่ยนแปลงไป ข้อดีของตัวตรวจสอบก้าชที่ผลิตจากพอลิเมอร์นำไฟฟ้า คือ สามารถใช้งานได้ที่อุณหภูมิห้อง และสามารถตรวจสอบก้าชได้แม้มีความเข้มข้นของก้าชต่ำ มีการตอบสนองและคืนกลับสู่สภาพภาวะปกติได้รวดเร็ว

2.6 การประยุกต์ใช้พอลิเมอร์ในการตรวจสอบก้าช

พอลิเมอร์นำไฟฟ้าสามารถนำมาใช้ตรวจสอบก้าชได้ เนื่องจากมีสมบัติแสดงความเป็นกรด-เบสหรือลูกออกซิไดซ์ได้ โดยการตอบสนองต่อก้าชนี้ สามารถเกิดขึ้นได้เมื่อใช้งานที่อุณหภูมิสูงกว่าอุณหภูมิ Glass transition ความรู้สึกกับพอลิเมอร์นำไฟฟ้ามีมากกว่า 30 ปีมาแล้ว โดยที่ Polyacetylene นี้ถือว่าเป็นพอลิเมอร์นำไฟฟ้าชนิดแรกที่เริ่มค้นคว้ากัน

มีการนำพอลิเมอร์นำไฟฟ้าไปใช้ในงานตรวจสอบก้าชได้หลายชนิด ซึ่งพอลิเมอร์แต่ละชนิดจะมีความจำเพาะกับก้าชแตกต่างกัน พอสรุปได้ดังต่อไปนี้

ตารางที่ 5 พอลิเมอร์นำไฟฟ้าที่ใช้ในการตรวจสอบก้าช [10]

Gas	Device/techniques/principles	Polymer	Sensor characteristics
NH_3	Change in optical-transmittance using a 2 mm laser (He-Ne) source	PANI-PMMA	Sensitivity of PANI-PMMA coating are~10-4000 ppm, reversible response
	Electrical property measurement	Polypyrrole	Response time < 20 s, recovery time ~ 60s
	Electronic property of the film played the part in NH_3 sensing	PPY-PVA Composite	Resistance increases with NH_3 concentration but becomes irreversible beyond 10% NH_3
	Electrical property measurement	PANI-isopolymolybdic acid nanocomposite	Resistance increases with NH_3 concentration and is reversible up to 100 ppm NH_3

ตารางที่ 6 พอดิเมอร์นำไฟฟ้าที่ใช้ในการตรวจสอบกําจู (ต่อ) [24]

Gas	Device/techniques/principles	Polymer	Sensor characteristics
NH ₃	Electrical property measurement	Acrylic acid doped polyaniline	Highly sensitive to even 1 ppm of NH ₃ at room temperature and shows stable responses up to 120 days
NO ₂	Electrical property measurement	PANI-isopolymolybdic acid nanocomposite	Resistance increases with NO ₂ concentration
	An amperometric gas sensor based on Pt/Nafion electrode	Nafion	Electrode shows sensitivity of 0.16 μA/ppm at room temperature, response time of 45s and recovery time of 54s, a long-term stability >27 days
NO	Amperometric gas sensor	Polydimethylsiloxane (PDMS)	Shows sensitivity to 20 nM gas, high performance characteristics in terms of response time and selectivity
O ₂	Amperometric gas transducer	PDMS	Analyte can be measured up to 1.2 mM
	Optical sensing method	Tris(4,7'-diphenyl-1,10'-phenan-throline) Ru(II) perchlorate- aluminescent dye dissolved in polystyrene layer	-
	Electrical property measurement	Nafion	Sensitivity 38.4 μA/ppm, lowest limit 3.8 ppm, stability excellent (3oh)
SO ₂	QCM-type gas sensor	Amino-functional poly(styrene- <i>co</i> -chloromethyl styrene) derivatives	DPEDA functional copolymer with 5 wt% of siloxane oligomer shows 11 min response time and good reversibility even near room temperature (50°C)
HCl	Optochemical sensor	5, 10, 15, 20-tetra (4'-alkoxy phenyl) porphyrin [TP (OR) PH ₂] embedded in poly(hexylacrylate), poly(hexamethacrylate), poly(butyl methacrylate)	Reversibility sensitive to sub-ppm levels of HCl
	Optochemical detection	Ethylcellulose, poly(hexamethacrylate)	Sensitivity smaller but faster recovery time compared to that of tetra-hydroxy substituted tetraphenylporphin
H ₂ S	Electrochemical detection	Nafion	High sensitivity (45 ppb v/v), good reproducibility, short response time (0.5 s)

2.7 กลไกการตรวจสอบก้าชด้วยพอลิเมอร์นำไฟฟ้า

Hee-Kwon Jun และคณะ [7] ทำการศึกษาอุปกรณ์ตรวจสอบก้าชที่เตรียมได้จากพอลิไพร์โรล โดยอาศัยหลักการวัดการเปลี่ยนแปลงค่าการนำไฟฟ้าเมื่อพอลิเมอร์นั้นสัมผัสกับก้าชเนื่องจากพอลิไพร์โรลที่ผ่านการ Doping ด้วย DBSA แล้ว จะมี Hole เป็นพาหะในการพาประจุ ซึ่งเมื่อสัมผัสกับก้าชที่มีคุณสมบัติเป็น Electron donor ที่ดี เช่น Methanol จะทำให้เกิดการถ่ายเทอิเล็กตรอนจากก้าชไปเติมเต็ม Hole ที่ยังขาดอิเล็กตรอนอยู่ ทำให้มีตัวพาหะในการพาประจุลดจำนวนลง ค่าความต้านทานจึงมีค่ามากขึ้น ดังนั้นเมื่อทำการวัดค่าความต้านทานของอุปกรณ์ที่ใช้ในการตรวจสอบก้าชก่อนและหลังการทดสอบจะทำให้ทราบถึงความว่องไวของอุปกรณ์ตรวจสอบที่เตรียมได้ ดังนี้

$$\% \text{Sensitivity} (\%S) = \frac{(R_g - R_a)}{R_a} \times 100 \quad (10)$$

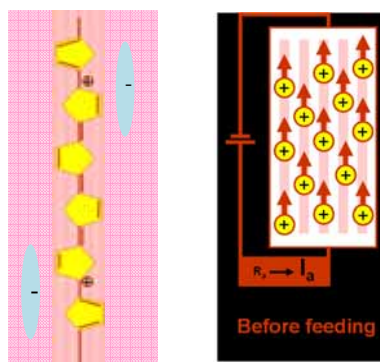
เมื่อ R_a คือ ค่าความต้านทานเริ่มต้นของอุปกรณ์ตรวจสอบก้าชก่อนที่จะมีการสัมผัสกับก้าชตัวอย่าง และ

R_g คือ ค่าความต้านทานของอุปกรณ์ตรวจสอบก้าชเมื่อผ่านก้าชตัวอย่างแล้ว

ขั้นตอนการตรวจสอบค่าความว่องไวของอุปกรณ์ตรวจสอบก้าช

1. การวัดค่าความต้านทานเริ่มต้น (R_a)

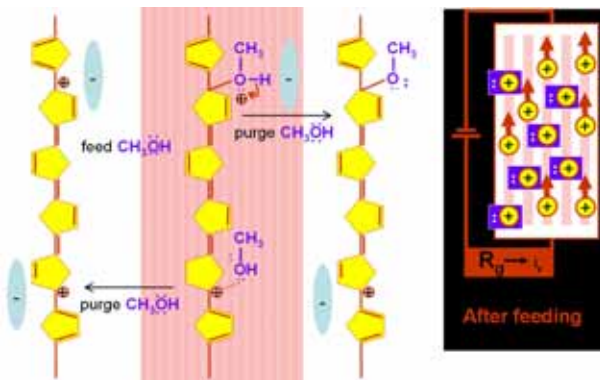
ค่าความต้านทานเริ่มต้น (R_a) ที่วัดได้จะมีค่าน้อยเนื่องจากจำนวน Hole ที่เป็นตัวพาหะนำพาประจุยังนีปรมิตามากอยู่



ภาพที่ 21 การวัดค่าความต้านทานเริ่มต้น (R_a)

2. การวัดค่าความด้านทานภายนอกหลังการสัมผัสก๊าซ (R_g)

ค่าความด้านทานภายนอกหลังการสัมผัสก๊าซ (R_g) ที่วัดได้จะมีค่าเพิ่มมากขึ้นเนื่องจากจำนวน Hole ที่เป็นตัวพารามิเตอร์ประจุมีปริมาณที่น้อยลง



ภาพที่ 22 การวัดค่าความด้านทานภายนอกหลังการสัมผัสก๊าซ (R_g)

ถึงที่เกิดขึ้นภายนอกหลังการที่อุปกรณ์ตรวจสอบก๊าซได้สัมผัสก๊าซในครั้งแรก แล้ว พบร่วมกับ ค่าความด้านทานจะไม่กลับมาเท่าเดิมเหมือนเมื่อครั้งก่อนการทดลอง สาเหตุเนื่องจากว่าการเกิด Absorption ของก๊าซบนผิวของพอลิไพร์โรลนั้นสามารถเกิดขึ้นได้สองลักษณะ คือ

Physical Absorption: ไม่เลกุลของก๊าซจะถูกดูดจับบนผิวพอลิเมอร์ โดยที่ไม่เกิดพันธะเคมีขึ้น ดังนั้นภายนอกหลังการปล่อยก๊าซออก ไม่เลกุลของก๊าซจึงสามารถหลุดออกจากไม่เลกุลของพอลิเมอร์ได้โดยง่าย

Chemical Absorption: ไม่เลกุลของก๊าซจะถูกดูดจับบนผิวพอลิเมอร์ โดยที่เกิดพันธะเคมีขึ้น ดังนั้นภายนอกหลังการปล่อยก๊าซออก ไม่เลกุลของก๊าซจึงไม่สามารถหลุดออกจากไม่เลกุลของพอลิเมอร์ได้และยึดติดอยู่กับไม่เลกุลของพอลิเมอร์ตลอด

ดังนั้น ผลจาก Chemical Absorption จึงทำให้ปริมาณ Hole ที่เหลืออยู่น้อยลงเมื่อเทียบกับก่อนการทดลอง แต่ปรากฏการณ์ดังกล่าวจะเกิดขึ้นในการทดสอบครั้งแรกเท่านั้น เนื่องจากบริเวณที่ว่องไวเพียงพอที่จะเกิดปฏิกิริยาเคมีกับไม่เลกุลของก๊าซ ได้นั้นจะเกิดปฏิกิริยาจนหมดบริเวณที่ว่องไว จนไม่ก่อให้เกิดปรากฏการณ์ดังกล่าวขึ้นอีก



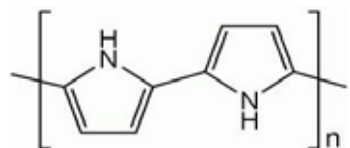
ภาพที่ 23 การเกิด Physical และ Chemical Absorption ของโนเมเลกุลแก๊ซบนผิวของพอลิไพร์โรล

2.8 พอลิไพร์โรลและอนุพันธ์

พอลิไพร์โรลเป็นสารประกอบเคมีที่ได้จากการเชื่อมโยงโครงสร้างวงแหวนไพร์โรลเข้าด้วยกัน พอลิไพร์โรลเป็นพอลิเมอร์นำไฟฟ้าในกลุ่มที่จัดอยู่ในประเภท rigid-rod พอลิเมอร์ และจัดเป็นสารประกอบชนิดแรกของสารประเภทนี้ที่แสดงค่าการนำไฟฟ้าสูง พอลิไพร์โรลหรือที่เรียกวันในชื่อ pyrrole blacks หรือ polypyrrrole blacks พอลิไพร์โรลที่พบในธรรมชาติมักเป็นส่วนหนึ่งของโภคพอลิเมอร์กับพอลิอะเซทิลีนและพอลิอะนิลีนในเมลานินบางชนิด

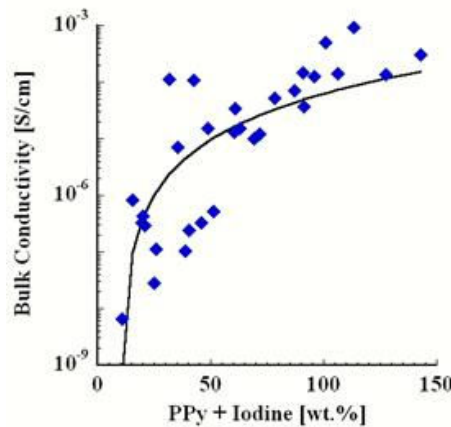


ภาพที่ 24 แบบจำลองโครงสร้างสามมิติไพร์โรล



ภาพที่ 25 โครงสร้างพอลิไพร์โรล

DE Weiss และผู้ร่วมวิจัยได้รายงานไว้ในงานวิจัยปี 1963 กล่าวว่าพอลิไพร์โรลที่ผ่านการกระตุนด้วยไอโอดีนแสดงค่าสภาพการนำไฟฟ้าจำเพาะสูงขึ้น ดังแสดงในภาพที่ 26



ภาพที่ 26 ค่าสภาพการนำไฟฟ้าจำเพาะของ Polypyrrole ที่ผ่านการกระตุนด้วยไอโอดีน

วิธีการที่ใช้ในการสังเคราะห์ไพร์โรล สามารถทำได้ 2 วิธี ได้แก่

วิธีที่ 1 ปฏิกิริยาเคมีไฟฟ้า

G. Torres-Gomez และ คณะ [22] อธิบายกระบวนการสังเคราะห์พอลิไพร์โรลโดยกระบวนการเคมีไฟฟ้า ไว้ กล่าวคือในการสังเคราะห์ประกอบด้วย working, counting และ reference electrode ซึ่งมีการให้ความต่างศักย์ไฟฟ้าเท่ากับ 0.7-0.8 โวลท์ โดยที่ working electrode ทำการลดแพลทินัม ซึ่งต้องทำการกระตุนอิเล็กโทรดดังกล่าวก่อนสังเคราะห์ โดยการจุ่มลดแพลทินัมในสารละลายกรดซัลฟูริกเข้มข้น 10 % ให้ความต่างศักย์ไฟฟ้า 3 โวลท์ เป็นเวลา 5 นาที สำหรับสารละลายอิเล็กโทรไลท์ที่ใช้ในการกระบวนการสังเคราะห์ ประกอบด้วยสารละลาย $K_4[Fe(CN)_6]$ เข้มข้น 0.1 M และสารละลายไพร์โรลเข้มข้น 0.1 M โดยจะไม่มีการกวนสารละลายอิเล็กโทรไลท์ระหว่างที่มีการสังเคราะห์

มีปัจจัยหลายประการในกระบวนการทางเคมีไฟฟ้าที่มีผลต่อค่าการนำไฟฟ้าของพิล์มพอลิเมอร์ ความสามารถในการยึดติดกับผิวอิเล็กโทรด สัณฐานวิทยาและความยึดหยุ่นของพิล์มที่ได้ กระบวนการพอลิเมอไรเซชั่นบนแพลทินัมอิเล็กโทรดมีผลต่อลักษณะของพิล์มที่ได้ กล่าวคือจะมีลักษณะเรียบ และมีความสามารถในการยึดเกาะที่ดีกว่าการทำพอลิเมอไรเซชั่นบนพิล์มที่ได้ ออกไซด์อิเล็กโทรด

วิธีที่ 2 ปฏิกิริยาเคมี

Y.Q. Shen และคณะ [23] ได้ทำการสังเคราะห์พอลิไพร์โรลโดยกระบวนการ *in situ* doping polymerization โดยใช้กรดซัลฟอนิกเป็นสารกระตุ้นพาหะปริมาณ 14 mmol และไพร์โรลอนอเมอร์ 14 mmol นำมาละลายในน้ำปราศจากไออกอนปริมาตร 20 มิลลิลิตร ภายใต้สภาวะการกวนอย่างรุนแรงที่อุณหภูมิการทำปฏิกิริยา 0 องศาเซลเซียส จากนั้นค่อยๆ หยดสารละลายแอนโอมเนียมเปอร์ซัลเฟต 0.90 g ในน้ำกลั่นปราศจากไออกอน 15 mL ซึ่งทำหน้าที่เป็นตัวออกซิไดซ์ ทั้งปฏิกิริยาไว้ที่อุณหภูมิ 0 องศาเซลเซียสเป็นเวลา 12 ชั่วโมง จากนั้นเทสารที่ได้จากปฏิกิริยาลงในน้ำปราศจากไออกอนปริมาณมากเกินพอกลั่นกรอง จากนั้นล้างตะกอนด้วยน้ำปราศจากไออกอนและตามด้วยเมทานอลหลายๆ ครั้ง แล้วนำมาทำให้แห้งภายใต้สภาวะความดันต่ำที่อุณหภูมิ 25 องศาเซลเซียสเป็นเวลา 2 วัน

2.9 การประยุกต์ใช้งานพอลิไพร์โรลในอุปกรณ์ตรวจสอบก๊าชหรือจมูกอิเล็กทรอนิกส์

มีการศึกษาวิจัยการนำพอลิไพร์โรลมาประยุกต์ใช้เป็นตัวตรวจสอบก๊าช พอสธูปได้ดังต่อไปนี้

ตารางที่ 7 การประยุกต์ใช้งานพอลิไพร์โรลเป็นตัวตรวจสอบก๊าช [24]

Sensor class	Analyte	Concentration range	Detection limit/sensitivity	Electrochemical response
Toxic gas noses	NH_3	—	29.4 ppm	Conductometric
		—	100 ppm	Conductometric
		46–10,000 ppm	300 ppm	SAW
		4000–10,000 ppm	4×103 ppm	Conductometric
		50–150 ppm	12.8 m Ω /ppm	
	NO_x	0.8–11 ppm	11 ppm	Voltammetric and Potentiometric
		—	50.1 ppm	Conductometric
		10–200	20 ppm	QMB
		—	2×104 ppm	
Toxic gas noses	CO_x	—	123a	Conductometric
		—		Conductometric
	SO_2 and H_2S	500–2,500 ppm 10–200	500 ppm 10 ppm	Conductometric QMB
	CH_4	—	40a	Conductometric

ตารางที่ 8 การประยุกต์ใช้งานพอลิไพร์โรลีนตัวตรวจสอบกําจู (ต่อ) [24]

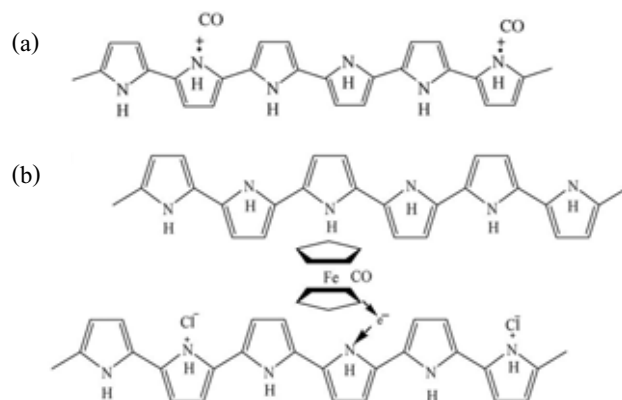
Sensor class	Analyte	Concentration range	Detection limit/sensitivity	Electrochemical response
Non-toxic gas EN	Oxygen	0–200 ppb	200 ppb	Photocurrent measurements
	Hydrogen	1000–5000 ppm	0.0519 $\mu\text{A}/\text{ppm}$	Potentiostatic
Aroma sensors	Methanol	15–218 mg l^{-1} — 14–250 mg l^{-1}	$9.7\text{m}\Omega/\text{mg l}^{-1}$ 19.2 ^b $1.3\Omega/\text{mg l}^{-1}$	Conductometric Conductometric Conductometric
Aroma sensors	Ethanol	15–140 mg l^{-1} — 2630–24800 ppm	$7.7\text{m}\Omega/\text{mg l}^{-1}$ 13.4 ^b $30 \mu\text{V}/\text{ppm}$	Conductometric Conductometric Conductometric
	2-Propanol	—	8.8 ^b	Conductometric
	Butanol	5–80 mg/m^3	—	Conductometric
	Phenol	5–100 mg/m^3	—	Conductometric
	Butane	100–40,000 ppm	1000 ppm	Conductometric
	Benzene	—	3.1 ^b	Conductometric
	Carbon tetrachloride	—	5.3 ^b	Conductometric
	Humidity sensors vapors	RH: 35–65% RH: 10–90% RH: 20–90%	RH: 2–4% $R_d/R_h; 4.2 \times 10^{-2}$ RH: 1%	Conductometric Potentiostatic Conductometric
Microbial nose	Acetic acid, butylamine, 2-pentanone, 3-pentanone, cyclohexanone, butanol, diethyl ether, acetaldehyde, benzyl acetone, N-decylaldehyde, isoamyl acetate, acetoacetic acid	Flow rate: 200 mL min^{-1}	—	Conductometric

RH: relative humidity; Rd: resistance under dry air; Rh: resistance under specific humidity; SAW: surface acoustic wave response; QMB: quartz microbalance response.

^aSensitivity: $R_{\text{gas}}/R_{\text{air}}$.

^bSensitivity: $(R_t - R_0)/R_0$, (R_t : resistance at contact time 't' R_0 : resistance in absence of compound).

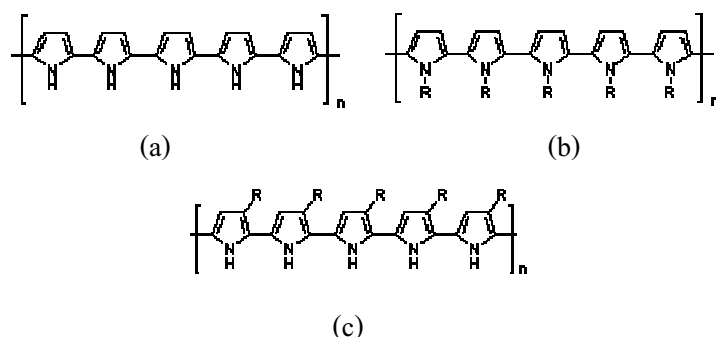
S. Radhakrishnan และคณะ [25] ได้ทำการศึกษาการเตรียมพอลิไพร์โรลที่มีการปรับปรุงคุณสมบัติด้วยเฟอร์โรซีน ด้วยวิธีการใส่เข้าไปโดยตรงขณะที่ทำปฏิกิริยาพอลิเมอไรเซชันพอลิไพร์โรล พนว่าเฟอร์โรซีนที่เพิ่มเข้าไปในโครงสร้างนั้นช่วยเพิ่มค่าอขلاقความว่องไวต่อการรับอนุมอนนอกไซด์ให้แก่พอลิไพร์โรลซึ่งหมายความว่าการนำไปใช้งานทางอุปกรณ์ตรวจวัด ในกระบวนการสังเคราะห์ทำผ่านปฏิกิริยาออกซิเดทิกเคมีคลพอลิเมอไรเซชัน ซึ่งมีเฟอร์โรซีนอยู่ร่วมด้วย โดยมีเฟอร์ริกคลอไรด์ทำหน้าที่เป็นตัวออกซิไดซ์ การตอบสนองของก๊าซคาร์บอนอนอนอกไซด์พบว่ามีค่าเพิ่มขึ้นเป็นสัดส่วนกับปริมาณเฟอร์โรซีนที่เจือปน



ภาพที่ 27 แสดงอันตรกิริยาระหว่างโมเลกุลก๊าซคาร์บอนอนอนอกไซด์ที่มีค่อ (a) Polypyrrole
(b) Polypyrrole ที่มีการเจือปนด้วยอะตอนเฟอร์โรซีน [25]

ข้อจำกัดพอลิไพร์โรล

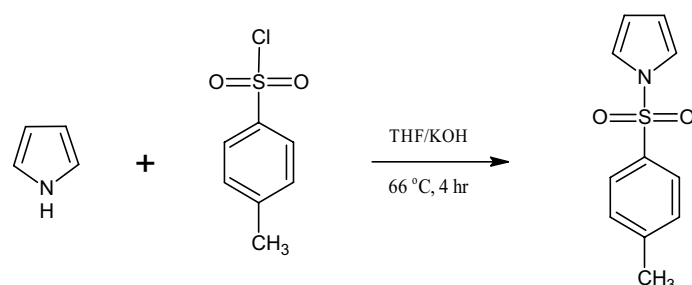
A. Ramanavicius และคณะ [26] ได้รายงานไว้ว่าพอลิไพร์โรลได้ถูกสังเคราะห์ขึ้นมาครั้งแรกเมื่อปี 1912 ทั้งนี้พอลิไพร์โรลที่สังเคราะห์ขึ้นโดยกระบวนการทางเคมีทั่วๆไปนั้นไม่สามารถละลายได้ในตัวทำละลายใดๆเนื่องจากแรงกระทำระหว่างสายโซ่พอลิเมอร์ที่มีค่ามาก ดังนั้นจึงเป็นปัญหาหลักในกระบวนการขึ้นรูปพอลิเมอร์เพื่อการประยุกต์ใช้งาน ดังนั้นจึงมีนักวิจัยหลายท่านที่ได้ศึกษาเกี่ยวกับการปรับปรุงโครงสร้างพอลิไพร์โรลโดยการเพิ่มหมุ่ฟังก์ชันเข้าไปบนวงแหวนไพร์โรล



ภาพที่ 28 (a) Polypyrrole, (b) Poly-N-alkylpyrrole, (c) Poly-3-alkylpyrrole [26]

การเตรียมอนุพันธ์ไพร์โรล

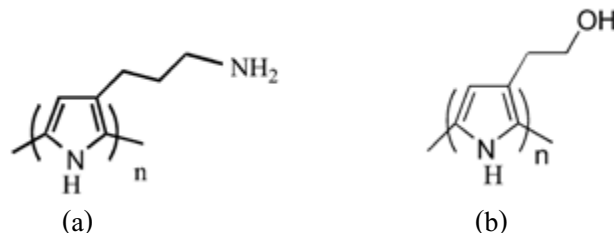
R.C. Foitzik และคณะ [27] ได้กล่าวถึงขั้นตอนการเตรียม *N-p-Toluenesulfonylpyrrole* เพื่อเป็นสารตัวกลางในการสังเคราะห์ 3-*iso*-butylpyrrole and 3-*iso*-pentylpyrrole สำหรับประยุกต์ใช้ในงาน wool coating ไว้ดังนี้



ภาพที่ 29 แสดงปฏิกิริยาการเตรียม *N-p-Toluenesulfonylpyrrole* [27]

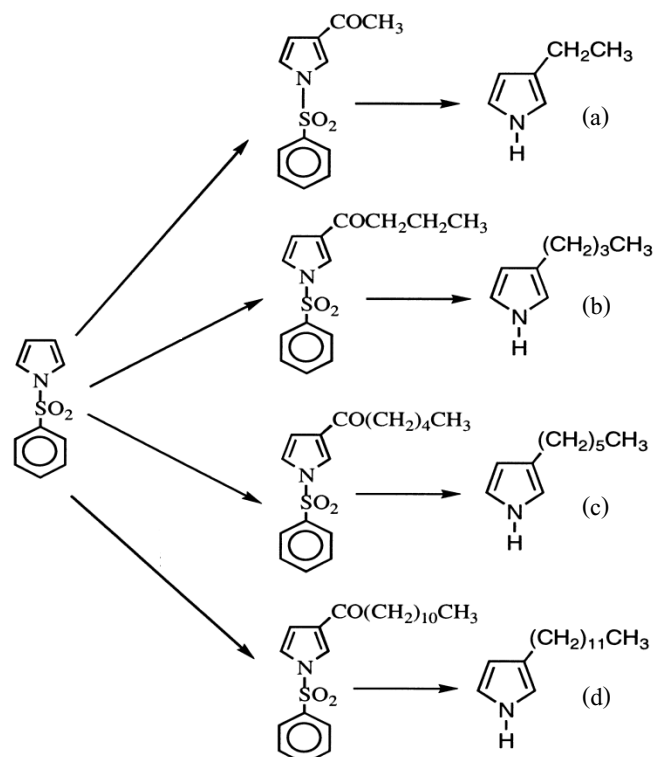
ความสำคัญของการเตรียม *N-p-Toluenesulfonylpyrrole* เพื่อป้องกันการเกิดปฏิกิริยา ณ ตำแหน่ง 2 และ 5 ซึ่งเป็นบริเวณที่ว่องไวต่อการเกิดปฏิกิริยามากกว่าตำแหน่งที่ 3 กระบวนการดังกล่าว เรียกว่าการ blocking ซึ่งเป็นกระบวนการที่สำคัญต่อการเตรียมอนุพันธ์polipyrroleที่มีหมุนแพนที่ ณ ตำแหน่งที่ 3

H. Korri-Youssouf และคณะ [28] ศึกษาการเตรียมอนุพันธ์โพลีไพร์โรลที่มีหมู่แทนที่ ณ ตำแหน่งที่ 3 เป็นหมู่เอมีน และหมู่ไฮดรอกซิล เพื่อการประยุกต์ใช้ในงานอุปกรณ์ตรวจสอบสารชีวโมเลกุล



ภาพที่ 30 (a) Poly (2-(3-pyrrole) propylamine), (b) Poly (2-(3-pyrrole) ethanol) [31]

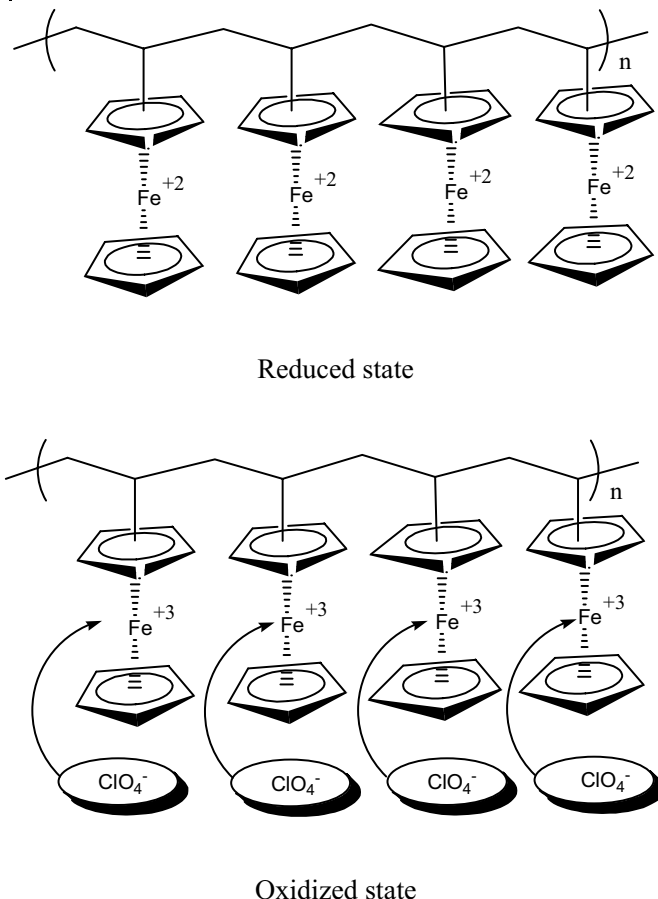
B.P.J. de Lacy Costello และคณะ [29] สังเคราะห์อนุพันธ์ไพร์โรลที่มีหมู่แทนที่ตำแหน่งที่ 3 ที่มีความยาวสายโซ่หมู่แทนที่แตกต่างกัน จากการศึกษาวิจัยพบว่าอนุพันธ์โพลีไพร์โรลที่ความยาวของหมู่แทนที่เพิ่มขึ้นนั้น จะมีความว่องไวต่อสารประกอบไม่มีข้าพิมพ์ขึ้น



ภาพที่ 31 (a) 3-pyrrolyl)ethane, (b) (3-pyrrolyl)butane, (c) (3-pyrrolyl)hexane, (d) (3-pyrrolyl)dodecane [29]

2.10 การนำไฟฟ้าของโมเลกุลที่โครงสร้างมีหมู่ฟังก์ชัน Ferrocene

เนื่องจาก Poly(vinyl ferrocene) (PVF) จัดเป็น Redox polymer ซึ่งจะมีริเวณที่ถูก Oxidized หรือ Reduced ประจำที่ โดยที่ประจำจะไม่มีการเคลื่อนที่ไปตามสายโซ่โมเลกุล แต่จะอยู่ที่บริเวณ Pendant group โครงสร้างทางเคมีของ PVF แสดงได้ดังภาพที่ 32



ภาพที่ 32 Poly(vinyl ferrocene) ในรูปของ Reduced state และ Oxidized state ที่ทำหน้าที่เป็น Host ให้กับ ClO_4^- ที่เป็น counterion

กระบวนการ Oxidation สามารถเกิดขึ้นได้เมื่อใช้สาร Electrolyte ที่เหมาะสม (เช่น LiClO_4 ในสารละลาย Acetonitrile) มีการดึงอิเล็กตรอนออกจากโครงสร้างของ ferrocene และถูกทำให้เป็นกลางด้วยสารละลาย Electrolyte



ประจุจะเกิดการเคลื่อนที่ด้วยการกระโดดข้าม (Hopping) จากหมู่ ferrocene หนึ่งไปสู่หมู่ ferrocene ข้างเคียง ดังนั้นการมีสารโมเลกุลขนาดเล็กทำหน้าที่เป็น Plasticizer ช่วยเพิ่ม free volume ให้กับโมเลกุล จะยิ่งช่วยเพิ่มความสามารถในการนำไฟฟ้าให้สูงขึ้น ได้อย่างไรก็ตาม ค่าสภาพการนำไฟฟ้าจำเพาะของวัสดุชนิดนี้ปักติจะอยู่ในช่วง 10^{-5} ถึง 10^{-7} ($\Omega\cdot\text{cm}$) $^{-1}$ ซึ่งน้อยกว่ากรณีของ polypyrrole ที่มีระบบ π -Conjugation ในโครงสร้างที่มีค่าประมาณ 10 ($\Omega\cdot\text{cm}$) $^{-1}$

บทที่ 3

วิธีการดำเนินงานวิจัย

3.1 สารเคมีที่ใช้ในการทดลอง

1. 1,4-dioxane (AR grade)
2. 3-bromopropionyl chloride (Aldrich, Technical grade)
3. Absolute ethanol
4. Acetone
5. Acetonitrile (AR grade)
6. Ammonium persulfate (Riedel-de Haën, $\geq 97.0\%$)
7. Anhydrous aluminium chloride (Fluka, $\geq 99.0\%$)
8. Anhydrous dichloromethane (Sigma-Aldrich, $\geq 99.8\%$)
9. Anhydrous sodium sulfate
10. Copper (II) perchlorate hexahydrate (Aldrich, 98 %)
11. Deionized water
12. Dichloromethane (AR grade)
13. Diethyl ether (AR grade)
14. Dimethyl sulfoxide (Riedel-de Haën, $\geq 99.5\%$)
15. Distilled water
16. Dodecylbenzenesulfonic acid sodium salt (Fluka, Technical grade)
17. Ferrocene carboxylic acid (Fluka, $\geq 97.0\%$)
18. Hydroxylamine hydrochloride (Univar, 99%)
19. Lithium fluoride (Fluka, $\geq 99.0\%$)
20. Lithium perchlorate (Fluka, $\geq 98.0\%$)

21. Methanol
22. Nitrogen (g)
23. Potassium hydroxide
24. *p*-Toluenesulfonyl chloride (Fluka, $\geq 99.0\%$)
25. Pyrrole (Fluka, $\geq 97.0\%$)
26. Sodium chloride
27. Sodium hydroxide
28. Tetrahydrofuran (AR grade)
29. Ultra High Purity Nitrogen (g)

3.2 อุปกรณ์ที่ใช้ในการทดลอง

1. 1-Necked round bottom flask
2. 3-Necked round bottom flask
3. 3-ways valve
4. Beaker
5. Buchner funnel
6. Rubber bulb
7. Burette
8. Clamp/Clamp holder
9. Condenser
10. Conical flask
11. Cylinder
12. Dropper
13. Drying tube
14. Equalizing dropping funnel
15. Evaporator
16. Expansion adapter

17. Filter paper
18. Forceps
19. Glass funnel
20. Hot plate
21. Magnetic bar
22. Mechanical stirrer
23. Oil bath
24. Pipette
25. Reducing adapter
26. Separatory funnel
27. Sintered glass funnel
28. Soxhlet extractor
29. Spatula
30. Still head
31. Stopper
32. Suction flask
33. Temperature controller
34. Test tube
35. Thermometer
36. Vacuum oven
37. Vial tube

3.3 เครื่องมือที่ใช้ในการวิเคราะห์

1. Differential scanning calorimeter (Mettler Toledo: DSC1)
2. Electrometer/high-resistance meter (Keithley: 6517A, USA)
3. Fourier transform infrared spectrophotometer (Bruker Optik GmbH: Vertex70, Germany)
4. Proton nuclear magnetic resonance spectrometer (Bruker: 300 Ultrasheild, Germany)
5. Thermogravimetric analyzer (Mettler Toledo: TGA/DSC1)

3.4 วิธีการดำเนินงานวิจัย

3.4.1 การเตรียมพอกลิเมอร์ตัวรองรับ

3.4.1.1 การสังเคราะห์อนุพันธ์ไพร์โรลที่มีหมู่แทนที่ ณ ตำแหน่ง 3 (3-Py)

ขั้นที่ 1 การสังเคราะห์ *N-p-Toluenesulfonylpyrrole*

ไพร์โรลอนอเมอร์ถูกทำให้บริสุทธิ์โดยการกลั่นภายใต้ความดันต่ำ ก่อนนำมาใช้ในการทดลอง เติมไพร์โรล 25.00 g (0.373 mol) ลงใน 3-necked-round bottom flask ขนาด 2 L ซึ่งบรรจุเตระไฮโดรฟูเรนปริมาตร 1.10 L กวนสารละลายไพร์โรลเป็นเวลา 10 นาที จากนั้นเติมโพแทสเซียมไฮดรอกไซด์ 41.85 g (0.746 mol) แล้วกวนสารละลายผสมจนครบ 20 นาที และเติมสารละลาย *p*-Toluenesulfonyl chloride 66.73 g (0.350 mol) แล้วตั้งอุปกรณ์เพื่อทำการรีฟลักซ์ (reflux) สารผสม โดยควบคุมสภาวะการทดลองไว้ที่อุณหภูมิ 66 องศาเซลเซียส เมื่อครบกำหนดเวลา 4 ชั่วโมง หยุดให้ความร้อนจะได้สารที่มีลักษณะเป็นของเหลวข้น สีชมพูอ่อน ปล่อยให้สารที่ได้จากปฏิกิริยาเย็นลงจนถึงอุณหภูมิห้อง เติมไคลอทิลอีเทอร์ 500 mL ลงใน flask แล้วกวนสารผสมที่ได้จากปฏิกิริยาจนครบ 20 นาที นำสารที่ได้มาสักด้วยน้ำกลั่นโดยใช้กรวยแยก เติมน้ำกลั่นแล้วเบย่ากรวยแยก เพื่อให้สารทั้งสองเฟสสัมผัสกัน ตั้งทิ้งไว้จนสารที่อยู่ภายในกรวยแยกแยกออกเป็น 2 ชั้นอย่างสมบูรณ์ โดยชั้นบนเป็นชั้นของสารละลายอินทรีส์ ส่วนชั้นล่างเป็นสารละลายชั้นนำ เก็บชั้นสารละลายอินทรีส์ (ชั้นบน) ใส่ใน conical flask ขนาด 500 mL เติมโซเดียมซัลไฟต์ที่ปราศจากน้ำ (anhydrous Na_2SO_4) ในปริมาณที่มากเกินพอดังใน conical flask ปล่อยกวนทิ้งไว้เป็นเวลา 24 ชั่วโมง เมื่อครบกำหนดเวลานำสารละลายไปกรองแยกของแข็งออกโดยใช้กรวยแก้ว นำของเหลวที่กวนได้ไปใส่ในตู้อบสูญญากาศ เพื่อต้องตัวทำละลายออกจากสาร จะได้ของแข็งสีเทาแล้วนำไปตักตะกอนใหม่อีกครั้ง [27] ด้วยเมทานอลร้อนปริมาตร 200 mL จะได้สารผลิตภัณฑ์เป็นผงละเอียดสีขาว อบให้แห้งโดยใช้

ตู้อบสุญญากาศที่อุณหภูมิห้องเป็นเวลา 24 ชั่วโมง นำหนักที่สังเคราะห์ได้เท่ากับ 66.70 g คิดเป็นร้อยละผลผลิต (% yield) เท่ากับ 86.06 % ผลการพิสูจน์เอกสารลักษณ์ด้วยเทคนิค FT-IR และ ¹H-NMR แสดงไว้ในหัวข้อ 4.1.1.1

ขั้นที่ 2 การสังเคราะห์ 3-derivatized pyrrole precursor;

N-p-Toluenesulfonylpyrrole-3-(3-bromopropionyl)pyrrole

เติม anhydrous dichloromethane 200 mL ลงใน 3-necked-round bottom flask ขนาด 500 mL ที่มีท่อใน trojen ถูกต่อเข้าที่คอด้านหนึ่งของ flask เพื่อตั้งสภาวะการทดลองให้อุ่นภายใต้บรรยากาศก๊าซ ใน trojen เติม anhydrous aluminium chloride 10.84 g (81.4 mmol) รวมสารผสมเป็นเวลา 20 นาที เมื่อครบกำหนดเวลา ค่อยๆ หยดสารละลาย 3-bromopropionyl chloride 16.28 g (95.0 mmol) ในไดคลอโรเมเทน 100 mL โดยควบคุมอุณหภูมิการทดลองไว้ที่ 20 องศาเซลเซียส รวมสารละลายต่อไปอีก 30 นาที แล้วปรับลดอุณหภูมิลงมาที่ 5 องศาเซลเซียส หยดสารละลาย *N-p-Toluenesulfonylpyrrole* 18.00 g ในไดคลอโรเมเทน 100 mL รวมสารผสมภายใต้บรรยากาศก๊าซใน trojen จนครบกำหนดเวลา 20 ชั่วโมง นำสารที่ได้จากปฏิกิริยาทำปฏิกิริยาไฮโคลีไซต์ โดยค่อยๆ หยดน้ำเย็นลงในสารที่ได้จากปฏิกิริยา สกัดสารผสมด้วยน้ำกลั่น 3 ครั้ง แล้วแยกสารผสมโดยใช้กรวยแยก ตั้งไว้จนกระหงสารผสมแยกออกเป็น 2 ชั้นอย่างสมบูรณ์ สำหรับชั้นตอนนี้สารละลายอินทรีย์ที่ได้จะอยู่ชั้นล่าง และชั้นบนเป็นสารละลายชั้นน้ำ เก็บชั้นสารอินทรีย์ (ชั้นล่าง) สกัดชำด้วยสารละลายโซเดียมคลอไรด์อีมตัว แยกโดยใช้กรวยแยก เก็บสารละลายอินทรีย์ใน conical flask ขนาด 250 mL เติมโซเดียมชาลไฟที่ปราศจากน้ำ (anhydrous Na₂SO₄) ในปริมาณที่มากเกินพอ และกวานทิ้งไว้เป็นเวลา 24 ชั่วโมง เมื่อครบกำหนดเวลากรองตะกอน Na₂SO₄ แล้วตักตะกอนสารใน petroleum ether (60-80 °C) ที่กวานอย่างแรง กรองสารผลิตภัณฑ์โดยใช้ sintered glass funnel อบสารที่กรองได้ในตู้อบสุญญากาศที่อุณหภูมิห้องเป็นเวลา 24 ชั่วโมง จะได้สารผลิตภัณฑ์เป็น *N-p-Toluenesulfonylpyrrole -3-(3-bromopropionyl)pyrrole* นำหนักที่สังเคราะห์ได้เท่ากับ 15.44 g คิดเป็นร้อยละผลผลิต (% yield) เท่ากับ 79.80 % ผลการพิสูจน์เอกสารลักษณ์ด้วยเทคนิค FT-IR และ ¹H-NMR แสดงไว้ในหัวข้อ 4.1.1.2

ขั้นที่ 3 การสังเคราะห์ 3-(3-bromopropionyl)pyrrole; 3-Py

เติม 1,4-dioxane ปริมาณ 300 mL ลงใน 3-necked-round bottom flask ขนาด 1 L จากนั้นค่อยๆ หยด 3-derivatized pyrrole precursor 11.13 g (31.3 mmol) ลงใน flask กวนสารผสมที่อุณหภูมิห้องภายในตัวบรรจุภัณฑ์ในโตรเจน 30 นาที ค่อยๆ หยดสารละลายโซเดียมไฮดรอกไซด์ความเข้มข้น 5 M 300 mL ลงในสารละลายผสม กวนสารผสมที่อุณหภูมิห้องภายในตัวบรรจุภัณฑ์ในโตรเจนจนครบกำหนดเวลา 72 ชั่วโมง เติมไดอิทิลเอเทอร์ 150 mL กวนสารละลาย 20 นาที นำสารผสมมาสกัดด้วยน้ำกลั่นโดยใช้กรวยแยก เขย่ากรวยแยกเพื่อให้สารทึบส่องไฟสัมผัสกัน ตึงไว้จนกระทั่งสารผสมแยกออกเป็น 2 ชั้นอย่างสมบูรณ์ แล้วเก็บชั้นสารละลายอินทรีย์ (ชั้นบน) และนำมาสกัดด้วยสารละลายโซเดียมคลอไรด์อีมิต้า แล้วเก็บชั้นสารละลายอินทรีย์ใน conical flask ขนาด 500 mL เติมโซเดียมซัลเฟตที่ปราศจากน้ำ (anhydrous Na_2SO_4) ในปริมาณที่มากเกินพอ และกวนทึบไว้เป็นเวลา 24 ชั่วโมง เมื่อครบกำหนดเวลากรองตะกอน Na_2SO_4 ทิ้งไป เก็บสารละลายที่กรองได้ไปดึงตัวทำละลายออกจากตู้อบสูญญากาศ ได้สารที่มีลักษณะคล้ายน้ำมันสีเหลืองอ่อน แล้วตกรตะกอนน้ำมันสีเหลืองอ่อนในสารละลายผสมระหว่างไดอิทิลเอเทอร์กับ light petroleum ในอัตราส่วน 1:1 กรองสารผลิตภัณฑ์โดยใช้ sintered glass funnel อบสารที่กรองได้ในตู้อบสูญญากาศที่อุณหภูมิห้องเป็นเวลา 24 ชั่วโมง นำหนักสารที่สังเคราะห์ได้เท่ากับ 5.82 g คิดเป็นร้อยละผลผลิต (% yield) เท่ากับ 92.03 % ผลการพิสูจน์เอกลักษณ์ด้วยเทคนิค FT-IR และ $^1\text{H-NMR}$ แสดงไว้ในหัวข้อ 4.1.1.3

3.4.2 การเตรียมอนุพันธ์พอลิไพร์โรล 3-PPy

เติมสารละลายของ 3-(3-bromopropionyl)pyrrole 0.2020 g (1 mmol) ใน acetonitrile 10 mL ลงใน 3-necked-round bottom flask ขนาด 50 mL ควบคุมอุณหภูมิการทำปฏิกิริยาไว้ที่อุณหภูมิ 20 องศาเซลเซียส กวนสารละลายภายในตัวบรรจุภัณฑ์ในโตรเจน 10 นาที จากนั้นค่อยๆ หยดสารละลาย Copper(II) perchlorate hexahydrate 0.7410 g (2 mmol) ใน acetonitrile 10 mL ลงในสารละลายอนุพันธ์ไพร์โรล จะมีตะกอนสีดำเกิดขึ้นภายในสารละลายใส กวนสารผสมภายใต้บรรจุภัณฑ์ในโตรเจนจนครบกำหนดเวลา 12 ชั่วโมง เมื่อสิ้นสุดปฏิกิริยานำสารไปกรองด้วย sintered glass funnel ล้างตะกอนอนุพันธ์พอลิไพร์โรลด้วยน้ำกลั่นและ acetonitrile ในปริมาณที่มากเกินพอตามลำดับ ตะกอนอนุพันธ์พอลิไพร์โรลถูกนำมาล้างด้วย acetonitrile ร้อนโดยใช้ continuous

soxhlet extractor เมื่อครบกำหนดเวลา 8 ชั่วโมง หยุดให้ความร้อน และปล่อยให้สารเย็นลงจนถึง อุณหภูมิห้อง นำตะกอนไปอบในตู้อบสูญญากาศ เป็นเวลา 24 ชั่วโมง ได้สารผลิตภัณฑ์เป็นของแข็งสีดำ ของตะกอนอนุพันธ์โพลิไพร์โรล น้ำหนักสารที่สังเคราะห์ได้เท่ากับ 0.1950 g คิดเป็นร้อยละผลผลิต (% yield) เท่ากับ 97.48 % ผลการพิสูจน์เอกสารด้วยเทคนิค FT-IR และ ¹H-NMR แสดงไว้ในหัวข้อ 4.1.2 และผลการทดสอบสมบัติทางความร้อน แสดงไว้ในหัวข้อ 4.2

3.4.3 การเตรียมอนุพันธ์โพลิไพร์โรลที่มีหมู่แทนที่ ณ ตำแหน่งที่ 3 เป็นหมู่ออกซิเม (3-PPy oxime)

เติม 3-PPy 1.0500 g (5 mmol) ใน DMSO 10 mL ใน 3-necked-round bottom flask ขนาด 100 mL ควบสารผสมภายใต้บรรยายกาศก๊าซไนโตรเจน 20 นาที ก่อน ด้วย Hydroxylamine hydrochloride 0.3475 g (5 mmol) ใน absolute ethanol 10 mL ควบสารผสมต่ออีก 10 นาที แล้วตั้งอุปกรณ์เพื่อทำรีฟลักซ์ (reflux) อุณหภูมิการทำปฏิกิริยาถูกควบคุมไว้ที่ 90 องศาเซลเซียส เมื่อครบกำหนดเวลา 90 นาที หยุดให้ความร้อน แล้วปล่อยให้สารเย็นลงที่อุณหภูมิห้อง เทสารที่ได้จากปฏิกิริยາลงในอะซิโตนที่มากเกินพอ ที่มีการวนอย่างรุนแรง จะได้ตะกอนสีดำของโพลิเมอร์ นำมารองและถางตะกอนขณะกรองด้วยน้ำกลั่นและเอทานอลตามลำดับ นำสารผลิตภัณฑ์ที่ได้ไปอบโดยใช้ตู้อบสูญญากาศที่อุณหภูมิห้องเป็นเวลา 24 ชั่วโมง น้ำหนักสารที่สังเคราะห์ได้เท่ากับ 1.0311 g คิดเป็นร้อยละผลผลิต (% yield) เท่ากับ 95.89 % ผลการพิสูจน์เอกสารด้วยเทคนิค FT-IR และ ¹H-NMR แสดงไว้ในหัวข้อ 4.1.3 และผลการทดสอบสมบัติทางความร้อน แสดงไว้ในหัวข้อ 4.2

3.4.4 การทำเอกสารริฟิเกชันโพลิเมอร์ตัวรองรับด้วยเกลือโซเดียมเฟอร์โรซีนคาร์บอซิเดต ขั้นที่ 1 การเตรียมเกลือโซเดียมเฟอร์โรซีนคาร์บอซิเดต (Na-FCC)

เติมเตトラไฮโดรฟูเรน 100 mL ใน 3-necked-round bottom flask ขนาด 500 mL ก่อน ด้วย ฯลฯ สารละลายน้ำ น้ำหนัก 13.70 g (59.5 mmol) ในน้ำ แล้วควบภายใน ภายใต้บรรยายกาศไนโตรเจน ก่อน ด้วย ฯลฯ สารละลายน้ำ 50% โซเดียมไฮดรอกไซด์ลงไป จนกระทั่งได้ ตะกอนสีเหลืองของของเกลือ Na-FCC เกิดขึ้น โดยระวังอย่าให้จำนวนโมลของโซเดียมไฮดรอกไซด์มากกว่ากรดเฟอร์โรซีนคาร์บอซิเดต ปล่อยให้กวนต่อไปอีก 12 ชั่วโมง กรองแยกเกลือที่ได้แล้วล้างให้สะอาดด้วยตระไหด์ไฮโดรฟูเรน 3 ครั้ง แล้วอบให้แห้งในตู้อบสูญญากาศที่อุณหภูมิห้องเป็นเวลา 3

วัน มีน้ำหนัก 14.35 g คิดเป็นร้อยละผลผลิต (%yield) เท่ากับ 95.32 % ผลการพิสูจน์เอกสารลักษณ์ด้วยเทคนิค $^1\text{H-NMR}$ และ FT-IR แสดงไว้ในหัวข้อ 4.1.4.1

ขั้นที่ 2 การทำเออสเตอร์วิฟิเคชันของอนุพันธ์โพลิไพร์โรลที่มีหมู่ออกซิเม (3-PPy oxime FCC)

เติมสารละลายน้ำ 0.4301 g (2 mmol) ใน DMSO ปริมาตร 15 mL ลงใน 3-necked-round bottom flask ขนาด 100 mL ภาชนะใส่บรรจุภัณฑ์ในตู้เรเจนจัครอบ 30 นาที เติมสารละลายน้ำ Na-FCC 0.5061 g (2 mmol) ในน้ำ 10 mL และตั้งอุปกรณ์เพื่อทำรีฟลักซ์ (reflux) ภาชนะใส่บรรจุภัณฑ์ในตู้เรจันที่อุณหภูมิ 90°C เป็นเวลา 96 ชั่วโมง เมื่อครบกำหนดเวลาหยุดให้ความร้อนและปล่อยให้สารเย็นลงถึงอุณหภูมิห้อง จากนั้นเทสารละลายน้ำโพลิเมอร์ทึ้งหมดลงในอะซิโตนที่มากเกินพอที่กว้างอย่างแรง กรองแยกพอลิเมอร์ที่ได้แล้วล้างด้วยอะซิโตน 50 mL 2 ครั้ง จึงนำไปอบให้แห้งในตู้อบสุญญากาศที่อุณหภูมิห้องเป็นเวลา 24 ชั่วโมง นำหัวน้ำสารที่สังเคราะห์ได้เท่ากับ 0.6954 g คิดเป็นร้อยละผลผลิต (% yield) เท่ากับ 95.47 % ผลการพิสูจน์เอกสารลักษณ์ด้วยเทคนิค $^1\text{H-NMR}$ และ FT-IR แสดงไว้ในหัวข้อ 4.1.4.2 และผลการทดสอบสมบัติทางความร้อน แสดงไว้ในหัวข้อ 4.2

3.4.5 การสังเคราะห์โพลิไพร์โรล (PPy)

เติมสารละลายน้ำ 0.9393 g (14 mmol) ในน้ำปราศจากไอออน 20 mL ใน 3-necked-round bottom flask ขนาด 100 mL ภาชนะใส่สารละลายน้ำ 20 นาทีภายใต้บรรจุภัณฑ์ในตู้เรจัน อุณหภูมิการทำปฏิกิริยาถูกควบคุมไว้ที่ 0 องศาเซลเซียส จากนั้นค่อยๆ หยดสารละลายน้ำ โนเนียมไฮดรอกไซด์ 0.9000 g (3.95 mmol) ในน้ำปราศจากไอออน 15 mL ควบคุมปฏิกิริยาไว้ที่อุณหภูมิ 0 องศาเซลเซียส เป็นเวลา 12 ชั่วโมง เมื่อครบกำหนดเวลา เทสารที่ได้จากปฏิกิริยาลงในน้ำปราศจากไอออนปริมาณมากเกินพอแล้วกรอง จากนั้nl ล้างตะกอนด้วยน้ำปราศจากไอออนและเมทานอลหลายๆ ครั้ง แล้วนำอบในตู้อบสุญญากาศเป็นเวลา 24 ชั่วโมง นำหัวน้ำสารที่สังเคราะห์ได้เท่ากับ 0.8991 g คิดเป็นร้อยละผลผลิต (% yield) เท่ากับ 98.66 % ผลการพิสูจน์เอกสารลักษณ์ด้วยเทคนิค FT-IR และ $^1\text{H-NMR}$ แสดงไว้ในหัวข้อ 4.1.5 และผลการทดสอบสมบัติทางความร้อน แสดงไว้ในหัวข้อ 4.2

3.4.6 การกระตุ้นให้เกิดพาหะพาประจุ (Doping)

ละลายพอลิเมอร์นำไฟฟ้าที่ต้องการกระตุ้นให้เกิดพาหะพาประจุในตัวทำละลาย DMSO ที่มีสาร Dopant คือ Lithium fluoride, Lithium perchlorate และ Sodium-dodecylbenzenesulfonic acid ผสมอยู่ ในอัตราส่วนของไพร์โอลต่อสาร Dopant เป็น 1 ต่อ 1 โดยการ กวนที่อุณหภูมิห้องภายใต้บรรยายกาศของก้าชในโตรเจนเป็นเวลา 48 ชั่วโมง จากนั้นนำไปประเหยอาด้วยทำละลายออกตัวโดยวิธีการลดความดันที่อุณหภูมิห้อง โดยการใส่ไว้ในตู้อบสูญญากาศที่อุณหภูมิห้อง เป็นเวลา 72 ชั่วโมง

3.4.7 การพิสูจน์เอกลักษณ์ของพอลิเมอร์

พอลิเมอร์ที่สังเคราะห์ได้จะถูกนำมาพิสูจน์เอกลักษณ์เพื่อหาหมู่ฟังก์ชันด้วยเครื่อง Fourier transform infrared spectrophotometer (Bruker Optik GmbH: Vertex70, Germany) โดยขั้นแรก จะทำการเตรียมชิ้นงานทดสอบโดยใช้วิธีการบดผสมพอลิเมอร์ที่สังเคราะห์ได้กับผง KBr แล้วนำไปทดสอบโดยใช้เทคนิค transparent mode ช่วงเลขคู่นี้ตั้งแต่ $400\text{--}4000\text{ cm}^{-1}$ ในส่วนการคำนวณหาปริมาณหมู่ฟังก์ชันจะใช้เครื่อง Proton nuclear magnetic resonance spectrometer (Bruker: 300 Ultrasheild, Germany) โดยในการเตรียมชิ้นงานทดสอบนี้จะใช้วิธีการละลายพอลิเมอร์ในตัวทำละลาย deuterated DMSO (DMSO-d_6)

3.4.8 การทดสอบสมบัติทางความร้อนของพอลิเมอร์ตัวรองรับ

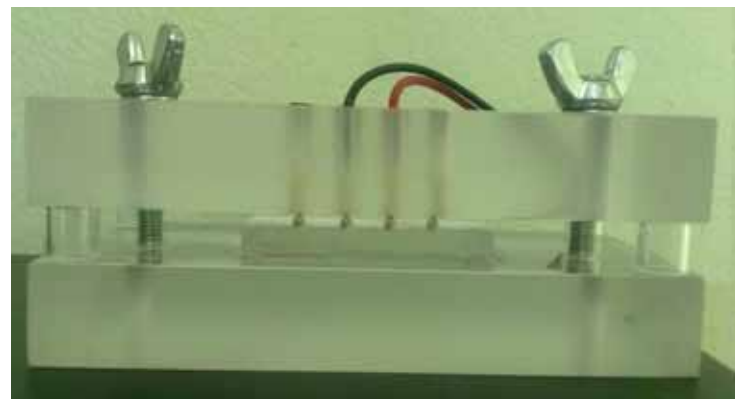
พอลิเมอร์ที่สังเคราะห์ได้จะถูกนำมาทดสอบความเสถียรทางความร้อนเพื่อหาอุณหภูมิ การสลายตัวด้วยเครื่อง Thermogravimetric analyzer (TGA1) ที่อุณหภูมิตั้งแต่ $50\text{--}1200\text{ }^{\circ}\text{C}$ ภายใต้บรรยายกาศของก้าชในโตรเจน และหาอุณหภูมิ glass transition (T_g) ด้วยเครื่อง Differential scanning calorimeter (DSC1) ที่อุณหภูมิตั้งแต่ $25\text{--}225\text{ }^{\circ}\text{C}$ ภายใต้บรรยายกาศของก้าชในโตรเจน

3.4.9 การทดสอบค่าการนำไฟฟ้าและความว่องไวต่อก้าชตัวอย่างของพอลิเมอร์

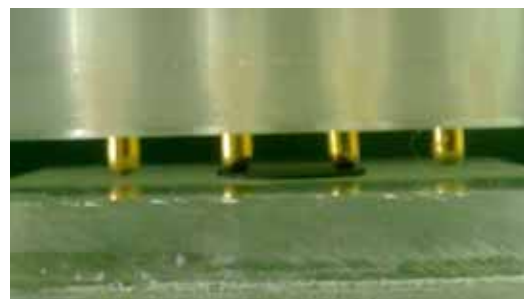
3.4.9.1 การเตรียมชิ้นงานทดสอบ

ใช้เครื่องอัดไฮดรอลิกและแม่พิมพ์ที่ใช้ในการเตรียมชิ้นงานทดสอบ FT-IR มาอัดผงพอลิเมอร์ที่ผ่านการกระตุ้นให้เกิดพาหะพาประจุแล้วที่บดละเอียด น้ำหนักประมาณ 0.1 กรัม

ด้วยแรงอัด 3,000 ปอนด์ วัดความหนาของชิ้นงานด้วย dial thickness gauge (OZAKI MEG: PEACOCK) และต่อเข้ากับ sensor chamber ที่ต่ออยู่กับเครื่อง Electrometer/high-resistance meter (Keithley: 6517A, USA) ดังภาพที่ 33 และ 34 ตามลำดับ



ภาพที่ 33 อุปกรณ์วัดชิ้นงานเพื่อทดสอบหาสมบัติการนำไฟฟ้า



ภาพที่ 34 การวางชิ้นงานเพื่อทดสอบหาสมบัติการนำไฟฟ้า

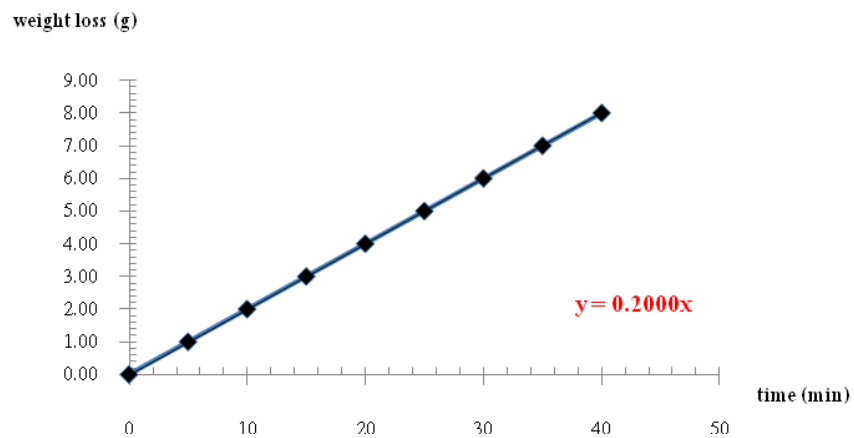
3.4.9.2 การควบคุมความเข้มข้นของไออะเรหะตัวอย่าง

การควบคุมความเข้มข้นของไออะเรหะตัวอย่าง ต้องมีการเทียบมาตรฐาน ไออะเรหะของสารตัวอย่างก่อนเริ่มทำการทดลอง เพื่อใช้หาความเข้มข้นของไออะเรหะสารตัวอย่างเริ่มต้น ก่อนการทดสอบวัดค่าการนำไฟฟ้าและค่ารือยละเอียดการตอบสนองต่อไออะเรหะตัวอย่าง โดยมีขั้นตอนดังนี้

ขั้นแรก กำหนดอัตราเร็วในการให้ลดของก้าชในไตรเจนให้มีค่าคงที่ค่าหนึ่ง โดยในการทดสอบเลือกใช้ค่าอัตราเร็วในการให้ลดของก้าชในไตรเจนเท่ากับ 500 mL/min จากนั้นวัดค่า้น้ำหนักที่หายไป (weight loss) ของสารตัวอย่าง โดยเก็บข้อมูลทุก ๆ 5 นาที จนครบระยะเวลา 40 นาที

ขั้นสอง นำข้อมูลค่าน้ำหนักที่หายไปของสารตัวอย่างมาเขียนกราฟซึ่งแสดงความสัมพันธ์ระหว่างน้ำหนักที่หายไปต่อเวลาที่เก็บข้อมูล จากกราฟเราจะได้สมการความสัมพันธ์สำหรับใช้ในการกำหนดค่าความเข้มข้นของไօระเหยตัวอย่างเริ่มต้น

Calibration curve method



แทนค่า เวลาที่ใช้ในการให้ก้าชในไตรเจนผ่านสารตัวอย่างที่ตัวแปร x ในสมการ จะได้ค่าน้ำหนักที่หายไปของสารตัวอย่าง เพื่อนำไปใช้คำนวณเป็นความเข้มข้นเริ่มต้นของไօระเหยตัวอย่างต่อไป

ขั้นที่สาม ความเข้มข้นไอระเหยตัวอย่าง กำหนดไว้ในหน่วย ppm โดย 1 ppm หมายถึงปริมาณสารตัวอย่าง 1 ส่วนในตัวทำละลาย 1,000,000 ส่วน หรือ ปริมาณสารตัวอย่าง 1 มิลลิกรัมในตัวทำละลายปริมาณ 1 ลิตร (mg/L)

ตัวอย่าง การคำนวณหาความเข้มข้นไอระเหยตัวอย่าง
กำหนดให้ เวลาในการปล่อยก๊าซในโทรเจนผ่านสารตัวอย่าง เท่ากับ 32 นาที โดยก๊าซในโทรเจนมีอัตราเร็วเท่ากับ 500 mL/min หรือ 0.5 l/min จากสมการ

$$y = 0.200x$$

แทนค่า x ด้วย 32 min จะได้ $y = 6.4$
นั่นหมายความว่าปล่อยก๊าซในโทรเจนผ่านสารตัวอย่างเป็นเวลา 30 นาที ทำให้ค่าน้ำหนักที่หายไปของสารตัวอย่างเท่ากับ 6.4 g หรือ 6400 mg
และ ปริมาณก๊าซในโทรเจนที่ถูกใช้ไปในระยะเวลา 32นาที เท่ากับ

$$32 \text{ min} * 0.5 \text{ L/min} = 16 \text{ L}$$

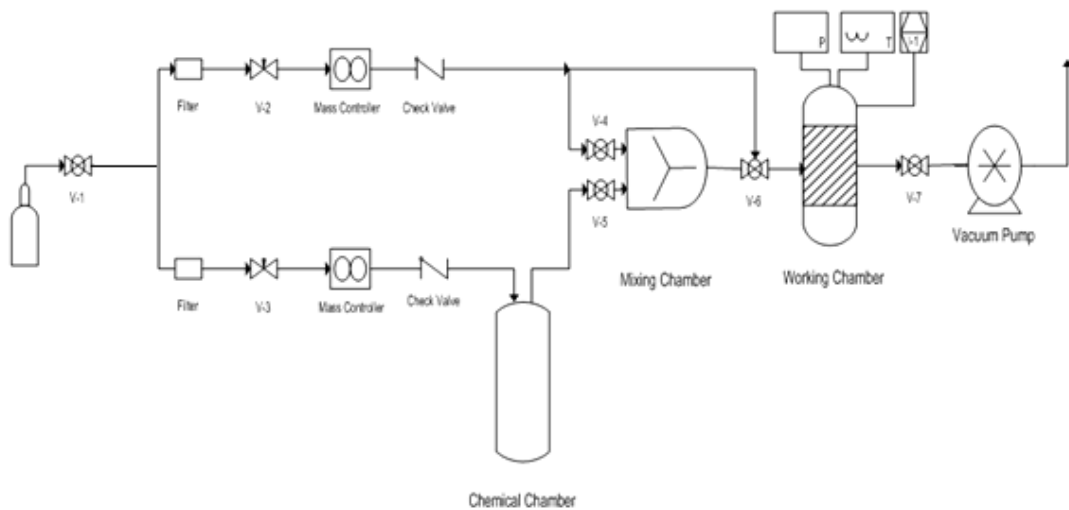
ดังนั้น ความเข้มข้นไอระเหยตัวอย่าง เท่ากับ

$$\frac{6400 \text{ mg}}{16 \text{ L}} = 400 \text{ ppm}$$

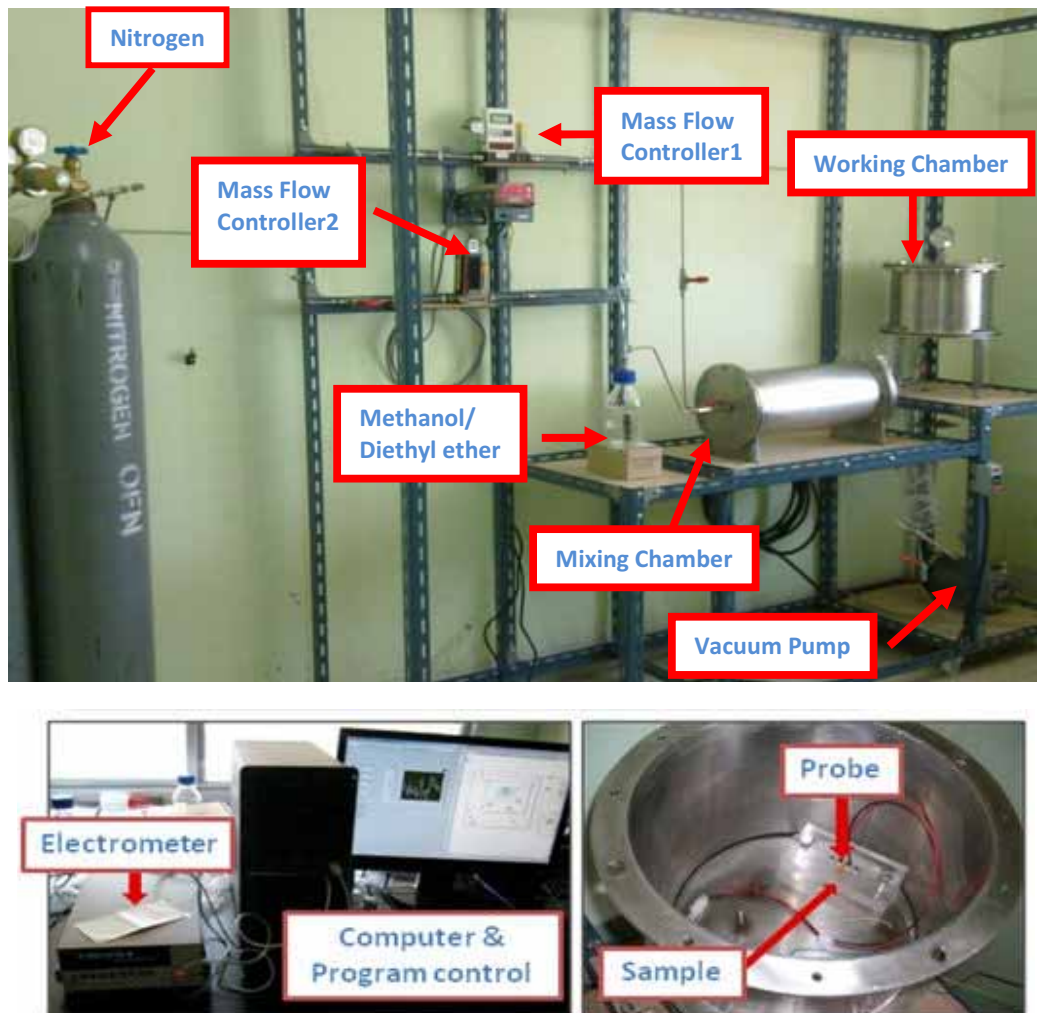
ขั้นที่สี่ ขั้นตอนการเตรียมสภาพบรรจุภัณฑ์ และ ไดอทิลอีเทอร์ความเข้มข้นคงที่ อุปกรณ์ที่ใช้จะเป็นภาชนะบรรจุก๊าซขนาด 10 ลิตร 2 ถังต่อกัน ถังแรก ด้านหนึ่งจะต่อ กับหัวนำก๊าซซึ่งสามารถเลือกเปิดวาล์วสำหรับป้อนก๊าซในโทรเจน หรือ ไอระเหยตัวอย่างที่ต้องการทดสอบ (เมทานอล หรือ ไดอทิลอีเทอร์) โดยมีอุปกรณ์ Mass flow controller ที่ใช้

เป็นอุปกรณ์ควบคุมอัตตราการ ไอลของก๊าซ ส่วนอีกด้านหนึ่งจะมีท่อที่มีวาล์วปิดเปิด เชื่อมต่อไปยัง working chamber สำหรับ working chamber ภายในจะมีสายไฟต่อໄว้ สามารถเชื่อมต่อกับด้าว probe ได้ ส่วนด้านล่างจะต่อกับปืนดูดอากาศ และมีท่อสำหรับเชื่อมต่อกับบรรยายกาศภายนอก ในการอัดความดันเพื่อเตรียมบรรยายกาศของเมทานอล หรือ ไฮเดรติโลอีเทอร์ จะเริ่มจากเปิดท่อสำหรับเชื่อมต่อถังทึ้ง 2 ใบ และเปิดปืนดูดอากาศจนถังทึ้งสองใบมีความดันต่ำมาก ซึ่งในที่นี้จะใช้เป็น 0.2 bar จากนั้นจึงปิดวาล์วที่เชื่อมต่อระหว่างถังทึ้งสอง แล้วอัดไออกเรห์ที่จะทดสอบเข้าไปในถังใบแรก โดยเปิดวาล์วที่เชื่อมต่อระหว่างถังใบแรกกับขวดบรรจุเมทานอล หรือ ไฮเดรติโลอีเทอร์แล้วใช้ก๊าซในไตรเจนช่วยในการพากไออกเรห์ของสารเข้าไปในถัง โดยใช้อัตราการป้อนก๊าซในไตรเจนเท่ากับ 500 mL/min จนกระทั่งภายในถังมีปริมาณเมทานอลและไฮเดรติโลอีเทอร์เท่ากับ 8.75 กรัม ซึ่งสามารถหาได้จากการเพียงมาตรฐานมาก่อนแล้ว จึงทำการหยุดป้อนไออกเรห์ตัวอย่างที่จะทำการทดสอบ เปลี่ยนมาป้อนก๊าซในไตรเจนเข้าสู่ mixing chamber โดยตรงจนกระทั่งมีปริมาณก๊าซในไตรเจนในถังเท่ากับ 17.5 ลิตร (จากการทดลองพบว่าเมื่อป้อนก๊าซในไตรเจนจนกระทั่งมีปริมาณเท่ากับ 17.5 ลิตรสามารถอ่านค่าความดันได้เท่ากับ 1.0 ลิตร) จากนั้นเปิดวาล์วที่เชื่อมต่อระหว่างถังทึ้งสองใบเพื่อปล่อยก๊าซผสมจากถังใบแรกสู่ถังใบที่สอง โดยความเข้มข้นของเมทานอล หรือ ไฮเดรติโลอีเทอร์ที่ได้ จะมีค่าเท่ากับ 500 ppm เรายังกำหนดให้ความเข้มข้นดังกล่าวนี้เป็นความเข้มข้น เริ่มต้นซึ่งเท่ากันในถังทึ้งสองใบ

กรณีที่มีการเปลี่ยนค่าความเข้มข้นไออกเรห์ที่ใช้ในการทดสอบเป็น 250 ppm และ 125 ppm ให้ปฏิบัติเช่นเดียวกันกับการเตรียมไออกเรห์ตัวอย่างความเข้มข้น 500 ppm แต่ป้อนก๊าซในไตรเจนจนกระทั่งภายในถังมีปริมาณเมทานอลและไฮเดรติโลอีเทอร์เท่ากับ 4.38 กรัม และ 2.19 กรัม ตามลำดับ



ภาพที่ 35 แผนผังแสดงอุปกรณ์การควบคุมก๊าซและการวัดค่าการนำไฟฟ้า



ภาพที่ 36 เครื่องมือควบคุมความเข้มข้นของไอระเหยตัวอย่างและวัดค่าการนำไฟฟ้า

3.4.9.3 การหา Linear ohmic regime

การตรวจสอบหา Linear ohmic regime นั้นเพื่อใช้หาค่าความต่างศักย์ที่เหมาะสมที่สามารถทำให้กระแสไฟฟ้าที่ไหลผ่านชิ้นงานนั้นเป็นไปตามกฎของโอล์ม โดยมีขั้นตอนดังนี้

ขั้นแรก ทำการวัดค่ากระแสไฟฟ้า(I) จากการเปลี่ยนแปลงค่าความต่างศักย์(V) ที่ให้เข้าไป จาก 0.1-5.0 V ในบรรยากาศของก๊าซในไตรเจน โดยในแต่ละค่า V ที่ใช้นั้นจะรอให้ค่า I ที่วัดได้มีค่าคงที่ก่อน (ประมาณ 10 นาที)

ขั้นที่สอง ทำการวัดค่ากระแสไฟฟ้า(I) จากการเปลี่ยนแปลงค่าความต่างศักย์(V) ที่ให้เข้าไป จาก 0.1-5.0 V ในบรรยากาศไอระเหยเมทานอล โดยในแต่ละค่า V ที่ใช้นั้นจะรอให้ค่า I ที่วัดได้คงที่ก่อน (ประมาณ 10 นาที)

ค่าความต่างศักย์ที่เหมาะสมนั้นจะเป็นค่าที่อยู่ในช่วงที่ทำให้ค่ากระแสไฟฟ้า และค่าความต่างศักย์มีความสัมพันธ์เป็นเส้นตรง

3.4.9.4 การทดสอบและคำนวณหาร้อยละความว่องไวต่อไอระเหยตัวอย่าง

ก่อนทำการวัดค่าการนำไฟฟ้าจริงนี้ จะต้องป้อนก๊าซในไตรเจนก่อนเป็นเวลา 10 นาที เพื่อให้ได้ค่ากระแสที่คงที่ค่านึง ค่ากระแสไฟฟ้าที่อ่านได้ในบรรยากาศของก๊าซในไตรเจนก่อนที่จะทำการผ่านไอระเหยของสารตัวอย่างนี้ คือ ค่า $I_{N2,before}$ ที่จะนำมาใช้ในการคำนวณหาค่าสภาพการนำไฟฟ้าภายใต้บรรยากาศก๊าซในไตรเจน ; $\sigma_{N2,before}$ สำหรับใช้คำนวณหาร้อยละความว่องไวของสารตัวอย่าง (% sensitivity) จากนั้นจึงป้อนไอระเหยของสารตัวอย่างเข้าไป ค่าความต่างศักย์ที่ใช้เท่ากันทุกครั้งคือ 0.5 V (ได้จากการหา linear ohmic regime) ค่าของกระแสไฟฟ้าที่อ่านได้ในบรรยากาศของไอระเหยของสารตัวอย่างนี้ คือ ค่า I_{gas} ที่จะนำมาใช้ในการคำนวณหาค่าสภาพการนำไฟฟ้าภายใต้บรรยากาศไอระเหยตัวอย่าง; σ_{gas} โดยที่ทั้งค่า I_{gas} และ $I_{N2,before}$ นี้จะได้จากการเฉลี่ยค่ากระแสไฟฟ้าที่อ่านได้ในช่วงที่ถึงจุดสมดุลแล้วในบรรยากาศของก๊าซในไตรเจนและไอระเหยของสารตัวอย่างตามลำดับ ค่าร้อยละความว่องไวของไอระเหยของสารตัวอย่าง (% sensitivity) นี้สามารถคำนวณได้จากสูตรดังสมการที่ 11

$$\%S = \frac{(\sigma_{gas} - \sigma_{N2,before})}{\sigma_{N2,before}} \times 100 \quad (11)$$

3.4.9.5 การหาเวลาที่ใช้ในการตอบสนองต่อไอระเหยและเวลาที่ใช้ในการคืนตัวกลับ

ในการทดลองนี้จะสร้างกราฟจากลงจุดความสัมพันธ์ระหว่างค่ากระแสไฟฟ้า (I) กับเวลา โดยที่จะทำการเฉลี่ยค่ากระแสไฟฟ้าที่อ่านได้ในช่วงที่ถึงจุดสมดุลแล้วในบรรยายกาศของก้าชในโตรเจนและไอระเหยของสารตัวอย่างนี้เป็นค่า I_{N_2} และ I_{gas} ตามลำดับ และจะได้ช่วงของการกระจายข้อมูลเป็นเส้น $\pm 2SD$ ใน การหาเวลาที่ใช้ในการตอบสนองนี้จะเริ่มตั้งแต่เส้นกราฟตัดกับเส้น $2SD$ ในบรรยายกาศของก้าชในโตรเจน ไปจนถึงจุดที่เส้นกราฟตัดกับเส้น $2 SD$ ในบรรยายกาศของก้าชในโตรเจนภายหลังจากการหยุดปล่อยก้าชในโตรเจนและเริ่มป้อนไอระเหยตัวอย่างเข้าไปแทน และในทำนองเดียวกันการหาเวลาที่ใช้ในการคืนตัวกลับนี้จะเริ่มตั้งแต่จุดที่เส้นกราฟตัดกับเส้น $2SD$ ในบรรยายกาศของไอระเหยของสารตัวอย่าง ไปจนถึงจุดที่เส้นกราฟตัดกับเส้น $2SD$ ในบรรยายกาศของไอระเหยในโตรเจนภายหลังจากการหยุดปล่อยไอระเหยของสารตัวอย่างและเริ่มปล่อยก้าชในโตรเจนเข้าไปแทน

บทที่ 4

ผลการทดลองและวิจารณ์ผลการทดลอง

4.1 การพิสูจน์เอกสารลักษณ์ด้วยเทคนิค FT-IR และ $^1\text{H-NMR}$

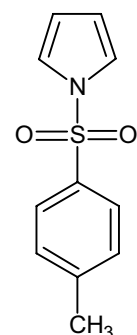
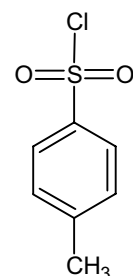
4.1.1 การพิสูจน์เอกสารลักษณ์พอลิเมอร์ตัวรองรับซึ่งเป็นอนุพันธ์พอลิไพร์โรล (3-PPy)

ในการสังเคราะห์พอลิเมอร์ตัวรองรับ คือ 3-PPy จากมอนอเมอร์ Pyrrole derivative (3-Py) และได้ทำการการพิสูจน์เอกสารลักษณ์ด้วยเทคนิค FT-IR และ $^1\text{H-NMR}$ ได้ผลการสังเคราะห์และพิสูจน์เอกสารลักษณ์ ดังนี้

4.1.1.1 การสังเคราะห์อนุพันธ์ไพร์โรลที่มีหมู่แทนที่ ณ ตำแหน่ง 3 (3-Py)

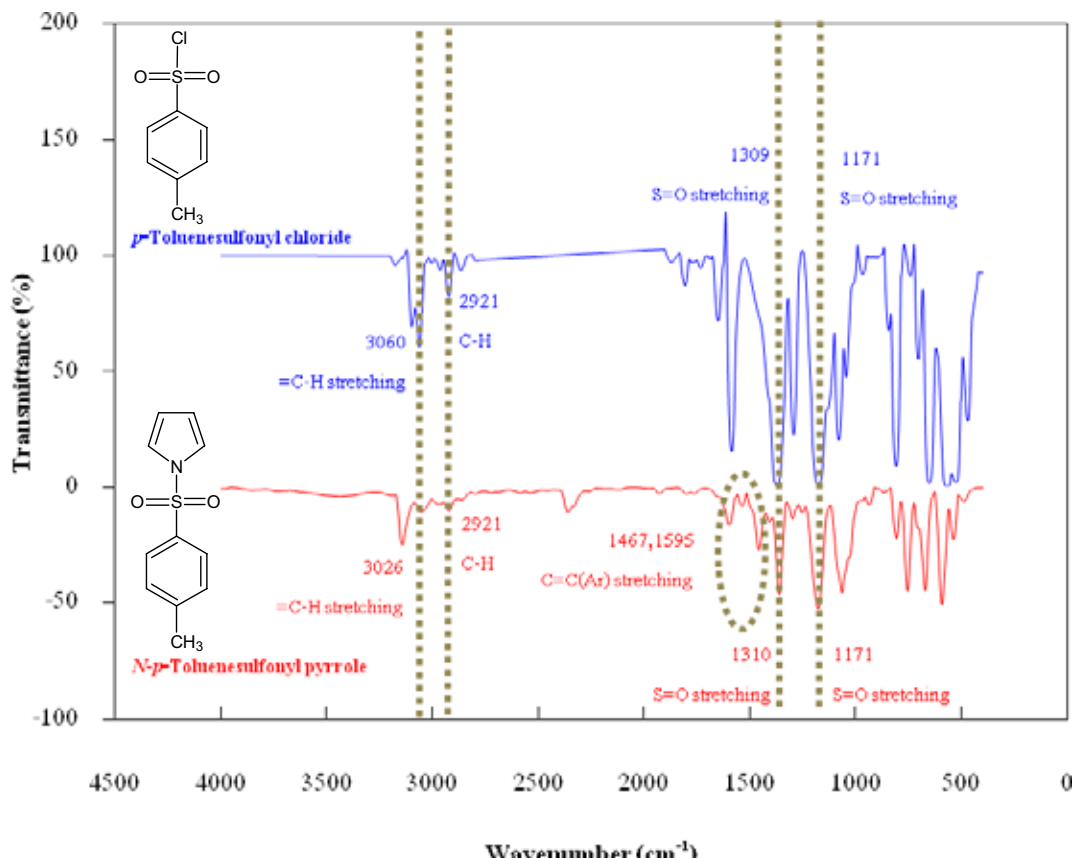
ขั้นที่ 1 การสังเคราะห์ *N-p-Toluenesulfonylpyrrole*

การทำปฏิกิริยาเพื่อติดหมู่ *p*-Toluenesulfonyl ที่ตำแหน่ง N (N-position) ของวงแหวนไพร์โรล โดยหมู่ *p*-Toluenesulfonyl นั้นจะไปทำหน้าที่เป็นตัว blocking ให้กับวงแหวนไพร์โรลโดยป้องกันไม่ให้เกิดปฏิกิริยาแทนที่ที่ตำแหน่ง 2 และ 5 ทั้งนี้เนื่องจากที่ตำแหน่ง N และ 2,5 บนวงแหวนไพร์โรลมีความว่องไวต่อการเกิดปฏิกิริยาแทนที่มาก หากไม่มีการทำติดหมู่ blocking เข้าไปจะมีผลให้หมู่ฟังก์ชันที่จะทำปฏิกิริยาในขั้นตอนต่อไปไม่เข้าแทนที่ตำแหน่งที่สามารถบันดาลวงแหวนไพร์โรล เนื่องจากที่ตำแหน่ง 3 สามารถบันดาลวงแหวนไพร์โรลได้มากกว่าตำแหน่ง N และ 2,5 ตามลำดับ



ภาพที่ 37 โครงสร้างทางเคมีของ (a)ไพร์โรล, (b) *p*-Toluenesulfonyl chloride และ (C) *N-p*-Toluenesulfonylpyrrole

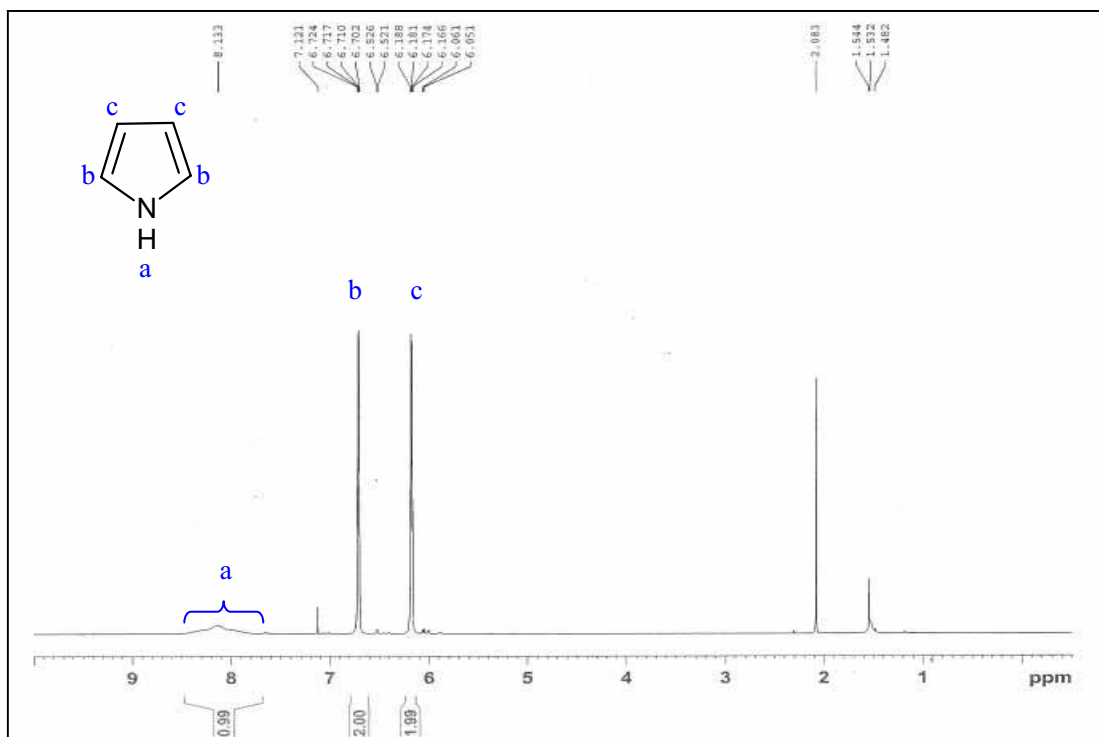
เมื่อมีการติดหมู่ blocking เข้าไปที่อะตอน N บนวงแหวนไพร์โรล โดยอาศัยปฏิกิริยาระหว่างไพร์โรลและ *p*-Toluenesulfonyl chloride โดยมีเปสทำหน้าที่เป็นตัวเร่งปฏิกิริยา สารผลิตภัณฑ์ (*N-p*-Toluenesulfonylpyrrole) ที่ได้มีลักษณะเป็นผลึกสีเข้มสีขาว น้ำหนักที่สังเคราะห์ได้เท่ากับ 66.70 g คิดเป็นผลผลิตร้อยละ (% yield) เท่ากับ 86.06 % โดยที่โครงสร้างของไพร์โรล *p*-Toluenesulfonyl chloride และ *N-p*-Toluenesulfonylpyrrole แสดงได้ดังภาพที่ 37



ภาพที่ 38 FT-IR Spectrum ของ *p*-Toluenesulfonyl chloride และ *N-p*-Toluenesulfonylpyrrole

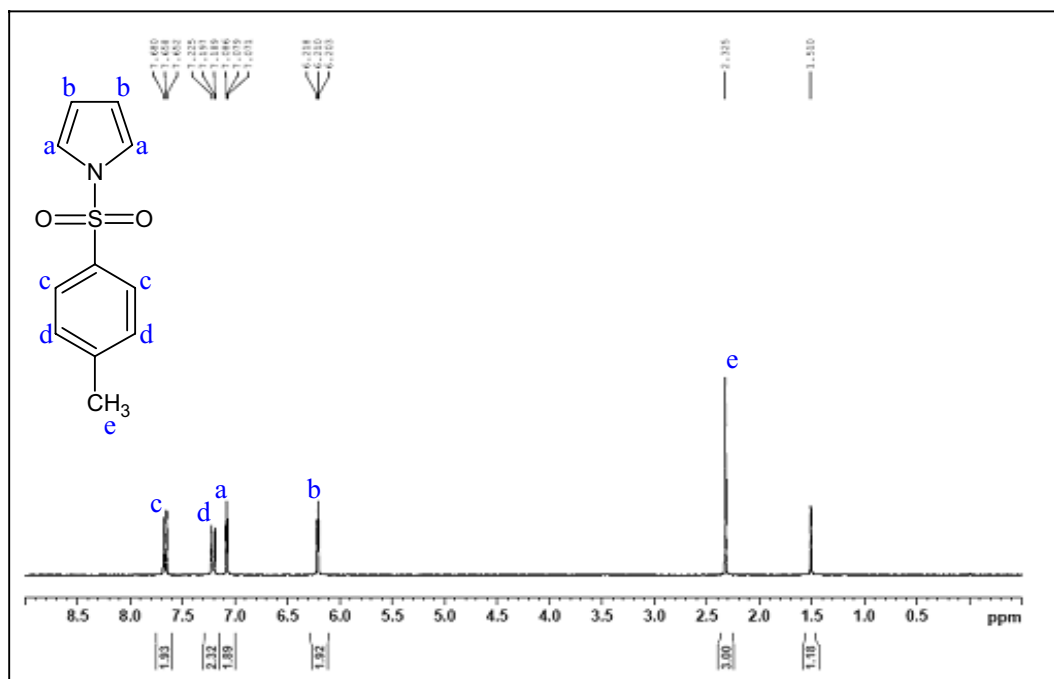
การทดสอบด้วยเทคนิค FT-IR ของ *p*-Toluenesulfonyl chloride และ *N-p*-Toluenesulfonylpyrrole นั้นจะไม่เห็นความแตกต่างระหว่าง spectra ของสารทั้งสอง โดยจะมีเส้นスペกตรัมการดึงยืดของ S=O ที่ตำแหน่ง 1309 และ 1171 cm⁻¹ [30,31] และความเป็นวงแหวนอะโรมาติก จะแสดงแบบนี้ที่สำคัญ 2 ตำแหน่ง จากการดึงยืดของ C=C(Ar) คือ ที่ประมาณ 1400 และ 1600 cm⁻¹ [30] ดังแสดงในภาพที่ 38

จากการทดสอบด้วยเทคนิค $^1\text{H-NMR}$ พบว่า ไพร์โรล มีลักษณะเฉพาะของโปรตอนที่ตำแหน่ง N (N-position) และแสดงลักษณะของแบบดักว่างที่ตำแหน่ง 8.0-8.2 ppm (ตำแหน่ง a ในภาพที่ 39) และ โปรตอนที่ติดอยู่กับคาร์บอนบนวงแหวนไพร์โรล ตำแหน่ง 2,5 และ 3,4 และแสดงสัญญาณเด่นชัดที่ตำแหน่งสัญญาณ 6.8 และ 6.2 ppm ตามลำดับ (ตำแหน่ง b และ c ในภาพที่ 39)



ภาพที่ 39 $^1\text{H-NMR}$ Spectrum ของ pyrrole ใน CDCl_3

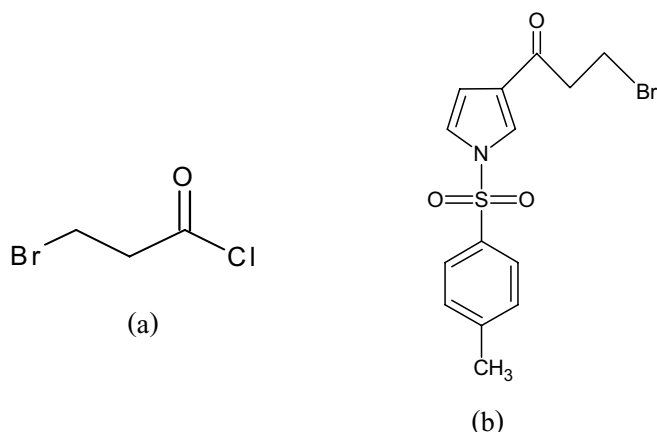
การทดสอบด้วยเทคนิค $^1\text{H-NMR}$ พบว่า *N-p-Toluenesulfonylpyrrole* มีลักษณะเฉพาะของวงแหวนไพร์โรลที่จะทำให้เกิดスペกตรัมขึ้นที่ตำแหน่งสัญญาณ 7.1-6.2 ppm เป็นสัญญาณของโปรตอนบนวงแหวนไพร์โรลที่ตำแหน่ง 2,5 และ 3,4 ตามลำดับ (ตำแหน่ง a และ b ในภาพที่ 40) และ โปรตอนที่ติดอยู่กับคาร์บอนบนวงแหวนบนวงแหวนเด่นชัดที่ตำแหน่งสัญญาณ 7.2 และ 7.7 ppm ตามลำดับ (ตำแหน่ง c และ d ในภาพที่ 40) และสัญญาณที่ตำแหน่ง 2.3 ppm เป็นสัญญาณโปรตอนหมู่ $-\text{CH}_3$ ที่เกาะอยู่ตำแหน่งพาราของวงแหวนซึ่ง



ภาพที่ 40 ¹H-NMR Spectrum ของ *N*-*p*-Toluenesulfonylpyrrole ใน CDCl₃

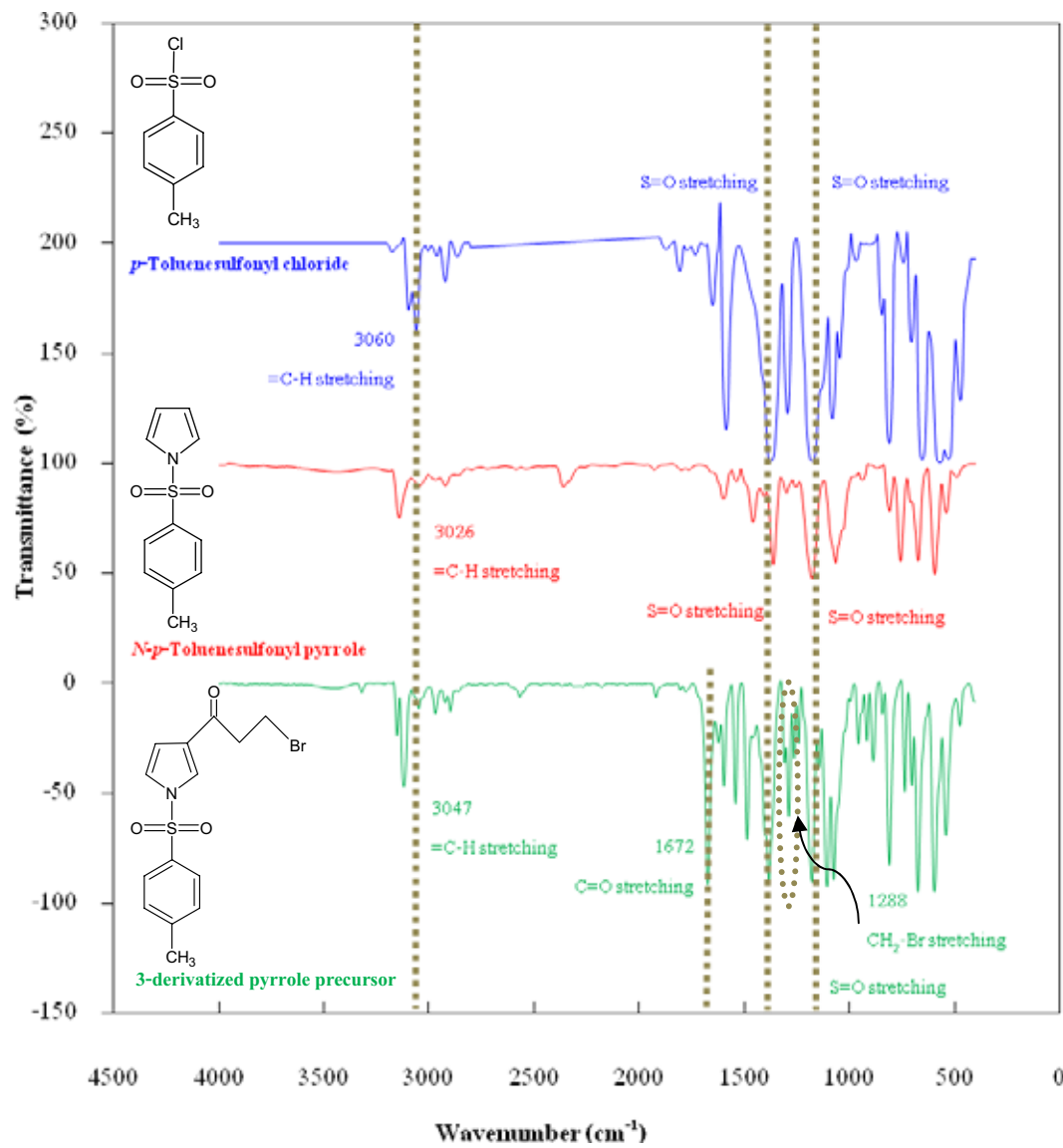
ขั้นที่ 2 การเตรียม *N*-*p*-Toluenesulfonyl-3-(3-bromopropionyl)pyrrole

จากปฏิกริยาระหว่าง *N*-*p*-Toluenesulfonylpyrrole และ 3-bromopropionyl chloride โดยมี anhydrous AlCl₃ ทำหน้าที่เป็นตัวเร่งปฏิกริยา สารผลิตภัณฑ์ (3-derivatized pyrrole precursor) ที่ได้มีลักษณะเป็นตะกอนสีน้ำตาลเข้ม น้ำหนักที่สังเคราะห์ได้เท่ากับ 15.44 g คิดเป็นผลผลิตร้อยละ (% yield) เท่ากับ 79.80 % โดยที่โครงสร้างของ 3-bromopropionyl chloride และ 3-derivatized pyrrole precursor แสดงได้ดังภาพที่ 41



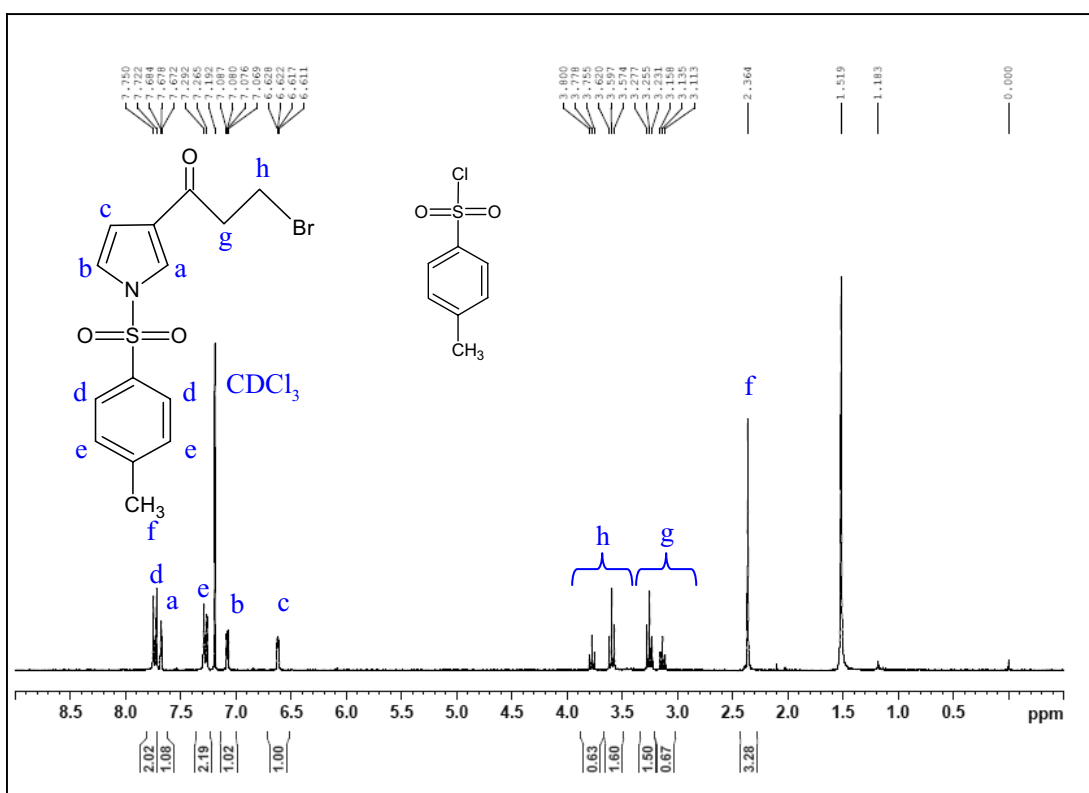
ภาพที่ 41 โครงสร้างทางเคมีของ (a) 3-bromopropionyl chloride และ(b) 3-derivatized pyrrole precursor

จากการทดสอบด้วยเทคนิค FT-IR ของ 3-derivatized pyrrole precursors นั้น จะมีเส้นสเปกตรัมเด่นชัดของ C=O ที่ 1672 cm^{-1} ของ CH₂-Br ที่ 1288 cm^{-1} และเส้นสเปกตรัม S=O ที่ตำแหน่ง 1309 และ 1171 cm^{-1} [30,31] ดังแสดงในภาพที่ 42



ภาพที่ 42 FT-IR Spectrum ของ *p*-Toluenesulfonyl chloride, *N*-*p*-Toluenesulfonylpyrrole และ 3-derivatized pyrrole precursor

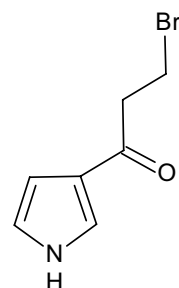
จากการทดสอบด้วยเทคนิค $^1\text{H-NMR}$ พบว่า 3-derivatized pyrrole precursor มีลักษณะเฉพาะของหมู่ $-\text{CH}_2\text{-CH}_2\text{-Br}$ ทำให้เกิดสเปกตรัมขึ้นที่ตำแหน่งสัญญาณ $3.0 - 3.8 \text{ ppm}$ (ตำแหน่ง h และ g ในภาพที่ 43) ซึ่งพบว่าจากลักษณะสัญญาณโปรดอนที่แสดงออกมาเป็น 4 ชุด ทั้งนี้สามารถอธิบายได้โดยเป็นผลจาก conformational effect เนื่องจากความเกะกะของหมู่เมტิลเบนซินซัลฟอเนตซึ่งทำหน้าที่เป็นตัว blocking ที่ติดอยู่กับอะตอมไนโตรเจนบนวงแหวนไพร์โรล ส่งผลให้ไม่เลกุล 3-derivatized pyrrole precursor แสดง conformation ได้ใน 2 ลักษณะ (ตำแหน่ง h และ g ในภาพที่ 43)



ภาพที่ 43 $^1\text{H-NMR}$ Spectrum ของ 3-derivatized pyrrole precursors ใน CDCl_3

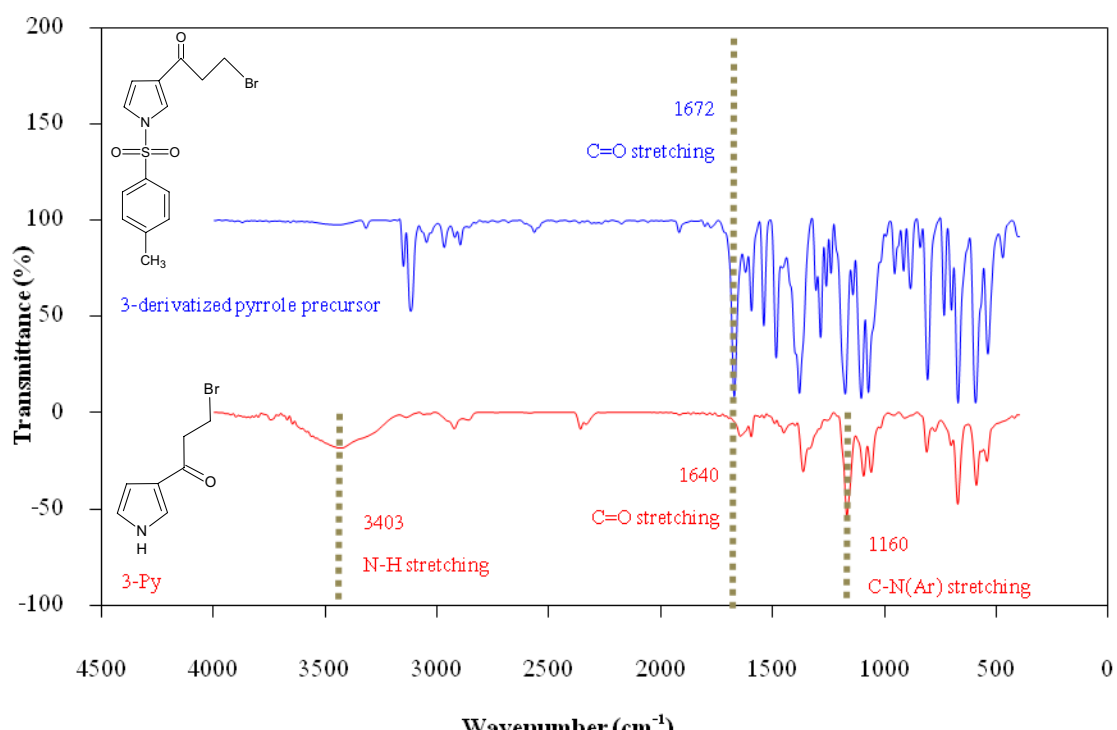
ขั้นที่ 3 การสังเคราะห์ 3-(3-bromopropionyl)pyrrole; 3-Py

การดึงหมู่ Blocking ออกจากไม่เลกุลไพร์โรลที่ผ่านการปรับปรุงหมู่ฟังก์ชันเข้าไปที่ตำแหน่งที่สามบนวงแหวนไพร์โรลแล้ว สารผลิตภัณฑ์ (3-Py) ที่ได้มีลักษณะเป็นของแข็งสีเหลืองอ่อน น้ำหนักสารที่สังเคราะห์ได้เท่ากับ 5.82 g คิดเป็นผลผลิตร้อยละ (% yield) เท่ากับ 92.03% โดยที่โครงสร้างของ 3-Py แสดงได้ดังภาพที่ 44



ภาพที่ 44 โครงสร้างทางเคมีของ 3-Py

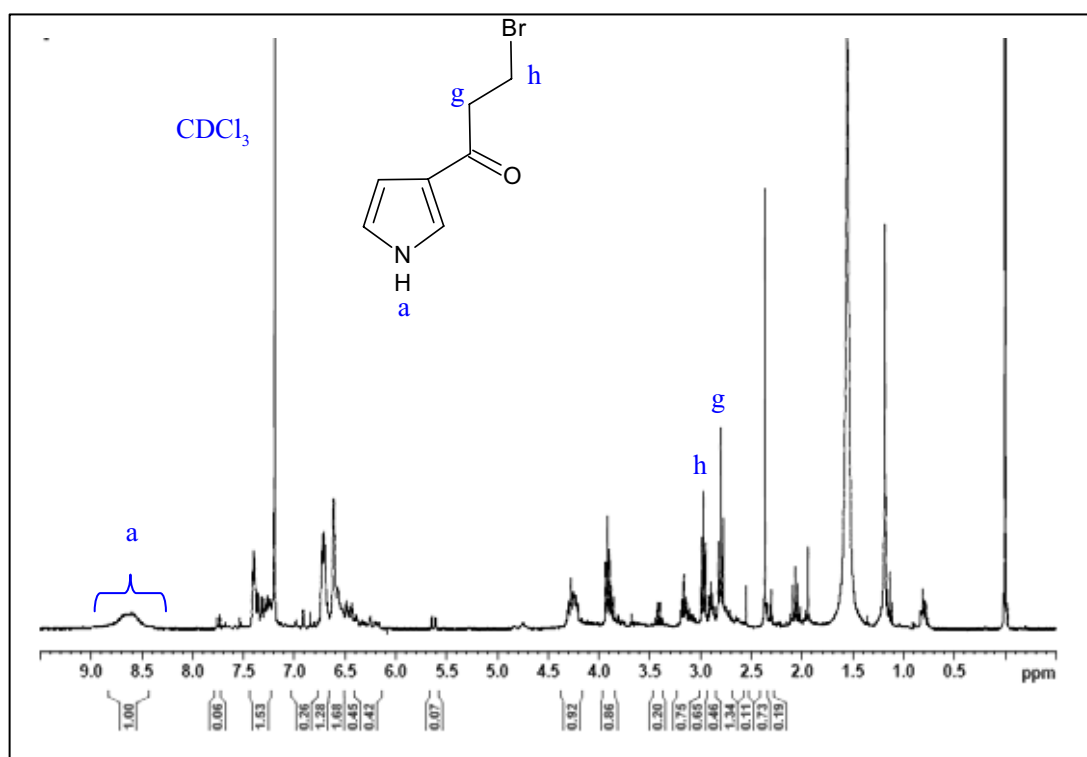
จากการทดสอบด้วยเทคนิค FT-IR ของ 3-Py นั้นมีการปรากฏแบบเดียวกับการดึงยึดของ N-H ที่ $3600\text{-}3300\text{ cm}^{-1}$ และ C=O ที่ 1640 cm^{-1} ดังแสดงในภาพที่ 45



ภาพที่ 45 FT-IR Spectrum ของ 3-derivatized pyrrole precursor และ 3-Py

ผลการทดสอบด้วยเทคนิค $^1\text{H-NMR}$ พบว่า 3-Py มีลักษณะเฉพาะของโปรตอนบนตำแหน่ง N (N-position) ซึ่งมีลักษณะเป็นแบบเดียวกับที่ช่วงตำแหน่งสัญญาณ 8.5-8.8 ppm (ตำแหน่ง a ในภาพที่ 46) เมื่อเทียบกับ $^1\text{H-NMR}$ ของไฟร์โรลอนอยเมอร์นั้นพบการเลื่อน

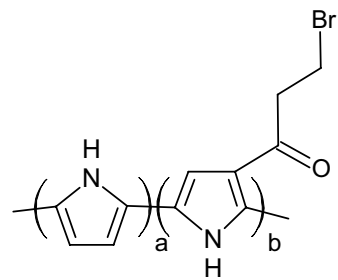
ตำแหน่งไปจากเดิมที่แสดงตำแหน่งสัญญาณ 8.0-8.2 ppm การเลื่อนตำแหน่งไปสามารถอธิบายได้จากผลของ deshielding effect จากความสามารถในการดึงอิเล็กตรอนของหมุนรอนิล ทำให้ความหนาแน่นอิเล็กตรอนรอบ ๆ นิวเคลียสลดลงจึงใช้ความเข้มของสนามแม่เหล็กที่ใช้ในการทำให้เกิด spin flipping ของโปรตอนลดลง เรียกปรากฏการณ์นี้ว่า deshielding effect



ภาพที่ 46 ¹H-NMR Spectrum ของ 3-Py ใน CDCl₃

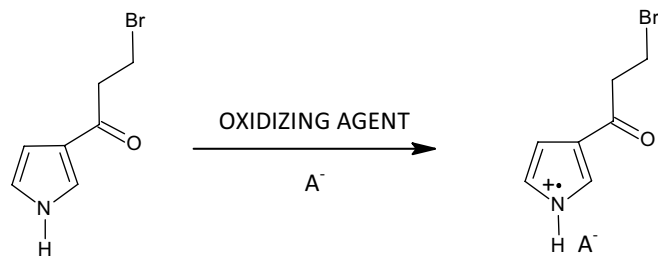
4.1.1.2 การเตรียมอนุพันธ์พอลีไพรอร์โอล; 3-(3-Bromopropionyl)polypyrrole หรือ 3-PPy

การเตรียม 3-PPy จากมอนومอร์ 3-Py ทำให้ได้สารผลิตภัณฑ์เป็นผงสีดำ ละเอียด น้ำหนักสารที่สังเคราะห์ได้เท่ากับ 0.1950 g คิดเป็นผลผลิตร้อยละ (% yield) เท่ากับ 97.48 % โดยที่โครงสร้างของพอลิเมอร์ 3-PPy เป็นดังภาพที่ 47 ปฏิกริยาการเกิดพอลิเมอไรเซชันของ 3-PPy แสดงได้ดังภาพที่ 48

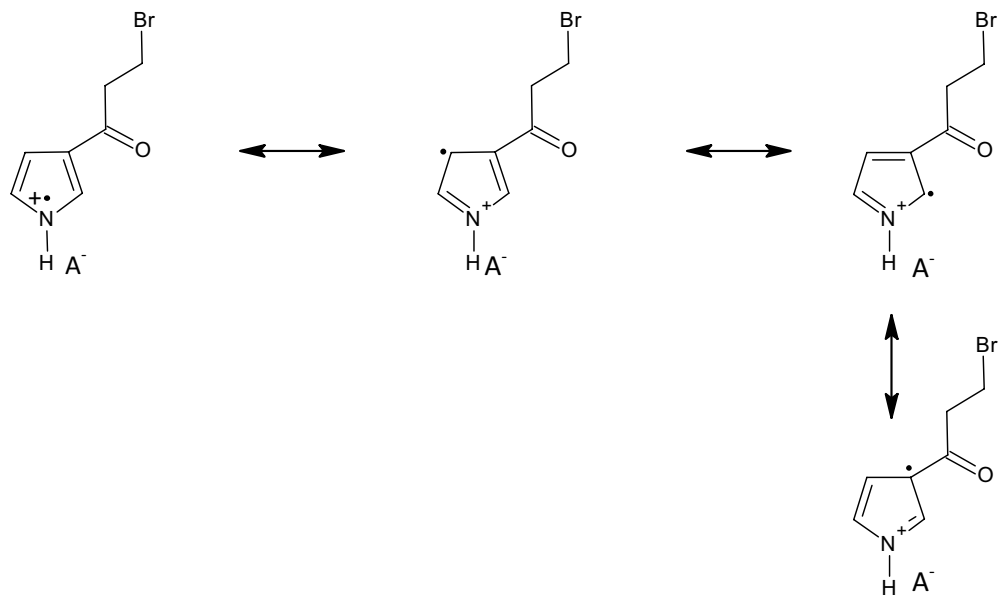


ภาพที่ 47 โครงสร้างทางเคมีของ 3-PPy

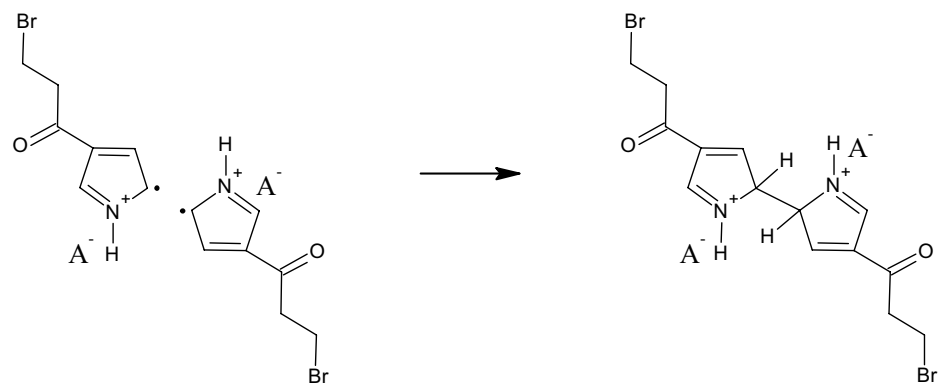
ขั้นที่ 1 : Monomer Oxidation



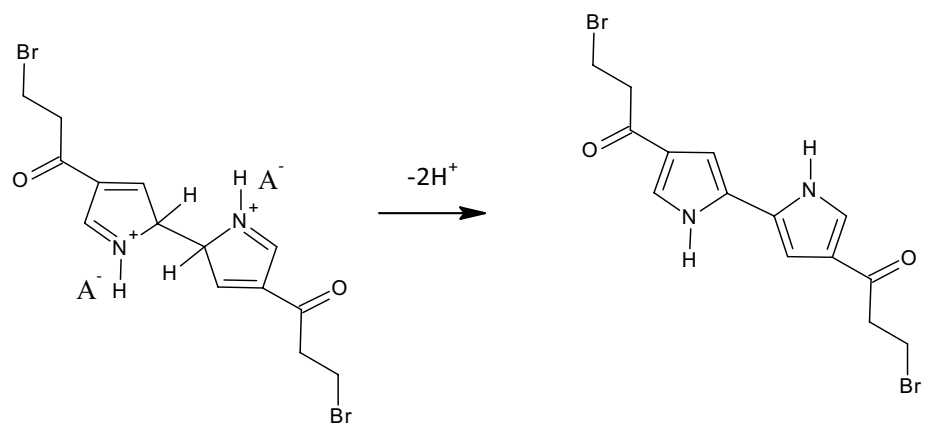
Resonance forms



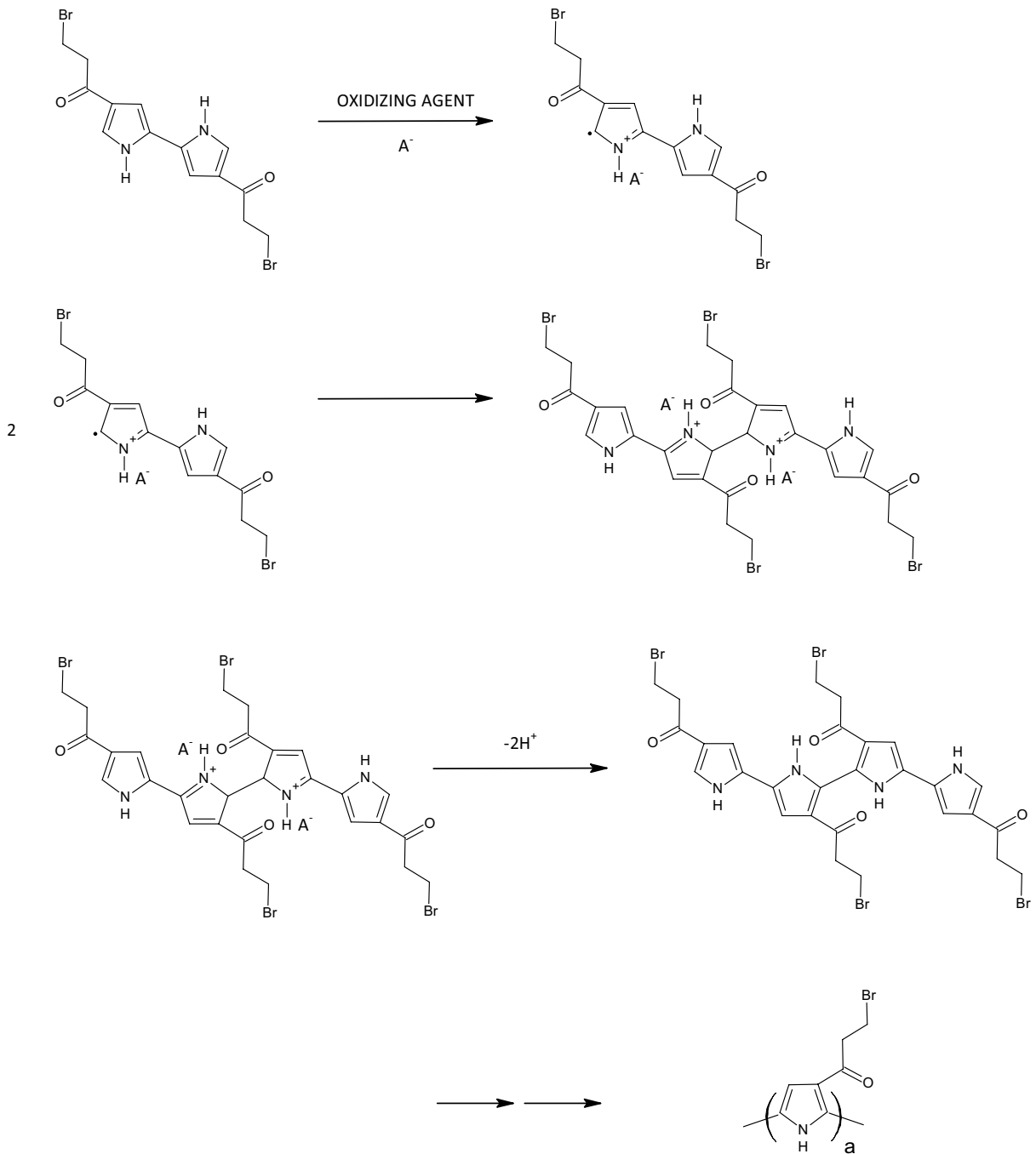
ขั้นที่ 2 : Radical-radical coupling



ขั้นที่ 3 : Re-aromatization

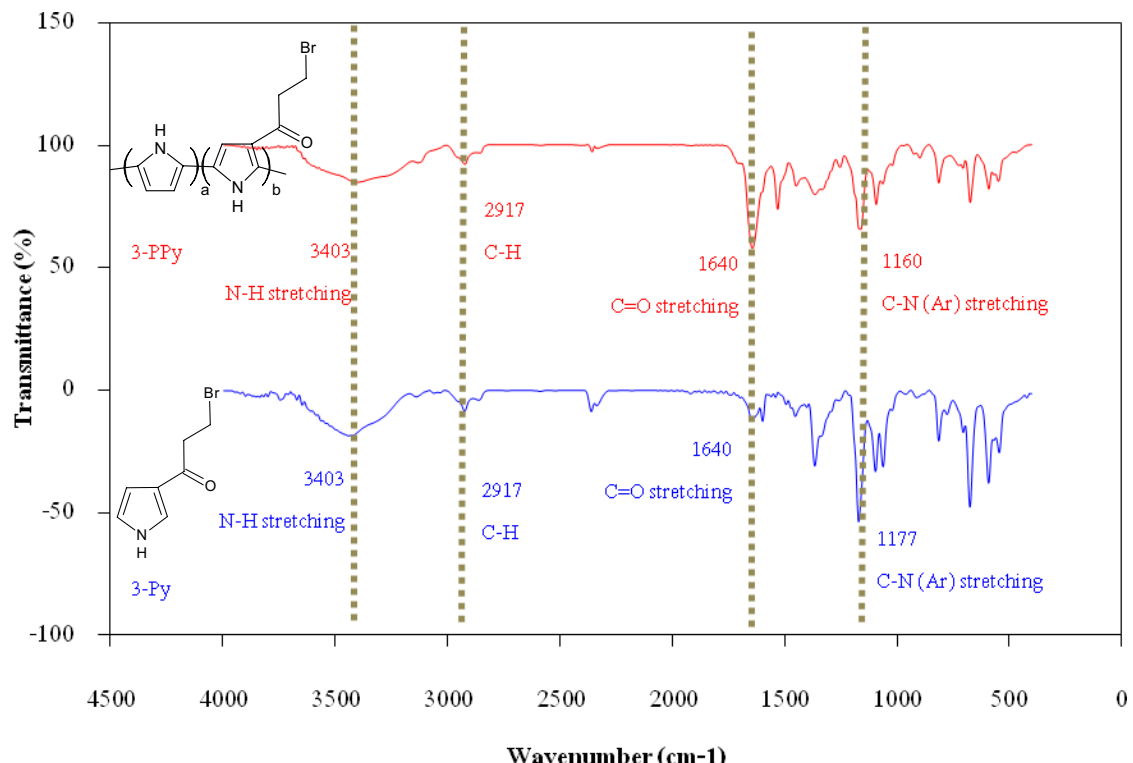


ขั้นที่ 4 : Chain propagation



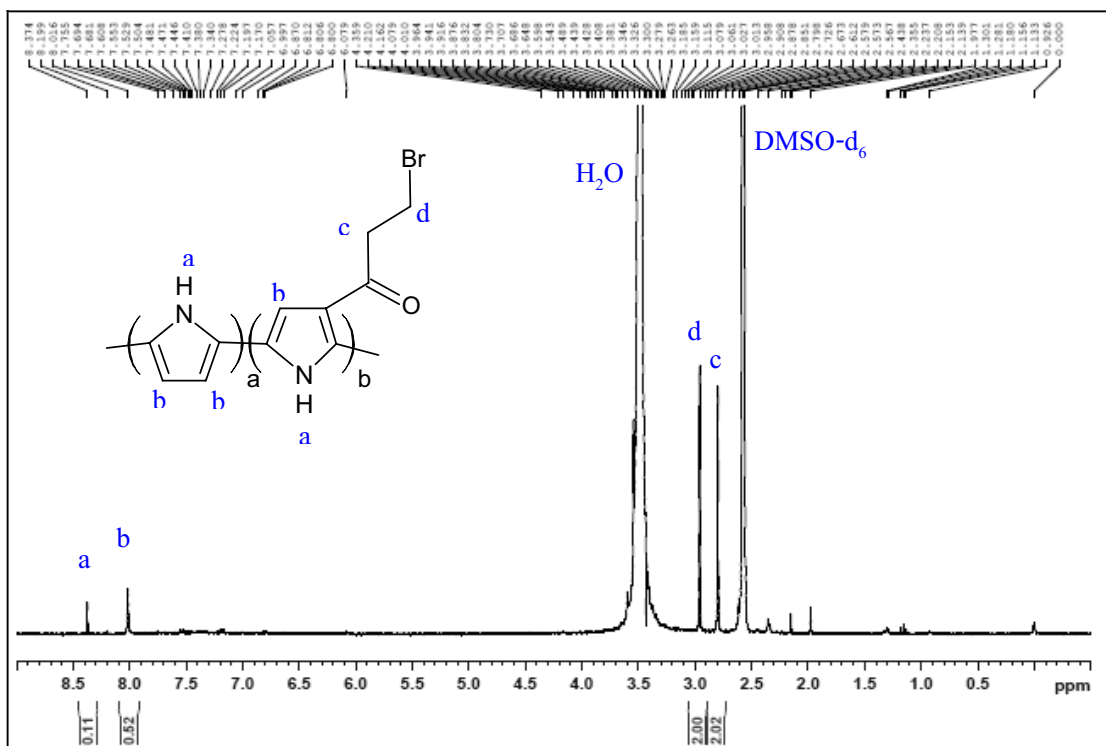
ภาพที่ 48 ปฏิกิริยาการเกิดพอลิเมอไรเชชันของ 3-PPy

จากการทดสอบด้วยเทคนิค FT-IR ของ 3-PPy นั้นมีลักษณะที่คล้ายกับ 3-Py ซึ่งมีการปรากฏแบบเดียวกันคือวิเคราะห์ดึงขีดของ N-H ที่ $3600\text{-}3300\text{ cm}^{-1}$ และจะมีเส้นสเปกตรัมเด่นชัดของ C=O ที่ 1640 cm^{-1} และ C-N ที่ 1160 cm^{-1} [30,31] ดังแสดงในภาพที่ 49



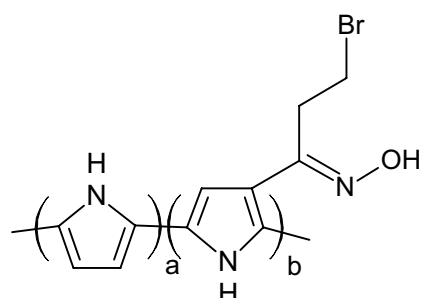
ภาพที่ 49 FT-IR Spectrum ของ 3-Py และ 3-PPy

จากการทดสอบด้วยเทคนิค $^1\text{H-NMR}$ ของ 3-PPy ปรากฏสัญญาณของโปรตอนบนตำแหน่ง N (N-position) ขึ้นที่ตำแหน่งสัญญาณ 8.4 ppm (ตำแหน่ง a ในภาพที่ 50) และโปรตอนที่ติดอยู่กับคาร์บอนบนวงไฟร์โรลที่เหลือจากการติดหมุนฟังก์ชันทำให้เห็นสเปกตรัมที่ตำแหน่งสัญญาณ 8.0 ppm (ตำแหน่ง b ในภาพที่ 50) สำหรับโปรตอนของหมู่ $-\text{CH}_2\text{-CH}_2\text{-Br}$ ปรากฏสัญญาณเด่นชัดที่ตำแหน่ง $2.8\text{-}3.0\text{ ppm}$ (ตำแหน่ง c และ d ในภาพที่ 50)

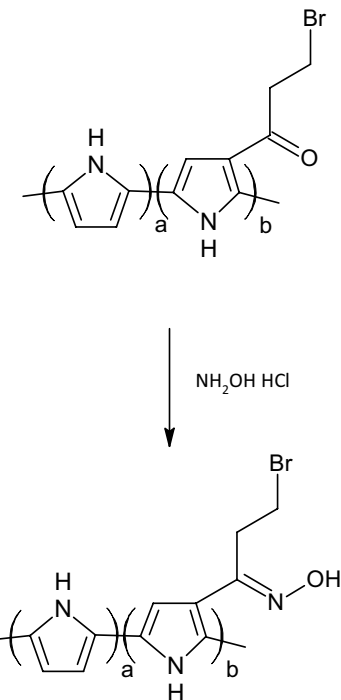


(3-PPy oxime)

การปรับปรุงหมู่ฟังก์ชันของ 3-PPy จากเดิมที่เป็นหมู่кар์บอนิล (C=O) ที่มีสมบัติเป็นหมู่ดึงอิเล็กตรอน เป็นหมู่ออกซิเม (C=N-OH) เพื่อให้พอลิเมอร์มีหมู่ฟังก์ชันเป็นหมู่ไนโตรฟิล์ม ได้พอลิเมอร์เป็นผงสีดำละเอียด น้ำหนักสารที่สังเคราะห์ได้เท่ากับ 1.0311 g คิดเป็นผลผลิตร้อยละ (% yield) เท่ากับ 95.89 % โดยที่โครงสร้างของพอลิเมอร์ 3-PPy oxime ดังภาพที่ 51 ปฏิกริยาการเกิดออกซิเมของ 3-PPy oxime และดังภาพที่ 52



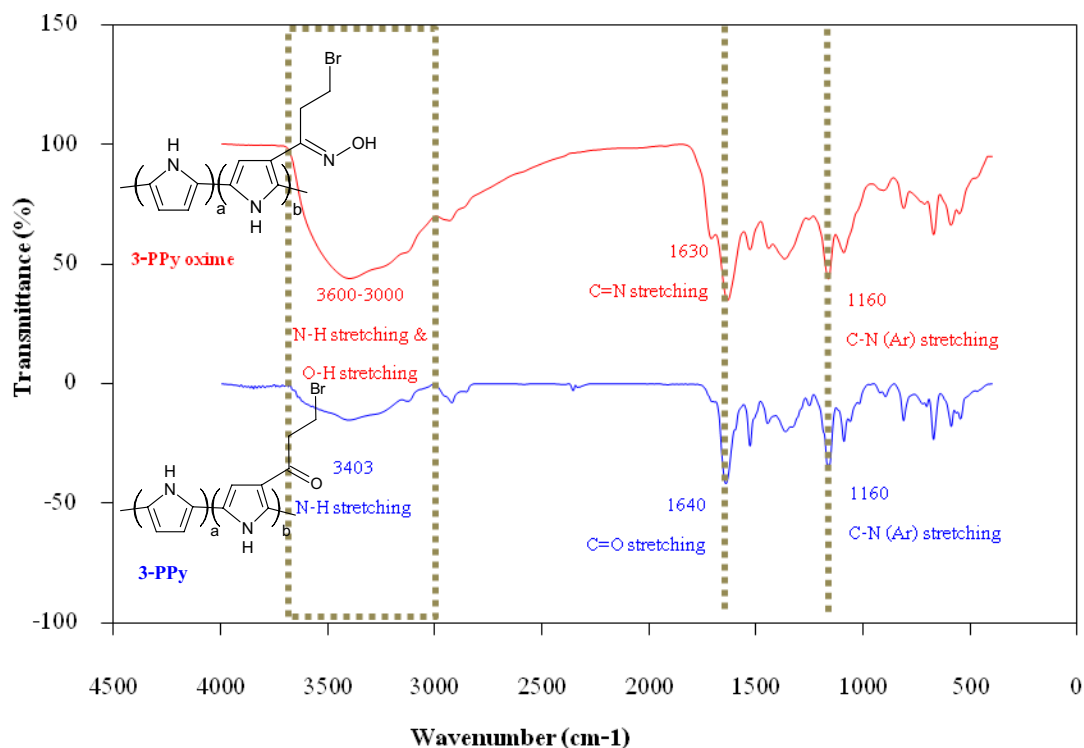
ภาพที่ 51 โครงสร้างทางเคมีของ 3-PPy oxime



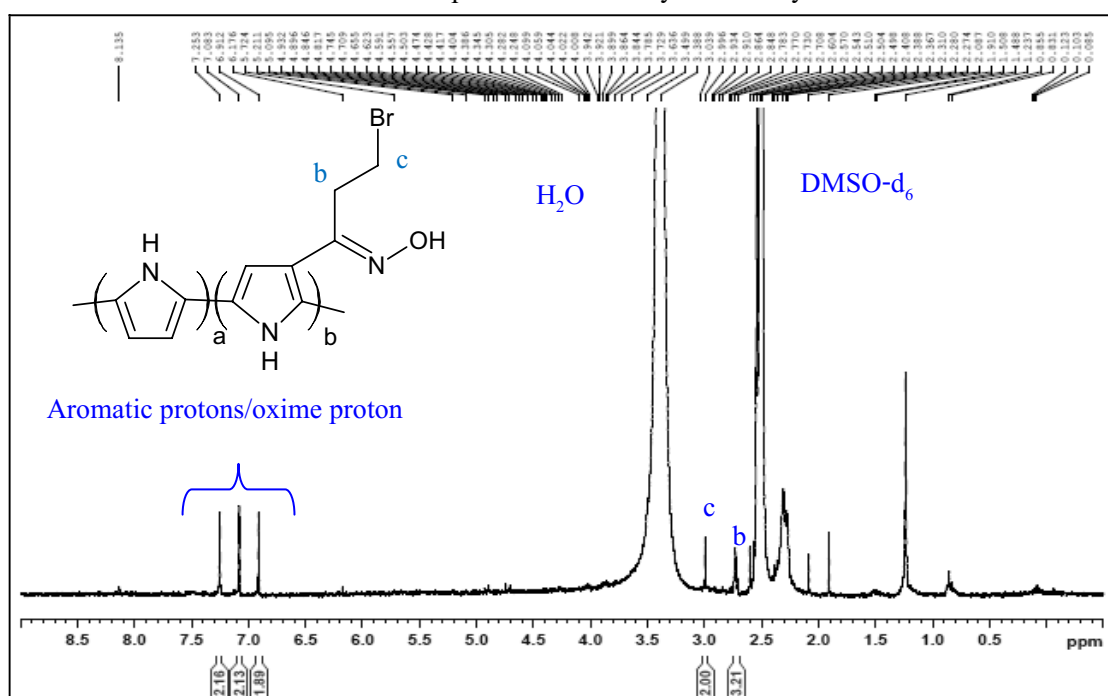
ภาพที่ 52 ปฏิกริยาการเกิดหมู่ออกซีมของ 3-PPy

จากการทดสอบด้วยเทคนิค FT-IR ของการสังเคราะห์ 3-PPy oxime นี้ จะมีแบบนิรภัยที่เด่นชัดของ --OH ซึ่งมีการซ่อนทับกันแบบนิรภัยของ N-H ที่ $3600\text{--}3000 \text{ cm}^{-1}$ [30,31] และการดึงยึดของ $\text{C}=\text{N}$ ที่ 1600 cm^{-1} [30] ดังแสดงในภาพที่ 53

จากการทดสอบด้วยเทคนิค $^1\text{H-NMR}$ พบว่า 3-PPy oxime มีลักษณะเฉพาะของวงแหวนอะโรมาติกที่จะทำให้เกิดスペกตรัมขึ้นที่ตำแหน่งสัญญาณ $6.9\text{--}7.3 \text{ ppm}$ (ตำแหน่ง a ในภาพที่ 54) เมื่อเทียบกับ $^1\text{H-NMR}$ ของ 3-PPy พบว่ามีการเลื่อนตำแหน่งเส้นスペกตรัมมาในตำแหน่งที่สูงขึ้น เนื่องจากหมู่ออกซีมมีความสามารถในการดึงดูดอิเล็กตรอนได้มากกว่าหมู่кар์บอนิล ทำให้ความหนาแน่นของอิเล็กตรอนรอบนิวเคลียสเพิ่มมากขึ้น จึงต้องใช้ความเข้มของสนามแม่เหล็กในการทำให้เกิด spin flipping ของโปรตอนเพิ่มสูงขึ้น เรียกปรากฏการณ์นี้ว่า shielding effect และโปรตอนของหมู่ $-\text{CH}_2\text{-CH}_2\text{-Br}$ ปรากฏสัญญาณเด่นชัดที่ตำแหน่ง $2.8\text{--}3.0 \text{ ppm}$ (ตำแหน่ง b และ c ในภาพที่ 54)



ภาพที่ 53 FT-IR Spectrum ของ 3-PPy และ 3-PPy oxime



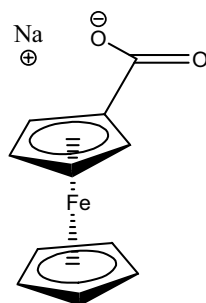
ภาพที่ 54 ¹H-NMR Spectrum ของ 3-PPy oxime ใน DMSO-d₆

4.1.3 การพิสูจน์เอกลักษณ์พอลิเมอร์ตัวองรับที่ผ่านการทำเอสเตอร์ริฟิเกชันด้วยเกลือโซเดียมเฟอร์โรซีนคาร์บอนกัมมิเลตด้วยเทคนิค FT-IR และ $^1\text{H-NMR}$

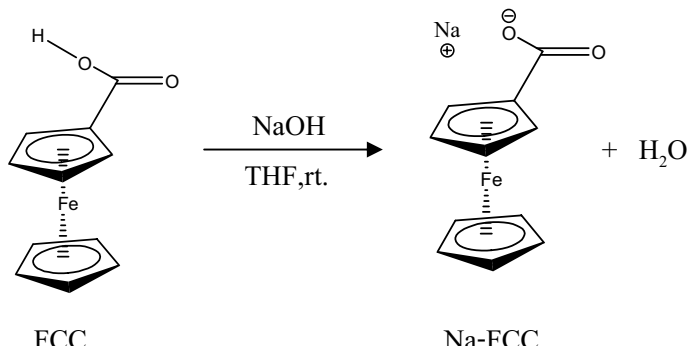
ในการทำเอสเตอร์ริฟิเกชันของพอลิเมอร์ตัวองรับด้วยเกลือโซเดียมเฟอร์โรซีนคาร์บอนกัมมิเลตนั้น จากการพิสูจน์เอกลักษณ์ด้วยเทคนิค FT-IR และ $^1\text{H-NMR}$ ได้ผลการวิเคราะห์ดังนี้

4.1.3.1 การพิสูจน์เอกลักษณ์เกลือโซเดียมเฟอร์โรซีนคาร์บอนกัมมิเลต (Na-FCC) ด้วยเทคนิค FT-IR

Na-FCC ที่สังเคราะห์ได้จาก FCC กับ NaOH จะมีลักษณะเป็นผงละเอียดสีเหลืองทอง มีน้ำหนัก 14.35 g คิดเป็นผลผลิตร้อยละ (%yield) เท่ากับ 95.32 % และมีโครงสร้างดังแสดงในภาพที่ 55 และปฏิกิริยาการเกิด Na-FCC จาก FCC กับ NaOH นั้น แสดงได้ดังภาพที่ 56

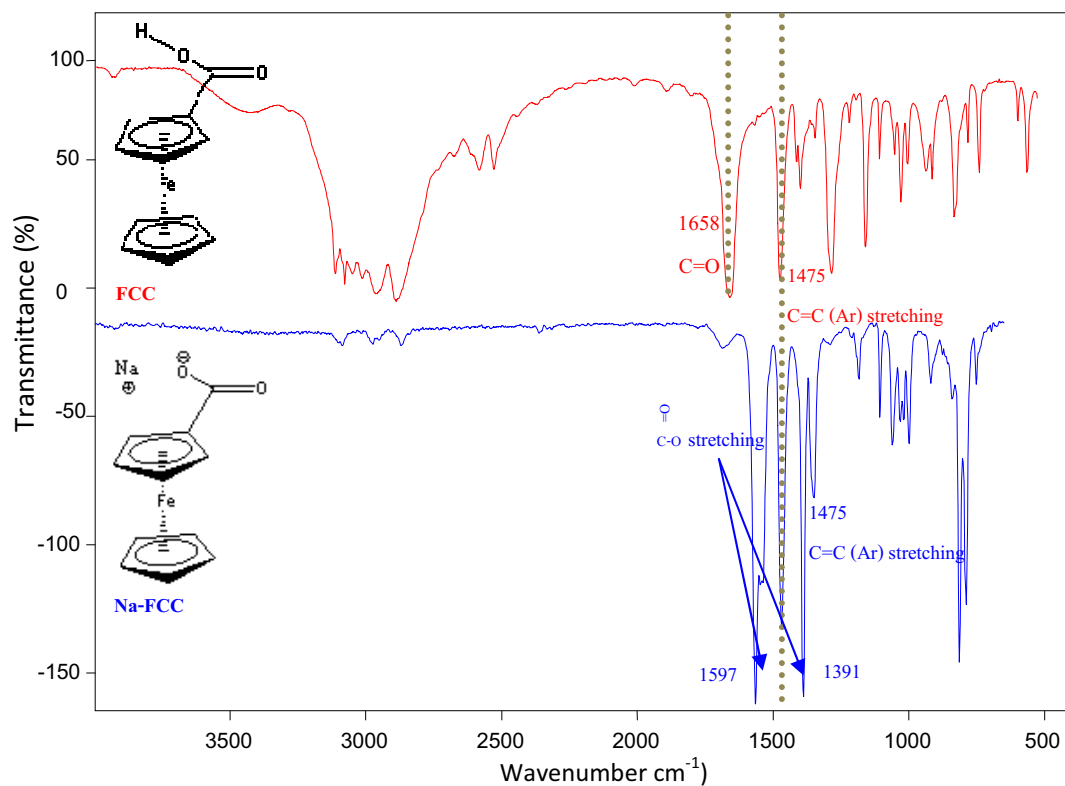


ภาพที่ 55 โครงสร้างทางเคมีของเกลือโซเดียมเฟอร์โรซีนคาร์บอนกัมมิเลต (Na-FCC)



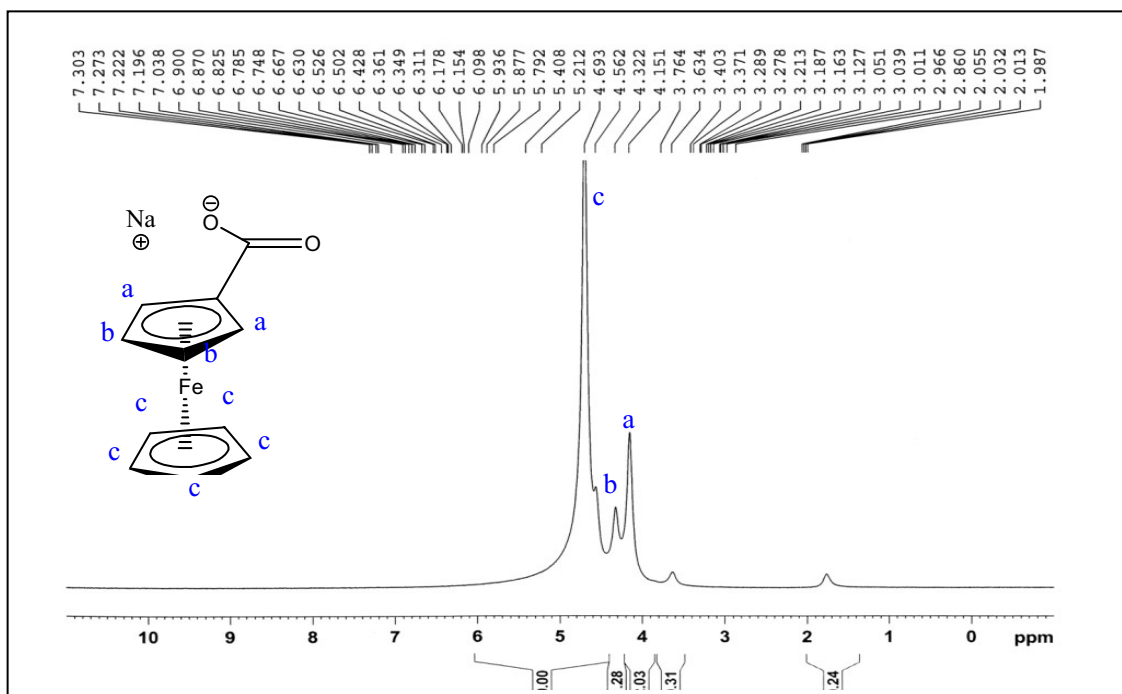
ภาพที่ 56 ปฏิกิริยาการเตรียมเกลือโซเดียมเฟอร์โรซีนคาร์บอนกัมมิเลต

จากการทดสอบด้วยเทคนิค FT-IR พบร่วมกันว่า เกลือโซเดียมเฟอร์โรซีนคาร์บอไซเลต (Na-FCC) จะประกอบด้วยการดึงขึ้นชี้ด้วย C=O 2 ตำแหน่ง คือ แบบอสมมาตร (asymmetric stretching) ที่ตำแหน่งใกล้ 1600 cm^{-1} และแบบสมมาตร (symmetric stretching) อยู่ที่ตำแหน่งใกล้ 1400 cm^{-1} ซึ่งถ้าเป็นกรดอิสระจะประกอบด้วยของแบบที่สูงกว่านี้ [29] จากการวิเคราะห์เกลือที่สังเคราะห์ได้พบแบบดังกล่าวที่ 1597 และ 1391 cm^{-1} และแบบของ C=C(Ar) ที่ 1472 cm^{-1} จะเห็นได้ว่าเกิดการเลื่อนตำแหน่งของหมู่ C=O ของกรด FCC ไปเป็น C=O ของเกลือ Na-FCC อย่างชัดเจน ดังแสดงในภาพที่ 57



ภาพที่ 57 FT-IR Spectrum ของ FCC (สังเคราะห์) และ Na-FCC

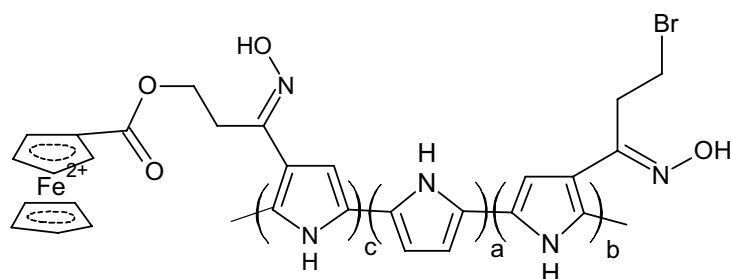
จากการทดสอบด้วยเทคนิค $^1\text{H-NMR}$ พบร่วมกันว่า Na-FCC ที่สังเคราะห์ได้จะประกอบด้วยปรอทอนบวนวงแหวนอะโรมาติกห้าเหลี่ยมในช่วง 4-5 ppm ดังแสดงในภาพที่ 58



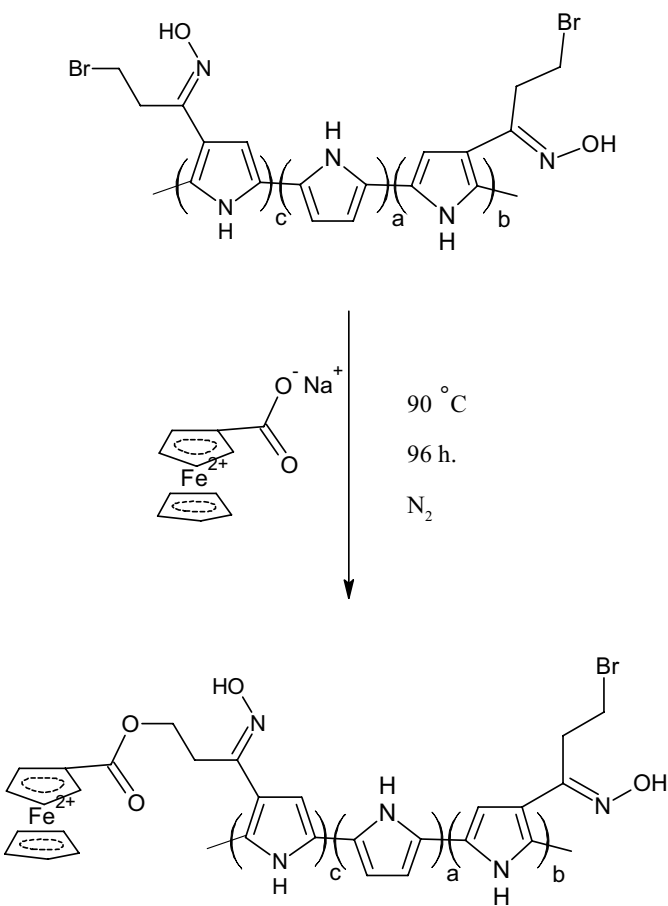
ภาพที่ 58 ^1H -NMR Spectrum ของ Na-FCC ใน CDCl_3

4.1.3.2 การทำเอสเตอร์ริฟิเกชันของ 3-PPy oxime

ในการสังเคราะห์ 3-PPy oxime FCC ซึ่งมีโครงสร้างแสดงดังภาพที่ 59 จากการทำเอสเตอร์ริฟิเกชันของ 3-PPy oxime ด้วย Na-FCC ภายใต้บรรยายกาศของไนโตรเจนทำให้ได้เพอร์โตรเซนคาร์บอนออกซิเลตพอลิเมอร์ที่เป็นผงสีดำแกมน้ำตาล น้ำหนักสารที่สังเคราะห์ได้เท่ากับ 0.6954 g คิดเป็นผลผลิตร้อยละ (% yield) เท่ากับ 95.47 % โดยที่ปฏิกริยาการทำเอสเตอร์ริฟิเกชันดังกล่าว สามารถแสดงได้ดังภาพที่ 60



ภาพที่ 59 โครงสร้างทางเคมีของ 3-PPy oxime FCC

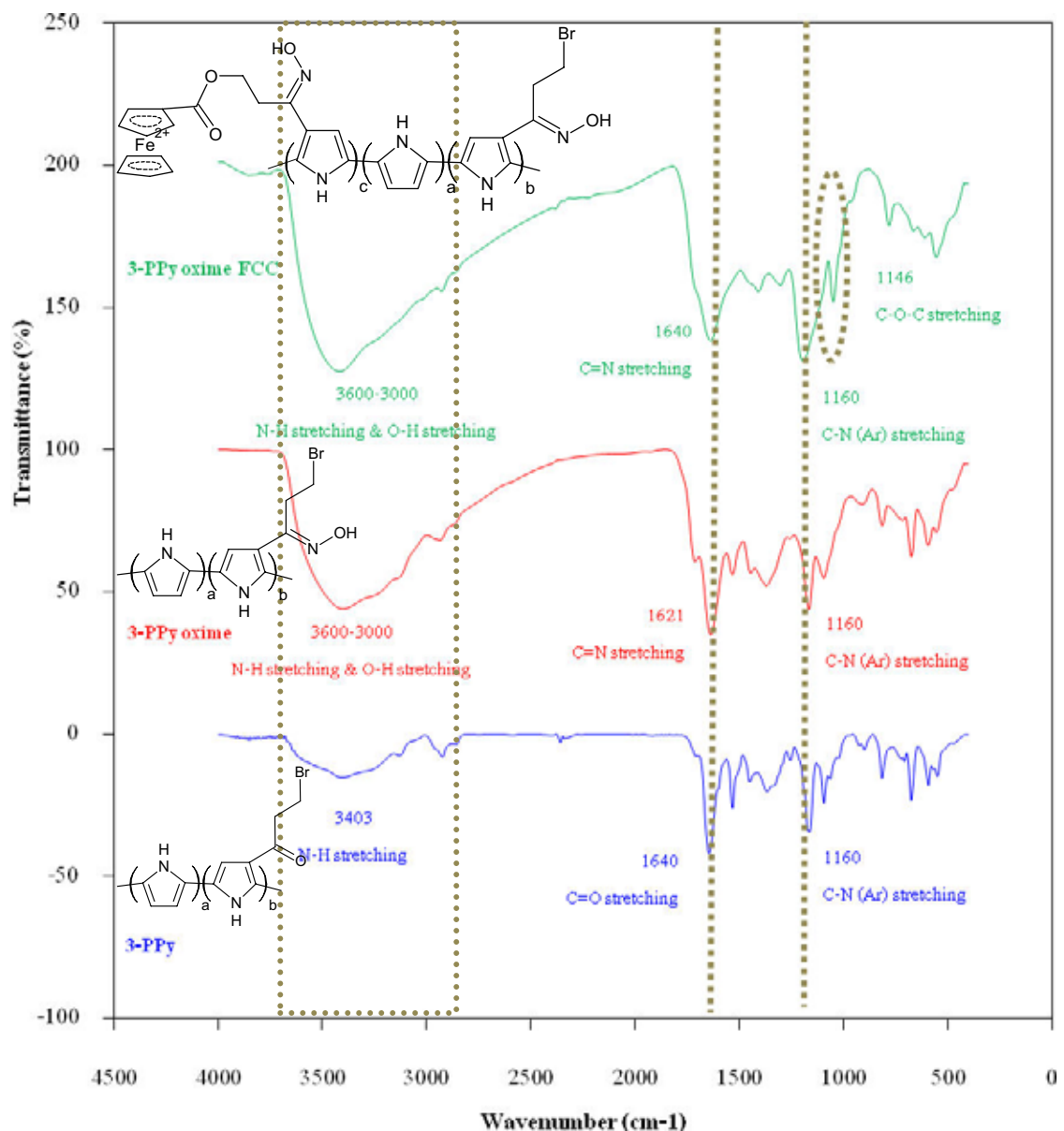


ภาพที่ 60 ปฏิกิริยาเอสเทอร์ิฟิเคชันของ 3-PPy oxime FCC ด้วยเกลือโซเดียมเฟอร์โรซีน
การ์บอคซิเลต

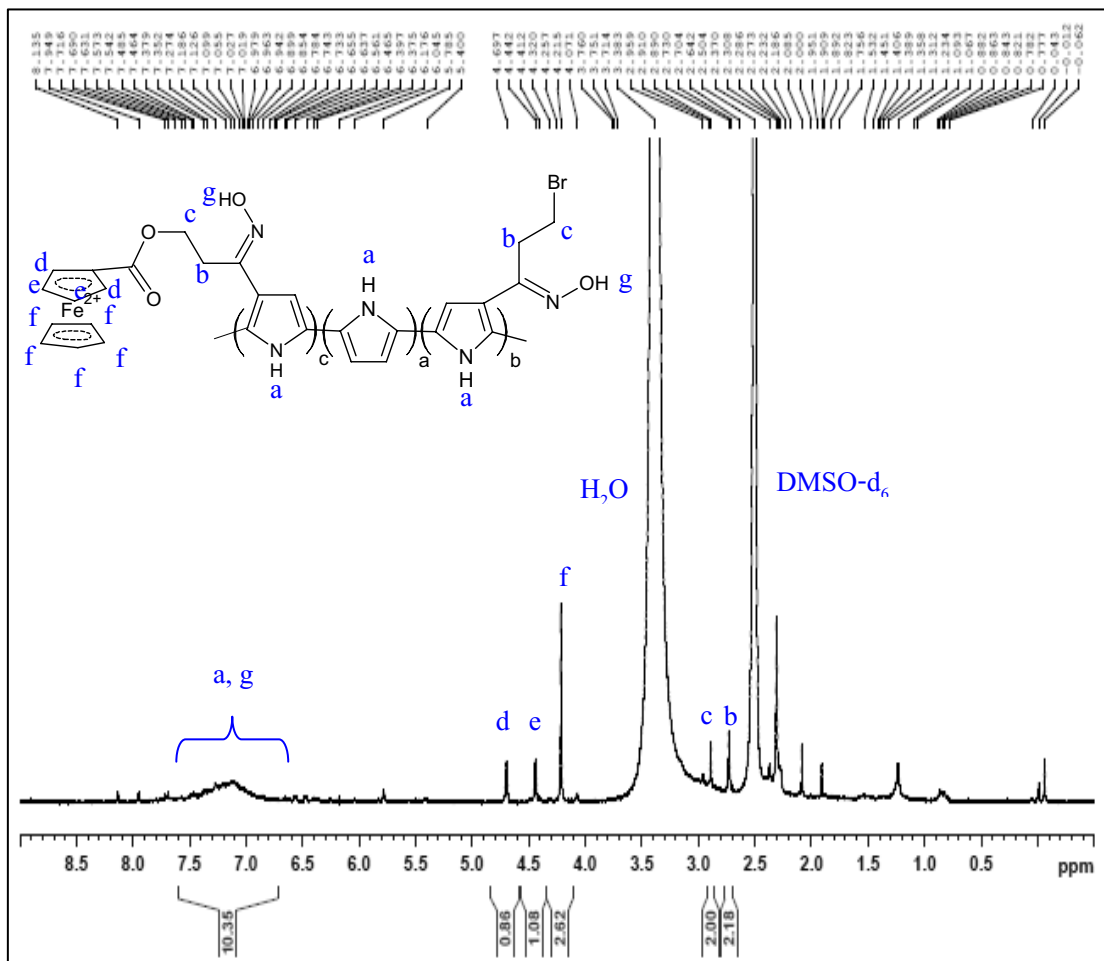
จากการทดสอบด้วยเทคนิค FT-IR พบว่า 3-PPy oxime FCC ที่สังเคราะห์ได้มีลักษณะเฉพาะที่แตกต่างจาก 3-PPy oxime เดิม คือมีスペกตรัมของ C-O-C ที่เกิดขึ้นจากการทำเอสเทอริฟิเคชัน ที่ 1146 cm^{-1} ซึ่งเห็นได้อย่างชัดเจน และพบว่าベンด์ที่ตำแหน่งประมาณ 1600 cm^{-1} แสดงถึงการคงยึดของ C=N ของ 3-PPy oxime ดังแสดงในภาพที่ 61

จากการทดสอบด้วยเทคนิค $^1\text{H-NMR}$ พบว่า 3-PPy oxime FCC ที่สังเคราะห์ได้นี้จะปรากฏスペกตรัมของ FCC เพิ่มขึ้นมาที่ตำแหน่งสัญญาณในช่วง 4.2-4.7 ppm 3 ベンด์ ซึ่งเป็นลักษณะเฉพาะของ FCC (ตำแหน่ง d, e และ f ในภาพที่ 62) และพบベンด์กริ๊งของโปรตอนที่ตำแหน่ง N (N-position) และโปรตอนในวงแหวนไพร์โรลในช่วง 7.0-7.5 ppm

(ตำแหน่ง a และ g ในภาพที่ 62) และหน่วย $\text{CH}_2\text{-CH}_2\text{-Br}$ ที่ตำแหน่ง 2.7 และ 2.9 ppm (ตำแหน่ง b และ c ในภาพที่ 62)

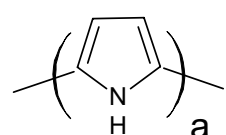


ภาพที่ 61 FT-IR Spectrum ของ 3-PPy, 3-PPy oxime และ 3-PPy oxime FCC



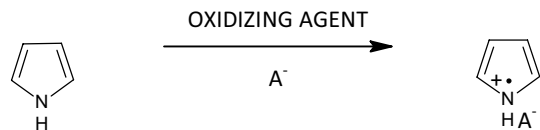
ภาพที่ 62 ^1H -NMR Spectrum ของ 3-PPy oxime FCC ใน DMSO-d_6

4.1.4 การพิสูจน์ออกลักษณ์พอลิไพร์โรลด้วยเทคนิค FT-IR และ ^1H -NMR
พอลิไพร์โรลที่เตรียมได้เป็นตะกอนสีดำ นำหนักสารที่สังเคราะห์ได้เท่ากับ 0.8991 g คิดเป็นผลผลิตร้อยละ (% yield) เท่ากับ 98.66 % โครงสร้างของพอลิไพร์โรลแสดงดังภาพที่ 63 และ ปฏิกิริยาพอลิเมอร์ไตรเชิ่นของพอลิไพร์โรลแสดงได้ดังภาพที่ 64

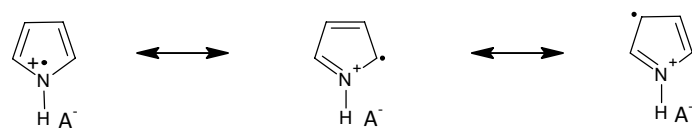


ภาพที่ 63 โครงสร้างพอลิไพร์โรล

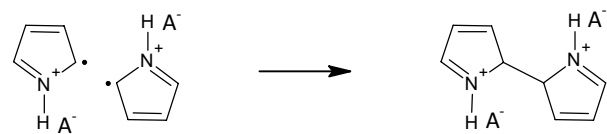
ឧបន័យ 1 : Monomer Oxidation



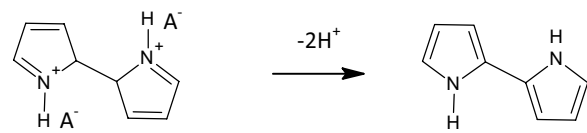
Resonance forms



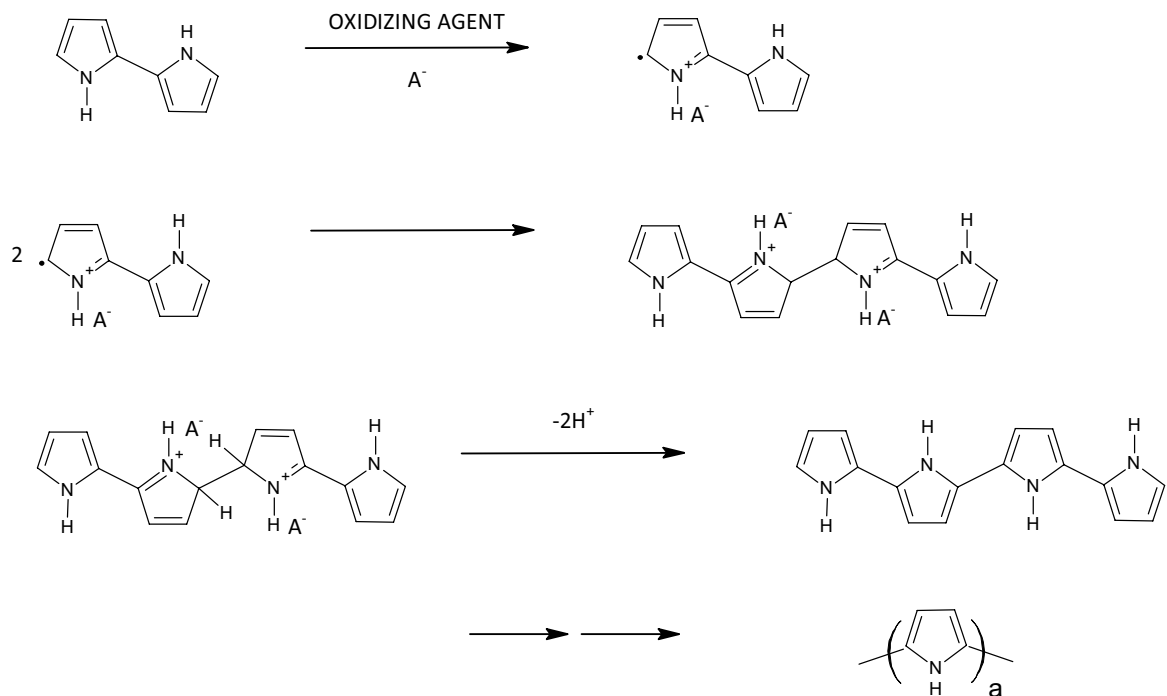
ឧបន័យ 2 : Radical-radical coupling



ឧបន័យ 3: Re-aromatization



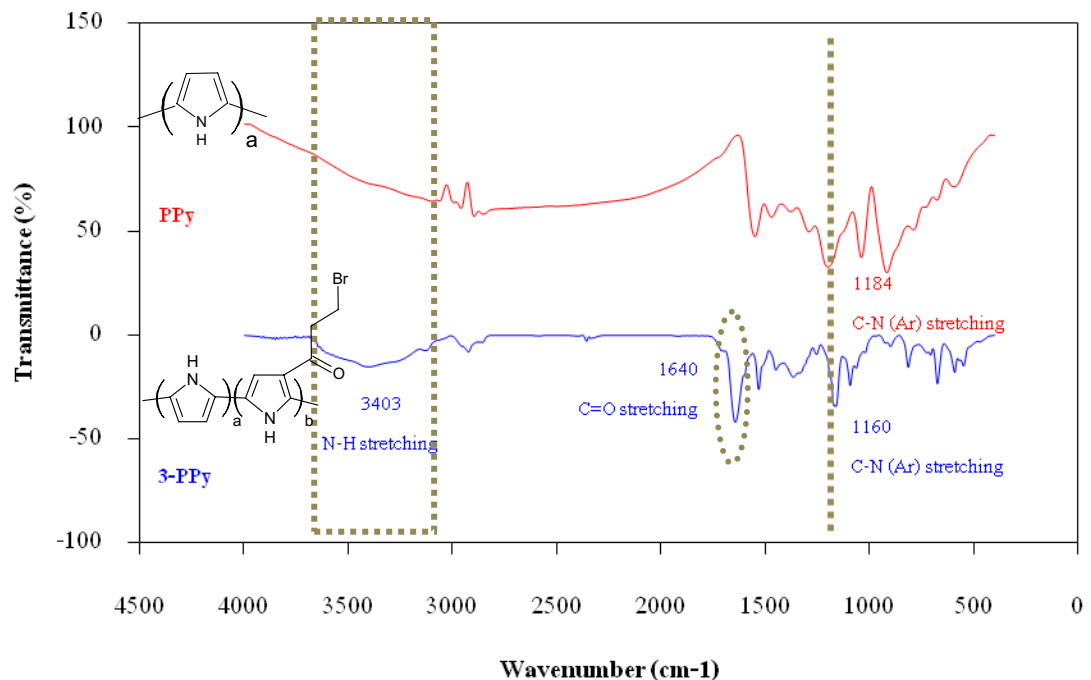
ขั้นที่ 4 : Chain propagation



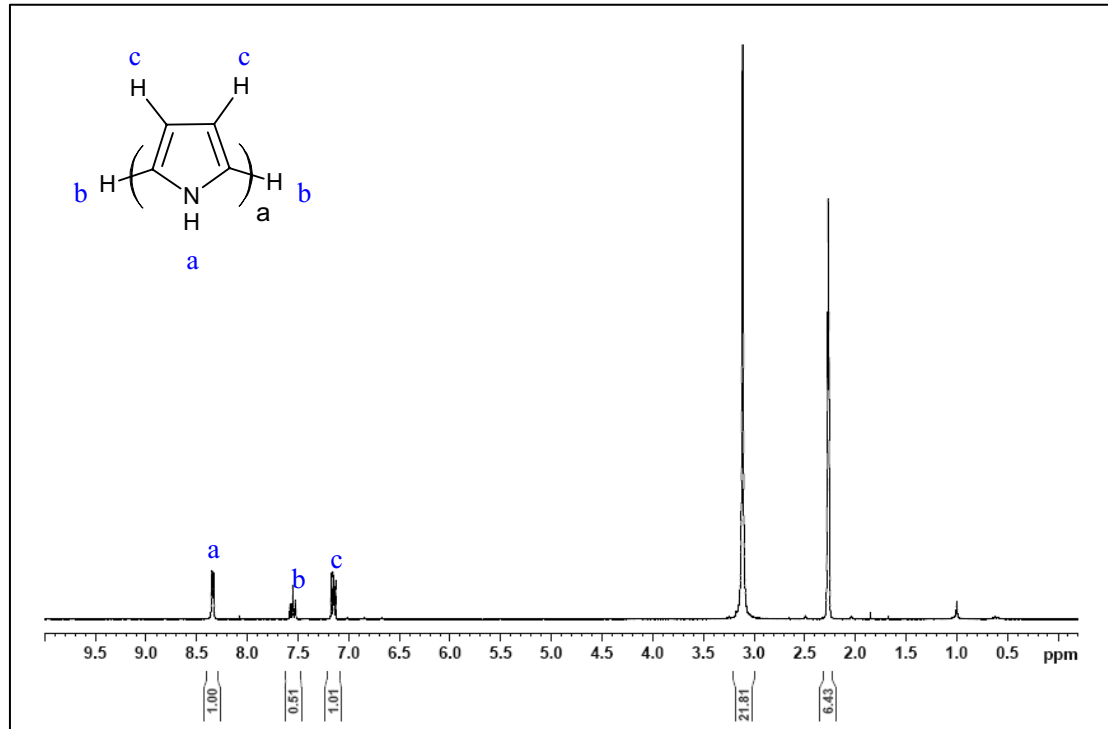
ภาพที่ 64 ปฏิกิริยาผลิตเมื่อไร เชิงขั้นของพอลิไพร์โรล

ผลการทดสอบด้วยเทคนิค FT-IR พบว่าพอลิไพร์โรลที่สังเคราะห์ได้แสดงスペกตรัมเด่นชัดที่ตำแหน่ง 1184 cm^{-1} ซึ่งเป็นการดึงยึดของ C-N (Ar) และที่ $3000-3550\text{ cm}^{-1}$ ซึ่งเป็นการดึงยึดของ N-H ดังแสดงในภาพที่ 65

จากการทดสอบด้วยเทคนิค $^1\text{H-NMR}$ พบว่า พอลิไพร์โรลที่สังเคราะห์ได้นี้จะปราศจากสเปกตรัมที่ตำแหน่ง 8.4 ppm ซึ่งเป็นโปรตอนที่ตำแหน่ง N-H (N-position) (ตำแหน่ง a ในภาพที่ 66) และ โปรตอนที่ติดอยู่กับคาร์บอนบนวงแหวนไพร์โรลที่ตำแหน่ง 2,5 และที่ 3,4 แสดงสัญญาณเด่นชัดที่ตำแหน่งสัญญาณ 7.5 และ 7.2 ppm ตามลำดับ (ตำแหน่ง b และ c ในภาพที่ 66)



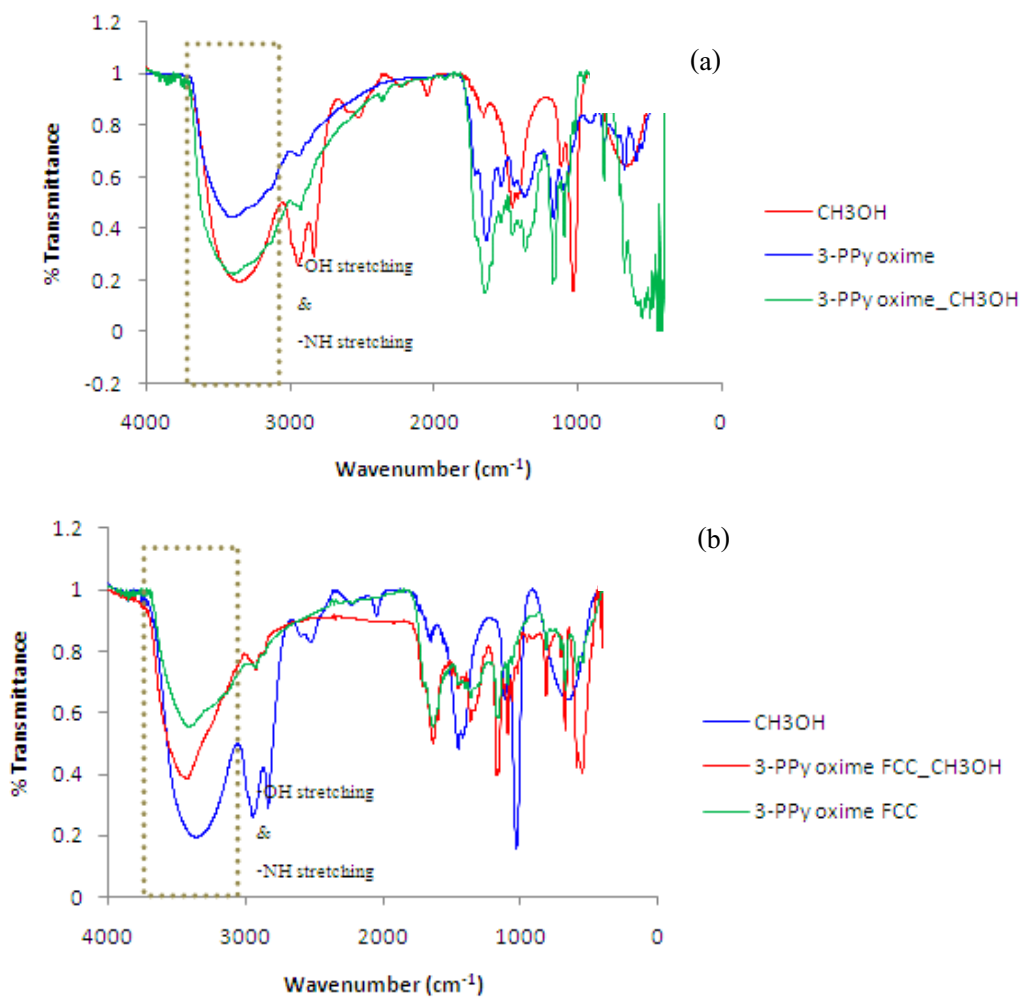
ภาพที่ 65 FT-IR Spectrum ของ 3-PPy และ PPy



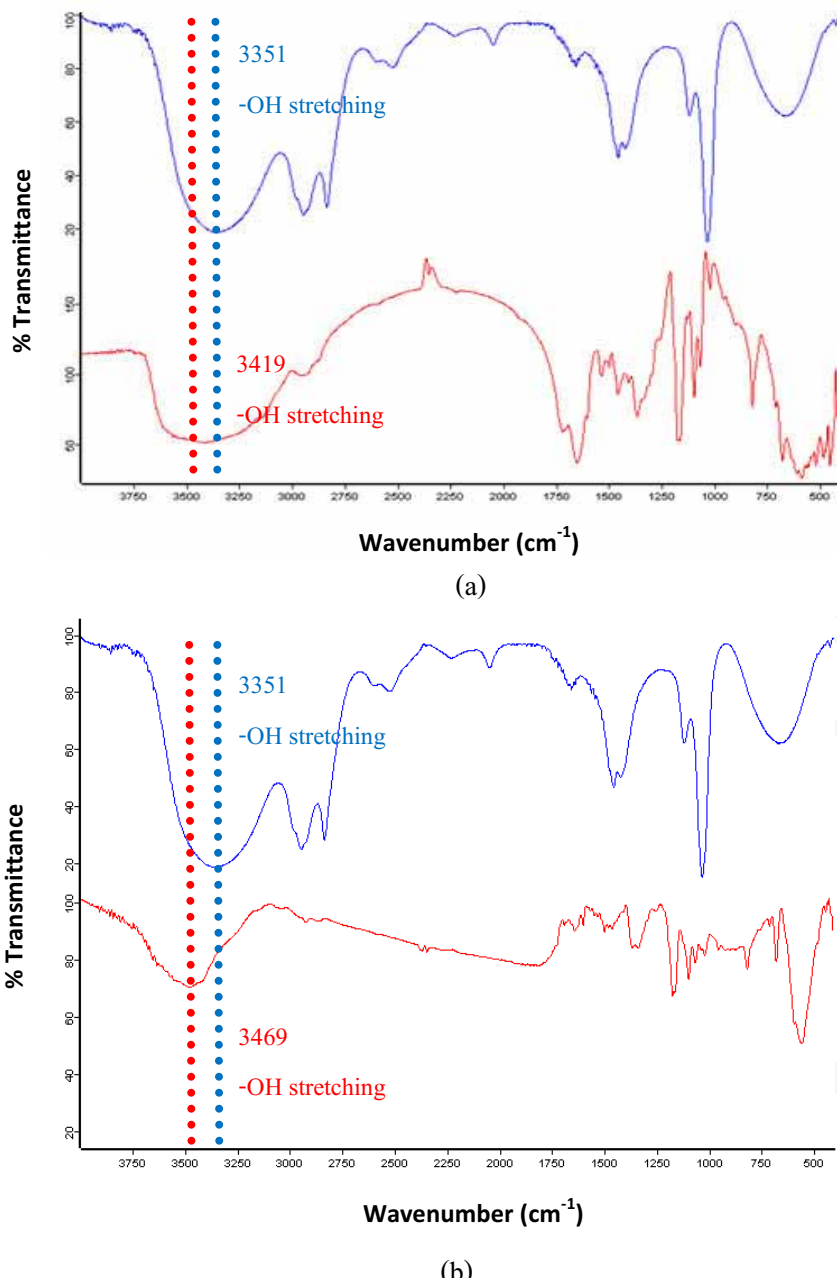
ภาพที่ 66 ¹H-NMR Spectrum ของ PPy ใน DMSO-d₆

4.1.5 การพิสูจน์เอกลักษณ์อนุพันธ์โพลีไพร์โรลที่มีหมู่แทนที่ตำแหน่งที่ 3 ภายหลังการทดสอบกับไฮโรเจนเมทานอลด้วยเทคนิค FT-IR

การพิสูจน์เอกลักษณ์ 3- PPy oxime และ 3-PPy oxime FCC ภายหลังการทดสอบภายใต้บรรยายกาศไฮโรเจนเมทานอล พบว่าเกิดการดูดซับเชิงเคมี (chemical absorption) ระหว่างโมเลกุลเมทานอลกับโมเลกุลทั้งสองชนิด สังเกตได้จากพื้นที่ได้กราฟในช่วงเลขคลื่น $3200\text{-}3500\text{ cm}^{-1}$ ของอนุพันธ์โพลีไพร์โรลที่ผ่านการทดสอบกับไฮโรเจนเมทานอลมีค่าเพิ่มขึ้น เนื่องจากเกิดการซ้อนทับกันของแบบนี้คือการดึงยึด -OH ของเมทานอลกับ N-OH และ -NH ของอนุพันธ์โพลีไพร์โรล ดังแสดงในภาพที่ 67



ภาพที่ 67 (a) FT-IR Spectrum เปรียบเทียบของ CH_3OH , 3-PPy oxime และ 3-PPy oxime _ CH_3OH
 (b) FT-IR Spectrum เปรียบเทียบของ CH_3OH , 3-PPy oxime FCC และ 3-PPy oxime FCC _ CH_3OH



ภาพที่ 68 (a) FT-IR Spectrum เปรียบเทียบของ CH_3OH และกราฟ 3-PPy oxime_ CH_3OH substract
 (b) FT-IR Spectrum เปรียบเทียบของ CH_3OH และกราฟ 3-PPy oxime FCC_ CH_3OH
 substract

FT-IR Spectrum ของอนุพันธ์โพลีไพร์โรลที่ผ่านการ substract ระหว่างโพลีเมอร์
 ภายหลังการทดสอบกับไออกไซด์ตัวอย่างกับโพลีเมอร์ที่ยังไม่ผ่านการทดสอบ พบการเลื่อน
 ตำแหน่งของแบนด์การดึงยืดของ $-\text{OH}$ ในช่วงเลขคิ้น $3200-3600 \text{ cm}^{-1}$ ไปในช่วงเลขคิ้นที่มาก
 ขึ้น ดังแสดงในภาพที่ 68

4.2 การทดสอบสมบัติทางความร้อนของพอลิเมอร์ตัวรองรับ

4.2.1 การทดสอบหาอุณหภูมิการสลายตัวของพอลิเมอร์ตัวรองรับด้วยเทคนิค TGA

อุณหภูมิการสลายตัวของพอลิไพร์โรลและอนุพันธ์ของพอลิไพร์โรลที่ทดสอบได้จากเทคนิค TGA มีรายละเอียดของค่าอุณหภูมิการสลายตัว แสดงไว้ดังตารางที่ 9 และภาพที่ 69 โดยสามารถเรียงลำดับพอลิเมอร์ที่มีเสถียรภาพทางความร้อนจากน้อยไปมาก ได้ดังนี้ คือ PPy < 3-PPy < 3-PPy oxime < 3-PPy FCC ตามลำดับ

PPy เป็นพอลิเมอร์ที่ได้จากปฏิกิริยาเคมีคลับพอลิเมอร์ไไซซานของไพร์โรลอนومอเมอร์ PPy และคงเสถียรภาพทางความร้อนที่ต่ำที่สุด โดยการสลายตัวของพอลิเมอร์เกิดขึ้นเพียงขั้นตอนเดียวของสายโซ่ไม่เลกุลหลัก แต่เป็นที่น่าสังเกตว่าปริมาณ weight loss ที่เหลืออยู่เมื่อถึงสุดกระบวนการทดสอบมีค่าสูงที่สุด ในบรรดาพอลิเมอร์ทั้งสี่ชนิด อธิบายได้จากพฤติกรรมการเกิดสารประกอบชนิดที่เรียกว่า carbonaceous compound ซึ่งสารประกอบดังกล่าวมีเสถียรภาพทางความร้อนอย่างมาก เนื่องจากปริมาณ weight loss ที่ลดลงไม่นักแม้ว่าจะอยู่ภายใต้สภาวะการทดสอบที่อุณหภูมิสูงก็ตาม

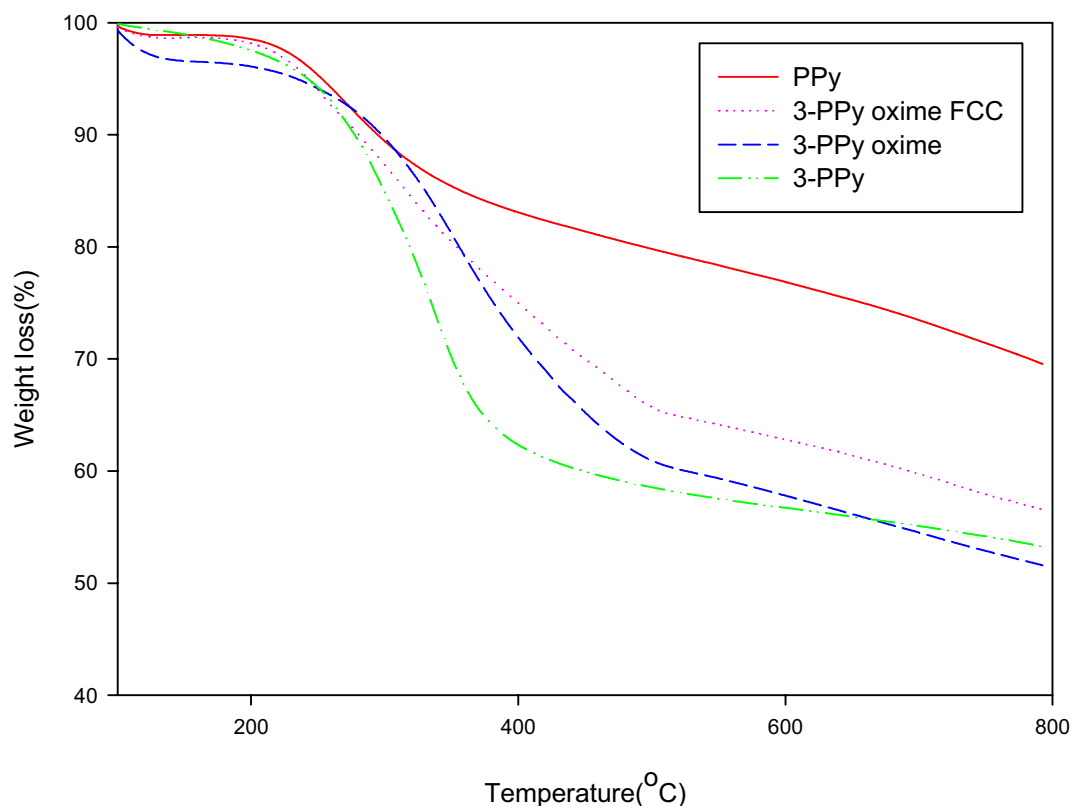
ในส่วนของ 3-PPy และ 3-PPy oxime นั้นมีอุณหภูมิการสลายตัวที่สูงกว่า PPy แม้ว่าพอลิเมอร์ทั้งสองชนิดนี้จะผ่านกระบวนการเพิ่มน้ำฟังก์ชันเข้าไปบนตำแหน่งที่สามของวงแหวนไพร์โรลแล้วก็ตาม แต่เนื่องจากหมู่ฟังก์ชันที่เป็นหมู่คาร์บอนิล(C=O)ของ 3-PPy หรือหมู่ออกซีม(N-OH)ของ 3-PPy oxime สามารถเกิดแรงกระทำระหว่างสายโซ่พอลิเมอร์ ที่เรียกว่าแรงระหว่างขั้วหรือพันธะไฮโดรเจน ตามลำดับ จึงเป็นเหตุผลที่ทำให้ 3-PPy และ 3-PPy oxime มีเสถียรภาพทางความร้อนสูงกว่า PPy

สำหรับ 3-PPy oxime FCC แสดงพฤติกรรมการสลายตัวทางความร้อน 2 ขั้นตอน ซึ่งขั้นตอนแรกเกิดจากการสลายตัวของหมู่เฟอร์โรเซินที่ถูกติดเข้าไปในโครงสร้างจากปฏิกิริยาการแทนที่หมู่ CH₂-Br เนื่องจากเกิดการสลายตัวของหมู่เฟอร์โรเซินซึ่งสลายตัวได้ง่ายที่อุณหภูมิต่ำกว่า และช่วงสุดท้ายเกิดจากการสลายตัวของสายโซ่ไม่เลกุลหลัก

อุณหภูมิการสลายตัวของพอลิเมอร์ตัวรองรับนี้เป็นตัวบ่งบอกถึงอุณหภูมิการนำไปใช้งานที่เหมาะสมที่ไม่ทำให้เกิดการสลายตัวทางความร้อนกับพอลิเมอร์ตัวรองรับ และสามารถเลือกใช้พอลิเมอร์ที่มีความเหมาะสมกับสภาพการทำงานนำไปใช้งานได้ตามต้องการ

ตารางที่ 9 อุณหภูมิการสลายตัวของพอลิเมอร์ตัวร่องรับ

ชื่อพอลิเมอร์	อุณหภูมิการสลายตัว ($^{\circ}\text{C}$)					
	ช่วงที่ 1			ช่วงที่ 2		
	onset	peak	endset	onset	peak	endset
PPy	180.11	267.40	412.62	-	-	-
3-PPy	196.00	337.67	379.35	-	-	-
3-PPy oxime	212.46	352.11	431.08	-	-	-
3-PPy oxime FCC	154.06	248.79	309.50	456.60	469.87	491.96



ภาพที่ 69 TGA thermogram เปรียบเทียบอุณหภูมิการสลายตัวของพอลิเมอร์ตัวร่องรับ

4.2.2 การทดสอบหาอุณหภูมิ glass transition ของพอลิเมอร์ตัวองรับด้วยเทคนิค DSC

การทดสอบหาอุณหภูมิ glass transition (T_g) ด้วยเทคนิค DSC นั้น ให้ผลในทำนองเดียวกันกับอุณหภูมิการสลายตัวที่ทดสอบด้วยเทคนิค TGA นั่นคือพอลิเมอร์ตัวองรับที่มีอุณหภูมิ T_g เรียงลำดับจากมากไปน้อย คือ PPy > 3-PPy > 3-PPy oxime FCC > 3-PPy oxime ตามลำดับ รายละเอียดของค่าอุณหภูมิ T_g นี้แสดงไว้ดังตารางที่ 10 และภาพที่ 70

PPy มี T_g สูงที่สุดเนื่องจากมีโครงสร้างที่เป็นวงแหวนอะโรมาติกที่แข็งทื่อตลอดสายโซ่ไมเลกุล อีกทั้งแรงดึงดูดระหว่างสายโซ่ไมเลกุลพอลิเมอร์ (พันธะไฮโดรเจน) ที่มีค่าสูงมาก แต่เมื่อมีการเพิ่มน้ำฟังก์ชันเข้าไปเป็น 3-PPy จะทำให้มี T_g ลดลงเนื่องจากหมู่кар์บอนิลของ 3-PPy ที่เพิ่มเข้าไปนั้นจะไปช่วยเพิ่มช่องว่างระหว่างไมเลกุล (free volume) ทำให้สายโซ่ไมเลกุลสามารถเคลื่อนไหวได้ง่ายมากขึ้น

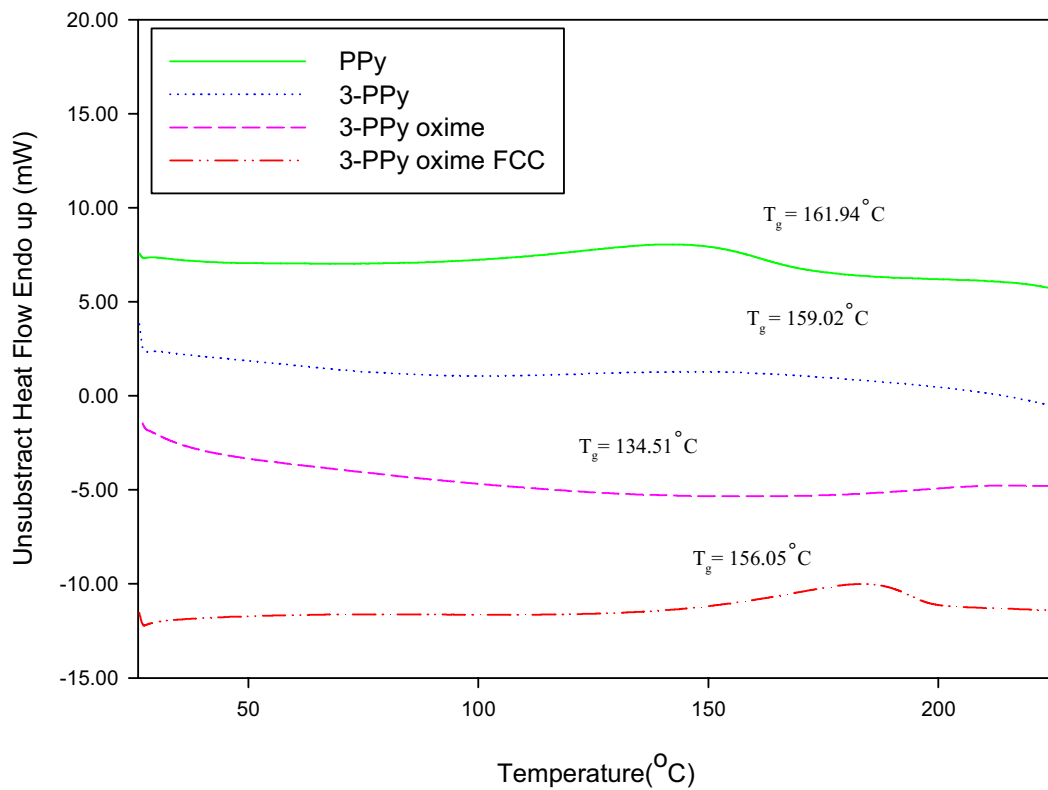
ในส่วนของ 3-PPy oxime แสดงค่า T_g ต่ำที่สุดทั้งนี้เนื่องจากผลการปรับปรุงหมู่ฟังก์ชันจากเดิมที่เป็นหมู่кар์บอนิลมาเป็นหมู่ออกซิเม็นน์ เนื่องจากหมู่ N-OH เป็นหมู่โครงสร้างที่มีขนาดใหญ่กว่าหมู่кар์บอนิลโดยจะไปช่วยเพิ่มช่องว่างระหว่างไมเลกุลสายโซ่พอลิเมอร์มากขึ้น จึงมีความสามารถในการเคลื่อนไหวได้ง่ายกว่ากรณีที่ในสายโซ่ไมลีหมู่ฟังก์ชันเป็นหมู่кар์บอนิล

สำหรับ 3-PPy oxime FCC ที่มีการเพิ่มน้ำเยเฟอร์โรซีนเข้าไปในโครงสร้างนั้น แม้ว่าหมู่เฟอร์โรซีนจะเป็นไมเลกุลที่มีขนาดใหญ่ที่ทำให้มีช่องว่างระหว่างสายโซ่ไมเลกุลใหญ่มาก ก็ตาม แต่หมู่เฟอร์โรซีนซึ่งมีขนาดใหญ่นี้จะมีผลของความเก lokale และมีผลให้ไปขัดขวางการเคลื่อนไหวหรือการหมุนของสายโซ่ไมเลกุลหลักจะทำให้ T_g ของ 3-PPy oxime FCC มีค่าสูงกว่า 3-PPy และ 3-PPy oxime ตามลำดับ

จากการทดลองพบว่า T_g ของพอลิไพร์โรลและอนุพันธ์ของพอลิไพร์โรลทุกตัวมีค่าสูงกว่าอุณหภูมิห้อง

ตารางที่ 10 อุณหภูมิ glass transition (T_g) ของพอลิเมอร์ตัวอย่างรับ

ชื่อพอลิเมอร์	อุณหภูมิ glass transition (T_g , °C)	
	Onset	Midpoint
Polypyrrole	152.39	161.94
3-PPy	159.81	159.02
3-PPy oxime	112.17	134.51
3-PPy oxime FCC	145.15	156.05



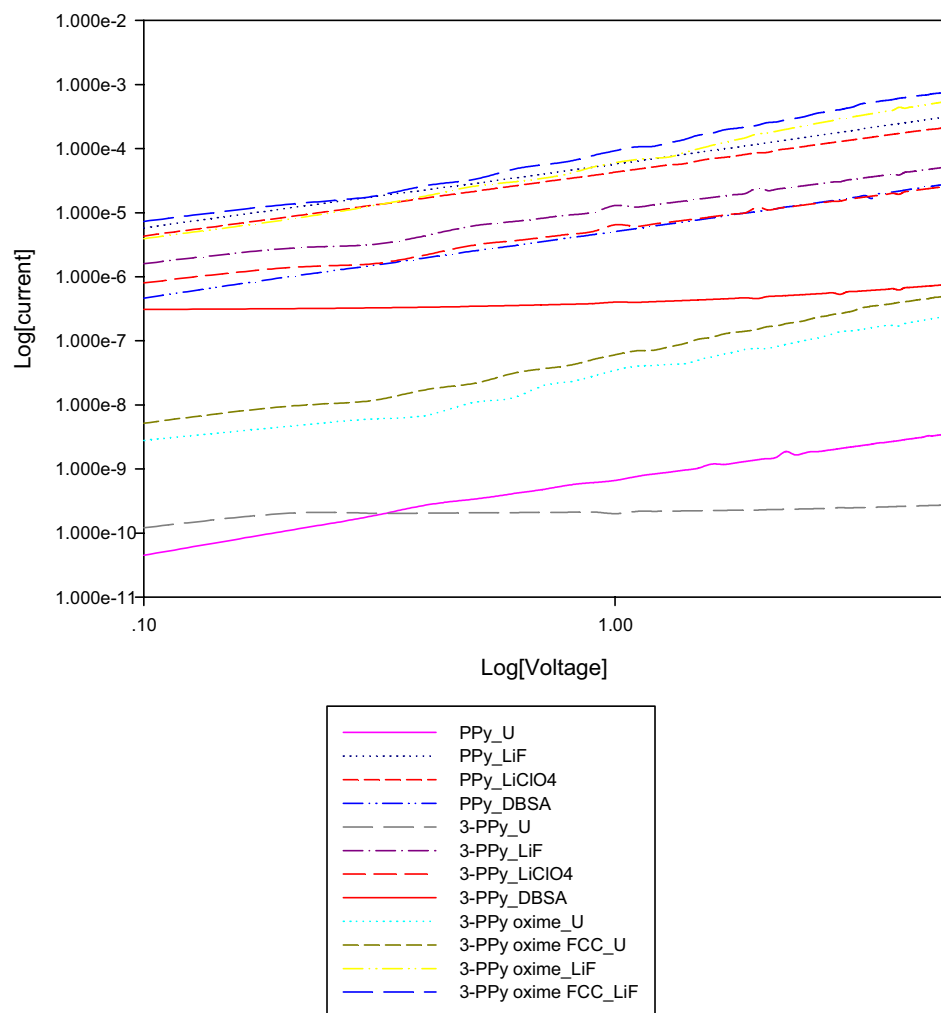
ภาพที่ 70 DSC thermogram เปรียบเทียบอุณหภูมิ glass transition (T_g) ของพอลิเมอร์ตัวอย่างรับ

4.3 การทดสอบวัดค่าการนำไฟฟ้าและความว่องไวต่อไอระเหยสารตัวอย่างของพอลิเมอร์

4.3.1 การหา linear ohmic regime

การตรวจสอบหา linear ohmic regime โดยพอลิเมอร์ที่ใช้ผ่านการกระตุ้นให้เกิดพาหะพาประจุแล้วด้วยคลีเทียมฟลูออไรด์ ได้ผลการทดสอบ ดังนี้

4.3.1.1 การตรวจสอบหา linear ohmic regime ภายใต้บรรยายกาศของกําชในโตรเจนที่อุณหภูมิ 28 °C

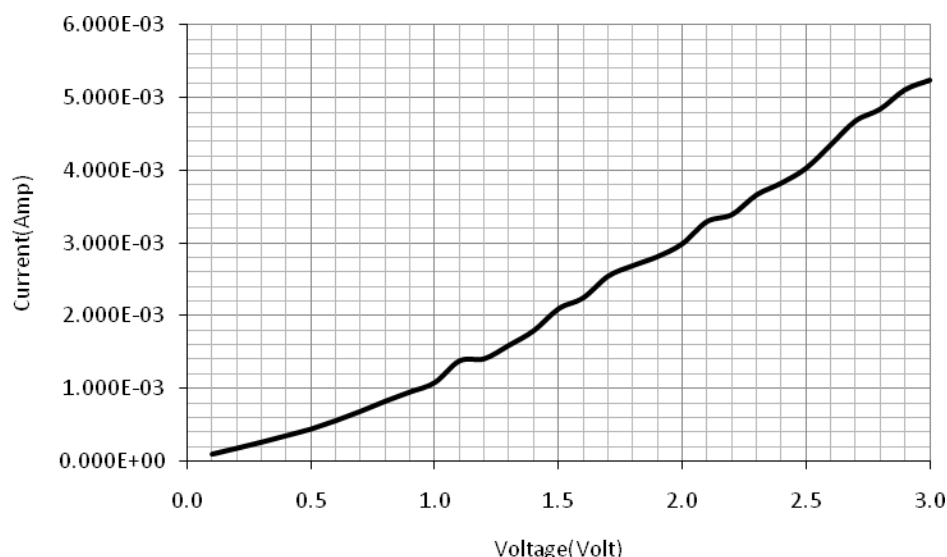


ภาพที่ 71 ค่ากระแสไฟฟ้า (I) ในสเกลล์อกที่ความต่างศักย์ไฟฟ้าค่าต่าง ๆ ของพอลิเมอร์ในการทดสอบหา linear ohmic regime ภายใต้บรรยายกาศของกําชในโตรเจน

จากภาพที่ 71 จะเห็นว่าความสัมพันธ์ระหว่างค่ากระแสไฟฟ้า (I) กับค่าความต่างศักย์ (V) มีพุติกรรมเป็นเส้นตรงในช่วงค่าความต่างศักย์ตั้งแต่ 0.1 – 3 volt ซึ่งความสัมพันธ์ในช่วงดังกล่าวเป็นไปตามกฎของโอล์ม ดังนั้นจึงเลือกช่วงของการให้ค่าความต่างศักย์ในช่วงนี้ในการทดสอบหา linear ohmic regime ภายใต้บรรยายกาศของไออกเมนท์ตัวอย่างต่อไป

4.3.2.2 การตรวจสอบหา Linear ohmic regime ภายใต้บรรยายกาศของไออกเมนท์ต่อไปที่อุณหภูมิ 28 °C

ในการตรวจสอบหา linear ohmic regime ภายใต้บรรยายกาศไออกเมนท์ตัวอย่าง โดยในการทดสอบจะเลือกโพลีเมอร์ 3-PPy oxime FCC เป็นชิ้นงานตัวแทนเพื่อใช้ในการตรวจสอบหา linear ohmic regime ภายใต้บรรยายกาศไออกเมนท์ตัวอย่างความเข้มข้น 500 ppm จากภาพที่ 72 นี้ จะเห็นว่าความสัมพันธ์ระหว่างค่ากระแสไฟฟ้า (I) กับค่าความต่างศักย์ (V) มีพุติกรรมเป็นเส้นตรงในช่วงค่าความต่างศักย์ตั้งแต่ 0.1 – 3 volt เช่นเดียวกันกับในกรณีที่อยู่ภายใต้บรรยายกาศของก้าชในโตรเจน ซึ่งความสัมพันธ์ในช่วงดังกล่าวเป็นไปตามกฎของโอล์ม เป็นที่น่าสังเกตว่าเมื่ออยู่ภายใต้บรรยายกาศของไออกเมนท์ตัวอย่างความเข้มข้นค่าของกระแสไฟฟ้าที่ไหลผ่านนั้นจะมีค่าสูงมากกว่าในกรณีที่อยู่ภายใต้บรรยายกาศของก้าชในโตรเจน



ภาพที่ 72 ความสัมพันธ์ระหว่างค่ากระแสไฟฟ้า (I) กับค่าความต่างศักย์ (V) ในการทดสอบหา linear ohmic regime ภายใต้บรรยายกาศของไออกเมนท์ตัวอย่าง

จากการทดสอบการหา linear ohmic regime ทั้งสองขั้นตอนนี้ทำให้สามารถเลือกช่วงที่ความสัมพันธ์ระหว่างค่ากระแสไฟฟ้า (I) และค่าความต่างศักย์ (V) เป็นเส้นตรงตามกฎของโอห์มทั้งในสภาพะของก๊าซในโตรเจนและไออกไซเจนตัวอย่างได้ คือ ต้องป้อนค่าความต่างศักย์ในช่วงที่ต่ำกว่า 1.0 volt ซึ่งในการทดลองต่อไปนี้จะเลือกป้อนค่าความต่างศักย์ที่คงที่ค่าเดียวกันตลอดการทดลองคือที่ค่าความต่างศักย์เท่ากับ 0.5 volt

4.3.2 การทดสอบและคำนวณหาค่าสภาพการนำไฟฟ้าจำเพาะของพอลิเมอร์ภายใต้บรรยากาศก๊าซในโตรเจน

ในการทดสอบเพื่อหาค่าสภาพการนำไฟฟ้าจำเพาะ โดยทำการวัดค่ากระแสไฟฟ้า เมื่อขึ้นงานอยู่ภายใต้บรรยากาศก๊าซในโตรเจน ซึ่งจะทำการทดสอบทั้งหมด 3 ครั้ง โดยข้อมูลค่าเฉลี่ยและการกระจายตัวแสดงไว้ในตารางที่ 11 และ 12 และภาพที่ 71 และ 72

ตารางที่ 11 ข้อมูลการวัดค่ากระแสไฟฟ้าในบรรยากาศของก๊าซในโตรเจนของพอลิเมอร์แต่ละชนิด ในการทดสอบหาค่าการนำไฟฟ้าจำเพาะ (Specific electrical conductivity, σ_{N_2})

Sample name	Anion radii (Å)[19]	Specimen thickness (cm)	I_{N_2} (Amp)	SD	σ_{N_2} (S cm ⁻¹)	$(\sigma_{N_2})^*$	SD*
PPy_U	-	0.0035	3.454E-09	1.152E-12	6.505E-02	6.281E-02	2.778E-03
		0.0037	3.351E-09	8.050E-13	5.970E-02		
		0.0034	3.284E-09	8.604E-13	6.367E-02		
PPy_LiF	1.33	0.0048	2.848E-05	8.548E-08	3.911E+02	3.938E+02	4.724E+00
		0.0047	2.847E-05	1.079E-08	3.993E+02		
		0.0048	2.848E-05	2.491E-08	3.911E+02		
PPy_LiClO ₄	2.88	0.0042	1.902E-05	1.183E-07	2.985E+02	2.955E+02	5.567E+00
		0.0048	2.105E-05	1.045E-08	2.891E+02		
		0.0052	2.358E-05	1.267E-08	2.989E+02		
PPy_DBSA	21.28	0.0032	2.541E-06	1.406E-09	5.234E+01	5.240E+01	4.145E-01
		0.0029	2.288E-06	1.676E-09	5.201E+01		
		0.0034	2.725E-06	2.880E-08	5.283E+01		
3-PPy_U	-	0.0040	2.138E-09	2.684E-10	3.523E-02	3.576E-02	5.283E-04
		0.0040	2.169E-09	3.003E-10	3.574E-02		
		0.0038	2.092E-09	1.680E-10	3.629E-02		
3-PPy_LiF	1.33	0.0037	6.481E-06	3.331E-07	1.155E+02	1.225E+02	8.875E+00
		0.0035	6.353E-06	2.916E-07	1.197E+02		
		0.0039	7.839E-06	3.726E-07	1.325E+02		

ตารางที่ 12 ข้อมูลการวัดค่ากระแสไฟฟ้าในบรรยากาศของก๊าซในโตรเจนของพอลิเมอร์แต่ละชนิดในการทดสอบหาค่าการนำไฟฟ้าจำเพาะ (Specific electrical conductivity, σ_{N_2}) (ต่อ)

Sample name	Anion radii (Å)[19]	Specimen Thickness (cm)	I_{N_2} (Amp)	SD	σ_{N_2} (S cm ⁻¹)	$(\sigma_{N_2})^*$	SD*
3-PPy_LiClO ₄	2.88	0.0041	3.231E-06	1.790E-07	5.195E+01	5.056E+01	1.352E+00
		0.0040	3.063E-06	1.538E-07	5.048E+01		
		0.0041	3.063E-06	1.886E-08	4.925E+01		
3-PPy_DBSA	21.28	0.0038	3.887E-07	9.400E-09	6.743E+00	6.678E+00	3.158E-01
		0.0030	2.883E-07	7.393E-09	6.335E+00		
		0.0034	3.588E-07	8.708E-09	6.956E+00		
3-PPy oxime_U	-	0.0030	1.064E-08	8.116E-10	2.338E-01	2.421E-01	1.196E-02
		0.0033	1.185E-08	1.271E-09	2.367E-01		
		0.0026	1.009E-08	2.018E-09	2.558E-01		
3-PPy oxime_LiF	1.33	0.0039	2.553E-05	2.462E-07	4.315E+02	4.261E+02	1.049E+01
		0.0045	2.954E-05	3.971E-07	4.327E+02		
		0.0035	2.198E-05	1.447E-07	4.140E+02		
3-PPy oxime_FCC_U	-	0.0038	2.676E-08	4.991E-09	4.642E-01	4.238E-01	3.507E-02
		0.0029	1.764E-08	1.271E-09	4.010E-01		
		0.0033	2.034E-08	4.982E-09	4.063E-01		
3-PPy oxime_FCC_LiF	1.33	0.0385	3.252E-05	1.298E-07	5.568E+02	5.572E+02	1.472E+00
		0.0039	3.289E-05	1.781E-07	5.559E+02		
		0.0039	3.306E-05	9.418E-08	5.588E+02		

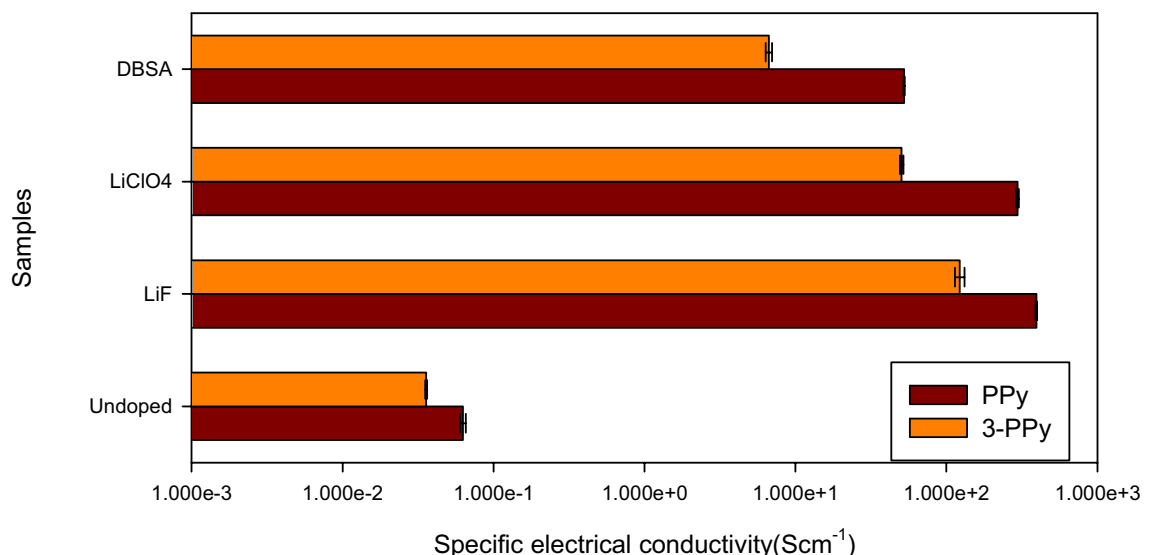
หมายเหตุ อัตราส่วนโดยประมาณระหว่างอนโนมอร์กับสารกระตุ้นพาหะนำประจุเท่ากับ 1 ต่อ 1

ตารางที่ 11 และ 12 แสดงข้อมูลสภาพการนำไฟฟ้าจำเพาะในบรรยากาศก๊าซในโตรเจนของพอลิเมอร์สี่ชนิด ได้แก่ PPy, 3-PPy, 3-PPy oxime และ 3-PPy oxime FCC พบว่าค่าสภาพการนำไฟฟ้าจำเพาะของพอลิเมอร์ดังกล่าวขึ้นอยู่กับปัจจัยทาง โครงสร้างสารกระตุ้นพาหะนำประจุและ โครงสร้างพอลิเมอร์ ซึ่งมีรายละเอียดดังต่อไปนี้

1. ผลของขนาดแอนไออกอนของสารกระตุ้นพาหะต่อสมบัติการนำไฟฟ้าของพอลิเมอร์

พอลิเมอร์ที่ผ่านการกระตุ้นพาหะด้วย LiF สามารถนำไฟฟ้าได้ดีกว่าพอลิเมอร์ที่ผ่านการกระตุ้นพาหะด้วย LiClO₄ และ DBSA ตามลำดับ ระบบการนำไฟฟ้าของพอลิเมอร์

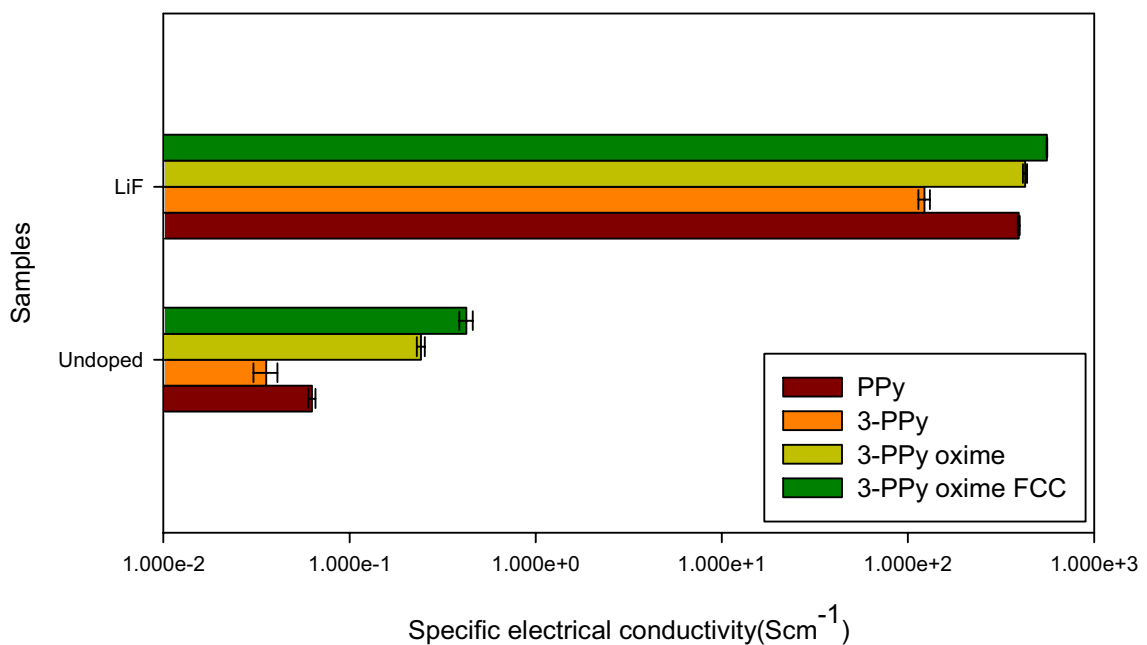
ชนิดนี้สามารถอธิบายได้โดย เมื่อพอลิเมอร์นำไฟฟ้าได้รับการกระตุ้นให้เกิดพาหะนำประจุ (Doping) โครงสร้างของพอลิเมอร์มีการเปลี่ยนแปลงไปเกิดเป็นประจุบวกหรือโอล (Hole) บนสายโซ่ไม่เลกูลหลักโดยมีสารกระตุ้นพาหะนำประจุ (Dopant) ซึ่งมีประจุลบทำหน้าที่เป็น counterion ช่วยเพิ่มความเสถียรให้กับโครงสร้าง เมื่อมีการให้ความต่างศักย์ไฟฟ้าแก่พอลิเมอร์จะเกิดการเคลื่อนที่ของพาหะนำประจุไปตลอดความยาวของสายโซ่ ดังนั้นการนำไฟฟ้าของพอลิเมอร์จึงขึ้นอยู่กับความสามารถในการเคลื่อนที่เข้าไปเสถียรประจุบวกบนสายโซ่พอลิเมอร์ระหว่างการให้ความต่างศักย์ไฟฟ้า เมื่อพิจารณาดึงขนาดแอนิโอดอนของ Dopant ทั้งสามชนิดเรียงลำดับจากเล็กไปใหญ่ได้ดังนี้ $F^- < \text{OCl}_4^- < \text{DBSA}$ ซึ่งสอดคล้องกับผลของค่าสภาพการนำไฟฟ้าที่แสดงดังภาพที่ 73 โดยจะแสดงผลในแนวโน้มเดียวกันทั้ง PPy และ 3-PPy แต่พบว่าค่าสภาพการนำไฟฟ้าของ 3-PPy มีค่าต่ำกว่าค่าสภาพการนำไฟฟ้าจำเพาะของ PPy และแสดงว่าปัจจัยด้านโครงสร้างของพอลิเมอร์มีผลต่อสมบัติการนำไฟฟ้า สำหรับรายละเอียดได้แสดงไว้ในหัวข้อดังไป



ภาพที่ 73 ค่าสภาพการนำไฟฟ้าจำเพาะของพอลิเมอร์ที่ผ่านการกระตุ้นพาหะด้วยสารกระตุ้นชนิดต่างๆ จากการทดสอบชี้สามารถรับเนลลี่ (σ_{N_2})

2. ผลของชนิดโครงสร้างพอลิเมอร์ต่อสมบัติการนำไฟฟ้าของพอลิเมอร์พอลิเมอร์ที่นำมาทดสอบทั้งสี่ชนิดมีค่าสภาพการนำไฟฟ้าจำเพาะเรียงตามลำดับจากมากไปน้อยได้ดังนี้ 3-PPy oxime FCC > 3-PPy oxime > PPy > 3-PPy เริ่มพิจารณาจากโครงสร้างของ 3-PPy พบว่า 3-PPy มีโครงสร้างที่มีหมุ่แทนที่ ณ ตำแหน่งที่สามบน

วงแหวนไพร์โอลเป็นหมู่คาร์บอนิล ($C=O$) โดยหมู่คาร์บอนิลจัดเป็นหมู่โครงสร้างที่แสดงสมบัติเป็นหมู่ดึงอิเล็กตรอน (Electron-withdrawing group) ซึ่งจะไปดึงอิเล็กตรอนจากสายไฟช่องทำให้การเคลื่อนที่ของอิเล็กตรอนบนสายไฟช่องลดลงกระบวนการพฤติกรรมดังกล่าวมีส่วนสำคัญในการนำไฟฟ้าจำเพาะของ 3-PPy มากกว่าค่าสภาพการนำไฟฟ้าจำเพาะของ PPy สำหรับ 3-PPy oxime ซึ่งมีหมู่แทนที่ ณ ตำแหน่งที่สามบนวงแหวนไพร์โอลเป็นหมู่ออกซิม (N-OH) สำหรับหมู่ออกซิมนี้มีสมบัติเป็นหมู่ให้อิเล็กตรอน ดังนั้นส่วนใหญ่ให้เกิดการถ่ายเทอิเล็กตรอนจากโครงสร้างหมู่ออกซิมนี้สู่สายไฟช่องลดลงอย่างมากกว่า PPy พอลิเมอร์ตัวสุดท้ายที่จะถูกล้างออกคือ 3-PPy FCC พอลิเมอร์ชนิดนี้มีความพิเศษมากกว่าพอลิเมอร์ชนิดอื่นๆ โดยระบบการนำไฟฟ้าของพอลิเมอร์สามารถนำไปส่องกลไกได้โดยตรงคือการนำไฟฟ้าผ่านระบบคอนจูเกตของสายไฟช่องทำให้ลดลงอย่างมาก สำหรับ 3-PPy oxime FCC จะสูงกว่า 3-PPy oxime ซึ่งสอดคล้องกันกับค่าสภาพการนำไฟฟ้าจำเพาะที่สูงที่สุดในบรรดาพอลิเมอร์ทั้งสี่ชนิด ดังแสดงในภาพที่ 74



ภาพที่ 74 ค่าสภาพการนำไฟฟ้าจำเพาะของพอลิเมอร์ชนิดต่างๆ ที่ผ่านการกรองตู้น้ำหนาและไม่ผ่านการกรองตู้น้ำหนาด้วยลิเทียมฟลูอิโรมีการทดลองชำนาญ (σ_{N₂})

4.3.3 การทดสอบและคำนวณหาร้อยละความเสี่ยงไวต่อไօระเหຍสารตัวอย่าง

ในการทดสอบความเสี่ยงไวต่อไօระเหຍสารตัวอย่างจะทำการศึกษาไօระเหຍสารตัวอย่างสองชนิด คือ ไօเมทานอลและไօไดเอทิลอีเทอร์ โดยจะทำการทดสอบ 2 ระบบ คือ

1. ความเสี่ยงขั้นไօระเหຍสารตัวอย่างคงที่

1.1 การทดสอบในระบบนี้เพื่อทำการศึกษาอิทธิพลของโครงสร้างพอลิเมอร์ที่ตอบสนองต่อไօระเหຍสารตัวอย่างความเสี่ยงขั้นคงที่ โดยไօระเหຍสารตัวอย่าง(เมทานอลและไօไดเอทิลอีเทอร์) ถูกควบคุมความเสี่ยงขั้นไօระเหຍไวที่ 500 ppm ทดสอบกับพอลิเมอร์ 3 ชนิด ที่ผ่านการกระตุนพาหนาน้ำประจุด้วยลิเทียมฟลูออไรด์ คือ PPy, 3-PPy oxime, 3-PPy oxime FCC ในแต่ละตัวอย่างการทดสอบ จะทำการป้อนและปล่อยไօระเหຍสารตัวอย่างทั้งหมดสามรอบ ในการทดสอบจะทำชำหั่งหมดสองครั้ง ข้อมูลดิบหั่งหมดจะถูกรวบรวมไว้ในภาคผนวกท้ายเล่ม

2. ความเสี่ยงขั้นไօระเหຍสารตัวอย่างเปลี่ยนแปลง

2.1 การทดสอบในระบบนี้เพื่อทำการศึกษาอิทธิพลของความเสี่ยงขั้นไօระเหຍต่อพฤติกรรมการตอบสนองพอลิเมอร์ โดยเลือกพอลิเมอร์ตัวอย่างมาหนึ่งชนิด คือ 3-PPy oxime ที่ผ่านการกระตุนพาหนาน้ำประจุด้วยลิเทียมฟลูออไรด์ ทดสอบกับไօระเหຍสารตัวอย่าง ความเสี่ยงขั้น 3 ค่า คือ 500 ppm 250 ppm และ 125 ppm โดยในแต่ละความเสี่ยงขั้นไօระเหຍจะทำการป้อนและปล่อยไօระเหຍสารตัวอย่างทั้งหมดสามรอบ ในการทดสอบจะทำชำหั่งหมดสองครั้ง ข้อมูลดิบหั่งหมดจะถูกรวบรวมไว้ในภาคผนวกท้ายเล่ม

2.2 การทดสอบในระบบนี้เพื่อทำการศึกษาความสามารถในการตอบสนองต่อไօระเหຍสารตัวอย่างเมื่อพอลิเมอร์อยู่ภายใต้บรรยายกาศไօระเหຍสารตัวอย่างที่มีการเปลี่ยนแปลงค่าอย่างต่อเนื่องจากความเสี่ยงขั้นไօระเหຍ 500 ppm-250 ppm-125 ppm ทดสอบกับพอลิเมอร์ 3 ชนิด ที่ผ่านการกระตุนพาหนาน้ำประจุด้วยลิเทียมฟลูออไรด์ คือ PPy, 3-PPy oxime, 3-PPy oxime FCC ในการทดสอบจะทำชำหั่งหมดสองครั้ง ข้อมูลดิบหั่งหมดจะถูกรวบรวมไว้ในภาคผนวกท้ายเล่ม

4.3.3.1 การทดสอบพฤติกรรมการตอบสนองเมื่อความเสี่ยงขั้นไօระเหຍสารตัวอย่างคงที่

ในการทดสอบก่อนที่จะป้อนไօระเหຍสารตัวอย่างจะวัดค่ากระแสไฟฟ้าในบรรยายกาศของก๊าซในโตรเจน ($I_{N_2, before}$) ก่อน จากนั้นจึงป้อนไօระเหຍสารตัวอย่างความเสี่ยงขั้น

คงที่ 500 ppm แล้วทำการวัดค่ากราฟไฟฟ้าในบรรยากาศไออกซีเจนตัวอย่าง (I_{gas}) ตามด้วยการวัดค่ากราฟไฟฟ้าในบรรยากาศก๊าซในโตรเจนเมื่อลิ้นสูดการป้อนไออกซีเจนตัวอย่าง ($I_{N2,after}$) โดยจะทำการป้อนไออกซีเจนตัวอย่างทึ่งหมดสามรอบเพื่อศึกษาผลของชนิดโครงสร้างพอลิเมอร์ต่อการตอบสนองของไออกซีเจนตัวอย่าง ซึ่งข้อมูลได้ดังแสดงในตารางที่ 13 และภาพที่ 75 ซึ่งมีรายละเอียดดังนี้

4.3.3.1.1 ค่ากราฟไฟฟ้าในบรรยากาศของก๊าซในโตรเจน ($I_{N2,before}$) ก่อนการป้อนไออกซีเจนตัวอย่าง

1. ค่ากราฟไฟฟ้าที่ทดสอบในบรรยากาศก๊าซในโตรเจน ($I_{N2,before}$) รอบแรกของพอลิเมอร์ทุกชนิดทั้งที่ทดสอบภายใต้บรรยากาศไออกซีเจนอลและไออกไซด์เอทิลเอเทอร์ มีค่าต่ำที่สุดเนื่องจากไม่มีโมเลกุลของไออกซีเจนอยู่ในโครงสร้างของพอลิเมอร์เลย ในขณะที่ค่ากราฟไฟฟ้า ($I_{N2,before}$) ในรอบที่ 2 และ 3 มีค่าสูงกว่าในรอบแรกเล็กน้อย เนื่องจากมีโมเลกุลของไออกซีเจนส่วนหนึ่งหลังจากการทดสอบรอบก่อนหน้าซึ่งถูกขับไล่ออกไปไม่หมดทำหน้าที่เป็นตัวพลาสติกเซอร์ไวก์บันโมเลกุลพอลิเมอร์

2. ค่ากราฟไฟฟ้า ($I_{N2,before}$) ในรอบที่ 2 และ 3 ของพอลิเมอร์แต่ละชนิดทั้งที่ทดสอบภายใต้บรรยากาศไออกซีเจนอลและไออกไซด์เอทิลเอเทอร์มีค่าใกล้เคียงกันมากแสดงว่าปริมาณไออกซีเจนที่หลงเหลืออยู่ในโครงสร้างมีค่าจำกัดค่าหนึ่งซึ่งขึ้นอยู่กับลักษณะเฉพาะของโครงสร้างพอลิเมอร์ โดยพบว่าค่ากราฟไฟฟ้า ($I_{N2,before}$) ในรอบที่ 2 และ 3 ของ 3-PPy oxime FCC มีค่ามากกว่าค่ากราฟไฟฟ้า ($I_{N2,before}$) ในรอบที่ 2 และ 3 ของ 3-PPy oxime และ PPy ตามลำดับ แสดงว่าโมเลกุลของไออกซีเจนหลังจากการทดสอบนั้นไม่สามารถถูกปลดปล่อยขึ้นໄหล่อกไปได้หมด โดยส่วนใหญ่ยังคงค้างอยู่ในโครงสร้าง เนื่องจาก 3-PPy oxime FCC มีความเป็นขั้วสูงกว่า 3-PPy oxime และ PPy ทำให้โมเลกุลของไออกซีเจนคงติดค้างอยู่ในโครงสร้างมากกว่าค่ากราฟไฟฟ้าอีกด้วย

4.3.3.1.2 ค่ากราฟไฟฟ้าในบรรยากาศไออกซีเจนตัวอย่าง (I_{gas})

1. ค่ากราฟไฟฟ้า (I_{gas}) ของพอลิเมอร์ทุกชนิดมีค่าเพิ่มขึ้นจากเดิม เนื่องจากโมเลกุลของไออกซีเจนตัวอย่างช่วยทำหน้าที่ในการพลาสติกเซล์โมเลกุลของพอลิเมอร์เพิ่มความสามารถในการสัมผัสระหว่างและการเคลื่อนที่ได้ของอิเล็กตรอน เนื่องจากไออกซ์ฟายอน F⁻ เคลื่อนที่ไปสะเทินประจุบวกบนสายโซ่พอลิเมอร์ และประจุบวกของ Fe (III) สำหรับพอลิเมอร์ 3-

PPy oxime FCC ได้รับขึ้น ค่ากระแสไฟฟ้าสูงขึ้นเมื่อเปรียบเทียบกับค่ากระแสไฟฟ้าในบรรยายกาศของก๊าซในไตรเจน ($I_{N_2, \text{before}}$) ก่อนการป้อนไออกซิเจน

2. ในกรณีการทดสอบกับไฮเมทานอล พบร่วมค่ากระแสไฟฟ้า (I_{gas}) ในรอบที่ 2 และ 3 ของพอลิเมอร์ทุกชนิดมีค่าต่ำกว่าค่ากระแสไฟฟ้า (I_{gas}) ที่วัดได้ในรอบแรก อธิบายได้จากผลของการเกิด Chemical Absorption โดยโมเลกุลของไออกซิเจนจะถูกดูดจับบนพอลิเมอร์ โดยที่เกิดพันธะเคมีขึ้น ดังนั้นภายในห้องปฏิบัติการจะมีไออกซิเจนอยู่ในปริมาณมาก โมเลกุลของพอลิเมอร์ตกลง จึงทำให้ปริมาณ Hole ที่เหลืออยู่น้อยลง เมื่อเทียบกับก่อนการทดลอง แต่ปรากฏการณ์ดังกล่าวจะเกิดขึ้นในการทดสอบครั้งแรกเท่านั้น เนื่องจากบริเวณที่ว่องไวเพียงพอที่จะเกิดปฏิกิริยาเคมีกับโมเลกุลของไออกซิเจน ได้นั้นจะเกิดปฏิกิริยานำเสนอที่ว่องไว จนไม่ก่อให้เกิดปรากฏการณ์ดังกล่าวขึ้นอีก

3. ค่ากระแสไฟฟ้า (I_{gas}) ที่ทดสอบกับไฮไซเดอทิลเอทอเรียมของพอลิเมอร์แต่ละชนิดในทุกรอบการทดสอบมีค่าใกล้เคียงกัน แสดงว่าไฮไซเดอทิลเอทอเรียมมีความเป็นขั้วตัวจึงไม่เกิดการดูดซับแบบ Chemical absorption กับโมเลกุลพอลิเมอร์เป็นผลให้ปริมาณ Hole ที่อยู่ในโครงสร้างเปลี่ยนแปลงไปไม่มากนัก เมื่อเทียบกับก่อนการทดลอง ค่ากระแสไฟฟ้าที่อ่านได้ในทุกๆ รอบจึงมีค่าใกล้เคียงกันมาก

4. ที่จุดสมดุลในบรรยายกาศของไออกซิเจนสารตัวอย่าง ค่ากระแสไฟฟ้า (I_{gas}) ที่วัดได้จากการทดสอบทั้งสามรอบของพอลิเมอร์ทุกชนิด (ยกเว้นค่ากระแสไฟฟ้าที่ทดสอบกับไฮเมทานอลในรอบแรก) พบร่วมกันแต่ละรอบค่ากระแสไฟฟ้าที่ได้ให้ค่าที่ใกล้เคียงกัน เนื่องจากการที่ได้อ่ายในบรรยายกาศของไออกซิเจนสารตัวอย่างในช่วงระยะเวลาหนึ่งจึงทำให้ความสามารถในการเคลื่อนที่ของอิเล็กตรอนมีค่าคงที่ซึ่งขึ้นอยู่กับโครงสร้างของพอลิเมอร์ และสมบัติของไออกซิเจนสารตัวอย่างที่ใช้ในการทดสอบนั้นๆ

5. ค่ากระแสไฟฟ้า (I_{gas}) ที่ทดสอบในบรรยายกาศไออกซิเจนสารตัวอย่างมีแนวโน้มเดียวกัน คือ พอลิเมอร์ที่มีความเป็นขั้วมากกว่าจะนำไฟฟ้าได้ดีกว่า เรียงตามลำดับจากมากไปน้อยได้ดังนี้ 3-PPy oxime FCC > 3-PPy oxime > PPy

6. เปรียบเทียบค่ากระแสไฟฟ้าของพอลิเมอร์ในกลุ่มที่ทดสอบกับไฮเมทานอลจะให้ค่ากระแสไฟฟ้าที่สูงมากกว่ากลุ่มที่ทดสอบกับไฮไซเดอทิลเอทอเรียมเนื่องจากสมบัติความเป็นขั้วของไออกซิเจนสารตัวอย่างมีผลต่อการทำหน้าที่พลาสติไซส์โมเลกุลของพอลิ

เมอร์ ก่อตัวคือ ยิ่งไอระเหยที่ทดสอบมีความเป็นขั้วมาก การเคลื่อนที่ของไออ่อน F^- เพื่อเข้าไปสะเทินประจุบวกบนโครงสร้างสายโซ่พอลิเมอร์ และประจุบวกของ Fe(III) สำหรับ 3-PPy oxime FCC จะเกิดได้ง่ายขึ้น ซึ่งจะช่วยเพิ่มเสถียรภาพให้กับประจุบวกและไออ่อนของ Fe(III) ดังนั้นการเคลื่อนที่ของอิเล็กตรอนและไออ่อนของฟลูอิโรมีจึงเป็นไปได้ดีขึ้น นอกจากนี้ขนาดโมเลกุลของไอระเหยสารตัวอย่างที่มีขนาดเล็ก สามารถแทรกแพร่ผ่านช่องว่างระหว่างโมเลกุลของพอลิเมอร์ ได้ง่ายกว่า ช่วยทำหน้าที่ในการพลาสติไซส์โมเลกุลของพอลิเมอร์ได้ดีขึ้นอีกด้วย ดังนั้นกลุ่มที่ทำการทดสอบกับไอเมทานอลจึงมีค่ากระแสไฟฟ้าที่สูงมากกว่ากลุ่มที่ทดสอบกับไอడีเอทิลเอทอเร

4.3.3.1.3 ค่ากระแสไฟฟ้าในบรรยากาศใกล้ในโครงเรนภายในหลังการป้อนไอระเหยสารตัวอย่าง ($I_{N_2,after}$)

1. ค่ากระแสไฟฟ้า ($I_{N_2,after}$) ที่วัดได้มีแนวโน้มเดียวกัน คือ พอลิเมอร์ที่มีความเป็นขั้วมากกว่าจะนำไฟฟ้าได้ดีกว่า เรียงตามลำดับจากมากไปน้อยได้ ดังนี้ $3\text{-PPy oxime FCC} > 3\text{-PPy oxime} > \text{PPy}$

2. เมื่อเปรียบเทียบพอลิเมอร์ต่างกันพบว่าพอลิเมอร์ในกลุ่มที่ทดสอบกับไอเดทิลเอทอเร (ยกเว้น 3-PPy oxime FCC) จะมีค่ากระแสไฟฟ้าที่สูงกว่าในกลุ่มที่ทดสอบกับไอเมทานอล เนื่องจากภายในหลังการขึ้นไวน์ที่ไอระเหยสารตัวอย่างออกไปแล้ว ไอเดทิลเอทอเรที่มีขนาดโมเลกุลใหญ่กว่าไอเมทานอล ส่งผลทำให้ไอเดทิลเอทอเรถูกขับไล่ออกไปไม่หมด และยังคงเหลือติดค้างอยู่ในโครงสร้างของพอลิเมอร์มากกว่า การทำหน้าที่เป็นพลาสติไซเซอร์ของไอระเหยสารตัวอย่างทำให้อิเล็กตรอนและไออ่อนสามารถเคลื่อนที่ได้มากกว่า ค่ากระแสไฟฟ้าที่วัดได้จึงมีค่าสูงกว่า

3. สำหรับค่ากระแสไฟฟ้า ($I_{N_2,after}$) ของ 3-PPy oxime FCC ที่ทดสอบกับไอดีเอทิลเอทอเรทุกรอบ จะมีค่าต่ำกว่าค่ากระแสไฟฟ้า ($I_{N_2,after}$) ที่ทดสอบกับไอเมทานอล เนื่องจากโครงสร้างของ 3-PPy oxime FCC มีช่องว่างระหว่างโมเลกุลมาก (free volume) ทำให้โมเลกุลของไอดีเอทิลเอทอเรที่มีความเป็นขั้วน้อย และมีความดันไอดีสูงกว่าเมทานอลสามารถถูกไล่ให้เคลื่อนที่ออกไปได้ง่ายกว่า ค่ากระแสไฟฟ้าที่ทดสอบกับไอดีเอทิลเอทอเรจึงต่ำกว่า

ตารางที่ 13 ข้อมูลการวัดค่ากระแสไฟฟ้าในบรรยากาศของก๊าซในโตรเจน ก่อน ขณะ และหลังผ่านไอะโรสเตรท์ชนิดในการทดสอบกับไօร์ เที่ยวนอกความเข้มข้นคงที่ที่ 500 ppm

Sample name	Cycle	Specimen Thickness (cm)	Current (Amp)								
			$I_{N2,before}$ (Amp)	I_{gas} (Amp)	$I_{N2,after}$ (Amp)	$I^*_{N2,before}$ (Amp)	$SD_{IN2,before}$	I^*_{gas} (Amp)	SD_{Igas}	$I^*_{N2,after}$ (Amp)	$SD_{IN2,after}$
PPy	1 st	0.0048	2.865E-05	9.072E-05	4.798E-05	2.857E-05	1.202E-07	9.021E-05	7.212E-07	4.747E-05	7.283E-07
		0.0047	2.848E-05	8.970E-05	4.695E-05						
	2 nd	0.0048	4.798E-05	8.835E-05	4.720E-05	4.747E-05	7.283E-07	8.823E-05	1.697E-07	4.731E-05	1.556E-07
		0.0047	4.695E-05	8.811E-05	4.742E-05						
	3 rd	0.0048	4.720E-05	8.812E-05	4.734E-05	4.731E-05	1.556E-07	8.840E-05	3.889E-07	4.719E-05	2.192E-07
		0.0047	4.742E-05	8.867E-05	4.703E-05						
3-PPy oxime	1 st	0.0043	2.988E-05	1.374E-04	5.893E-05	2.879E-05	1.549E-06	1.389E-04	2.051E-06	5.924E-05	4.313E-07
		0.0040	2.769E-05	1.403E-04	5.954E-05						
	2 nd	0.0043	5.893E-05	1.284E-04	5.930E-05	5.887E-05	8.485E-08	1.299E-04	2.121E-06	5.956E-05	3.606E-07
		0.0040	5.881E-05	1.314E-04	5.981E-05						
	3 rd	0.0043	5.930E-05	1.310E-04	5.891E-05	5.892E-05	5.374E-07	1.318E-04	1.131E-06	5.938E-05	6.647E-07
		0.0040	5.854E-05	1.326E-04	5.985E-05						
3-PPy oxime FCC	1 st	0.0040	3.152E-05	4.215E-04	1.047E-04	3.201E-05	6.930E-07	4.279E-04	9.051E-06	1.045E-04	3.536E-07
		0.0042	3.250E-05	4.343E-04	1.042E-04						
	2 nd	0.0040	1.047E-04	4.036E-04	1.043E-04	1.001E-04	6.484E-06	4.076E-04	5.657E-06	1.044E-04	7.071E-08
		0.0042	9.553E-05	4.116E-04	1.044E-04						
	3 rd	0.0040	1.043E-04	4.034E-04	1.046E-04	1.019E-04	3.387E-06	4.078E-04	6.152E-06	1.072E-04	3.606E-06
		0.0042	9.951E-05	4.121E-04	1.097E-04						

หมายเหตุ อัตราส่วนโดยไม่รวมห่วงมอนอมอเรท์กับสารกระตุ้นพาราบีโนประจุเท่ากับ 1 ต่อ

ตารางที่ 14 ข้อมูลค่าสภาพการนำไฟฟ้าจามเพาะในบรรยากาศของก๊าซในไตรเจน ก่อน ขณะ และหลังผ่านไอะโรสเปรย์และชนิดในการทดสอบกับไอะโรสเปรย์มหานอความเข้มข้นคงที่ที่ 500 ppm

Sample name	Cycle	Specimen Thickness (cm)	$\sigma(S \text{ cm}^{-1})$								
			$\sigma_{N_2,\text{before}}$ ($S \text{ cm}^{-1}$)	σ_{gas} ($S \text{ cm}^{-1}$)	$\sigma_{N_2,\text{after}}$ ($S \text{ cm}^{-1}$)	$\sigma^*_{N_2,\text{before}}$ ($S \text{ cm}^{-1}$)	$SD_{\sigma_{\text{gas}}}$	σ^*_{gas} ($S \text{ cm}^{-1}$)	$SD_{\sigma_{\text{gas}}}$	σ^*_{gas} ($S \text{ cm}^{-1}$)	$SD_{\sigma_{N_2,\text{after}}}$
PPy	1 st	0.0048	3.935E+02	1.246E+03	6.589E+02	3.965E+02	4.234E+00	1.252E+03	8.628E+00	6.587E+02	3.017E-01
		0.0047	3.994E+02	1.258E+03	6.585E+02						
	2 nd	0.0048	6.589E+02	1.213E+03	6.482E+02	6.587E+02	3.017E-01	1.225E+03	1.587E+01	6.566E+02	1.193E+01
		0.0047	6.585E+02	1.236E+03	6.651E+02						
	3 rd	0.0048	6.482E+02	1.210E+03	6.501E+02	6.566E+02	1.193E+01	1.227E+03	2.366E+01	6.549E+02	6.707E+00
		0.0047	6.651E+02	1.244E+03	6.596E+02						
3-PPy oxime	1 st	0.0043	4.581E+02	2.106E+03	9.034E+02	4.572E+02	1.228E+00	2.209E+03	1.455E+02	9.423E+02	5.502E+01
		0.0040	4.563E+02	2.312E+03	9.812E+02						
	2 nd	0.0043	9.034E+02	1.968E+03	9.091E+02	9.363E+02	4.651E+01	2.067E+03	1.393E+02	9.474E+02	5.415E+01
		0.0040	9.692E+02	2.165E+03	9.857E+02						
	3 rd	0.0043	9.091E+02	2.008E+03	9.031E+02	9.369E+02	3.935E+01	2.097E+03	1.251E+02	9.447E+02	5.885E+01
		0.0040	9.647E+02	2.185E+03	9.863E+02						
3-PPy oxime FCC	1 st	0.0040	5.195E+02	6.946E+03	1.725E+03	5.148E+02	6.614E+00	6.881E+03	9.184E+01	1.680E+03	6.365E+01
		0.0042	5.101E+02	6.816E+03	1.635E+03						
	2 nd	0.0040	1.725E+03	6.651E+03	1.719E+03	1.612E+03	1.599E+02	6.556E+03	1.352E+02	1.679E+03	5.677E+01
		0.0042	1.499E+03	6.460E+03	1.639E+03						
	3 rd	0.0040	1.719E+03	6.648E+03	1.724E+03	1.640E+03	1.110E+02	6.558E+03	1.273E+02	1.723E+03	1.443E+00
		0.0042	1.562E+03	6.468E+03	1.722E+03						

หมายเหตุ

อัตราส่วนโดยไม่รวมห่วงมอนомิร์กับสารกระตุ้นพาราฟินนำประจุเท่ากับ 1 ต่อ 1

ตารางที่ 15 ข้อมูลการวัดค่ากระแสไฟฟ้าในบรรยากาศของก๊าซในโตรเจน ก่อน ขณะและหลังผ่านไอระเหยของพอลิเมอร์แต่ละชนิดในการทดสอบกับไօรະเหยไดเอทิลอีเทอร์ความเข้มข้นคงที่ที่ 500 ppm

Sample name	Cycle	Specimen Thickness (cm)	Current (Amp)								
			$I_{N2,before}$ (Amp)	I_{gas} (Amp)	$I_{N2,after}$ (Amp)	$I^*_{N2,before}$ (Amp)	$SD_{IN2,before}$	I^*_{gas} (Amp)	SD_{Igas}	$I^*_{N2,after}$ (Amp)	$SD_{IN2,after}$
PPy	1 st	0.0047	2.789E-05	8.225E-05	5.076E-05	2.821E-05	4.525E-07	8.222E-05	4.243E-08	5.096E-05	2.828E-07
		0.0048	2.853E-05	8.219E-05	5.116E-05						
	2 nd	0.0047	5.076E-05	8.219E-05	5.166E-05	5.096E-05	2.828E-07	8.223E-05	4.950E-08	5.112E-05	7.637E-07
		0.0048	5.116E-05	8.226E-05	5.058E-05						
	3 rd	0.0047	5.166E-05	8.840E-05	5.062E-05	5.112E-05	7.637E-07	8.531E-05	4.377E-06	5.079E-05	2.333E-07
		0.0048	5.058E-05	8.221E-05	5.095E-05						
3-PPy oxime	1 st	0.0045	2.893E-05	1.031E-04	6.485E-05	2.907E-05	1.980E-07	1.037E-04	7.778E-07	6.520E-05	4.879E-07
		0.0042	2.921E-05	1.042E-04	6.554E-05						
	2 nd	0.0045	6.485E-05	1.037E-04	6.566E-05	6.520E-05	4.879E-07	1.038E-04	1.414E-07	6.569E-05	4.243E-08
		0.0042	6.554E-05	1.039E-04	6.572E-05						
	3 rd	0.0045	6.566E-05	1.022E-04	6.535E-05	6.569E-05	4.243E-08	1.027E-04	7.071E-07	6.550E-05	2.051E-07
		0.0042	6.572E-05	1.032E-04	6.564E-05						
3-PPy oxime FCC	1 st	0.0038	3.166E-05	1.475E-04	8.857E-05	3.156E-05	1.485E-07	1.473E-04	2.828E-07	8.859E-05	2.828E-08
		0.0043	3.145E-05	1.471E-04	8.861E-05						
	2 nd	0.0038	8.857E-05	1.469E-04	9.316E-05	8.859E-05	2.828E-08	1.468E-04	2.121E-07	9.088E-05	3.231E-06
		0.0043	8.861E-05	1.466E-04	8.859E-05						
	3 rd	0.0038	9.316E-05	1.471E-04	9.325E-05	9.088E-05	3.231E-06	1.465E-04	8.485E-07	9.092E-05	3.295E-06
		0.0043	8.859E-05	1.459E-04	8.859E-05						

หมายเหตุ

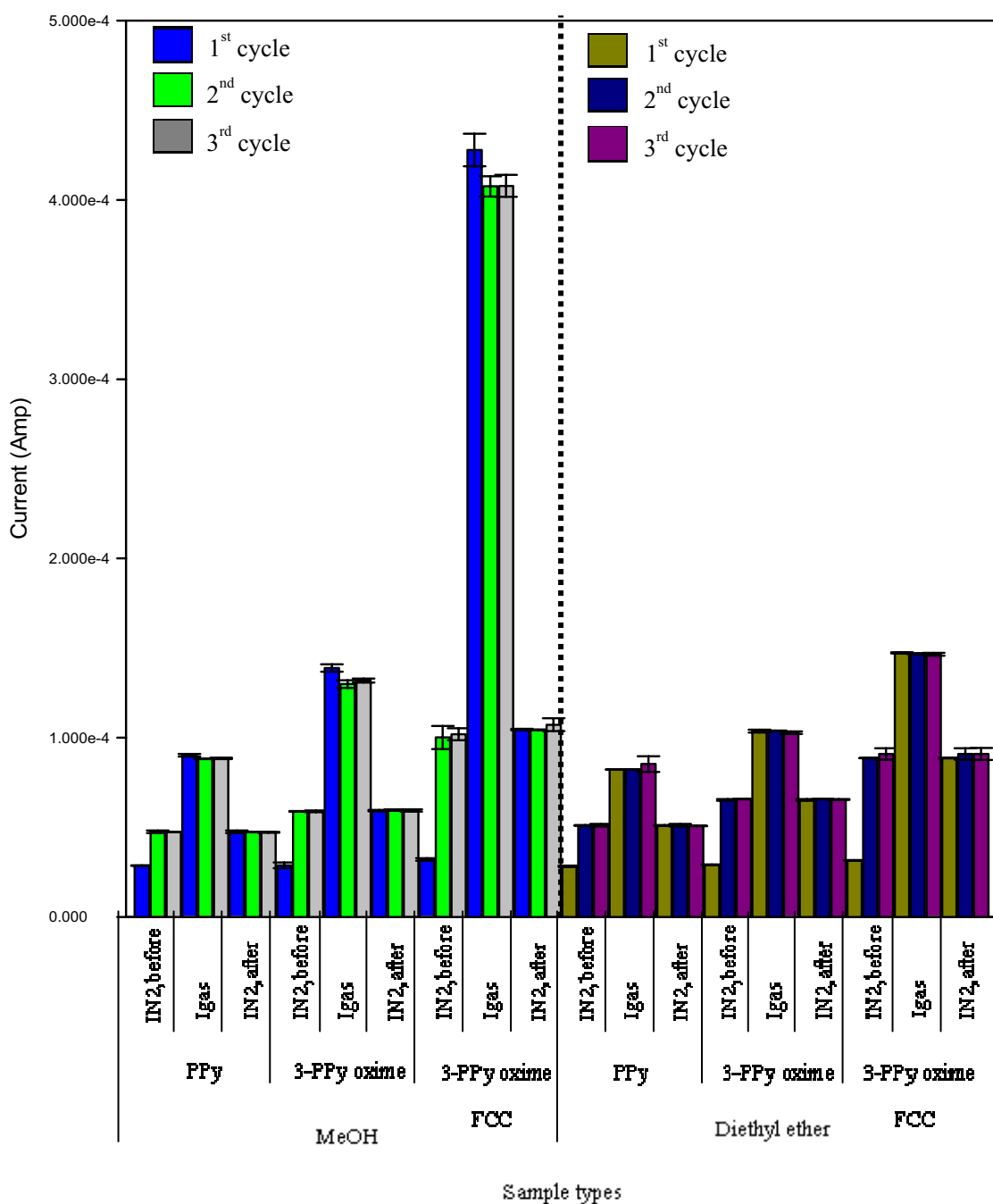
อัตราส่วนโดยไม่รวมห่วงมอนอมอเรกับสารกระตุ้นพาราหนามประจุเท่ากับ 1 ต่อ 1

ตารางที่ 16 ข้อมูลค่าสภาพการนำไฟฟ้าจำเพาะในบรรยากาศของก๊าซในโตรเจนก่อน ขณะ และหลังผ่านไอระเหยของพอลิเมอร์แต่ละชนิดในการทดสอบกับไอระเหยไดออกอีเทอร์ความเข้มข้นคงที่ที่ 500 ppm

Sample name	Cycle	Specimen Thickness (cm)	$\sigma(S \text{ cm}^{-1})$								
			$\sigma_{N_2,\text{before}}$ ($S \text{ cm}^{-1}$)	σ_{gas} ($S \text{ cm}^{-1}$)	$\sigma_{N_2,\text{after}}$ ($S \text{ cm}^{-1}$)	$\sigma_{N_2,\text{before}}^*$ ($S \text{ cm}^{-1}$)	$SD_{\sigma_{\text{gas}}}$	σ_{gas}^* ($S \text{ cm}^{-1}$)	$SD_{\sigma_{\text{gas}}}$	σ_{gas}^* ($S \text{ cm}^{-1}$)	$SD_{\sigma_{N_2,\text{after}}}$
PPy	1 st	0.0047	391.17	1153.59	711.93	3.915E+02	4.525E-01	1.141E+03	1.758E+01	7.073E+02	6.603E+00
		0.0048	391.81	1128.74	702.59						
	2 nd	0.0047	711.93	1152.75	724.55	7.073E+02	6.603E+00	1.141E+03	1.630E+01	7.096E+02	2.116E+01
		0.0048	702.59	1129.70	694.63						
	3 rd	0.0047	724.55	1239.85	709.97	7.096E+02	2.116E+01	1.184E+03	7.837E+01	7.048E+02	7.254E+00
		0.0048	694.63	1129.01	699.71						
3-PPy oxime	1 st	0.0045	423.79	1510.29	949.97	4.411E+02	2.451E+01	1.573E+03	8.849E+01	9.893E+02	5.564E+01
		0.0042	458.45	1635.43	1028.66						
	2 nd	0.0045	949.97	1519.08	961.84	9.893E+02	5.564E+01	1.575E+03	7.894E+01	9.967E+02	4.925E+01
		0.0042	1028.66	1630.72	1031.48						
	3 rd	0.0045	961.84	1497.11	957.30	9.967E+02	4.925E+01	1.558E+03	8.671E+01	9.938E+02	5.157E+01
		0.0042	1031.48	1619.74	1030.23						
3-PPy oxime FCC	1 st	0.0038	549.21	2558.72	1536.45	5.157E+02	4.743E+01	2.407E+03	2.147E+02	1.447E+03	1.259E+02
		0.0043	482.13	2255.06	1358.40						
	2 nd	0.0038	1536.45	2548.31	1616.07	1.447E+03	1.259E+02	2.398E+03	2.128E+02	1.487E+03	1.824E+02
		0.0043	1358.40	2247.40	1358.10						
	3 rd	0.0038	1616.07	2551.78	1617.63	1.487E+03	1.824E+02	2.394E+03	2.228E+02	1.488E+03	1.835E+02
		0.0043	1358.10	2236.67	1358.10						

หมายเหตุ

อัตราส่วนโดยไม่รวมห่วงมอนอมอร์กับสารกระตุ้นพาราฟินนำประจุเท่ากับ 1 ต่อ 1



ภาพที่ 75 ค่ากระแสไฟฟ้าที่จุดสมดุลของพอลิเมอร์ในบรรยายกาศของไօรະເໜສາຣຕ້ວອຍ່າງຄວາມເຂັ້ມຂັ້ນຄົງທີ່ 500 ppm

4.3.3.2 การศึกษาพฤติกรรมการตอบสนองต่อไออกไซด์ไฮเดรตต์ตัวอย่างของพอลิเมอร์เมื่อความเข้มข้นไออกไซด์ไฮเดรตต์ตัวอย่างเปลี่ยนแปลง

ในการทดสอบเพื่อทำการศึกษาอิทธิพลของความเข้มข้นไออกไซด์ต่อพฤติกรรมการตอบสนองพอลิเมอร์ โดยเลือกพอลิเมอร์ตัวอย่างมาหนึ่งชนิด คือ 3-PPy oxime ที่ผ่านการกระตู้น้ำหนึ่งประจุด้วยลิเทียมฟลูออไรด์ ทดสอบกับไออกไซด์ไฮเดรตต์ตัวอย่างความเข้มข้น 3 ค่า คือ 500 ppm 250 ppm และ 125 ppm ในแต่ละความเข้มข้นจะทำการป้อนและปล่อยไออกไซด์ไฮเดรตต์ตัวอย่างทั้งหมดสามรอบ ซึ่งข้อมูลได้ดังแสดงในตารางที่ 17 และภาพที่ 76 ซึ่งมีรายละเอียดดังต่อไปนี้

4.3.3.2.1 ค่ากระแสไฟฟ้าในบรรยากาศของก๊าซไนโตรเจน ($I_{N_2, \text{before}}$) ก่อนการป้อนไออกไซด์ไฮเดรตต์ตัวอย่าง

1. ค่ากระแสไฟฟ้าที่ทดสอบในบรรยากาศก๊าซไนโตรเจน ($I_{N_2, \text{before}}$) รอบแรกของการทดสอบทั้งที่ทดสอบภายใต้บรรยากาศก๊าซไนโตรเจนและไออกไซด์ไฮเดรตต์ทุกค่าความเข้มข้น ไออกไซด์ไฮเดรตต์มีค่าต่ำที่สุดเนื่องจากไม่มีโมเลกุลของไออกไซด์ในโครงสร้างของพอลิเมอร์เลย ในขณะที่ค่ากระแสไฟฟ้า ($I_{N_2, \text{before}}$) ในรอบที่ 2 และ 3 มีค่าสูงกว่าในรอบแรกเล็กน้อย เนื่องจากมีโมเลกุลของไออกไซด์ของไออกไซด์ไฮเดรตต์หลังจากการทดสอบรอบก่อนหน้าซึ่งถูกขับไล่ออกไปไม่นมดทำหน้าที่เป็นตัวพาสต์ไซเซอร์ให้กับโมเลกุลพอลิเมอร์

2. ค่ากระแสไฟฟ้า ($I_{N_2, \text{before}}$) ในรอบที่ 2 และ 3 ของ 3-PPy oxime ที่ทดสอบทุกๆ ความเข้มข้น ไออกไซด์ไฮเดรตต์ตัวอย่างมีค่าใกล้เคียงกันมาก แสดงว่าปริมาณไออกไซด์ไฮเดรตต์ที่หลงเหลืออยู่ในโครงสร้างมีค่าจำกัดค่าหนึ่ง เช่นเดียวกับที่ได้อธิบายไว้ในหัวข้อการทดสอบกับไออกไซด์ไฮเดรตต์ตัวอย่างความเข้มข้นคงที่ โดยพบว่าค่ากระแสไฟฟ้า ($I_{N_2, \text{before}}$) ในรอบที่ 2 และ 3 ของ 3-PPy oxime ที่ทดสอบกับไออกไซด์ไฮเดรตต์มีค่ามากกว่าค่ากระแสไฟฟ้า ($I_{N_2, \text{before}}$) ในรอบที่ 2 และ 3 ที่ทดสอบกับไออกไซด์ไฮเดรตต์ แสดงว่าโมเลกุลของไออกไซด์ไฮเดรตต์ภายหลังจากการทดสอบนั้นไม่สามารถถูกปล่อยขับไล่出去ได้หมด โดยส่วนใหญ่ยังคงค้างอยู่ในโครงสร้าง เนื่องจากไออกไซด์ไฮเดรตต์มีขนาดใหญ่กว่าไออกไซด์ไฮเดรตต์ โดยส่วนใหญ่ยังคงค้างอยู่ในโครงสร้าง จึงทำหน้าที่เป็นตัวพาสต์ไซเซอร์ให้กับโมเลกุลพอลิเมอร์ค่ากระแสไฟฟ้าสูงกว่า

4.3.3.2.2 ค่ากระแสไฟฟ้าในบรรยากาศไอระเหยสารตัวอย่าง (I_{gas})

1. ค่ากระแสไฟฟ้า (I_{gas}) ของ 3-PPy oxime มีค่าเพิ่มขึ้นจากเดิม เนื่องจากโมเลกุลของไอระเหยสารตัวอย่างช่วยทำหน้าที่ในการพลาสติไซซ์ส์โมเลกุลของพอลิเมอร์ เพิ่มความสามารถในการสัมผัสหัวและการเคลื่อนที่ได้ของอิเล็กตรอน เนื่องจากไอออน F^- เคลื่อนที่ไปสะเทินประจุบวกบนสายโซ่พอลิเมอร์ ได้ง่ายขึ้น ค่ากระแสไฟฟ้าจึงสูงขึ้นเมื่อเปรียบเทียบกับค่ากระแสไฟฟ้าในบรรยากาศของก้าชในไตรเจน ($I_{N_2, before}$) ก่อนการป้อนไอระเหย

2. ในกรณีการทดสอบกับไฮเมทานอล พบร่วมกับค่ากระแสไฟฟ้า (I_{gas}) ในรอบที่ 2 และ 3 มีค่าต่ำกว่าค่ากระแสไฟฟ้า (I_{gas}) ที่วัดได้ในรอบแรก อธิบายได้จากผลของการเกิด Chemical Absorption โดยโมเลกุลของไอระเหยจะถูกดูดจับบนผิวพอลิเมอร์ โดยที่เกิดพันธะเคมีขึ้น ดังนั้นภัยหลังการปล่อยไอระเหยออกโมเลกุลของไอระเหยจึงไม่สามารถหลุดออกจากรูปแบบพอลิเมอร์ได้และยึดติดอยู่กับโมเลกุลของพอลิเมอร์ตลอด จึงทำให้ปริมาณ Hole ที่เหลืออยู่มีน้อยลงเมื่อเทียบกับก่อนการทดลอง แต่ปรากฏการณ์ดังกล่าวจะเกิดขึ้นในการทดสอบครั้งแรกเท่านั้น เนื่องจากบริเวณที่ว่องไวเพียงพอที่จะเกิดปฏิกิริยาเคมีกับโมเลกุลของไอระเหยได้นั้นจะเกิดปฏิกิริยาบนหมุดบริเวณที่ว่องไว จนไม่ก่อให้เกิดปรากฏการณ์ดังกล่าวขึ้นอีก

3. ค่ากระแสไฟฟ้า (I_{gas}) ที่ทดสอบกับไฮโดเรทิลีเทอร์ในทุกรอบการทดสอบมีค่าใกล้เคียงกัน แสดงว่าไฮโดเรทิลีเทอร์ซึ่งมีความเป็นขั้วต่ำจึงไม่เกิดการดูดซับแบบ chemical absorption กับโมเลกุล 3-PPy oxime เป็นผลให้ปริมาณ Hole ที่อยู่ในโครงสร้างเปลี่ยนแปลงไปไม่นักเมื่อเทียบกับก่อนการทดลอง ค่ากระแสไฟฟ้าที่อ่านได้ในทุกๆ รอบจึงมีค่าใกล้เคียงกันมาก

4. เปรียบเทียบค่ากระแสไฟฟ้าของ 3-PPy oxime ที่ทุกค่าความเข้มข้นไอระเหยสารตัวอย่างมีแนวโน้มเดียวกัน สามารถเรียงลำดับจากมากไปน้อยได้ดังนี้ $500 \text{ ppm} > 250 \text{ ppm} > 125 \text{ ppm}$ เนื่องจากปริมาณไอระเหยสารตัวอย่างมีผลต่อความสามารถในการทำหน้าที่เป็นตัวพลาสติไซซ์ต์โมเลกุลพอลิเมอร์ เมื่อความเข้มข้นไอระเหยสารตัวอย่างลดลง ค่ากระแสไฟฟ้าจึงต่ำลง

5. เปรียบเทียบค่ากระแสไฟฟ้าของ 3 PPy oxime ที่ทดสอบกับไฮเมทานอลจะให้ค่ากระแสไฟฟ้าที่สูงมากกว่ากลุ่มที่ทดสอบกับไฮโดเรทิลีเทอร์ เนื่องจากสมบัติความเป็นขั้วของไอระเหยสารตัวอย่างมีผลต่อการทำหน้าที่พลาสติไซซ์ส์โมเลกุลของพอลิเมอร์ กล่าวคือ ยิ่งไอระเหยที่ทดสอบมีความเป็นขั้วมาก การเคลื่อนที่ของไอออน F^- เพื่อเข้าไปสะเทินประจุบวกบนโครงสร้างสายโซ่พอลิเมอร์จะเกิดได้ง่ายขึ้น ซึ่งจะช่วยเพิ่มเสถียรภาพให้กับ

ประจุบวก ดังนั้นการเคลื่อนที่ของอิเล็กตรอนและไอออนของฟลูออไรด์จึงเป็นไปได้ดีขึ้น นอกจากนี้ขนาดโมเลกุลของไอะโรเยสสารตัวอย่างที่มีขนาดเล็ก สามารถแทรกแพร่ผ่านช่องว่างระหว่างโมเลกุลของพอลิเมอร์ได้ง่ายกว่า ช่วยทำหน้าที่ในการพลาสติไซส์โมเลกุลของพอลิเมอร์ได้ดีขึ้นอีกด้วย ดังนั้นกลุ่มที่ทำการทดสอบกับไอยเมทานอลจึงมีค่ากระแสไฟฟ้าที่สูงมากกว่ากลุ่มที่ทดสอบกับไออกอิโอดีเอทิลเอเทอร์

4.3.3.2.3 ค่ากระแสไฟฟ้าในบรรยายกาศก้าวไนโตรเจนภายหลังการป้อนไอะโรเยสสารตัวอย่าง ($I_{N_2,after}$)

1. ค่ากระแสไฟฟ้า ($I_{N_2,after}$) ที่วัดได้มีค่าใกล้เคียงกันในทุกๆ รอบ แต่พบว่ากรณีที่ทดสอบกับไออกอิโอดีเอทิลเอเทอร์ค่ากระแสไฟฟ้าที่อ่านได้มีค่าสูงกว่ากรณีที่ทดสอบกับไอยเมทานอลเนื่องจากไออกอิโอดีเอทิลเอเทอร์ที่มีขนาดโมเลกุลใหญ่กว่าไอยเมทานอล ส่งผลทำให้ไออกอิโอดีเอทิลเอเทอร์ถูกขับไล่ออกไประหว่าง และยังคงเหลือติดค้างอยู่ในโครงสร้างของพอลิเมอร์มากกว่า การทำหน้าที่เป็นพลาสติไซเซอร์ของไอะโรเยสสารตัวอย่างทำให้อิเล็กตรอนและไอออนสามารถเคลื่อนที่ได้จึงมีมากกว่า ค่ากระแสไฟฟ้าที่วัดได้จึงมีค่าสูงกว่า

2. ค่ากระแสไฟฟ้า ($I_{N_2,after}$) ที่วัดได้มีค่าใกล้เคียงกันในทุกค่า ความเข้มข้นไอะโรเยสสารตัวอย่าง แสดงว่าไอะโรเยสสารตัวอย่างมีความสามารถในการติดอยู่ในโครงสร้างได้สูงสุดค่าหนึ่งแม้ว่าจะทดสอบกับไอะโรเยสสารตัวอย่างที่มีความเข้มข้นต่างกัน ค่ากระแสไฟฟ้า ($I_{N_2,after}$) ที่อ่านได้ก็มีค่าใกล้เคียงกัน

ตารางที่ 17 ข้อมูลการวัดค่ากระแสไฟฟ้าในบรรยากาศของก๊าซในไตรเจนก่อน ขณะและหลังผ่านไอะเรเหยสารตัวอย่างของพอลิเมอร์ 3-PPy oxime ในการทดสอบกับไอะเมทานอลที่ความเข้มข้นไอะเรเหยเปลี่ยนแปลง

Gas concentration (ppm)	Cycle	Specimen Thickness (cm)	Current (Amp)								
			$I_{N2,before}$ (Amp)	I_{gas} (Amp)	$I_{N2,after}$ (Amp)	$I^*_{N2,before}$ (Amp)	$SD_{IN2,before}$	I^*_{gas} (Amp)	SD_{Igas}	$I^*_{N2,after}$ (Amp)	$SD_{IN2,after}$
500	1 st	0.0043	2.988E-05	1.374E-04	5.893E-05	2.879E-05	1.549E-06	1.389E-04	2.051E-06	5.924E-05	4.313E-07
		0.0040	2.769E-05	1.403E-04	5.954E-05						
	2 nd	0.0043	5.893E-05	1.284E-04	5.930E-05	5.752E-05	1.994E-06	1.194E-04	1.273E-05	5.816E-05	1.619E-06
		0.0040	5.611E-05	1.104E-04	5.701E-05						
	3 rd	0.0043	5.930E-05	1.310E-04	5.891E-05	5.839E-05	1.294E-06	1.215E-04	1.351E-05	5.801E-05	1.273E-06
		0.0040	5.747E-05	1.119E-04	5.711E-05						
250	1 st	0.00405	2.739E-05	1.247E-04	5.856E-05	2.862E-05	1.739E-06	1.195E-04	7.354E-06	5.914E-05	8.202E-07
		0.0042	2.985E-05	1.143E-04	5.972E-05						
	2 nd	0.00405	5.856E-05	1.168E-04	5.892E-05	5.919E-05	8.910E-07	1.106E-04	8.768E-06	5.942E-05	7.000E-07
		0.0042	5.982E-05	1.044E-04	5.991E-05						
	3 rd	0.00405	5.892E-05	1.034E-04	5.934E-05	5.940E-05	6.788E-07	1.050E-04	2.192E-06	5.962E-05	3.889E-07
		0.0042	5.988E-05	1.065E-04	5.989E-05						
125	1 st	0.0045	2.879E-05	1.090E-04	5.958E-05	2.937E-05	8.132E-07	1.062E-04	3.960E-06	5.972E-05	1.909E-07
		0.0044	2.994E-05	1.034E-04	5.985E-05						
	2 nd	0.0045	5.958E-05	9.979E-05	5.964E-05	5.935E-05	3.323E-07	9.982E-05	3.536E-08	5.924E-05	5.657E-07
		0.0044	5.911E-05	9.984E-05	5.884E-05						
	3 rd	0.0045	5.964E-05	1.014E-04	5.891E-05	5.953E-05	1.626E-07	1.001E-04	1.810E-06	5.832E-05	8.386E-07
		0.0044	5.941E-05	9.884E-05	5.772E-05						

หมายเหตุ

อัตราส่วนโดยไม่รวมอนุมอเมอร์กับสารกระตุ้นพาราบิน้ำประจุเท่ากับ 1 ต่อ 1

ตารางที่ 18 ข้อมูลค่าสภาพการนำไฟฟ้าจำเพาะในบรรยากาศของก๊าซในโตรเจนก่อน ขณะและหลังผ่านไอระเหยสารตัวอย่างของพอลิเมอร์ 3-PPy oxime ใน การทดสอบกับไอระเหยเมทานอลที่ความเข้มข้นไอระเหยเปลี่ยนแปลง

Gas concentration (ppm)	Cycle	Specimen Thickness (cm)	$\sigma(S \text{ cm}^{-1})$								
			$\sigma_{N_2,\text{before}}$ ($S \text{ cm}^{-1}$)	σ_{gas} ($S \text{ cm}^{-1}$)	$\sigma_{N_2,\text{after}}$ ($S \text{ cm}^{-1}$)	$\sigma^*_{N_2,\text{before}}$ ($S \text{ cm}^{-1}$)	$SD_{\sigma_{\text{gas}}}$	σ^*_{gas} ($S \text{ cm}^{-1}$)	$SD_{\sigma_{\text{gas}}}$	σ^*_{gas} ($S \text{ cm}^{-1}$)	$SD_{\sigma_{N_2,\text{after}}}$
500	1 st	0.0043	4.581E+02	2.106E+03	9.034E+02	4.572E+02	1.228E+00	2.209E+03	1.455E+02	9.423E+02	5.502E+01
		0.0040	4.563E+02	2.312E+03	9.812E+02						
	2 nd	0.0043	9.034E+02	1.968E+03	9.091E+02	9.140E+02	1.505E+01	1.894E+03	1.054E+02	9.243E+02	2.153E+01
		0.0040	9.247E+02	1.819E+03	9.395E+02						
	3 rd	0.0043	9.091E+02	2.008E+03	9.031E+02	9.281E+02	2.689E+01	1.926E+03	1.161E+02	9.221E+02	2.692E+01
		0.0040	9.471E+02	1.844E+03	9.412E+02						
250	1 st	0.00405	4.458E+02	2.030E+03	9.532E+02	4.572E+02	1.604E+01	1.912E+03	1.667E+02	9.452E+02	1.120E+01
		0.0042	4.685E+02	1.794E+03	9.373E+02						
	2 nd	0.00405	9.532E+02	1.901E+03	9.590E+02	9.460E+02	1.009E+01	1.770E+03	1.856E+02	9.497E+02	1.323E+01
		0.0042	9.389E+02	1.639E+03	9.403E+02						
	3 rd	0.00405	9.590E+02	1.683E+03	9.658E+02	9.494E+02	1.356E+01	1.677E+03	8.098E+00	9.529E+02	1.829E+01
		0.0042	9.398E+02	1.672E+03	9.400E+02						
125	1 st	0.0045	4.217E+02	1.597E+03	8.728E+02	4.351E+02	1.896E+01	1.573E+03	3.366E+01	8.847E+02	1.689E+01
		0.0044	4.486E+02	1.549E+03	8.967E+02						
	2 nd	0.0045	8.728E+02	1.462E+03	8.737E+02	8.792E+02	9.047E+00	1.479E+03	2.402E+01	8.776E+02	5.565E+00
		0.0044	8.856E+02	1.496E+03	8.815E+02						
	3 rd	0.0045	8.737E+02	1.485E+03	8.630E+02	8.819E+02	1.160E+01	1.483E+03	3.249E+00	8.639E+02	1.304E+00
		0.0044	8.901E+02	1.481E+03	8.648E+02						

หมายเหตุ

อัตราส่วนโดยไม่รวมห่วงมอนามอร์กับสารกระตุ้นพาราformaldehyde 1 ต่อ 1

ตารางที่ 19 ข้อมูลการวัดค่ากระแสไฟฟ้าในบรรยากาศของก๊าซในไตรเจนก่อน ขณะและหลังผ่านไอะระเหยสารตัวอย่างของพอลิเมอร์ 3-PPy oxime ในการทดสอบกับไอะระเหยไดออกอิทธิ渥ท์ที่ความเข้มข้นไอะระเหยเปลี่ยนแปลง

Gas concentration (ppm)	Cycle	Specimen Thickness (cm)	Current (Amp)								
			$I_{N2,before}$ (Amp)	I_{gas} (Amp)	$I_{N2,after}$ (Amp)	$I^*_{N2,before}$ (Amp)	$SD_{I_{N2,before}}$	I^*_{gas} (Amp)	$SD_{I_{gas}}$	$I^*_{N2,after}$ (Amp)	$SD_{I_{N2,after}}$
500	1 st	0.0045	2.988E-05	1.031E-04	6.485E-05	2.935E-05	7.566E-07	1.032E-04	1.414E-07	6.488E-05	4.243E-08
		0.0041	2.881E-05	1.033E-04	6.491E-05						
	2 nd	0.0045	6.485E-05	1.037E-04	6.566E-05	6.479E-05	9.192E-08	1.024E-04	1.838E-06	6.548E-05	2.616E-07
		0.0041	6.472E-05	1.011E-04	6.529E-05						
	3 rd	0.0045	6.566E-05	1.022E-04	6.535E-05	6.489E-05	1.096E-06	1.026E-04	4.950E-07	6.553E-05	2.546E-07
		0.0041	6.411E-05	1.029E-04	6.571E-05						
250	1 st	0.0041	2.832E-05	8.038E-05	6.498E-05	2.842E-05	1.414E-07	8.047E-05	1.202E-07	6.505E-05	9.899E-08
		0.0043	2.852E-05	8.055E-05	6.512E-05						
	2 nd	0.0041	6.498E-05	8.085E-05	6.554E-05	6.505E-05	9.899E-08	8.093E-05	1.131E-07	6.539E-05	2.121E-07
		0.0043	6.512E-05	8.101E-05	6.524E-05						
	3 rd	0.0041	6.554E-05	7.971E-05	6.462E-05	6.545E-05	1.273E-07	7.992E-05	2.899E-07	6.567E-05	1.478E-06
		0.0043	6.536E-05	8.012E-05	6.671E-05						
125	1 st	0.0042	2.856E-05	7.219E-05	6.447E-05	2.849E-05	1.061E-07	7.167E-05	7.425E-07	6.419E-05	3.960E-07
		0.0040	2.841E-05	7.114E-05	6.391E-05						
	2 nd	0.0042	6.447E-05	7.224E-05	6.543E-05	6.296E-05	2.143E-06	7.118E-05	1.499E-06	6.422E-05	1.711E-06
		0.0040	6.144E-05	7.012E-05	6.301E-05						
	3 rd	0.0042	6.543E-05	7.219E-05	6.542E-05	6.433E-05	1.556E-06	7.216E-05	4.243E-08	6.493E-05	7.000E-07
		0.0040	6.323E-05	7.213E-05	6.443E-05						

หมายเหตุ

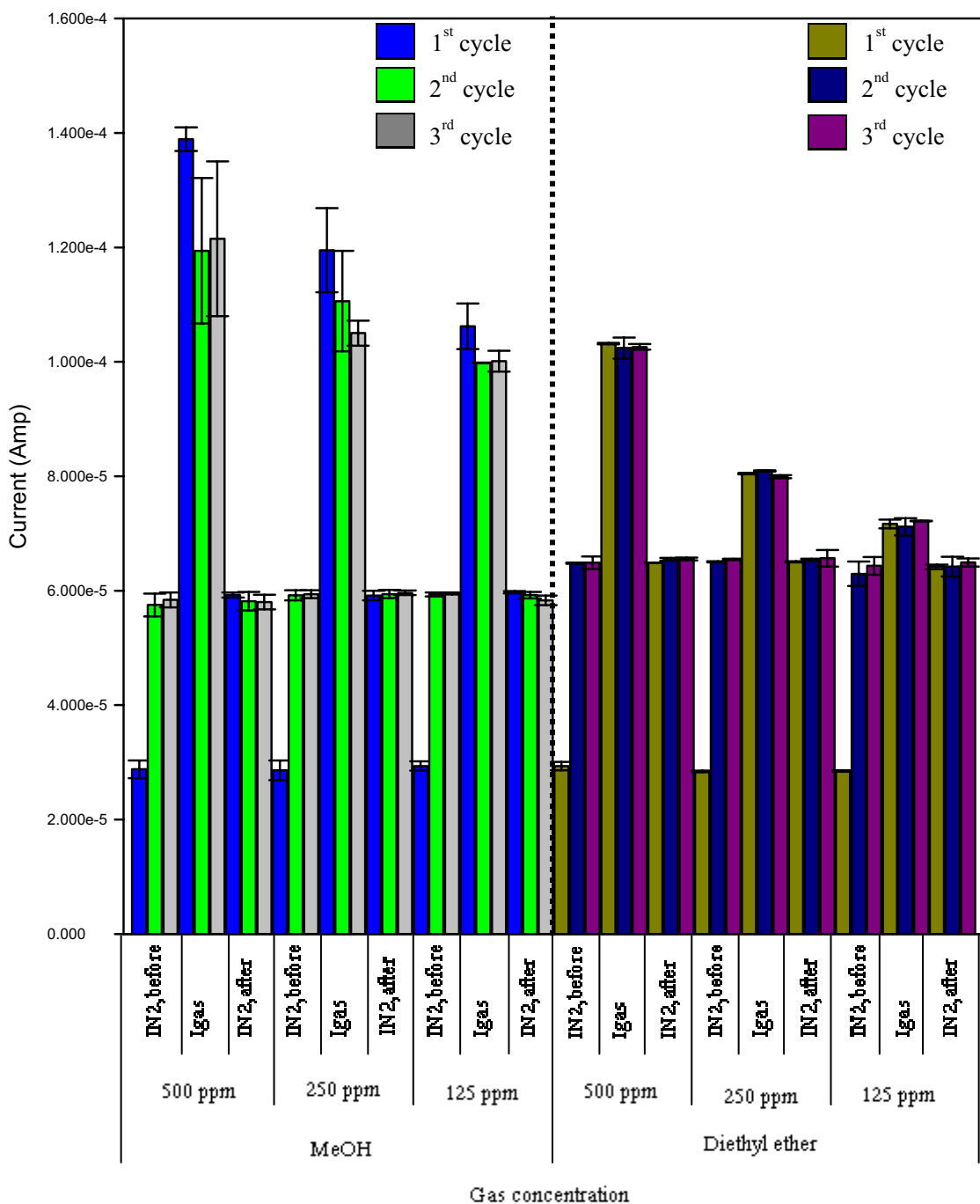
อัตราส่วนโดยไม่คระหว่างมอนามอร์กับสารกระตุ้นพาหะนำประจุเท่ากับ 1 ต่อ 1

ตารางที่ 20 ข้อมูลค่าสภาพการนำไฟฟ้าจำเพาะในบรรยากาศของก๊าซในโตรเจนก่อน ขณะและหลังผ่านไออกไซด์สารตัวอย่างของพอลิเมอร์ 3-PPy oxime ใน การทดสอบกับไออกไซด์เอทธิลีเทอโรที่ความเข้มข้นไออกไซด์เปลี่ยนแปลง

Gas concentration (ppm)	Cycle	Specimen Thickness (cm)	$\sigma(S \text{ cm}^{-1})$								
			$\sigma_{N_2,\text{before}}$ ($S \text{ cm}^{-1}$)	σ_{gas} ($S \text{ cm}^{-1}$)	$\sigma_{N_2,\text{after}}$ ($S \text{ cm}^{-1}$)	$\sigma_{N_2,\text{before}}^*$ ($S \text{ cm}^{-1}$)	$SD_{\sigma_{\text{gas}}}$	σ_{gas}^* ($S \text{ cm}^{-1}$)	$SD_{\sigma_{\text{gas}}}$	σ_{gas}^* ($S \text{ cm}^{-1}$)	$SD_{\sigma_{N_2,\text{after}}}$
500	1 st	0.0045	4.377E+02	1.510E+03	9.500E+02	4.505E+02	1.803E+01	1.586E+03	1.065E+02	9.968E+02	6.622E+01
		0.0041	4.632E+02	1.661E+03	1.044E+03						
	2 nd	0.0045	9.500E+02	1.519E+03	9.618E+02	9.953E+02	6.406E+01	1.572E+03	7.524E+01	1.006E+03	6.215E+01
		0.0041	1.041E+03	1.625E+03	1.050E+03						
	3 rd	0.0045	9.618E+02	1.497E+03	9.573E+02	9.963E+02	4.873E+01	1.576E+03	1.112E+02	1.007E+03	7.013E+01
		0.0041	1.031E+03	1.654E+03	1.056E+03						
250	1 st	0.0041	4.553E+02	1.292E+03	1.045E+03	4.463E+02	1.281E+01	1.264E+03	4.066E+01	1.022E+03	3.284E+01
		0.0043	4.372E+02	1.235E+03	9.983E+02						
	2 nd	0.0041	1.045E+03	1.300E+03	1.054E+03	1.022E+03	3.284E+01	1.271E+03	4.102E+01	1.027E+03	3.791E+01
		0.0043	9.983E+02	1.242E+03	1.000E+03						
	3 rd	0.0041	1.054E+03	1.282E+03	1.039E+03	1.028E+03	3.661E+01	1.255E+03	3.770E+01	1.031E+03	1.151E+01
		0.0043	1.002E+03	1.228E+03	1.023E+03						
125	1 st	0.0042	4.483E+02	1.133E+03	1.012E+03	4.582E+02	1.410E+01	1.153E+03	2.782E+01	1.033E+03	2.925E+01
		0.0040	4.682E+02	1.172E+03	1.053E+03						
	2 nd	0.0042	1.012E+03	1.134E+03	1.027E+03	1.012E+03	4.661E-01	1.145E+03	1.538E+01	1.033E+03	8.107E+00
		0.0040	1.013E+03	1.156E+03	1.038E+03						
	3 rd	0.0042	1.027E+03	1.133E+03	1.027E+03	1.034E+03	1.067E+01	1.161E+03	3.936E+01	1.044E+03	2.477E+01
		0.0040	1.042E+03	1.189E+03	1.062E+03						

หมายเหตุ

อัตราส่วนโดยไม่ลดลงของมอนอเมอร์กับสารกระตุ้นพาราบินประจุเท่ากับ 1 ต่อ 1



ภาพที่ 76 ค่ากระแสไฟฟ้าที่จุดสมดุลของ 3-PPy oxime ในบรรยายกาศของไօระเหยสารตัวอย่าง
ความเข้มข้นต่างๆ

4.3.3.3 การศึกษาพฤติกรรมการตอบสนองต่อไออกไซด์โซเดียมและมีความเข้มข้นไออกไซด์สารตัวอย่างเปลี่ยนแปลงอย่างต่อเนื่อง

ในการทดสอบนี้เพื่อศึกษาพฤติกรรมการตอบสนองของพอลิเมอร์เพื่อทดสอบกับไออกไซด์สารตัวอย่างที่มีการเปลี่ยนแปลงความเข้มข้นอย่างต่อเนื่องจาก 500 ppm เป็น 250 ppm และ 125 ppm ตามลำดับ โดยในการทดสอบจะทำซ้ำ 2 ครั้งซึ่งข้อมูลค่าเฉลี่ยและการกระจายตัวได้ดังแสดงในตารางที่ 21 และ 22 และภาพที่ 77 ซึ่งสามารถสรุปพฤติกรรมการตอบสนองต่อไออกไซด์สารตัวอย่างเมื่อความเข้มข้นไออกไซด์สารตัวอย่างเปลี่ยนแปลงอย่างต่อเนื่องได้ดังนี้

4.3.3.3.1 ค่ากระแสไฟฟ้าในบรรยายกาศของก๊าซไนโตรเจน ($I_{N_2, \text{before}}$) ก่อนการป้อนไออกไซด์สารตัวอย่าง

1. ค่ากระแสไฟฟ้าที่ทดสอบในบรรยายกาศก๊าซไนโตรเจน ($I_{N_2, \text{before}}$) รอบแรกของการทดสอบกับไออกไซด์สารตัวอย่างความเข้มข้น 500 ppm ทั้งที่ทดสอบภายใต้บรรยายกาศก๊าซไนโตรเจนและไอโอดีอิทิลเอทอเรียมีค่าต่ำที่สุดเนื่องจากไม่มีโมเลกุลของไออกไซด์อยู่ในโครงสร้างของพอลิเมอร์เลย ในขณะที่ค่ากระแสไฟฟ้า ($I_{N_2, \text{before}}$) ในการทดสอบกับไออกไซด์สารตัวอย่างความเข้มข้น 250 ppm และ 125 ppm มีค่าสูงกว่าในรอบแรกเล็กน้อย เนื่องจากมีโมเลกุลของไออกไซด์บางส่วนหลงเหลืออยู่หลังจากการทดสอบรอบก่อนหน้าซึ่งถูกขับไล่ออกไปไม่หมดทำหน้าที่เป็นตัวพาสติไซเซอร์ให้กับโมเลกุลพอลิเมอร์

2. ค่ากระแสไฟฟ้า ($I_{N_2, \text{before}}$) ในการทดสอบกับไออกไซด์สารตัวอย่างความเข้มข้น 250 ppm และ 125 ppm ของพอลิเมอร์ทุกชนิดมีค่าใกล้เคียงกันมาก แสดงว่าปริมาณไออกไซด์ที่หลงเหลืออยู่ในโครงสร้างมีค่าจำกัดค่าหนึ่ง โดยพบว่าค่ากระแสไฟฟ้า ($I_{N_2, \text{before}}$) ในการทดสอบกับไออกไซด์สารตัวอย่างความเข้มข้น 250 ppm และ 125 ppm ของ 3-PPy oxime FCC มีค่ามากกว่าค่ากระแสไฟฟ้า ($I_{N_2, \text{before}}$) ในการทดสอบกับไออกไซด์สารตัวอย่างความเข้มข้น 250 ppm และ 125 ppm ของ 3-PPy oxime และ PPy ตามลำดับ แสดงว่าโมเลกุลของไออกไซด์เหล่านี้หลังจากการทดสอบนั้นไม่สามารถถูกปลดปล่อยขับไล่ออกไปได้หมด โดยส่วนใหญ่ยังคงค้างอยู่ในโครงสร้าง เนื่องจาก 3-PPy oxime FCC มีความเป็นขั้วสูงกว่า 3-PPy oxime และ PPy ทำให้โมเลกุลของไออกไซด์ยังคงติดค้างอยู่ในโครงสร้างมากกว่า ค่ากระแสไฟฟ้าสูงกว่า

4.3.3.2 ค่ากระแสไฟฟ้าในบรรยากาศไอระเหยสารตัวอย่าง (I_{gas})

1. เปรียบเทียบค่ากระแสไฟฟ้าของพอลิเมอร์ที่ทุกค่าความเข้มข้นไอระเหยสารตัวอย่างมีแนวโน้มเดียวกัน คือ ค่ากระแสไฟฟ้าที่ทดสอบกับไอระเหยสารตัวอย่างสามารถเรียงลำดับจากมากไปน้อยได้ดังนี้ $500 \text{ ppm} > 250 \text{ ppm} > 125 \text{ ppm}$ เนื่องจากปริมาณไอระเหยสารตัวอย่างมีผลต่อความสามารถในการทำหน้าที่เป็นตัวพลาสติไซต์ไมเลกุลพอลิเมอร์ และช่วยทำให้เกลือแทกตัวและช่วยห่อหุ้มแอนไօอ่อนและแคทไօอ่อนของเกลือเมื่อความเข้มข้นไอระเหยสารตัวอย่างลดลง ค่ากระแสไฟฟ้าจึงต่ำลง

2. ในกรณีการทดสอบกับไオเมทานอล เมื่อมีการปรับลดค่าความเข้มข้นไอระเหยจาก 500 ppm เป็น 250 ppm พบว่า ค่ากระแสไฟฟ้า (I_{gas}) ในการทดสอบกับไօระเหยสารตัวอย่างความเข้มข้น 250 ppm มีค่าต่ำกว่าค่ากระแสไฟฟ้า (I_{gas}) ที่วัดได้ในการทดสอบกับไオเมทานอล 500 ppm มีstanเหตุจาก 2 ปัจจัย คือ ปัจจัยแรกเป็นผลจากการปรับลดความเข้มข้นไօระเหยสารตัวอย่างลงครึ่งหนึ่ง ปัจจัยที่สองดังที่ได้อธิบายมาก่อนหน้านี้ ซึ่งเป็นผลจากการเกิด Chemical Absorption ระหว่างโมเลกุลไオเมทานอลและโมเลกุลพอลิเมอร์ ทั้งสองปัจจัยนี้ล้วนแล้วแต่ทำให้ค่ากระแสไฟฟ้าที่อ่านได้ของพอลิเมอร์ที่ทดสอบกับไօระเหยเมทานอลความเข้มข้น 250 ppm มีค่าต่ำกว่าเมื่อทดสอบกับไオเมทานอล 500 ppm

4.3.3.3 ค่ากระแสไฟฟ้าในบรรยากาศก๊าซในโครงงานภายหลังการป้อนไօระเหยสารตัวอย่าง ($I_{N2,after}$)

1. ค่ากระแสไฟฟ้า ($I_{N2,after}$) ที่วัดได้ของพอลิเมอร์แต่ละชนิดมีแนวโน้มเดียวกัน คือ พอลิเมอร์ที่มีความเป็นขั้วมากกว่า และมีระบบห่วงระหว่างสายโล่มากกว่าจะนำไฟฟ้าได้ดีกว่า เรียงตามลำดับจากมากไปน้อยได้ดังนี้ 3-PPy oxime FCC > 3-PPy oxime > PPY

2. ค่ากระแสไฟฟ้า ($I_{N2,after}$) ที่วัดได้มีค่าใกล้เคียงกันในทุกค่าความเข้มข้นไօระเหยสารตัวอย่าง แสดงว่าไօระเหยสารตัวอย่างมีความสามารถในการติดอยู่ในโครงสร้างได้สูงสุดค่าหนึ่งแม้ว่าค่าความเข้มข้นไօระเหยสารตัวอย่างมีค่าเพิ่มขึ้น ค่ากระแสไฟฟ้า ($I_{N2,after}$) ที่อ่านได้ก็มีค่าใกล้เคียงกันในทุกค่าความเข้มข้น

3. ในกรณีที่ทดสอบกับไօ ไดเอทธิล อีเทอร์ค่ากระแสไฟฟ้า ($I_{N2,after}$) ที่อ่านได้มีค่าสูงกว่ากรณีที่ทดสอบกับไօเมทานอลเนื่องจากไօ ไดเอทธิล อีเทอร์ที่มีขนาดโมเลกุลใหญ่กว่าไօเมทานอล ส่งผลทำให้ไօ ไดเอทธิล อีเทอร์ถูกขับไล่ออกไปไม่หมด และยังคงเหลือติดค้างอยู่ในโครงสร้างของพอลิเมอร์มากกว่า การทำหน้าที่เป็นพลาสติไซเซอร์ของไօ

ระยะสารตัวอย่างทำให้อิเล็กตรอนและไอออนสามารถเคลื่อนที่ได้จริงมีมากกว่า ค่ากระแสไฟฟ้าที่วัดได้จริงมีค่าสูงกว่า

ตารางที่ 21 ข้อมูลค่ากระแสไฟฟ้าในบรรยากาศของตัวอย่างของพอลิเมอร์แต่ละชนิดในการทดสอบไฮเมทานล์ความเข้มข้นเปลี่ยนแปลงอย่างต่อเนื่อง

Sample name	Gas concentration (ppm)	Specimen Thickness (cm)	Current(Amp)			Current*(Amp)					
			I _{N2,before}	I _{gas}	I _{N2,after}	I* _{N2,before}	SD*	I* _{gas}	SD*	I* _{N2,after}	SD*
PPy	500	0.0048	2.887E-05	9.078E-05	4.668E-05	2.868E-05	2.758E-07	9.024E-05	7.637E-07	4.682E-05	1.909E-07
		0.0047	2.848E-05	8.970E-05	4.695E-05						
	250	0.0048	4.668E-05	8.326E-05	4.742E-05	4.682E-05	1.909E-07	8.285E-05	5.869E-07	4.723E-05	2.758E-07
		0.0047	4.695E-05	8.243E-05	4.703E-05						
	125	0.0048	4.742E-05	7.243E-05	4.708E-05	4.723E-05	2.758E-07	7.207E-05	5.091E-07	4.724E-05	2.263E-07
		0.0047	4.703E-05	7.171E-05	4.740E-05						
3-PPy oxime	500	0.0044	2.865E-05	1.375E-04	5.981E-05	2.817E-05	6.788E-07	1.389E-04	1.980E-06	5.968E-05	1.909E-07
		0.0040	2.769E-05	1.403E-04	5.954E-05						
	250	0.0044	5.981E-05	1.168E-04	5.981E-05	5.968E-05	1.909E-07	1.156E-04	1.768E-06	5.977E-05	6.364E-08
		0.0040	5.954E-05	1.143E-04	5.972E-05						
	125	0.0044	5.981E-05	1.034E-04	5.985E-05	5.977E-05	6.364E-08	1.014E-04	2.871E-06	5.973E-05	1.697E-07
		0.0040	5.972E-05	9.934E-05	5.961E-05						
3-PPy oxime FCC	500	0.0042	3.250E-05	4.343E-04	1.042E-04	3.232E-05	2.616E-07	4.312E-04	4.455E-06	9.887E-05	7.545E-06
		0.0040	3.213E-05	4.280E-04	9.353E-05						
	250	0.0042	1.042E-04	3.120E-04	1.044E-04	9.987E-05	6.131E-06	3.091E-04	4.172E-06	1.022E-04	3.175E-06
		0.0040	9.553E-05	3.061E-04	9.991E-05						
	125	0.0042	1.044E-04	2.191E-04	1.097E-04	1.022E-04	3.175E-06	2.079E-04	1.584E-05	9.995E-05	1.380E-05
		0.0040	9.991E-05	1.967E-04	9.019E-05						

หมายเหตุ

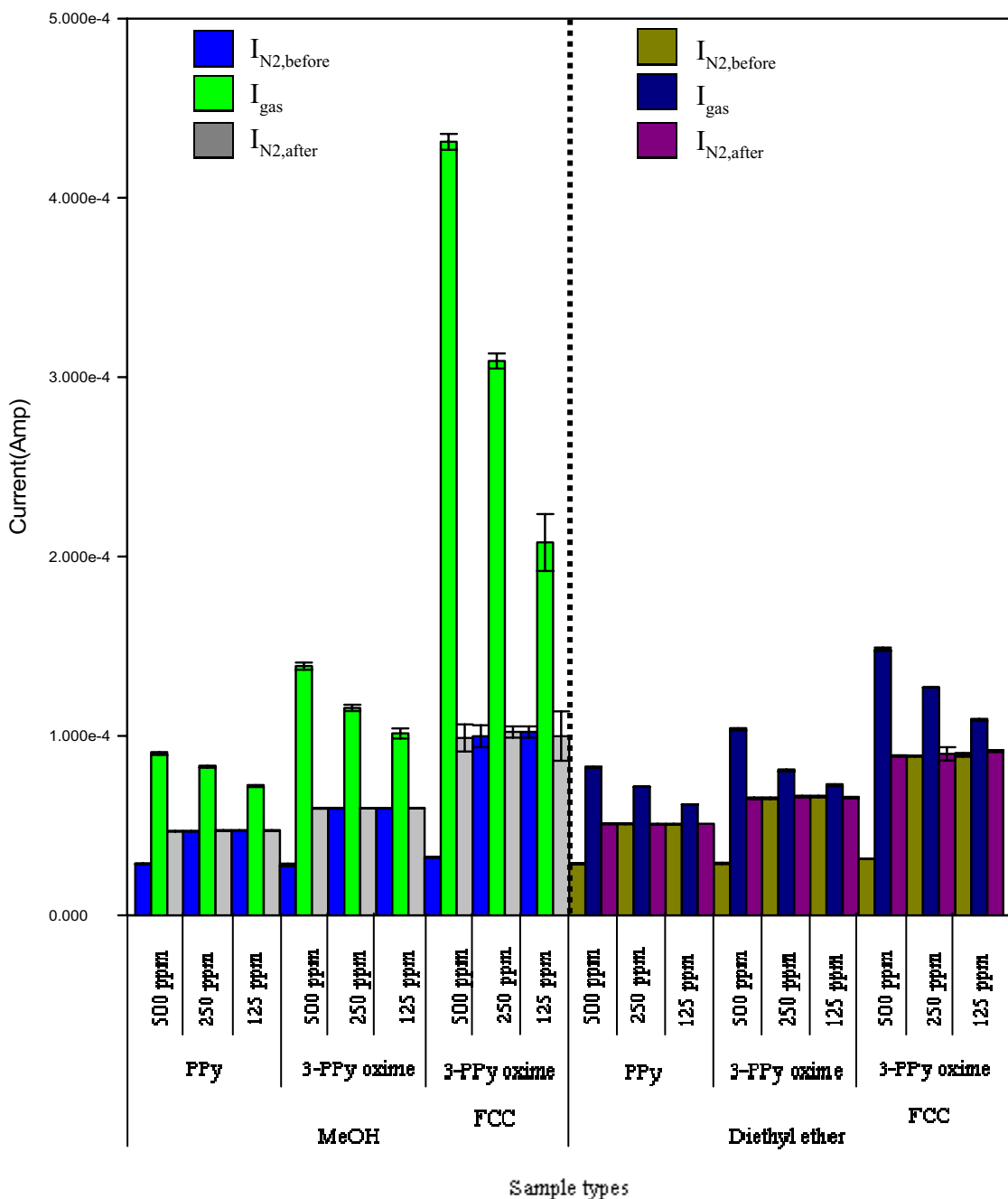
อัตราส่วนโดยไม่รวมห่วงมอนอมอร์กับสารกระตุ้นพำน้ำประจุเท่ากับ 1 ต่อ 1

ตารางที่ 22 ข้อมูลค่ากระแสไฟฟ้าในบรรยากาศของตัวอย่างของพอลิเมอร์แต่ละชนิดในการทดสอบไอไดอิทิลอีเทอร์ความเข้มข้นเปลี่ยนแปลงอย่างต่อเนื่อง

Sample name	Gas concentration (ppm)	Specimen Thickness (cm)	Current(Amp)			Current*(Amp)					
			I _{N2,before}	I _{gas}	I _{N2,after}	I* _{N2,before}	SD*	I* _{gas}	SD*	I* _{N2,after}	SD*
PPy	500	0.0049	2.898E-05	8.275E-05	5.083E-05	2.876E-05	3.182E-07	8.247E-05	3.960E-07	5.100E-05	2.333E-07
		0.0048	2.853E-05	8.219E-05	5.116E-05						
	250	0.0049	5.083E-05	7.166E-05	5.095E-05	5.100E-05	2.333E-07	7.164E-05	2.828E-08	5.077E-05	2.616E-07
		0.0048	5.116E-05	7.162E-05	5.058E-05						
	125	0.0049	5.095E-05	6.173E-05	5.095E-05	5.077E-05	2.616E-07	6.181E-05	1.131E-07	5.095E-05	0.000E+00
		0.0048	5.058E-05	6.189E-05	5.095E-05						
3-PPy oxime	500	0.0041	2.859E-05	1.033E-04	6.491E-05	2.890E-05	4.384E-07	1.038E-04	6.364E-07	6.523E-05	4.455E-07
		0.0042	2.921E-05	1.042E-04	6.554E-05						
	250	0.0041	6.491E-05	8.044E-05	6.576E-05	6.523E-05	4.455E-07	8.081E-05	5.233E-07	6.612E-05	5.091E-07
		0.0042	6.554E-05	8.118E-05	6.648E-05						
	125	0.0041	6.576E-05	7.214E-05	6.527E-05	6.612E-05	5.091E-07	7.253E-05	5.445E-07	6.559E-05	4.455E-07
		0.0042	6.648E-05	7.291E-05	6.590E-05						
3-PPy oxime FCC	500	0.0043	3.145E-05	1.476E-04	8.857E-05	3.139E-05	8.485E-08	1.483E-04	9.192E-07	8.884E-05	3.748E-07
		0.0044	3.133E-05	1.489E-04	8.910E-05						
	250	0.0043	8.857E-05	1.269E-04	8.740E-05	8.874E-05	2.404E-07	1.270E-04	7.071E-08	9.005E-05	3.748E-06
		0.0042	8.891E-05	1.270E-04	9.270E-05						
	125	0.0043	8.874E-05	1.094E-04	9.190E-05	8.951E-05	1.082E-06	1.090E-04	5.657E-07	9.153E-05	5.303E-07
		0.0042	9.027E-05	1.086E-04	9.115E-05						

หมายเหตุ

อัตราส่วนโดยไม่ระบุว่างมอนอมอร์กับสารกระตุ้นพำน้ำประจุเท่ากับ 1 ต่อ 1



ภาพที่ 77 ค่ากระแสไฟฟ้าที่จุดสมดุลของพอลิเมอร์ในบรรยายกาศของไออกซ์เจนเหลวตัวอย่างความเข้มข้นเปลี่ยนแปลงอย่างต่อเนื่อง (เฉลี่ยวจากการทดสอบช้าสองครั้ง)

4.3.3.4 ร้อยละการตอบสนองต่อไออกซิเจนสารตัวอย่าง (%S)

ร้อยละการตอบสนองต่อไออกซิเจนสารตัวอย่าง (%S) คำนวณได้จากการเปรียบเทียบค่าสภาพการนำไฟฟ้าจำเพาะในบรรยายกาศก๊าซไนโตรเจนก่อนการปล่อยไออกซิเจนสารตัวอย่าง ($\sigma_{N_2, \text{before}}$) กับค่าสภาพการนำไฟฟ้าจำเพาะในบรรยายกาศไออกซิเจนสารตัวอย่าง (σ_{gas}) โดยจะพิจารณาตามลักษณะการทดสอบ มีรายละเอียดดังต่อไปนี้

4.3.3.4.1 ร้อยละการตอบสนองต่อไออกซิเจนสารตัวอย่างของพอลิเมอร์เมื่อความเข้มข้นคงที่

ข้อมูลค่าสภาพการนำไฟฟ้าจำเพาะแสดงไว้ในตารางที่ 14 และ 16 และภาพที่ 78 จากข้อมูลค่าสภาพการนำไฟฟ้าสามารถนำมาหาค่าร้อยละการตอบสนองต่อไออกซิเจนสารตัวอย่างซึ่งแสดงไว้ในตารางที่ 23 และภาพที่ 79 ซึ่งมีรายละเอียดดังนี้

1. ค่าร้อยละการตอบสนองต่อไออกซิเจนสารตัวอย่างของพอลิเมอร์ทุกชนิดในการทดสอบรอบที่ 1 จะสูงมากกว่าในรอบที่ 2 และ 3 เนื่องจากเป็นการเปรียบเทียบจากค่าสภาพการนำไฟฟ้าจำเพาะในสภาพที่มีและไม่มีไออกซิเจนสารตัวอย่าง โดยในรอบที่ 1 นั้น ไม่เลกุลของพอลิเมอร์ไม่เคยผ่านไออกซิเจนมาก่อน ดังนั้นค่าสภาพการนำไฟฟ้าจำเพาะที่วัดได้ในสภาพที่ไม่มีไออกซิเจนสารตัวอย่าง ($I_{N_2, \text{before}}$) จึงต่ำมาก ค่าร้อยละการตอบสนองของการทดสอบรอบแรกนี้จึงถือได้ว่าเป็นค่าความว่องไวบริสุทธิ์ (Virgin sensitivity) ของพอลิเมอร์นั้น ในขณะที่ในรอบที่ 2 และ 3 ไม่เลกุลของพอลิเมอร์เคยผ่านไออกซิเจนสารตัวอย่างมาก่อนแล้วทำให้มีไม่เลกุลของไออกซิเจนสารตัวอย่างบางส่วนหลงเหลืออยู่จากการทดสอบในรอบก่อนหน้า ทำให้ค่ากระแสไฟฟ้าที่อ่านได้ในสภาพที่ไม่ได้ออยู่ในไออกซิเจนสารตัวอย่างมีค่ามากกว่าในรอบที่ 1 ส่งผลทำให้ค่าร้อยละการตอบสนองต่อไออกซิเจนสารตัวอย่างในรอบที่ 2 และ 3 มีค่าใกล้เคียงกันและมีค่าที่ต่ำกว่าค่าที่คำนวณได้จากการทดสอบในรอบที่ 1 มาก ค่าร้อยละการตอบสนองของการทดสอบรอบที่ 2 และ 3 นี้จึงถือได้ว่าเป็นค่าความว่องไวอิ่มตัว (Saturated sensitivity) ของพอลิเมอร์นั้น

2. ในกรณีของพอลิเมอร์ที่ทดสอบกับไออกซิเจนอล พบร่วมค่าร้อยละการตอบสนองต่อไออกซิเจนสารตัวอย่างของพอลิเมอร์มีแนวโน้มเดียวกัน คือพอลิเมอร์ที่มีความเป็นขี้สูงและมีช่องว่างระหว่างไม่เลกุลมากกว่าจะตอบสนองต่อไออกซิเจนอลได้ดีกว่า และสามารถเรียงลำดับร้อยละการตอบสนองต่อไออกซิเจนสารตัวอย่างจากมากไปน้อยได้ดังนี้ 3-PPy oxime FCC > 3-PPy oxime > PPY

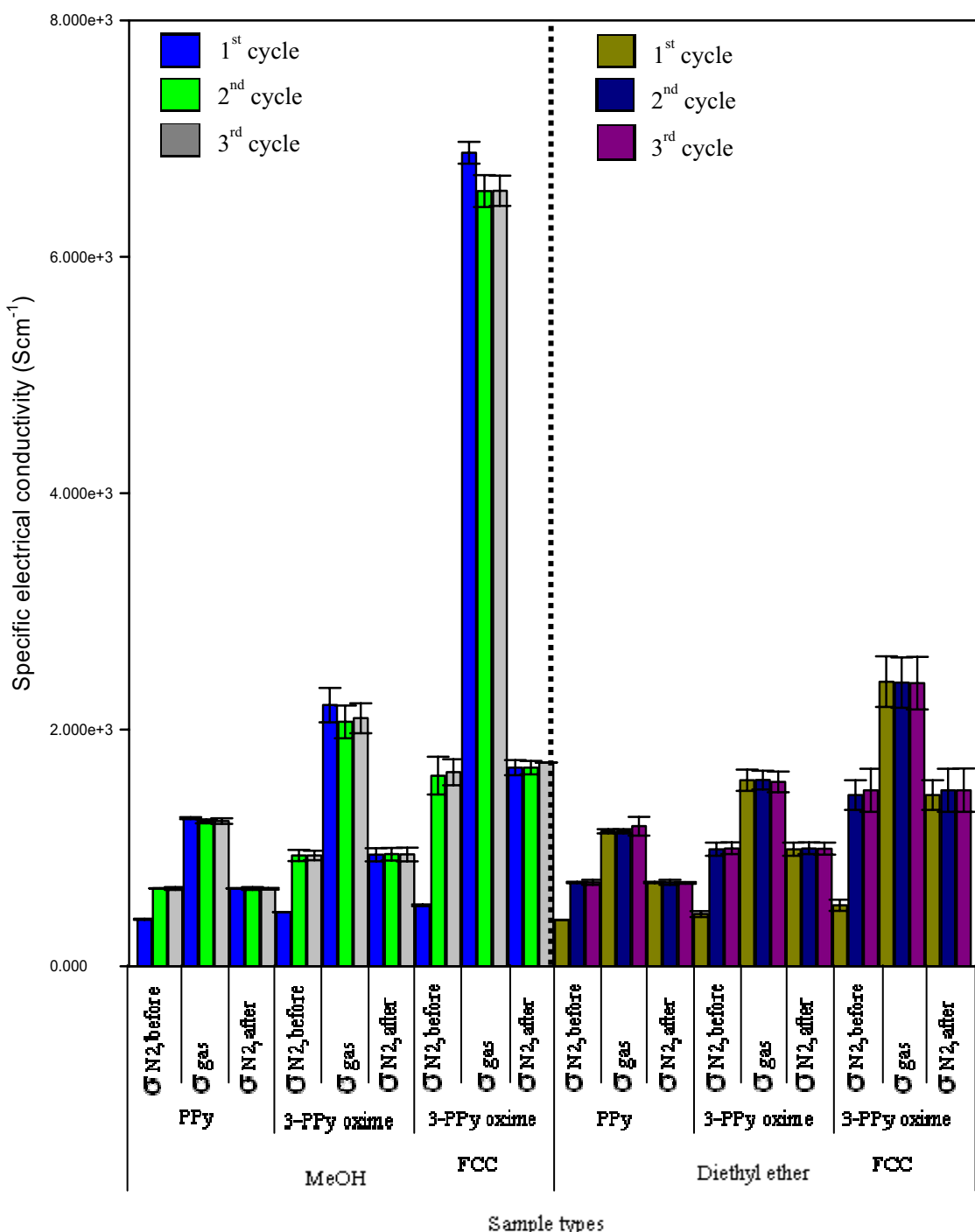
3. ในกรณีของพอลิเมอร์ที่ทดสอบกับไอไดออกซิลีเทอร์ พบร่วมกับร้อยละการตอบสนองของพอลิเมอร์ทุกชนิดต่อไอไดออกซิลีเทอร์ในรอบที่ 2 และ 3 มีค่าใกล้เคียงกันมาก (อยู่ในช่วง 10%) เนื่องจากการที่ไอไดออกซิลีเทอร์ มีความเป็นขั้วที่น้อยกว่า ทำให้การแตกตัวของ LiF ได้น้อยกว่าในกรณีของเมทานอล

4. เปรียบเทียบค่าร้อยละการตอบสนองต่อไอระเหยของพอลิเมอร์ในกลุ่มที่ทดสอบกับไอเมทานอลจะให้ค่ากระแสไฟฟ้าที่สูงมากกว่ากลุ่มที่ทดสอบกับไอไดออกซิลีเทอร์ เนื่องจากสมบัติความเป็นขั้วของไอระเหยสารตัวอย่างมีผลต่อการทำหน้าที่พลาสติไซส์โนมเลกูลของพอลิเมอร์ นอกจากนี้ ยังไอระเหยทดสอบมีความเป็นขั้วมาก จะช่วยทำให้ LiF แตกตัวและถูก solvate ด้วยไอของสาร ได้ดีขึ้นเพิ่มเสถียรภาพให้กับไออ่อนของลิตีียม และฟลูออไรด์ซึ่งเกิดสารกระตุนให้เกิดพาหะในการพาประจุ (dopant) โดยทำให้ไออ่อนของฟลูออไรด์สามารถทำหน้าที่เป็นตัวสะเทินประจุ (counter ion) ให้กับประจุบวกบนสายโซ่พอลิเมอร์ และ Fe(III) ในหมู่ FCC ดังนั้น การเคลื่อนที่ของอิเล็กตรอนและไออ่อนของฟลูออไรด์จึงเป็นไปได้ดีขึ้น นอกจากนี้ขนาดโนมเลกูลของไอระเหยสารตัวอย่างที่มีขนาดเล็ก สามารถแทรกแพร่ผ่านช่องว่างระหว่างโนมเลกูลของพอลิเมอร์ได้ง่ายกว่า ช่วยทำหน้าที่ในการพลาสติไซส์โนมเลกูลของพอลิเมอร์ได้ดีขึ้นอีกด้วย ดังนั้นกลุ่มที่ทำการทดสอบกับไอเมทานอลจึงมีค่าร้อยละการตอบสนองต่อไอระเหยที่สูงมากกว่ากลุ่มที่ทดสอบกับไอไดออกซิลีเทอร์

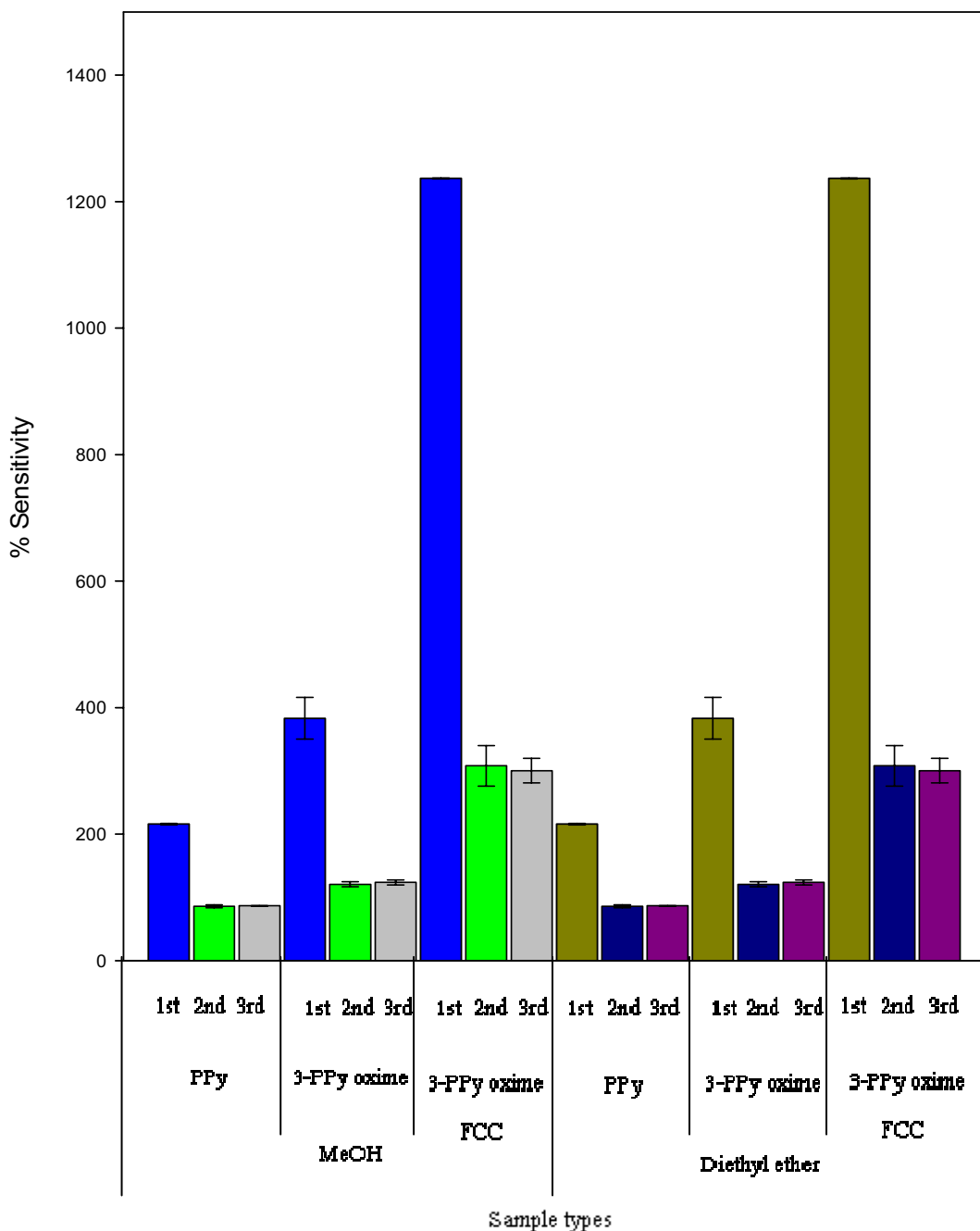
ตารางที่ 23 ข้อมูลร้อยละการตอบสนองของพอลิเมอร์แต่ละชนิดในการทดสอบกับไออกະເຫຍສາຣຕ້ວອຍ່າງຄວາມເຂັ້ມ່ນ 500 ppm

Sample name	Cycle	% sensitivity							
		MeOH				Diethyl ether			
		1 st sample	2 nd sample	avg	SD	1 st sample	2 nd sample	avg	SD
PPy	1 st	2.166E+02	2.150E+02	2.158E+02	1.192E+00	2.166E+02	2.150E+02	2.158E+02	1.192E+00
	2 nd	8.414E+01	8.767E+01	8.590E+01	2.496E+00	8.414E+01	8.767E+01	8.590E+01	2.496E+00
	3 rd	8.669E+01	8.699E+01	8.684E+01	2.080E-01	8.669E+01	8.699E+01	8.684E+01	2.080E-01
3-PPy oxime	1 st	3.598E+02	4.067E+02	3.833E+02	3.312E+01	3.598E+02	4.067E+02	3.833E+02	3.312E+01
	2 nd	1.179E+02	1.234E+02	1.207E+02	3.921E+00	1.179E+02	1.234E+02	1.207E+02	3.921E+00
	3 rd	1.209E+02	1.265E+02	1.237E+02	3.961E+00	1.209E+02	1.265E+02	1.237E+02	3.961E+00
3-PPy oxime FCC	1 st	1.237E+03	1.236E+03	1.237E+03	6.536E-01	1.237E+03	1.236E+03	1.237E+03	6.536E-01
	2 nd	2.855E+02	3.309E+02	3.082E+02	3.208E+01	2.855E+02	3.309E+02	3.082E+02	3.208E+01
	3 rd	2.868E+02	3.141E+02	3.004E+02	1.935E+01	2.868E+02	3.141E+02	3.004E+02	1.935E+01

หมายเหตุ อัตราส่วนโดยไมตระหว่างมอนомнอมอร์กับสารกระตุ้นพาหะนำ/prชุเท่ากับ 1 ต่อ 1



ภาพที่ 78 ค่าสภาพการนำไฟฟ้าของพอลิเมอร์ ที่จุดสมดุลในบรรยายกาศของไอระเหยสารตัวอย่าง
ความเข้มข้นคงที่ที่ 500 ppm



ภาพที่ 79 ค่าร้อยละการตอบสนองของพอลิเมอร์ที่จุดสมดุลในบรรยายกาศของไօระเหยสารตัวอย่างความเข้มข้นคงที่ที่ 500 ppm

4.3.3.4.2 วิธีการทดสอบต่อไอระเหยสารตัวอย่างที่ความเข้มข้นไอระเหยเปลี่ยนแปลง

สำหรับในหัวข้อนี้จะอธิบายพฤติกรรมการทดสอบสนองของพอลิเมอร์ 3-PPy oxime เมื่อความเข้มข้นไอระเหยสารตัวอย่าง ข้อมูลค่าสภาพการนำไฟฟ้าจำเพาะแสดงไว้ในตารางที่ 18 และภาพที่ 80 จากข้อมูลค่าสภาพการนำไฟฟ้าสามารถน้ำมานาหาค่าร้อยละความว่องไวต่อไอระเหยสารตัวอย่างซึ่งแสดงไว้ในตารางที่ 24 และภาพที่ 81 ซึ่งมีรายละเอียดดังนี้

1. ค่าร้อยละการทดสอบสนองต่อไอระเหยสารตัวอย่างของ 3-PPy oxime ในการทดสอบที่ 1 จะสูงมากกว่าในรอบที่ 2 และ 3 (แสดงพฤติกรรมในแนวโน้มเดียวกันกับหัวข้อ 4.3.3.4.1)

2. ค่าร้อยละการทดสอบสนองต่อไอระเหยสารตัวอย่างของพอลิเมอร์ 3-PPy oxime มีค่าในแนวโน้มเดียวกัน คือเมื่อความเข้มข้นไอระเหยสารตัวอย่างมีค่าลดลง ค่าร้อยละการทดสอบสนองต่อไอระเหยสารตัวอย่างมีค่าต่ำลง เรียงลำดับค่าร้อยละการทดสอบสนองต่อไอระเหยสารตัวอย่างจากมากไปน้อยดังนี้ $500 \text{ ppm} > 250 \text{ ppm} > 125 \text{ ppm}$

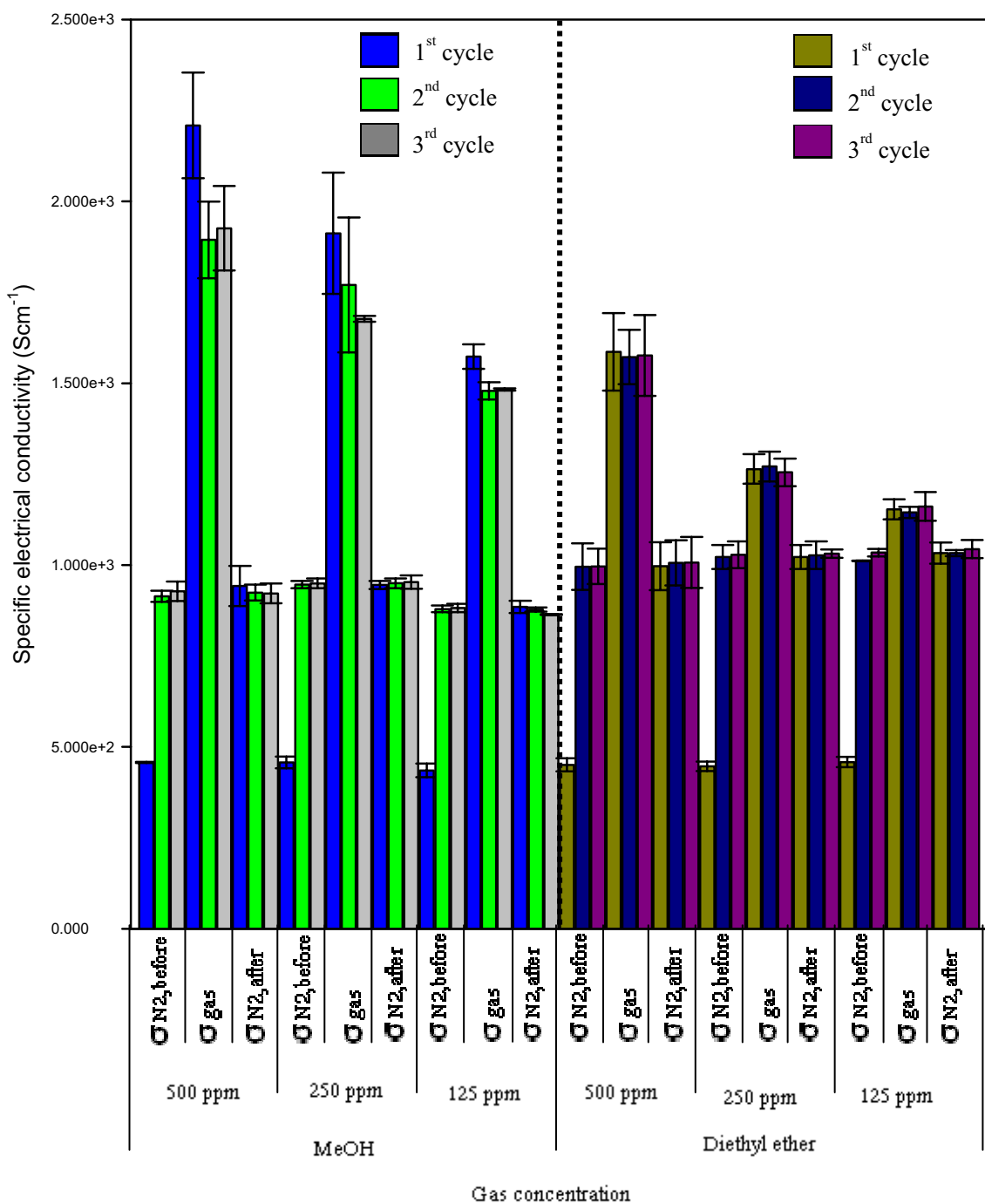
3. เปรียบเทียบค่าร้อยละการทดสอบสนองต่อไอระเหยของพอลิเมอร์ 3-PPy oxime ที่ค่าความเข้มข้นไอระเหยสารตัวอย่างค่าเดียวกันในกลุ่มที่ทดสอบกับไอเมทาโนลจะให้ค่ากระแสไฟฟ้าที่สูงมากกว่ากลุ่มที่ทดสอบกับไอกาลเอทิลเอเทอร์ เนื่องจากสมบัติความเป็นข้อของไอระเหยสารตัวอย่างมีผลต่อการทำหน้าที่พลาสติไซล์ส์ไมเลกุลของพอลิเมอร์

สำหรับระบบการทดสอบที่ไอระเหยสารตัวอย่างมีการเปลี่ยนแปลงค่าความเข้มข้นอย่างต่อเนื่อง แสดงข้อมูลค่าสภาพการนำไฟฟ้าจำเพาะแสดงไว้ในตารางที่ 25 และ 26 และภาพที่ 82 จากข้อมูลค่าสภาพการนำไฟฟ้าสามารถน้ำมานาหาค่าร้อยละความว่องไวต่อไอระเหยสารตัวอย่างซึ่งแสดงไว้ในตารางที่ 27 และภาพที่ 83 พบว่าแสดงพฤติกรรมการทดสอบสนองในทำนองเดียวกันกับระบบที่ทดสอบกับพอลิเมอร์ 3-PPy oxime เมื่อความเข้มข้นไอระเหยสารตัวอย่างเปลี่ยนแปลง กล่าวคือ ค่าร้อยละการทดสอบสนองต่อไอระเหยสารตัวอย่างสามารถเรียงลำดับจากมากไปน้อยได้ดังนี้ $3\text{-PPy oxime FCC} > 3\text{-PPy oxime} > \text{PPy}$

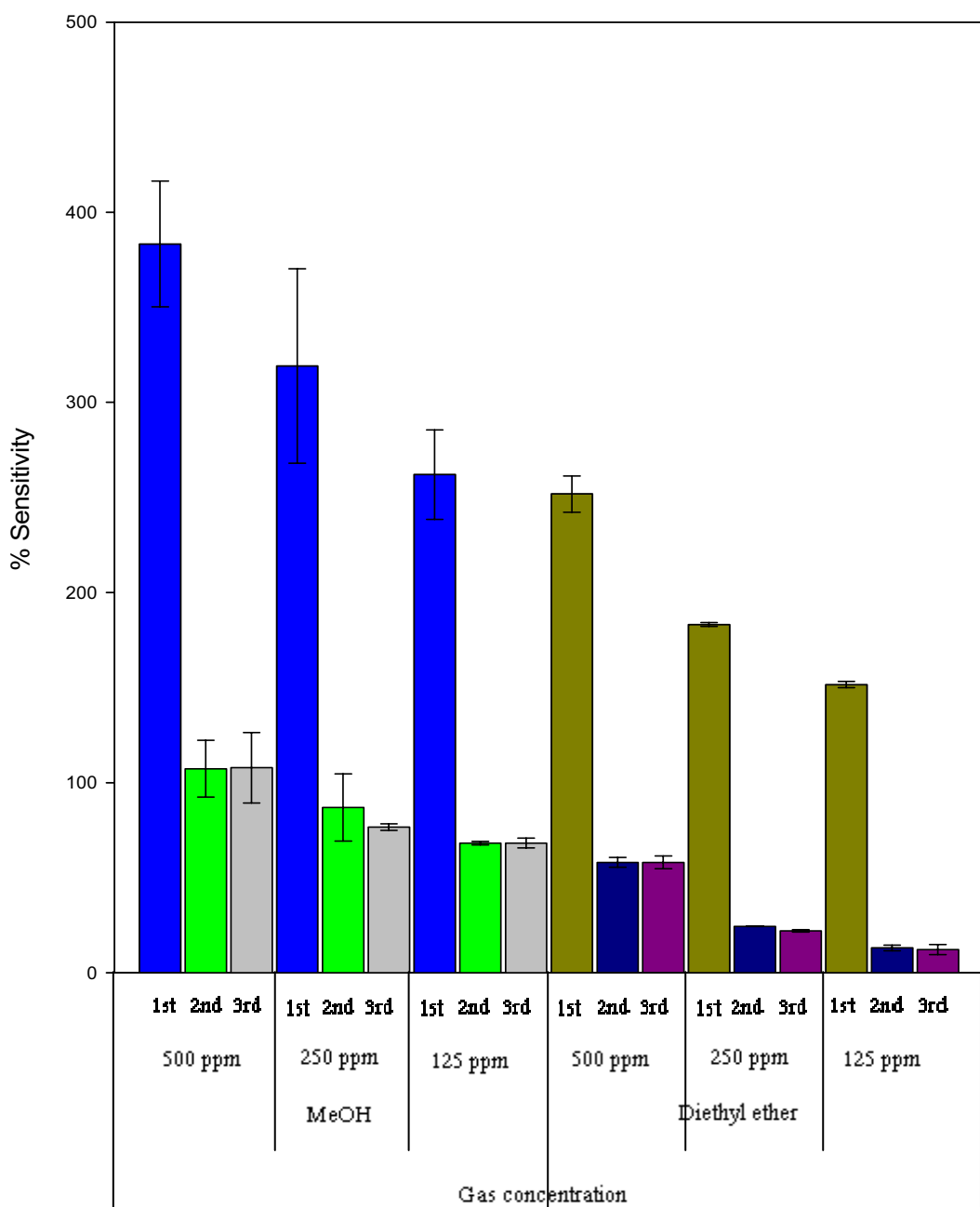
ตารางที่ 24 ข้อมูลร้อยละการตอบสนองบรรยายกาศของไօระเหยสารตัวอย่างของพอลิเมอร์ 3-PPy oxime ในกราฟทดสอบกับไօระเหยสารตัวอย่าง ความเข้มข้นค่าต่างๆ

Gas concentration (ppm)	Cycle	% sensitivity							
		MeOH				Diethyl ether			
		1 st sample	2 nd sample	avg	SD	1 st sample	2 nd sample	avg	SD
500	1 st	3.598E+02	4.067E+02	3.833E+02	3.312E+01	2.450E+02	2.586E+02	2.518E+02	9.552E+00
	2 nd	1.179E+02	9.676E+01	1.073E+02	1.494E+01	5.991E+01	5.621E+01	5.806E+01	2.614E+00
	3 rd	1.209E+02	9.471E+01	1.078E+02	1.853E+01	5.565E+01	6.050E+01	5.808E+01	3.432E+00
250	1 st	3.553E+02	2.829E+02	3.191E+02	5.117E+01	1.838E+02	1.824E+02	1.831E+02	9.880E-01
	2 nd	9.945E+01	7.452E+01	8.699E+01	1.763E+01	2.442E+01	2.440E+01	2.441E+01	1.614E-02
	3 rd	7.549E+01	7.786E+01	7.667E+01	1.672E+00	2.162E+01	2.258E+01	2.210E+01	6.805E-01
125	1 st	2.786E+02	2.454E+02	2.620E+02	2.351E+01	1.528E+02	1.504E+02	1.516E+02	1.669E+00
	2 nd	6.749E+01	6.891E+01	6.820E+01	1.003E+00	1.205E+01	1.413E+01	1.309E+01	1.468E+00
	3 rd	7.002E+01	6.637E+01	6.820E+01	2.582E+00	1.033E+01	1.408E+01	1.220E+01	2.647E+00

หมายเหตุ อัตราส่วนโดยไม่ระบุว่างมอนอเมอร์กับสารกระตุ้นพำน้ำประจุเท่ากับ 1 ต่อ 1



ภาพที่ 80 ค่าสภาวะการนำไฟฟ้าของพอลิเมอร์ 3-PPy oxime ที่จุดสมดุลในบรรยายกาศของไอระเหยสารตัวอย่างความเข้มข้นค่าต่างๆ



ภาพที่ 81 ค่าร้อยละการตอบสนองของพอลิเมอร์ 3-PPy oxime ที่จุดสมดุลในบรรยายกาศของ
ไฮโรเจนสารตัวอย่างความเข้มข้นค่าต่างๆ

ตารางที่ 25 ข้อมูลค่าสภาพการนำไฟฟ้าจำเพาะของพอลิเมอร์แต่ละชนิดในการทดสอบกับไออกไซด์สารตัวอ่อนความเข้มข้นเปลี่ยนแปลงต่อเนื่องจาก 500 ppm 250 ppm และ 125 ppm ตามลำดับ

Sample name	Gas concentration (ppm)	Specimen	%S		%S*		SD	
			MeOH	Diethyl ether	MeOH	Diethyl ether	MeOH	Diethyl ether
PPy	500	I	2.144E+02	1.855E+02	2.147E+02	1.868E+02	3.633E-01	1.797E+00
		II	2.150E+02	1.881E+02				
	250	I	7.836E+01	4.098E+01	7.697E+01	4.049E+01	1.975E+00	6.983E-01
		II	7.557E+01	3.999E+01				
	125	I	5.274E+01	2.116E+01	5.261E+01	2.176E+01	1.869E-01	8.504E-01
		II	5.248E+01	2.236E+01				
3-PPy oxime	500	I	3.799E+02	2.613E+02	3.933E+02	2.590E+02	1.892E+01	3.244E+00
		II	4.067E+02	2.567E+02				
	250	I	9.529E+01	2.393E+01	9.363E+01	2.389E+01	2.343E+00	4.394E-02
		II	9.197E+01	2.386E+01				
	125	I	7.288E+01	9.702E+00	6.961E+01	9.687E+00	4.623E+00	2.112E-02
		II	6.634E+01	9.672E+00				
3-PPy oxime FCC	500	I	1.236E+03	3.693E+02	1.234E+03	3.723E+02	2.983E+00	4.205E+00
		II	1.232E+03	3.753E+02				
	250	I	1.994E+02	4.328E+01	2.099E+02	4.306E+01	1.485E+01	3.079E-01
		II	2.204E+02	4.284E+01				
	125	I	1.099E+02	2.328E+01	1.034E+02	2.179E+01	9.184E+00	2.104E+00
		II	9.688E+01	2.031E+01				

ตารางที่ 26 ข้อมูลค่าสภาพการนำไฟฟ้าจำเพาะของพอลิเมอร์แต่ละชนิดในการทดสอบกับไออกไซด์เทิลธีฟอร์ความเข้มข้นเปลี่ยนแปลงต่อเนื่องจาก 500 ppm
250 ppm และ 125 ppm ตามลำดับ

Sample name	Gas concentration (ppm)	Specimen Thickness (cm)	$\sigma_{N_2, \text{before}} (S \text{ cm}^{-1})$			$\sigma^* (S \text{ cm}^{-1})$					
			$\sigma_{N_2, \text{before}}$	σ_{gas}	$\sigma_{N_2, \text{after}}$	$\sigma^*_{N_2, \text{before}}$	SD*	σ^*_{gas}	SD*	$\sigma^*_{N_2, \text{after}}$	SD*
PPy	500	0.0049	3.899E+02	1.113E+03	6.838E+02	3.908E+02	1.373E+00	1.121E+03	1.096E+01	6.932E+02	1.328E+01
		0.0048	3.918E+02	1.129E+03	7.026E+02						
	250	0.0049	6.838E+02	9.640E+02	6.854E+02	6.932E+02	1.328E+01	9.738E+02	1.381E+01	6.900E+02	6.504E+00
		0.0048	7.026E+02	9.836E+02	6.946E+02						
	125	0.0049	6.854E+02	8.305E+02	6.854E+02	6.900E+02	6.504E+00	8.402E+02	1.379E+01	6.926E+02	1.010E+01
		0.0048	6.946E+02	8.500E+02	6.997E+02						
3-PPy oxime	500	0.0041	4.597E+02	1.661E+03	1.044E+03	4.591E+02	8.581E-01	1.648E+03	1.797E+01	1.036E+03	1.058E+01
		0.0042	4.585E+02	1.635E+03	1.029E+03						
	250	0.0041	1.044E+03	1.293E+03	1.057E+03	1.036E+03	1.058E+01	1.284E+03	1.356E+01	1.050E+03	9.810E+00
		0.0042	1.029E+03	1.274E+03	1.043E+03						
	125	0.0041	1.057E+03	1.160E+03	1.049E+03	1.050E+03	9.810E+00	1.152E+03	1.098E+01	1.042E+03	1.068E+01
		0.0042	1.043E+03	1.144E+03	1.034E+03						
3-PPy oxime FCC	500	0.0043	4.821E+02	2.263E+03	1.358E+03	4.758E+02	9.019E+00	2.247E+03	2.259E+01	1.346E+03	1.621E+01
		0.0044	4.694E+02	2.231E+03	1.335E+03						
	250	0.0043	1.358E+03	1.945E+03	1.340E+03	1.377E+03	2.663E+01	1.969E+03	3.386E+01	1.397E+03	8.138E+01
		0.0042	1.395E+03	1.993E+03	1.455E+03						
	125	0.0043	1.360E+03	1.677E+03	1.409E+03	1.389E+03	3.988E+01	1.691E+03	1.936E+01	1.420E+03	1.540E+01
		0.0042	1.417E+03	1.704E+03	1.431E+03						

หมายเหตุ

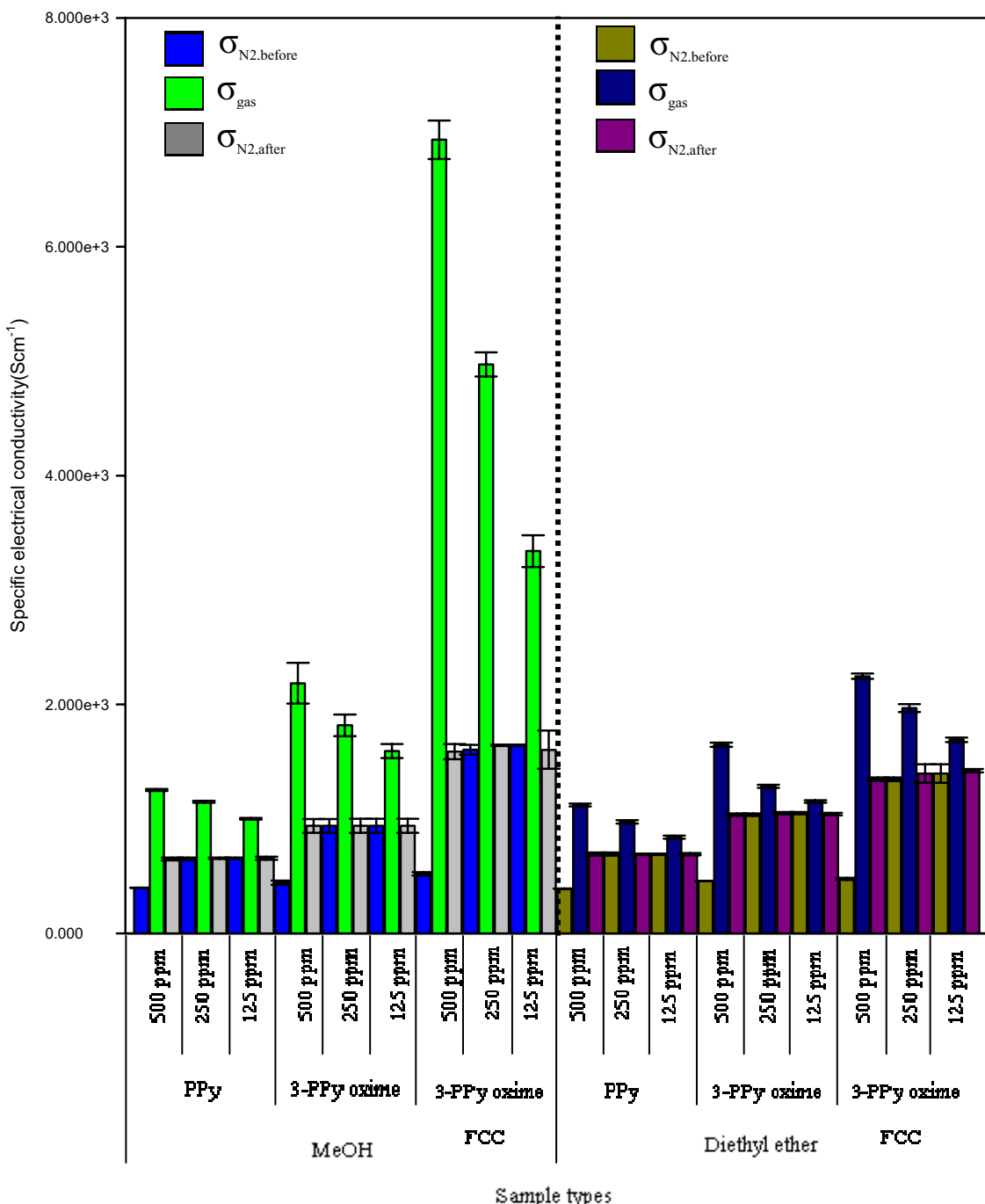
อัตราส่วนโดยไม่ระบุว่างอนอเมอร์กับสารกระตุ้นพาราฟินนำประจุเท่ากัน 1 ต่อ 1

ตารางที่ 27 ข้อมูลร้อยละการตอบสนองของพอลิเมอร์ในการทดสอบกับไฮโรเจนสารตัวอย่างความเข้มข้นเปลี่ยนแปลงต่อเนื่องจาก 500 ppm 250 ppm และ 125 ppm ตามลำดับ

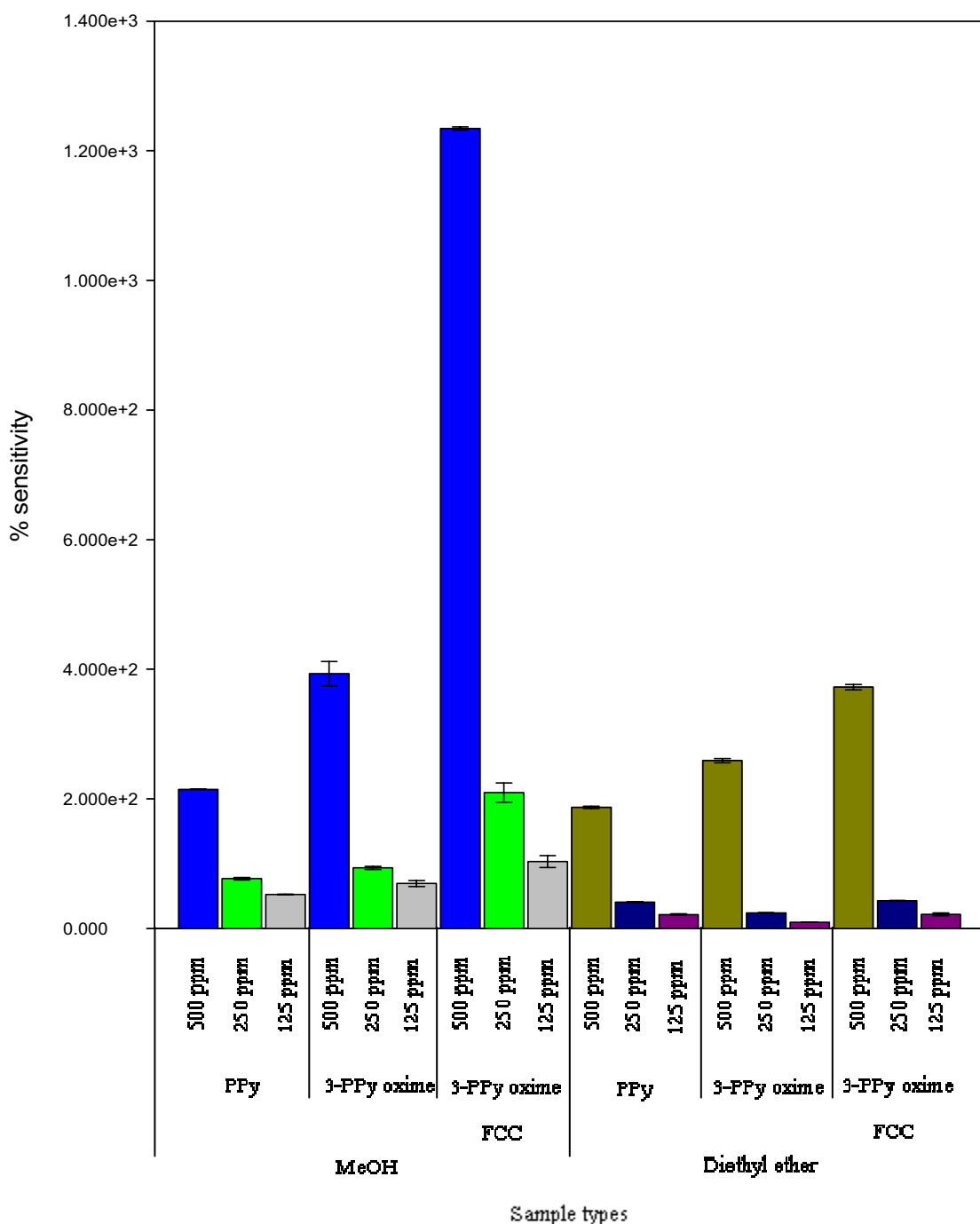
Sample name	Gas concentration (ppm)	Specimen	%S		%S*		SD	
			MeOH	Diethyl ether	MeOH	Diethyl ether	MeOH	Diethyl ether
PPy	500	I	2.144E+02	1.855E+02	2.147E+02	1.868E+02	3.633E-01	1.797E+00
		II	2.150E+02	1.881E+02				
	250	I	7.836E+01	4.098E+01	7.697E+01	4.049E+01	1.975E+00	6.983E-01
		II	7.557E+01	3.999E+01				
	125	I	5.274E+01	2.116E+01	5.261E+01	2.176E+01	1.869E-01	8.504E-01
		II	5.248E+01	2.236E+01				
3-PPy oxime	500	I	3.799E+02	2.613E+02	3.933E+02	2.590E+02	1.892E+01	3.244E+00
		II	4.067E+02	2.567E+02				
	250	I	9.529E+01	2.393E+01	9.363E+01	2.389E+01	2.343E+00	4.390E-02
		II	9.197E+01	2.386E+01				
	125	I	7.288E+01	9.702E+00	6.961E+01	9.687E+00	4.623E+00	2.110E-02
		II	6.634E+01	9.672E+00				
3-PPy oxime FCC	500	I	1.236E+03	3.693E+02	1.234E+03	3.723E+02	2.983E+00	4.205E+00
		II	1.232E+03	3.753E+02				
	250	I	1.994E+02	4.328E+01	2.099E+02	4.306E+01	1.485E+01	3.079E-01
		II	2.204E+02	4.284E+01				
	125	I	1.099E+02	2.328E+01	1.034E+02	2.179E+01	9.184E+00	2.104E+00
		II	9.688E+01	2.031E+01				

หมายเหตุ

อัตราส่วนโดยประมาณของสารต้านพากเพียรที่ต้องใช้เพื่อทดสอบกับ 1 ต่อ 1



ภาพที่ 82 ค่าสภาพการนำไฟฟ้าของพอลิเมอร์ที่จุดสมดุลในบรรยายกาศของไออกซ์เจนสารตัวอย่าง
ความเข้มข้นเปลี่ยนแปลงอย่างต่อเนื่อง



ภาพที่ 83 ค่าร้อยละการตอบสนองของพอลิเมอร์ที่จุดสมดุลในบรรยายกาศของไอระเหยสารตัวอย่างความเข้มข้นที่มีการเปลี่ยนแปลงอย่างต่อเนื่อง

4.3.3.5 ระยะเวลาที่ใช้ในการตอบสนองต่อไอระเหยของพอลิเมอร์ (T_{res})

เวลาที่ใช้ในการตอบสนองต่อไอระเหย (T_{res}) เมื่อมีการป้อนไอระเหยสารตัวอย่างเข้าไป ข้อมูลได้แสดงในตารางที่ 28 และ 29 และภาพที่ 84 และ 85 ซึ่งมีรายละเอียดดังนี้

1. พอลิเมอร์ทุกชนิดมีเวลาที่ใช้ในการตอบสนองค่อนข้างเร็ว คือ น้อยกว่า 2 นาทีทุกชนิด (ภาพที่ 84) ทั้งนี้เนื่องจากพอลิเมอร์ถูกกระตุ้นให้เกิดพาหะพาประจุด้วยลิเทียมฟลูออไรด์ ซึ่งเมื่อแตกตัวจะให้แอนไฟอ่อนฟลูออไรด์ซึ่งมีขนาดเล็ก จึงช่วยให้การเคลื่อนที่เข้าไปสู่เยียรประจุบวกบนสายโซ่พอลิเมอร์ และ Fe (III) ของพอลิเมอร์ 3-PPy oxime FCC ได้อย่างรวดเร็ว ระยะเวลาในการตอบสนองจึงน้อย

2. ระยะเวลาที่ใช้ในการตอบสนองในรอบที่ 1 จำนวนมากกว่ารอบอื่นๆ เนื่องจากโมเลกุลของพอลิเมอร์ไม่เคยผ่านไอระเหยสารตัวอย่างมาก่อนจึงมีความแข็งของโมเลกุลสูง ไอระเหยจึงแทรกแพร่ผ่านเข้าไปในโมเลกุลได้ค่อนข้างยาก แต่ในการทดสอบรอบที่ 2 และ 3 นั้น พบว่าใช้ระยะเวลาในการตอบสนองเร็วขึ้นตามลำดับเนื่องจากการที่โมเลกุลของไอระเหยเคยผ่านไอระเหยสารตัวอย่างมาแล้วและยังคงมีไอระเหยบางส่วนคงเหลือค้างอยู่ภายในโมเลกุล ทำให้โมเลกุลของพอลิเมอร์มีความอ่อนตัวและไอระเหยใหม่สามารถแทรกแพร่ผ่านเข้าไปได้ง่ายและเร็วขึ้นตามลำดับ

3. จากการทดสอบกับไอระเหยทั้งสองชนิดพอลิเมอร์ทุกชนิดให้ผลที่มีแนวโน้มที่ตรงกัน คือ พอลิเมอร์ที่มีช่องว่างระหว่างโมเลกุล (free volume) ใหญ่จะใช้ระยะเวลาที่ใช้ในการตอบสนองได้รวดเร็วกว่า เรียงตามลำดับการใช้เวลาจากมากไปน้อย ได้ดังนี้ 3-PPy oxime FCC > 3-PPy oxime > PPy เนื่องจากโมเลกุลที่มีช่องว่างระหว่างโมเลกุล (free volume) ใหญ่กว่าจะทำให้โมเลกุลของไอระเหยสารตัวอย่างสามารถแทรกแพร่ผ่านเข้าไปได้ง่ายและรวดเร็ว

4. เมื่อเปรียบเทียบผลของไอระเหยต่างชนิดกัน พบว่า ไオเมทานอล จะช่วยทำให้ระยะเวลาในการตอบสนองของพอลิเมอร์แต่ละชนิดเร็วกว่ากรณีของไออกไซทิลเอทอเรลิกน้อย เนื่องจากการที่ไオเมทานอลมีขนาดโมเลกุลเล็กกว่าไออกไซทิลเอทอเรลิกที่อุณหภูมิทดสอบเดียวกัน ส่งผลทำให้เพิ่มโอกาสในการแทรกแพร่ผ่านเข้าไปในโมเลกุลของพอลิเมอร์ได้รวดเร็วมากขึ้น

5. สำหรับกรณีการทดสอบเพื่อศึกษาอิทธิพลของความเข้มข้น ไอระเหยสารตัวอย่างต่อพฤติกรรมการตอบสนองของพอลิเมอร์ตัวอย่าง (ภาพที่ 85) พบว่า ระยะเวลาที่ใช้ใน

การตอบสนองต่อ ไօระเหຍສາරต້ວອຍ່າງນີ້ມີຄ່າພື້ນເຂົ້າເລີກນ້ອຍເມື່ອຄວາມເຂັ້ມຂຶ້ນ ໄօຮຣເຫຍສາຣຕ້ວອຍ່າງນີ້ ດຳລົດລົງ ເນື່ອງຈາກການປັບລົດຄ່າຄວາມເຂັ້ມຂຶ້ນ ໄօຮຣເຫຍສາຣຕ້ວອຍ່າງ ເທົກນິກເປັນກາລົດປົມາລົມໄອ ຮະເຫຍື່ງທໍານັ້ນທີ່ເປັນຕົວພລາສົດໄຊຕ໌ ທຳໄຫວ້ອເລີກຕຽນແລະ ໄອອຸນເກລື່ອນທີ່ໄດ້ຍາກຂຶ້ນ ຮະຍະເວລາທີ່ ໄຊໃນການຕອບສົນອັກຕ່າງໆ

ຕາງໆທີ່ 28 ຂໍອມູລວເວລາໃນການຕອບສົນອັກຕ່າງໆທີ່ໄອຮຣເຫຍສາຣຕ້ວອຍ່າງຂອງພອລິເມອຣແຕ່ລະໜິດໃນການ ກົດສອນກັນໄອຮຣເຫຍສາຣຕ້ວອຍ່າງຄວາມເຂັ້ມຂຶ້ນຄົງທີ່ທີ່ 500 ppm

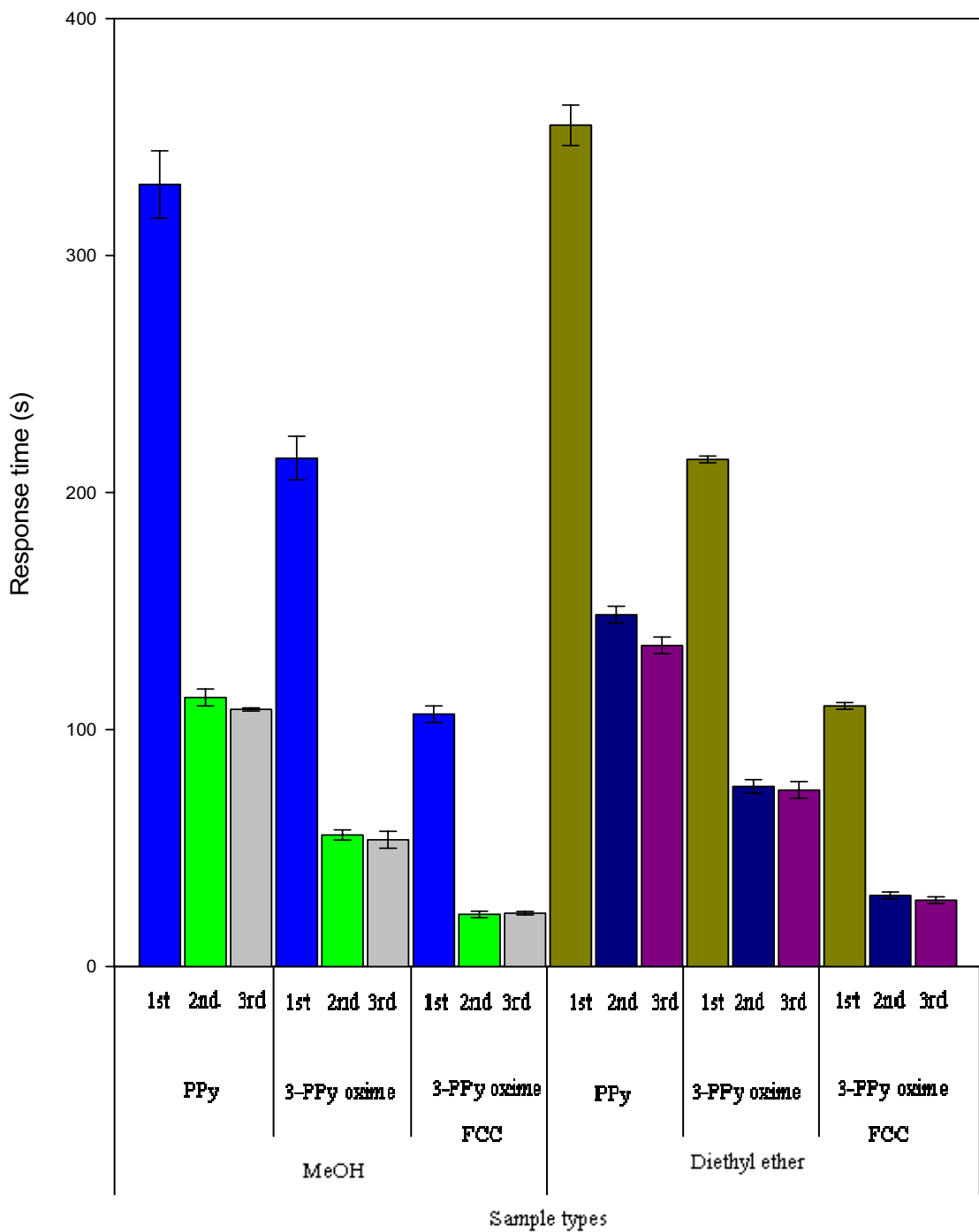
Sample name	Cycle	T _{res} (S)							
		MeOH				Diethyl ether			
		1 st sample	2 nd sample	avg	SD	1 st sample	2 nd sample	avg	SD
PPy	1 st	340	320	330	14	361	349	355	8
	2 nd	116	111	114	4	146	151	149	4
	3 rd	108	109	109	1	138	133	136	4
3-PPy oxime	1 st	208	221	215	9	213	215	214	1
	2 nd	54	57	56	2	78	74	76	3
	3 rd	56	51	54	4	72	77	75	4
3-PPy oxime FCC	1 st	109	104	107	4	111	109	110	1
	2 nd	21	23	22	1	29	31	30	1
	3 rd	23	22	23	1	27	29	28	1

ໝາຍເຫຼຸດ ອັດຕາສ່ວນໂດຍໂມລະຮ່ວມນອນອມອຣກັນສາຣກະຕຸ້ນພາຫະນຳປະຈຸທີ່ກັນ 1 ຕ່ອ 1

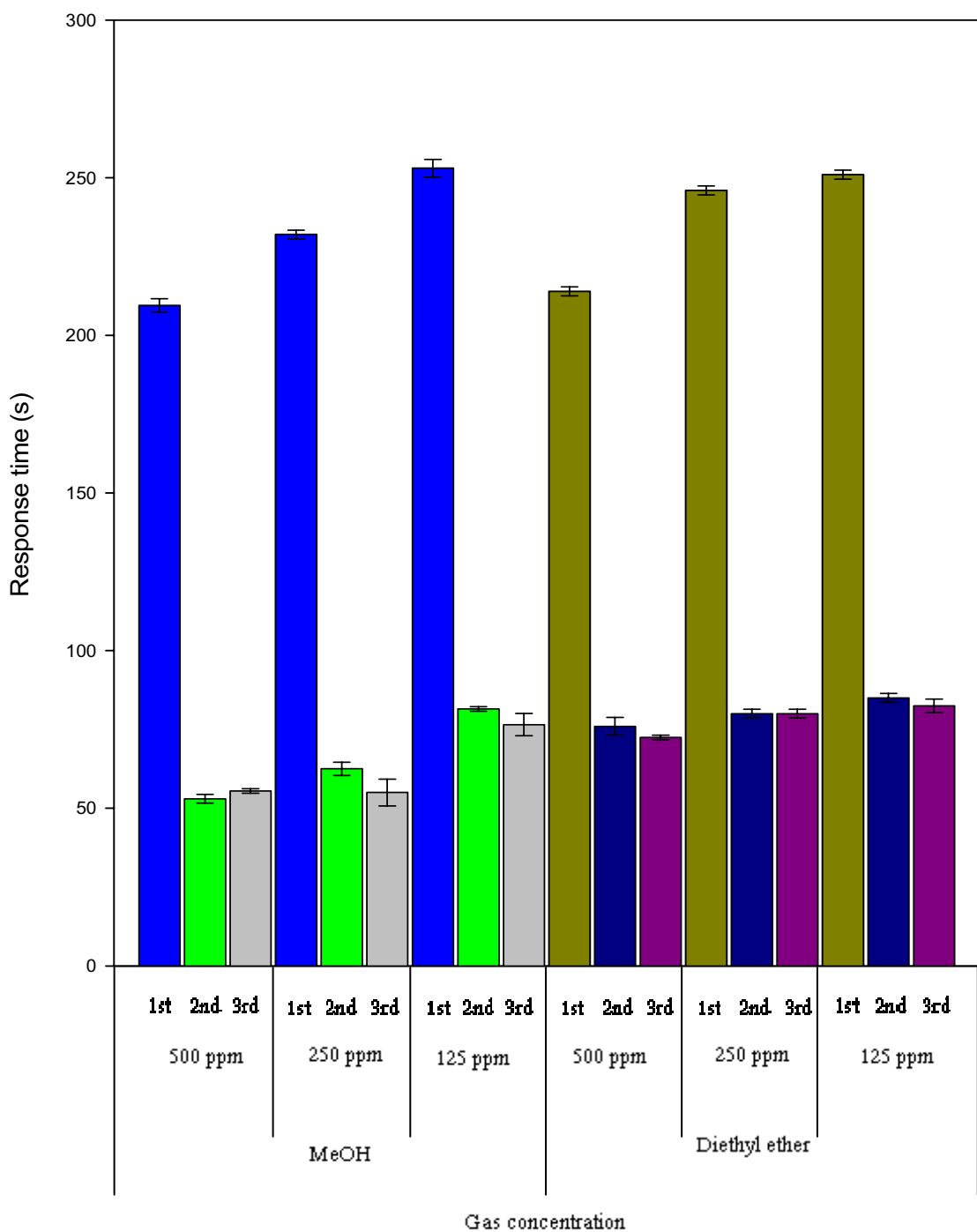
ตารางที่ 29 ข้อมูลเวลาในการตอบสนองในบรรยายกาศของไอระเหยสารตัวอย่างของพอลิเมอร์ 3-PPy oxime ในการทดสอบกับไอระเหยสารตัวอย่างความเข้มข้นค่าต่างๆ

Gas concentration (ppm)	Cycle	T_{res} (S)							
		MeOH				Diethyl ether			
		1 st sample	2 nd sample	avg	SD	1 st sample	2 nd sample	avg	SD
500	1 st	208	211	210	2	213	215	214	1
	2 nd	54	52	53	1	78	74	76	3
	3 rd	56	55	56	1	72	73	73	1
250	1 st	231	233	232	1	247	245	246	1
	2 nd	61	64	63	2	81	79	80	1
	3 rd	58	52	55	4	79	81	80	1
125	1 st	255	251	253	3	250	252	251	1
	2 nd	81	82	82	1	86	84	85	1
	3 rd	79	74	77	4	84	81	83	2

หมายเหตุ อัตราส่วนโดยโอมลระหว่างมอนомнอมอเรกับสารกระตุ้นพาหะนำประจุเท่ากับ 1 ต่อ 1



ภาพที่ 84 ระยะเวลาในตอบสนองของพอลิเมอร์ที่จุดสมดุลในบรรยายกาศของไออกซ์เจนสารตัวอย่าง
ความเข้มข้นคงที่ที่ 500 ppm



ภาพที่ 85 ระยะเวลาในตอบสนองของพอลิเมอร์ 3-PPy oxime ที่จุดสมดุลในบรรยายกาศของไอระเหยสารตัวอย่างความเข้มข้นเปลี่ยนแปลง

4.3.3.5 ระยะเวลาที่ใช้ในการคืนตัวกลับของพอลิเมอร์ (T_{rec})

ระยะเวลาที่ใช้ในการคืนตัวกลับของพอลิเมอร์(T_{rec}) เมื่อໄລ'ไอระเหยสารตัวอย่างออกไปแล้ว ข้อมูลได้ดังแสดงในตารางที่ 30 และ 31 และภาพที่ 86 และ 87 ซึ่งมีรายละเอียดดังนี้

1. พอลิเมอร์ทุกชนิดมีเวลาที่ใช้ในการคืนตัวกลับค่อนข้างเร็ว คือ น้อยกว่า 2 นาทีทุกชนิด (ดูภาพที่ 86 และ 87) โดยระยะเวลาที่ใช้ในการคืนตัวกลับในรอบที่ 1 จะนานมากกว่ารอบอื่นๆ เนื่องจากโมเลกุลของพอลิเมอร์ที่พึงจะมีไอระเหยเข้ามาอยู่ในโครงสร้างครั้งแรก โมเลกุลของพอลิเมอร์ยังไม่เป็นระเบียนมากนัก ทำให้โมเลกุลของไอระเหยต้องอาศัยระยะเวลาในการเดินทางออกไปจากโมเลกุลของพอลิเมอร์ แต่ในการทดลองรอบต่อๆ ไปจะใช้ระยะเวลาในการคืนตัวได้รวดเร็วมากขึ้นเนื่องจากโครงสร้างโมเลกุลของพอลิเมอร์ที่เคยผ่านไอระเหยมาแล้วนั้น จะมีช่องว่างระหว่างโมเลกุลมากขึ้น

2. ในการถือของไอเมทานอล พบร่วมกับระยะเวลาที่ใช้ในการคืนตัวของพอลิเมอร์ 3-PPy oxime FCC มีค่ามากที่สุด เนื่องจากไอเมทานอลมีความเป็นขั้วสูงจึงเกิดแรงยึดเหนี่ยวระหว่างโมเลกุลของไอเมทานอลกับพอลิเมอร์ 3-PPy oxime FCC ได้มาก เนื่องจากพอลิเมอร์ดังกล่าวมีขั้วสูงที่สุดในบรรดาพอลิเมอร์ทั้งสามชนิด ส่งผลทำให้การแพร่ผ่านออกไปจากโมเลกุลของพอลิเมอร์เป็นไปได้ยาก แม้ว่าพอลิเมอร์จะมีช่องว่างระหว่างโมเลกุลมากก็ตาม (free volume)

3. ในกรณีของไอไดอิโธลีอีเทอร์ พบร่วมกับการที่ไอไดอิโธลีอีเทอร์มีสมบัติความเป็นขั้วที่น้อยกว่าเมื่อเทียบกับไอเมทานอล จึงเกิดแรงยึดเหนี่ยวระหว่างโมเลกุลของไอไดอิโธลีอีเทอร์และพอลิเมอร์ได้น้อยกว่ากรณีของไอเมทานอล ดังนั้น ปัจจัยทางโครงสร้างของพอลิเมอร์จึงมีบทบาทมากขึ้น กล่าวคือ พอลิเมอร์ที่มีช่องว่างระหว่างโมเลกุล (free volume) ใหญ่กว่าจะช่วยทำให้การเคลื่อนที่ออกไปของไอระเหยทำได้ง่ายขึ้นและใช้ระยะเวลาในการคืนตัวกลับได้เร็ว ซึ่งสามารถเรียงลำดับระยะเวลาในการคืนตัวกลับจากมากไปน้อยได้ดังนี้ $PPy > 3\text{-}PPy \text{ oxime } FCC > 3\text{-}PPy$

4. สำหรับกรณีการทดสอบเพื่อศึกษาอิทธิพลของความเข้มข้น ไอระเหยสารตัวอย่างต่อพฤติกรรมการตอบสนองของพอลิเมอร์ตัวอย่าง (ดูภาพที่ 87) พบร่วมกับระยะเวลาที่ใช้ในการคืนตัวกลับของพอลิเมอร์มีค่าน้อยลงเมื่อทดสอบกับไอระเหยสารตัวอย่างที่ความเข้มข้นต่ำลง เนื่องจากการปรับลดค่าความเข้มข้น ไอระเหยสารตัวอย่าง เท่ากับเป็นการลดปริมาณ ไอระเหย

ที่จะเข้าไปอยู่ในโครงสร้างพอลิเมอร์ ดังนั้นเมื่อเกิดการถ่ายตัวของไอระเหยออกจากโครงสร้างพอลิเมอร์จึงสามารถถ่ายตัวออกได้ง่าย ระยะเวลาที่ใช้ในการคืนตัวจึงน้อยลงตามลำดับ

ตารางที่ 30 ข้อมูลเวลาในการคืนตัวกลับต่อไอระเหยสารตัวอย่างของพอลิเมอร์แต่ละชนิดในการทดสอบกับไอระเหยสารตัวอย่างความเข้มข้นคงที่ที่ 500 ppm

Sample name	Cycle	T_{rec} (S)							
		MeOH				Diethyl ether			
		1 st sample	2 nd sample	avg	SD	1 st sample	2 nd sample	avg	SD
PPy	1 st	94	93	94	1	117	121	119	3
	2 nd	68	66	67	1	86	82	84	3
	3 rd	60	61	61	1	74	77	76	2
3-PPy oxime	1 st	109	111	110	1	89	86	88	2
	2 nd	65	64	65	1	46	45	46	1
	3 rd	56	51	54	4	45	41	43	3
3-PPy oxime FCC	1 st	127	119	123	6	64	66	65	1
	2 nd	102	105	104	2	33	31	32	1
	3 rd	105	99	102	4	34	30	32	3

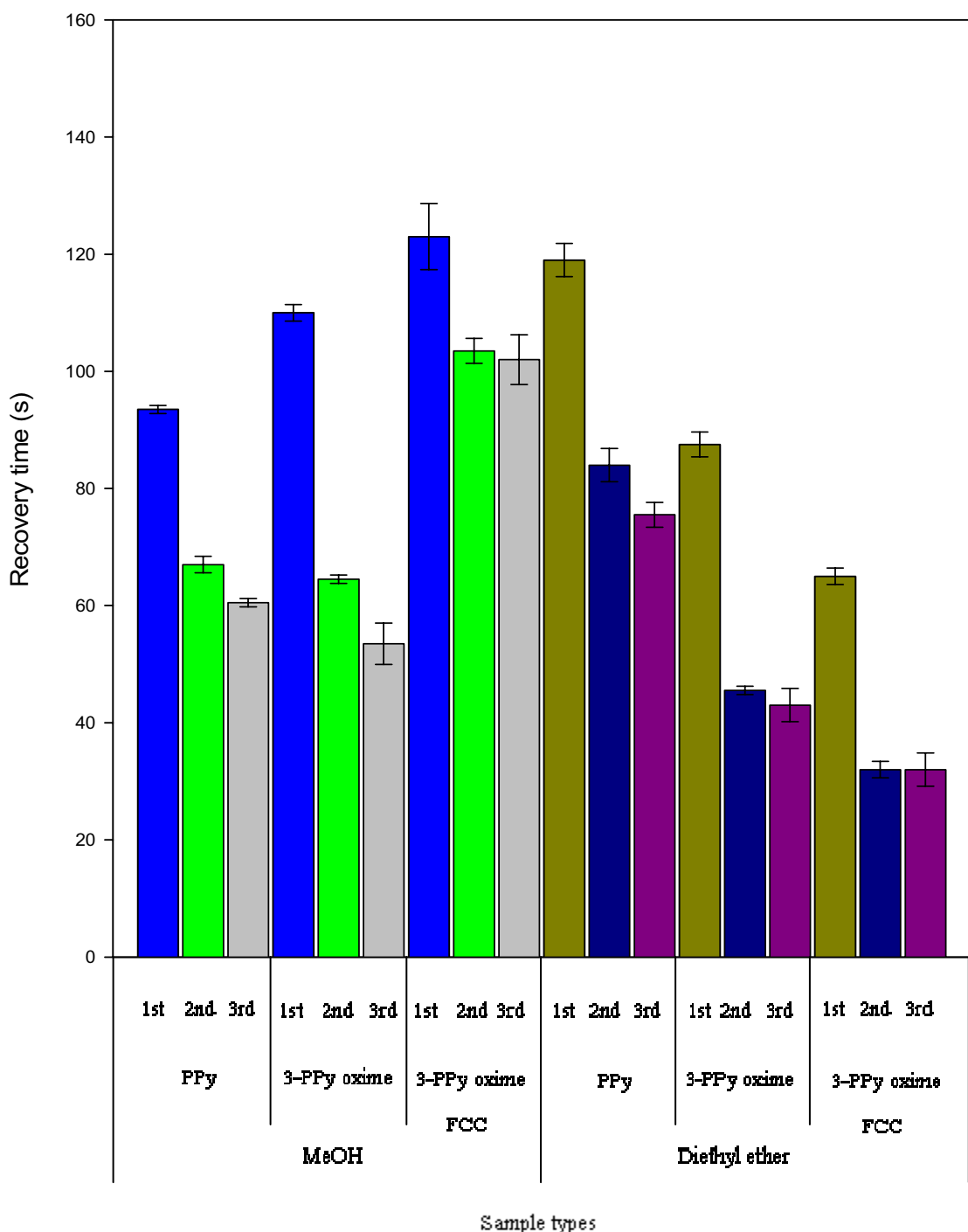
หมายเหตุ

อัตราส่วนโดยไม่ระบุว่ามอนомнอมอร์กับสารกระตุ้นพาหนะนำประจุเท่ากับ 1 ต่อ 1

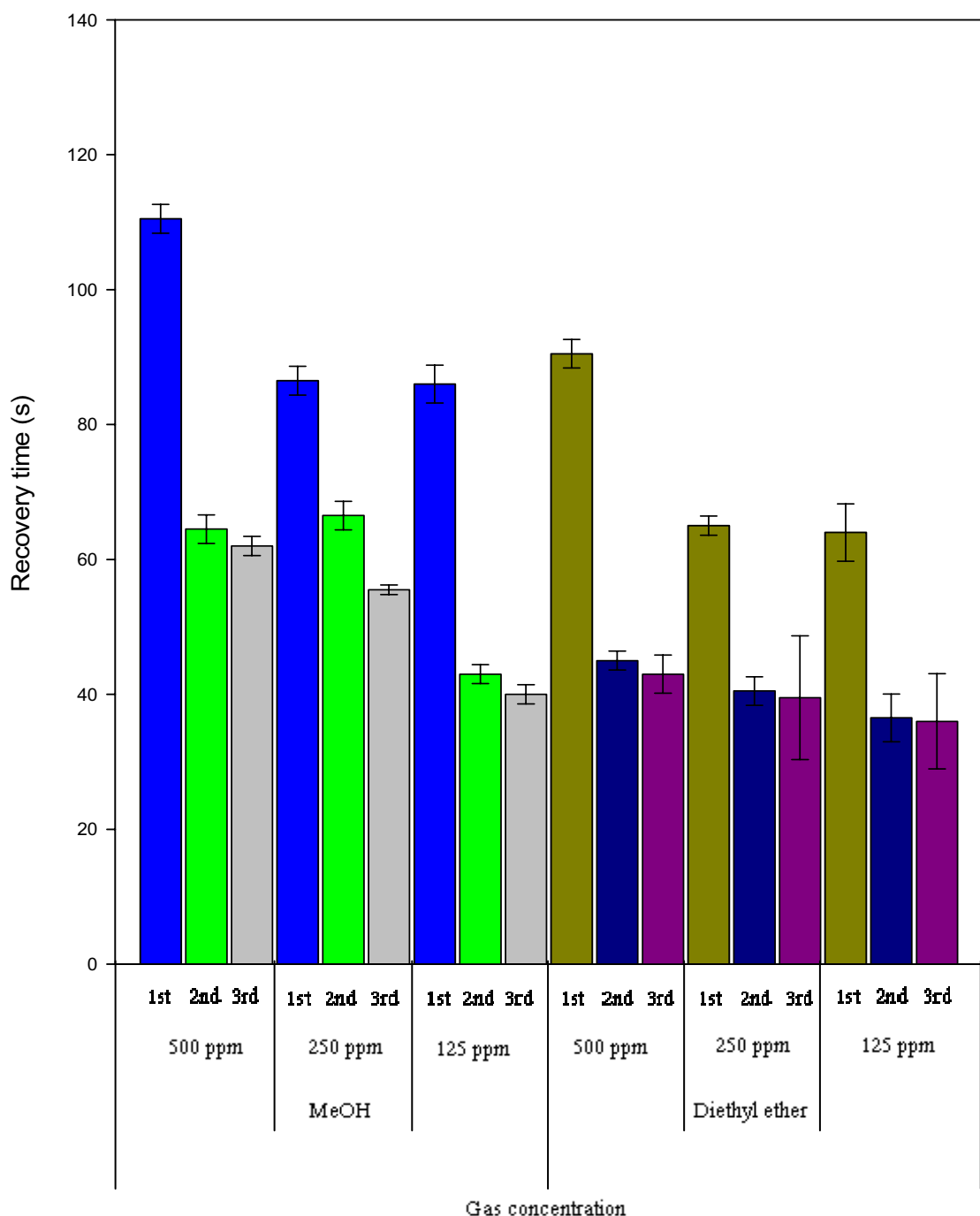
ตารางที่ 31 ข้อมูลเวลาในการคืนตัวในบรรยายกาศของไอระเหยสารตัวอย่างของพอลิเมอร์ 3-PPy oxime ในการทดสอบกับไอระเหยสารตัวอย่างความเข้มข้นต่างๆ

Gas concentration (ppm)	Cycle	T_{rec} (S)							
		MeOH				Diethyl ether			
		1 st sample	2 nd sample	avg	SD	1 st sample	2 nd sample	avg	SD
500	1 st	109	112	111	2	89	92	91	2
	2 nd	66	63	65	2	46	44	45	1
	3 rd	63	61	62	1	45	41	43	3
250	1 st	85	88	87	2	64	66	65	1
	2 nd	65	68	67	2	42	39	41	2
	3 rd	56	55	56	1	46	33	40	9
125	1 st	84	88	86	3	61	67	64	4
	2 nd	42	44	43	1	39	34	37	4
	3 rd	39	41	40	1	41	31	36	7

หมายเหตุ อัตราส่วนโดยโภมลระหว่างมอนомнอมอเรอร์กับสารกระตุ้นพาหะนำประจุเท่ากับ 1 ต่อ 1



ภาพที่ 86 ระยะเวลาในการคืนตัวกลับของพอลิเมอร์ที่จุดสมดุลในบรรยายกาศของไօระเหยสารตัวอย่างความเข้มข้นคงที่ที่ 500 ppm



ภาพที่ 87 ระยะเวลาในการคืนตัวกลับของพอลิเมอร์ 3-PPy oxime ที่จุดสมดุลในบรรยายกาศของไօ ระเหยสารตัวอย่างความเข้มข้นต่างๆ

บทที่ 5

สรุปผลการทดลองและข้อเสนอแนะ

5.1 สรุปผลการทดลอง

การศึกษาวิจัยในครั้งนี้มีจุดประสงค์เพื่อศึกษาอิทธิพลของโครงสร้างพอลิเมอร์และไออะเหลห์ตัวอย่าง รวมทั้งชนิดของเกลือที่มีผลต่อการนำไฟฟ้าเพื่อนำพอลิเมอร์ที่สังเคราะห์ได้มาประยุกต์ใช้ในการตรวจสอบก้าช โดยทำการศึกษาพอลิเมอร์สีชนิด ได้แก่ PPy, 3-PPy, 3-PPy oxime และ 3-PPy oxime FCC และทำการทดสอบกับไออะเหลห์ตัวอย่างสองชนิดคือเมทานอลและไอดอกอลิเอเทอร์ที่อุณหภูมิ 28°C จากการทดสอบพบว่ามีปัจจัยเกี่ยวกับที่มีอิทธิพลส่งผลต่อการนำไฟฟ้าและความว่องไวในการตรวจสอบ ไออะเหลห์ซึ่งสามารถสรุปได้ดังนี้

1. โครงสร้างและสมบัติของพอลิเมอร์ และชนิดของสารกระตุ้นพาหะนำประจุ

1.1 ขนาดแอนไออ่อนของสารกระตุ้นพาหะนำประจุ

พอลิเมอร์ที่ผ่านการกระตุ้นให้เกิดพาหะพาประจุด้วยสารกระตุ้นพาหะที่มีขนาดแอนไออ่อนขนาดเล็กจะช่วยส่งเสริมให้พอลิเมอร์แสดงสมบัติการนำไฟฟ้าได้ดี เนื่องจากแอนไออ่อนที่มีขนาดเล็กสามารถเคลื่อนที่เข้าไปเสียบประจุบวกหรือโซลูน โครงสร้างพอลิเมอร์ได้อย่างรวดเร็ว ค่ากระแสไฟฟ้าที่ไหลผ่านจึงมีค่าสูง ดังนั้นค่าสภาพการนำไฟฟ้าของพอลิเมอร์จึงสูงกว่าพอลิเมอร์ที่ผ่านการกระตุ้นให้เกิดพาหะด้วยสารกระตุ้นพาหะที่มีขนาดแอนไออ่อนใหญ่กว่า

1.2 สมบัติของหมู่แทนที่บันตำแหน่งที่สามของวงแหวนไพร์โรล

อนุพันธ์พอลิไพร์โรลที่มีหมู่แทนที่บันตำแหน่งที่สามของวงไพร์โรลเป็นหมู่เดิงอิเล็กตรอนจะแสดงสมบัติการนำไฟฟ้าได้ดีกว่าอนุพันธ์พอลิไพร์โรลที่มีหมู่แทนที่บันตำแหน่งที่สามของวงไพร์โรลเป็นหมู่ไห้อิเล็กตรอน

1.3 สมบัติความเป็นข้าวของพอลิเมอร์

โครงสร้างของพอลิเมอร์ที่มีสมบัติความเป็นข้าวสูงกว่า ทำให้ความสามารถในการนำไฟฟ้าดีขึ้น โดยเฉพาะพอลิเมอร์ 3-PPy oxime FCC ที่มีระบบการนำไฟฟ้า 2 กลดไกคือระบบการนำไฟฟ้าของสายโซ่หลักผ่านโครงสร้างคอนวูเกต ร่วมกับกลไกการกระโดดข้ามของอิเล็กตรอนจากหมู่ FCC หนึ่งไปสู่อีกหมู่หนึ่ง ค่ากระแสไฟฟ้าที่ไหลผ่านจึงมีค่าสูง ดังนั้นมีการผ่านไออะเหลห์ตัวอย่างจะทำให้เกิดการตอบสนองได้มากกว่า

1.4 ช่องว่างระหว่างโมเลกุลพอลิเมอร์

พอลิเมอร์ที่มีช่องว่างระหว่างโมเลกุลใหญ่ จะส่งผลต่อระยะเวลาที่ใช้ในการตอบสนองต่อไอระเหย เนื่องจากโมเลกุลของไอระเหยสามารถแพร่ผ่านเข้าไปได้ง่าย โดยพอลิเมอร์ที่มีช่องว่างระหว่างโมเลกุลใหญ่กว่าจะใช้ระยะเวลาในการตอบสนองต่อไอระเหยรวดเร็ว

2. โครงสร้างและสมบัติของไอระเหย

2.1 ความเป็นขั้วของไอระเหย

ไอระเหยที่มีความเป็นขั้วสูง จะทำให้ dopants แตกตัวได้ดีและยังสามารถช่วยเพิ่มเตลิเยราฟให้กับแคทไออ่อนและแอนไออ่อนของ dopants และทำให้ประจุบวกบนสายโซ่และที่ Fe^{3+} มีความเป็นกลางและทำให้อิเล็กตรอนสามารถเคลื่อนที่ได้ดีขึ้น ทำให้ค่าการนำไฟฟ้าสูงขึ้น แต่จะส่งผลทำให้มีปริมาณไอระเหยตั้งกล่าวติดค้างอยู่ภายในโครงสร้างของพอลิเมอร์มากเนื่องจากแรงดึงดันที่เกิดจากความเป็นขั้วของไอระเหยกับพอลิเมอร์ ทำให้ระยะเวลาที่ใช้ในการคืนตัวกลับนานกว่า

2.2 ขนาดโมเลกุลของไอระเหย

ไอระเหยที่มีขนาดโมเลกุลเล็กกว่าจะช่วยทำให้หน้าที่ในการพลาสติไซส์โมเลกุลของพอลิเมอร์ ทำให้มีความอ่อนตัวมากขึ้น ค่าการนำไฟฟ้าจึงสูงขึ้น

2.3 ความเข้มข้นของไอระเหย

ไอระเหยที่มีปริมาณมากจะช่วยทำให้ระยะเวลาที่ใช้ในการตอบสนองเกิดได้รวดเร็วมากขึ้น เนื่องจากเพิ่มโอกาสในการแทรกเข้าไปในโครงสร้างของพอลิเมอร์ได้มากขึ้น

5.2 ข้อเสนอแนะ

การศึกษาวิจัยในครั้งนี้ เป็นการปรับปรุงสมบัติการนำไฟฟ้าของพอลิไพร์โรลเพื่อประยุกต์ใช้เป็นตัวตรวจสอบไอระเหย โดยพนักงานพรองที่ควรได้รับการแก้ไขในคราวต่อไปดังนี้

1. หัว Probe ที่ใช้วัดค่าการนำไฟฟ้าควรมีลักษณะที่แหลมกว่านี้เพื่อสามารถเจาะเข้าไปในเนื้อพอลิเมอร์ได้ ถ้าหากหัว Probe มีลักษณะที่ทุ่มมันก็จะแตะเฉพาะที่ผิวของพอลิเมอร์ ทำให้มีความต้านทานระหว่างรอยต่อของ Probe กับพอลิเมอร์สูง ส่งผลให้ค่าการนำไฟฟ้าที่วัดได้มีความแม่นยำน้อยลง

2. บริเวณ mixing chamber ควรจะมีการต่อท่อเข้าโดยตรงกับปั๊มสูญญากาศเพื่อจะได้ลดระยะเวลาในการทดสอบ ได้เนื่องจากเราสามารถดูดอากาศใน mixing chamber ได้ในขณะที่ working chamber ทดสอบการคายของแก๊สอยู่โดยไม่ต้องรอให้ working chamber ทดสอบการคายแก๊สเสร็จ

3. สำหรับพอลิเมอร์ 3-PPy oxime FCC ที่มีความสามารถในการนำไฟฟ้า 2 กล. ໄก ต้องมีการปรับเปลี่ยนอัตราส่วนการกราดตื้นพาหะนำประจุจากเดิมในงานวิจัยนี้ใช้อัตราส่วนโดยโอมล นอนอเมอร์ต่อสารกราดตื้นพาหะนำประจุ เท่ากับ 1:1 ต้องเพิ่มเป็น 1:2 เพื่อให้enton ไอออนของ dopants สามารถประจุวนบนสายโซ่พอลิเมอร์ และ Fe^{3+} ได้อย่างสมบูรณ์

บรรณานุกรม

1. กรมโรงงานอุตสาหกรรม. มลพิษทางอากาศ [Online]. Accessed 9 January 2010. Available from http://www.aqnis.pcd.go.th/basic/pollution_basic.htm.
2. กรมควบคุมมลพิษ. มาตรฐานคุณภาพอากาศและเสียง [Online]. Accessed 9 January 2010. Available from http://www.pcd.go.th/info_serv/reg_std_airsnd01.htm.
3. กรมโรงงานอุตสาหกรรม. มลพิษอากาศกับอุตสาหกรรมที่เกี่ยวข้อง [Online]. Accessed 9 January 2010. Available from <http://www.ac-control.net/index.php?mo=3&art=400837>
4. พิยวิทยาสาร. Volatile Organic Chemicals and Health. [Online]. Accessed 9 January 2010. Available from http://www.optimal.co.th/news_pdf/
5. Ampuero S. and Bosset J.O. “The electronic nose applied to dairy products: a review.” Sensors and Actuators B 94 (2003) : 1-12.
6. Kap-Duk S., Jung-II B., Sang-Rok L., Yun-Su L., Young-Ho H. and Duk-Dong L. “NO_x gas response characteristics of thin film mixed oxide semiconductor.” Sensors and Actuators B 108 (2005) : 211–215.
7. Hee-Kwon J., Yong-Su H., Byung-Soo L., Sang-Tae L., Jeong-Ok L., Duk-Dong L. and Jeung-Soo H. “Electrical properties of polypyrrole gas sensors fabricated under various pretreatment conditions.” Sensors and Actuators B 96 (2005) : 576-581.
8. Jae-Hyun C., Joon-Boo Y., Jung-Suk K., Sung-Ok S., Duk-Dong L. and Jeung-Soo H.. “Sensing behaviors of polypyrrole sensor under humidity condition.” Sensors and Actuators B 108 (2005) : 389-392.
9. Gordon G.W.,Geoffrey M.S., Leon A.P.K., and Peter R.T. Conductive electroactive polymers : Intelligent Materials Systems. Boca Raton : CRC press, 2002.
10. Basudam A. and Sarmishtha M.. “Polymers in sensor application.” Progress in Polymer Science. 29 (2004) : 699-766.
11. George O. Principles of Polymerization. New Jersey : John Wiley & Sons, 2004.
12. Hachawee K., Lerdwijitjarud W., Sittattrakul A. and Sirivat A. “Structural effect of ferrocenecarboxymethylated polymers on their electrical behavior under the exposure to methanol and acetone vapors.” Materials Science and Engineering B 153 (2008) : 10–20

13. Ruangchuay L., Sirivat A. and Schwank J. "Electrical conductivity response of polypyrrole to acetone vapor: effect of dopant anions and interaction mechanisms." Synthetic Metals 140 (2004) : 15–21
14. Akelah A. and Moet A. Functionalized polymers and their application. London: Chapman and Hall, 1990.
15. สถาบันนวัตกรรมและพัฒนากระบวนการเรียนรู้. พันธะโลหะ-metallic bond. [Online]. Accessed 18 February 2006. Available from http://www.il.mahidol.ac.th/course/ap_chemistry/chemical_bonding/metallic.htm.
16. สถาบันราชภัฏพิบูลสงคราม. เอนิค่อนดัคเตอร์ไดโอด. [Online]. Accessed 14 February 2010. Available from <http://pibul2.psru.ac.th/~prasit/elect/electro1.htm>.
17. Conductive polymers, The Nobel Prize in Chemistry, 2000. Kungl. Vetenskapsakademie, Inform. Dept.
18. เม่น ออมรสถิท และ สมชาย อัครทิวา. วัสดุวิศวกรรม Principles of Materials Science and Engineering. กรุงเทพฯ: สำนักพิมพ์ท่อง, 2546.
19. Shirota, Y., "Electrically Conducting Polymers and Their Applications as Functional Materials", Suita, Japan.
20. Murrae J. B. and Richard T., ed. Electronic and Photonic Applications of Polymers. Washington DC: American Chemical Society, 1988.
21. Min-Kyu S., Young-Taek K., Bum-Seok K., Jinhwan K., Kookheon C. and Hee-Woo R. "Synthesis and characterization of soluble polypyrrole doped with alkylbenzenesulfonic acids." Synthetic Metals 141 (2004) : 315-319
22. Torres-Gómez G. and Gómez-Romero P. "Conducting organic polymers with electroactive dopants. Synthesis and electrochemical properties of hexacyanoferrate-doped polypyrrole." Synthetic Metals 98 (1998) : 95-102
23. Shen, Y. and M. Wan, "In situ doping polymerization of pyrrole with sulfonic acid as a dopant." Synthetic Metals. 96 (1998) : 127-132
24. Qaisar A. and Samuel B. A. "Polypyrrole-based electronic noses for environmental and industrial analysis." Sensors and Actuators B: Chemical. 106 (2005) : 541-552
25. Radhakrishnan S. and Paul S. "Conducting polypyrrole modified with ferrocene for applications in carbon monoxide sensors." Sensors and Actuators B 125 (2007) : 60–65

26. Ramanaviciene A. and Ramanavicius A. "Application of Polypyrrole for the Creation of Immunosensors." Analytical Chemistry. 32 (2002) : 245-252
27. Foitzik R.C., Kaynak A., Pfeffer F.M. and Beckman J. "Synthesis, polymerization and wool coating studies of 3-iso-butylypyrrole and 3-iso-pentylpyrrole." Synthetic Metals 156 (2006) : 1333–1340
28. Korri-Youssoufi H. and Yassar A. "Electrochemical Probing of DNA Based on Oligonucleotide-Functionalized Polypyrrole." Biomacromolecules, 2 (2001) : 58–64
29. B. P. J. de Lacy Costello, Evans P., Guernion N., Ratcliffe N. M., Sivanand P. S. and Teare G. C. "The synthesis of a number of 3-alkyl and 3-carboxy substituted pyrroles ; their chemical polymerisation onto poly(vinylidene fluoride) membranes, and their use as gas sensitive resistors" Synthetic Metals. 114 (2000) : 181-188
30. แม่น อมรสิทธิ์, อมร เพชรส. หลักการและเทคนิคการวิเคราะห์เชิงเคมีองมีอ. กรุงเทพฯ : โรง พิมพ์ชวนพิมพ์, 2534.
31. วิชัย รี้วะตระกูล และคณะ. การประยุกต์สเปกโตรสโคปในเคมีอินทรีย์.กรุงเทพฯ : นำอักษรการ พิมพ์, 2526.

ภาคผนวก

ภาคผนวก ก

การคำนวณหาปริมาณสารด้วยเทคนิคการวิเคราะห์ $^1\text{H-NMR}$ spectrum

ก.1 การคำนวณหาปริมาณหมู่บอร์โรมอเอทิล酇อบนโครงสร้างของ 3-PPy ด้วยเทคนิคการวิเคราะห์ ¹H-NMR spectrum

จาก¹H-NMR Spectrum ของ 3-PPy สามารถนำมาคำนวณหาปริมาณหมู่ -CH₂-CH₂-Br บน 3-PPy ได้ โดยทำการเปรียบเทียบสัดส่วนพื้นที่ต่อกราฟที่ตำแหน่ง 2.8-2.9 ppm (ตำแหน่ง c,d ในภาพที่ 50) ซึ่งเป็นตัวแทนของหมู่ -CH₂-CH₂-Br กับ พื้นที่ต่อกราฟที่ตำแหน่ง 8.0 และ 8.4 ppm (ตำแหน่ง a และ b ในภาพที่ 50) ซึ่งเป็นตัวแทนของโปรตอนที่ติดกับคาร์บอนบนวงแหวนไพร์โรล และที่ตำแหน่ง -NH ของ polypyrrole พบว่า

หมู่-CH₂-CH₂-Br: พื้นที่ต่อกราฟที่ตำแหน่ง 2.8 ppm ประมาณเท่ากับ 2.02 เทียบเท่ากับ โปรตอนจำนวน 2 ตัว ของ CH₂-Br และพื้นที่ต่อกราฟที่ตำแหน่ง 2.9 ppm ประมาณเท่ากับ 2.00 เทียบเท่ากับ โปรตอนจำนวน 2 ตัว ของ -CH₂-CH₂-Br

Polypyrrole: พื้นที่ต่อกราฟที่ตำแหน่ง 8.0 และ 8.4 ppm ประมาณเท่ากับ 0.11 และ 0.52 เทียบเท่ากับ โปรตอนจำนวน 1 ตัว ของ -NH 1 หมู่ และ โปรตอนที่ติดกับคาร์บอนบนวงแหวนไพร์โรล (ตำแหน่งที่ 4) อีก 1 ตัว

นั่นคือ สัดส่วนของ -CH₂-CH₂-Br: polypyrrole เท่ากับ

$$-CH_2 - CH_2 - Br : polypyrrole \equiv \frac{(2.00 + 2.02) / 4}{(0.11 + 0.52) / 2} = 3.19 \approx 3.2 : 1$$

แสดงว่า ทุกๆหน่วยอย่างเดียวของ Polypyrrole 1 หน่วย จะมีหน่วยอย่างเดียวของ -CH₂-CH₂-Br 3.2 หน่วย

ก.2 การคำนวณหาปริมาณหมู่เฟอร์โรซีนบนโครงสร้างของพอลิเมอร์ที่สังเคราะห์ให้ด้วยเทคนิคการวิเคราะห์ $^1\text{H-NMR}$ spectrum

โครงสร้างของพอลิเมอร์ที่ผ่านการทำเอสเตอร์ริฟิเคชันด้วยเกลือโซเดียมเฟอร์โรซีนคาร์บอเนตแล้ว คือ 3-PPy oxime FCC นี้ จะปรากฏสเปกตรัมของ $^1\text{H-NMR}$ ดังแสดงในภาพที่ 62 ซึ่งจะปรากฏสเปกตรัมเฉพาะของ FCC ในช่วง 4-5 ppm จำนวน 3 แบบดังนี้

จาก $^1\text{H-NMR}$ Spectrum ของ 3-PPy oxime FCC สามารถคำนวณหาปริมาณหมู่เฟอร์โรซีนบน 3-PPy oxime FCC ได้โดยทำการเปรียบเทียบสัดส่วนพื้นที่ได้กราฟที่ตำแหน่ง 4.3-4.8 ppm (ตำแหน่ง d,e, และ f ในภาพที่ 62) ซึ่งเป็นตัวแทนของหมู่เฟอร์โรซีนกับพื้นที่ได้กราฟที่ตำแหน่ง 2.8-2.9 ppm (ตำแหน่ง b และ c ในภาพที่ 62) ซึ่งเป็นตัวแทนของหมู่ $-\text{CH}_2-\text{CH}_2-\text{Br}$ พบว่า

หมู่เฟอร์โรซีน: พื้นที่ได้กราฟที่ตำแหน่ง 4.3-4.8 ppm ประมาณเท่ากับ $2.62+1.08+0.86$ เทียบเท่ากับโปรดอนจำนวน 9 ตัวของเฟอร์โรซีน 1 หมู่

หมู่ $-\text{CH}_2-\text{CH}_2-\text{Br}$: พื้นที่ได้กราฟที่ตำแหน่ง 2.8-2.9 ppm ประมาณเท่ากับ $2.18+2.00$ เทียบเท่ากับโปรดอนจำนวน 4 ตัว ของ $-\text{CH}_2-\text{CH}_2-\text{Br}$

นั่นคือ สัดส่วนของ Ferrocene : $-\text{CH}_2-\text{CH}_2-\text{Br}$ เท่ากับ

$$\text{Ferrocene CH}_2-\text{Br} \equiv \frac{(0.86+1.08+2.62)/9}{(2.00+2.18)/4} = 0.48 \approx 0.5 : 1$$

แสดงว่า อัตราส่วนระหว่างหมู่เฟอร์โรซีนต่อหมู่ $-\text{CH}_2-\text{CH}_2-\text{Br}$ คิดเป็นสัดส่วนโดยประมาณเท่ากับ 0.5

ภาคผนวก ข

ข้อมูลการทดลองภายใต้บรรยายกาศ/อิริยาบถตัวอย่าง

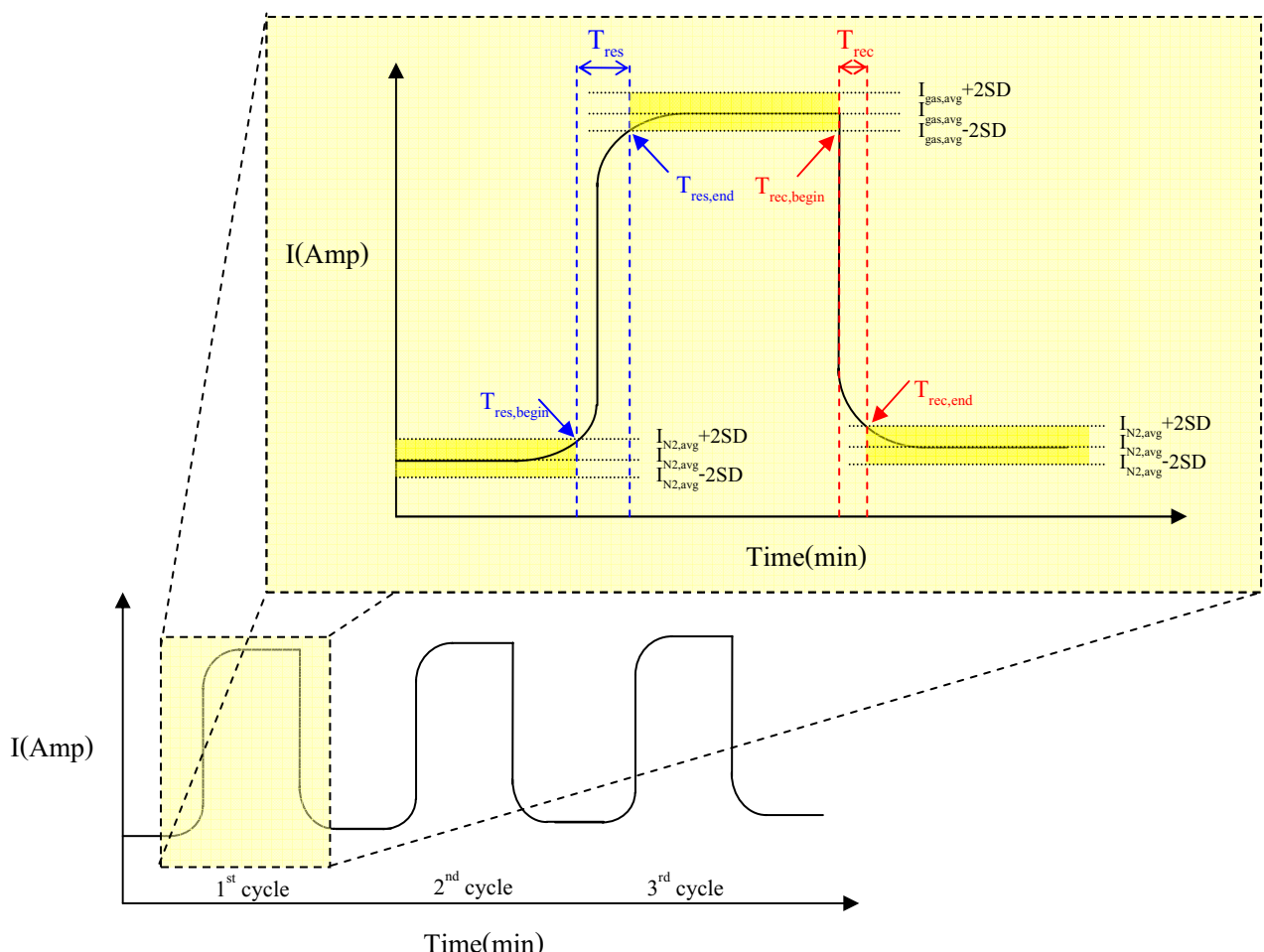
ข.1 การหาระยะเวลาเริ่มต้นในการตอบสนอง($T_{res,begin}$) ระยะเวลาสิ้นสุดการตอบสนอง($T_{res,end}$) ระยะเวลาเริ่มต้นการคืนตัวกลับ($T_{rec,begin}$) ระยะเวลาสิ้นสุดการคืนตัวกลับ($T_{rec,end}$) และค่ากระแสไฟฟ้าเฉลี่ยในสภาวะสมดุลในบรรยายกาศของกําชในโตรเจนและไออกซิเจนตัวอย่าง

ในการหาระยะเวลาต่างๆนี้จะใช้วิธีการอ่านจากเส้นกราฟค่ากระแสไฟฟ้าที่เวลาต่างๆโดยเป็นจุดเวลาที่เส้นกราฟตัดกับเส้น $2SD$ ที่ได้จากการหาค่าเฉลี่ยค่ากระแสไฟฟ้าในสภาวะสมดุลคงที่ในบรรยายกาศของกําชในขณะนั้น เพื่อใช้ในการหาระยะเวลาต่างๆ ดังนี้

$$\text{ระยะเวลาในการตอบสนอง(Respond time, } T_{res}) = T_{res,end} - T_{res,begin}$$

$$\text{ระยะเวลาในการคืนตัวกลับ(Recovery time, } T_{rec}) = T_{rec,end} - T_{rec,begin}$$

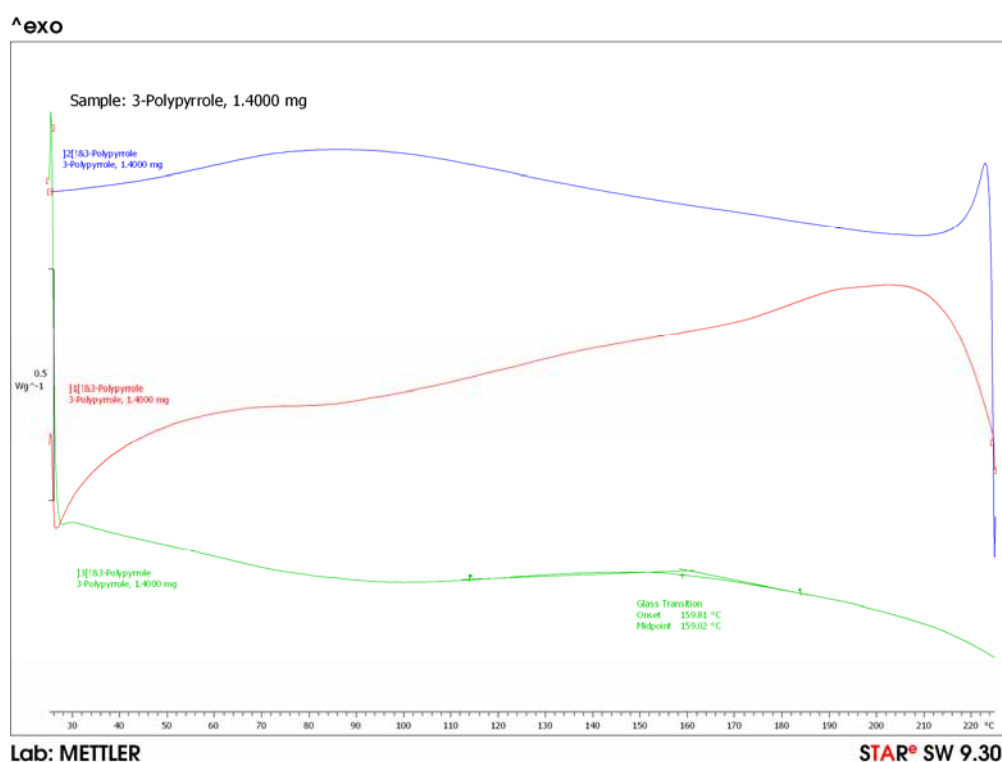
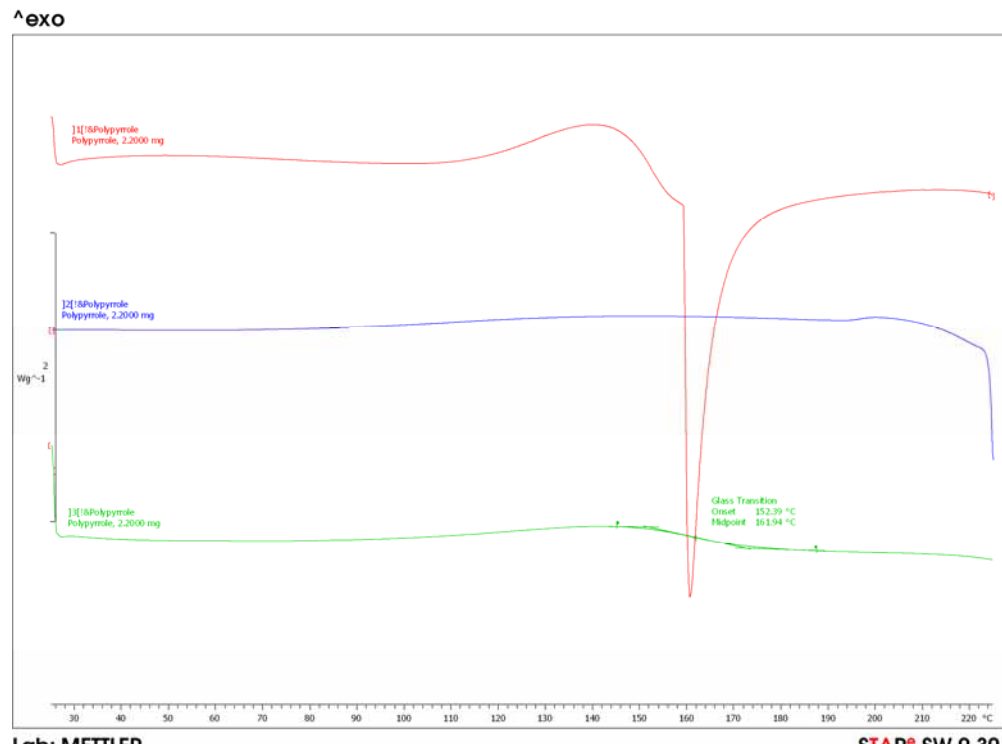
$$\text{ร้อยละการตอบสนองต่อ กําช (%Sensitivity, \%s)} = \left(\frac{\sigma_{gas} - \sigma_{N2}}{\sigma_{N2}} \right) \times 100$$

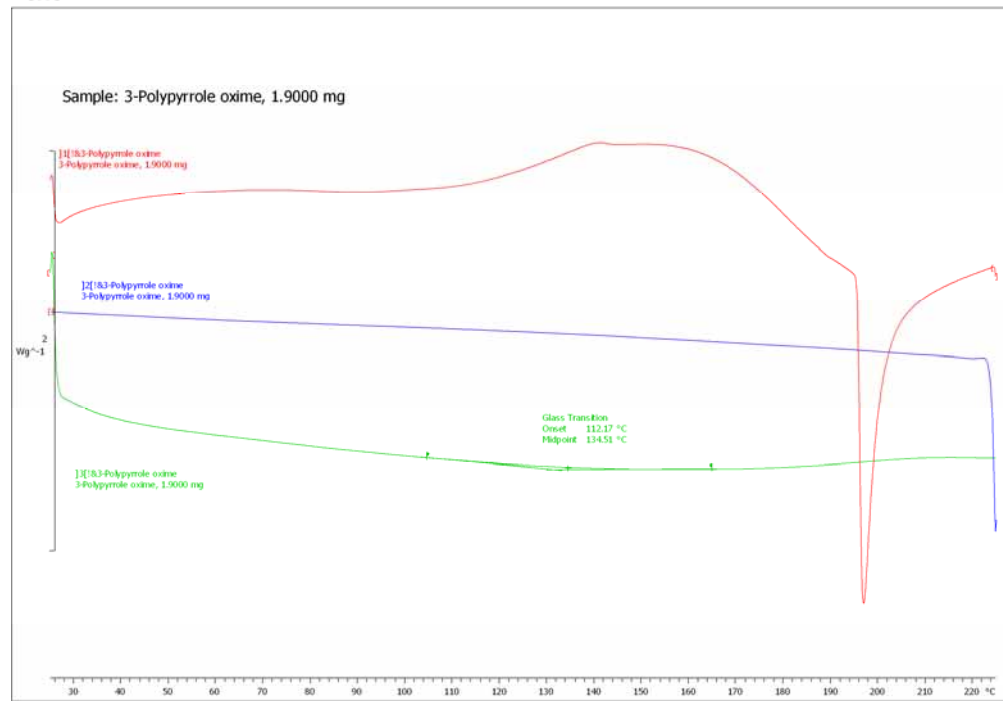


รูปที่ ข.1 การหาระยะเวลาต่างๆ จากกราฟค่ากระแสไฟฟ้า(I) ที่เวลาต่างๆ

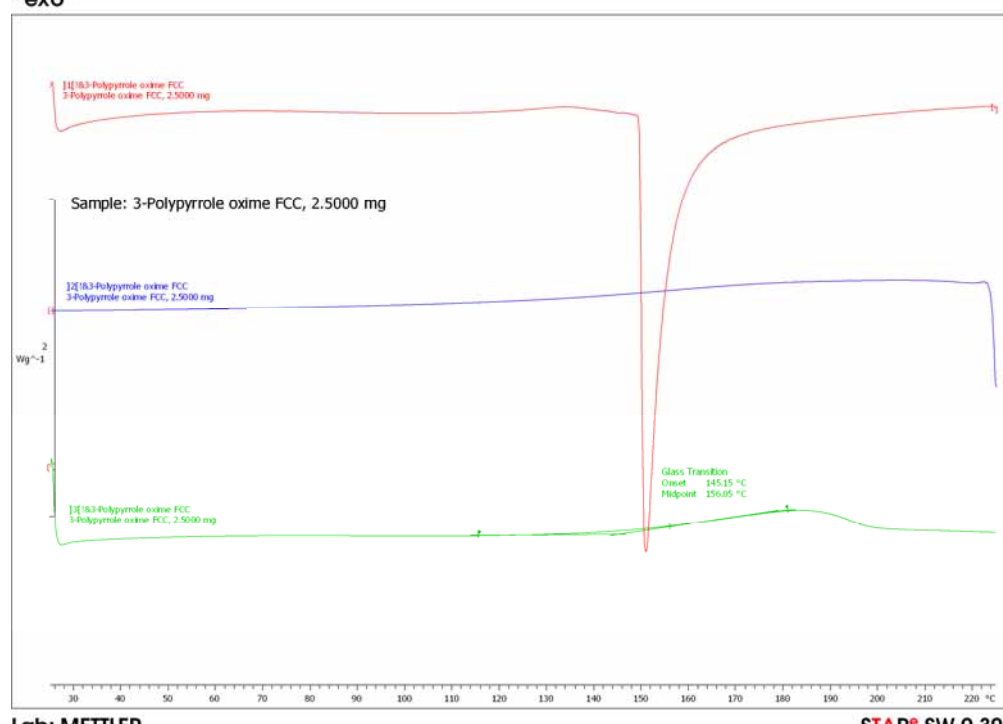
ภาคผนวก ค

ข้อมูลผลการทดสอบสมบัติทางความร้อนด้วยเทคนิค DSC



^{^exo}

ภาพที่ ๑.๓ DSC Thermogram ของ 3-derivatized polypyrrole oxime : 3-PPy oxime

^{^exo}

ภาพที่ ๑.๔ DSC Thermogram ของ Ferrocenecarboxylated polypyrrole: 3-PPy oxime FCC

ประวัติผู้วิจัย

ชื่อ-สกุล	นางสาวนันทนิษฐ์ พ่วงเล็ก
วันเกิด	14 พฤษภาคม 2529
ที่อยู่ที่ติดต่อได้	98 หมู่ 3 ต.บางโคนด อ.โพธาราม จ.ราชบุรี 70120
โทรศัพท์	0-3274-1489 084-698-0882
E-mail address	fon_nunnid@hotmail.com
ประวัติการศึกษา	
พ.ศ. 2547	สำเร็จการศึกษาระดับมัธยมศึกษาตอนต้นที่น.-ตอนปลาย โรงเรียนนราธิวาส จังหวัดราชบุรี
พ.ศ. 2551	สำเร็จการศึกษาปริญญาวิศวกรรมศาสตรบัณฑิต สาขาวิศวกรรมศาสตร์และเทคโนโลยี ภาควิชาวิทยาการและวิศวกรรมวัสดุ
พ.ศ. 2553	คณวิศวกรรมศาสตร์และเทคโนโลยี มหาวิทยาลัยศิลปากร
ประวัติการทำงาน	
พ.ศ. 2551-2552	ตำแหน่งผู้ช่วยอาจารย์ ภาควิชาวิทยาการและวิศวกรรม วัสดุ คณวิศวกรรมศาสตร์และเทคโนโลยี อุตสาหกรรม มหาวิทยาลัยศิลปากร จังหวัดนครปฐม